

А К А Д Е М И Я Н А У К С С С Р

ЖУРНАЛ ФИЗИЧЕСКОЙ ХИМИИ

ТОМ
XXXIII

ВЫПУСК 9

СЕНТЯБРЬ

ИЗДАТЕЛЬСТВО АКАДЕМИИ НАУК СССР
МОСКВА · 1959

ЖУРНАЛ ФИЗИЧЕСКОЙ ХИМИИ

Редакционная коллегия:

В. Я. АНОСОВ, К. В. АСТАХОВ, А. И. БРОДСКИЙ, Г. К. БОРЕСКОВ,
Я. И. ГЕРАСИМОВ, С. В. ГОРБАЧЕВ, Г. С. ЖДАНОВ,
Л. А. НИКОЛАЕВ, Н. Н. СЕМЕНОВ, А. Н. ТЕРЕНИН, А. Н. ФРУМКИН,
К. В. ЧМУТОВ

Главный редактор Я. И. ГЕРАСИМОВ

Заместители главного редактора С. В. ГОРБАЧЕВ, К. В. ЧМУТОВ

Отв. секретарь Л. А. НИКОЛАЕВ

К ШЕСТИДЕСЯТИЛЕТИЮ

*Президента Академии наук СССР
академика А. Н. НЕСМЕЯНОВА*

Глубокоуважаемый Александр Николаевич!

Редакционная коллегия и редакция Журнала физической химии сердечно поздравляет Вас с днем Вашего 60-летия.

На ответственном посту руководителя основного научного центра нашей Родины Вы умело и энергично направляете работы ученых по изучению важнейших научных и научно-технических проблем, развитие которых необходимо для решения народнохозяйственных задач, поставленных перед нашей страной Партией и Правительством.

Силой своего научного таланта Вы прокладываете новые пути в одной из самых сложных областей современной химии.

Редколлегия и редакция Журнала физической химии желают Вам здоровья и дальнейших успехов в Вашей многогранной и плодотворной деятельности.

*Редколлегия и редакция
Журнала физической химии*

ИНФРАКРАСНЫЕ СПЕКТРЫ ЦЕЛЛЮЛОЗЫ В ПРОЦЕССЕ
ВИСКОЗНОГО ПРОИЗВОДСТВА

Б. И. Степанов, Р. Г. Жбанков и А. Я. Розенберг

Инфракрасные спектры целлюлозы, подвергшейся действию концентрированных щелочей, почти не исследовались. В. Н. Никитин [1] рассматривал особенности частоты водородной связи в мерсеризованной целлюлозе, в работе [2] исследовались спектры целлюлозы различной структурной модификации. В последнем случае авторы не интерпретировали изменений в спектрах. Для уменьшения светорассеяния мерсеризованной целлюлозы они помещали ее в минеральное масло. В областях поглощения масла спектр целлюлозы не изучен.

Экспериментальная часть

В настоящей работе инфракрасная спектроскопия применена для исследования целлюлозы, регенерированной из одной партии в различных стадиях технологического процесса вискозного производства (до ксантогенирования). Специальная методика [3] позволила значительно уменьшить светорассеяние волокнистых целлюлоз без применения иммерсионных сред. Это дало возможность анализировать изменения в спектрах в области $2\text{--}13\text{ }\mu$.

Спектры поглощения записывались на инфракрасном спектрометре ИКС-11 с призмой NaCl. Ширина щели монохроматора в области $2,5\text{--}6,5\text{ }\mu$ — $0,15\text{ мм}$; $6,5\text{--}8,6\text{ }\mu$ — $0,3\text{ мм}$; $8,6\text{--}13\text{ }\mu$ — $0,5\text{ мм}$. Источник радиации — штифт Нернста с током накала $0,5\text{ А}$. Накал лампочки усилителя ФЭОУ-12 — $1,4\text{ В}$; соотношение скоростей барабанов фотобумаги и длин волн $4/3$. Толщина исследуемых спрессованных образцов целлюлозы варьировалась в пределах $15\text{--}30\text{ }\mu$ (измерения выполнены на оптиметре ИЗВ-1). Для исключения ошибок при измерении толщин сравниваемых образцов, а также погрешностей, вносимых прибором, мы приводили значение коэффициента поглощения в области $2000\text{--}2300\text{ см}^{-1}$ к одной Величине *. В результате этого при ошибке измерения коэффициентов поглощения в $5\text{--}10\%$ погрешность при сравнении этих величин в разных объектах не превышала $3\text{--}5\%$.

На рис. 1** представлены спектры в области $4000\text{--}1500\text{ см}^{-1}$. Разные кривые относятся к целлюлозам, обработанным $17,5\%$ NaOH в разное время и затем регенерированным. Не обнаружено смещения полосы поглощения гидроксильных, включенных в водородную связь — 3330 см^{-1} . Это согласуется с данными В. Н. Никитина [1], полученными при анализе спектров мерсеризованной целлюлозы в области $1,4\text{--}1,5\text{ }\mu$. Интенсивность полосы 3330 см^{-1} также не изменяется и, следовательно, не происходит уменьшения числа гидроксильных групп. Полоса 1650 см^{-1} обусловлена деформационным колебанием молекул воды. По поглощению в этой области контролировалась увлажненность целлюлозы, высушенной предварительно в вакуумном эксикаторе над P_2O_5 . Спектры снимались в специальной осушенной кювете. Отсутствие увеличения поглощения в области частоты $\text{C}=\text{O}$ (1740 см^{-1})

* В данном спектральном интервале пропускание целлюлозных образцов равной толщины должно совпадать.

** В приведенных в настоящей работе спектрах по оси ординат отложено значение $k = \frac{1}{d} \lg(I/I_0)$, отнесенное к слою в $0,01\text{ см}$.

показывает, что при мерсеризации, измельчении и предсозревании не происходит сколько-нибудь заметного окисления.

В области $1550\text{--}1180\text{ см}^{-1}$ (рис. 2) наблюдались значительные изменения спектра: сильное уменьшение интенсивности полос 1430 , 1340 и 1325 см^{-1} , меньшее — полос 1290 , 1225 см^{-1} ; интенсивность полосы 1360 см^{-1} почти не изменяется.

Поглощение в области 1430 см^{-1} однозначно относится к внутреннему деформационному колебанию группы CH_2 [4]. В области 1290 и 1225 см^{-1} могут лежать частоты внешних деформационных колебаний группы CH_2 , связанных с изменениями координат ϕ и χ , введенных в [5] при расчете спектров нормальных парафинов. Следовательно, после обработки целлюлозы концентрированной щелочью происходит заметное уменьшение интенсивности полос деформационных колебаний группы CH_2 .

Из этих результатов с достоверностью следует, что так называемая мерсеризованная целлюлоза не идентична по характеру группы CH_2 с исходным продуктом. Это явление до настоящего времени не было обнаружено (см., например, монографию [6]).

Полосы 1360 , 1340 и 1325 см^{-1} относятся к деформационным колебаниям первичных гидроксильных разных поворотных изомеров *. Уменьшение интенсивности полос 1340 и 1325 см^{-1} при сохранении поглощения в области 1360 см^{-1} свидетельствует о частичном изменении структуры у шестого углеродного атома.

Указанные химические превращения в целлюлозе происходят в первые 30 мин. процесса мерсеризации. Предсозревание не приводит к дальнейшим изменениям в этой области спектра.

Уменьшение интенсивности полосы группы CH_2 при мерсеризации нельзя свести к окислению первичных гидроксильных кислородом воздуха в щелочной среде. Как показали наши измерения, уменьшение числа групп CH_2 при окислении двуокисью азота первичных гидроксильных сопровождается пропорциональным уменьшением интенсивности всех трех полос: 1360 , 1340 и 1325 см^{-1} [8]. В мерсеризованной целлюлозе полоса 1360 см^{-1} практически сохраняется **.

Спектр мерсеризованной целлюлозы характерен также увеличением поглощения в области 910 см^{-1} (рис. 3). Интенсивная полоса в этой области специфична для спектров диальдегидцеллюлозы и дикарбоксилцеллюлозы, содержащей значительное количество альдегидных групп [8, 9]. Альдегидные группы в целлюлозе не находятся в свободном состоянии, а либо гидратируются, либо вступают в гемиацетальную связь. [10].

В спектре хлоральгидрата $\text{CCl}_3\text{—CH(OH)}$ полоса 910 см^{-1} не обнаружена. Сильное поглощение в области 910 см^{-1} в спектре диальдегидцеллюлозы обусловлено, по всей вероятности, симметричным валентным колебанием гемиацетальной связи C—O—C [4].

В спектре алкалицеллюлозы (рис. 4 кривая 3), алкалицеллюлозы, промытой абсолютным этиловым спиртом, а также в спектре целлюлозы, подвергнутой гидролизу серной кислотой (рис. 5 кривые 2, 3), повышена интенсивность полосы 910 см^{-1} не происходит. Из рассмотрения рис. 5 следует, что увеличение поглощения в области 910 см^{-1} происходит лишь после ухода химически связанной щелочи, независимо от характера регенерации целлюлозы. Следовательно, увеличение поглощения в области 910 см^{-1} в спектре мерсеризованной целлюлозы нельзя объяснить накоплением альдегидных групп за счет окисления кислородом воздуха или гидролиза при отмычке щелочи. Нужно допустить, что это обусловлено изменением структуры целлюлозы в процессе мерсеризации.]

* Согласно [7] частота деформационного колебания C—O—H в метиловом спирте равна 1340 см^{-1} . При избирательном окислении целлюлозы двуокисью азота (расходе группы CH_2OH) все три полосы исчезают.

** Мы получили спектры целлюлозы, мерсеризованной на воздухе и в вакууме. Они оказались идентичными.

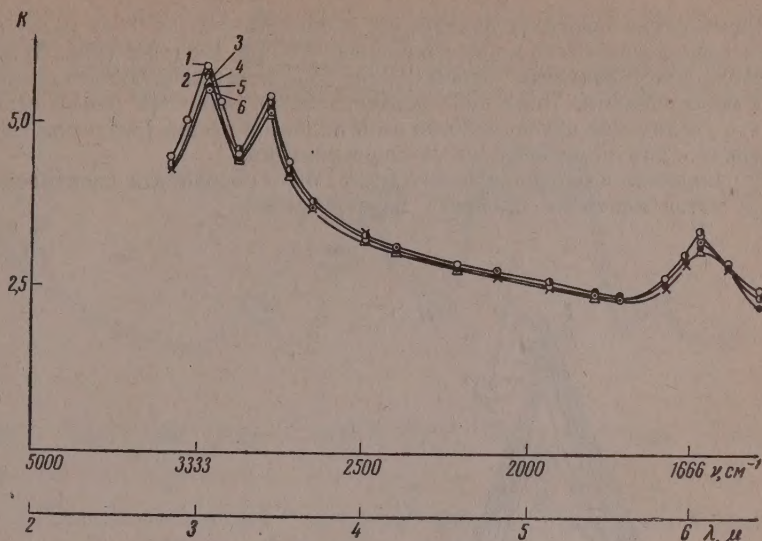


Рис. 1. Спектры исходной и регенерированной целлюлозы в области 4000—1500 см^{-1} : 1 — исходная целлюлоза; 2 — регенерированная после мерсеризации; 3 — после размола; 4, 5, 6 — соответственно через 3, 9 и 18 час. предсозревания

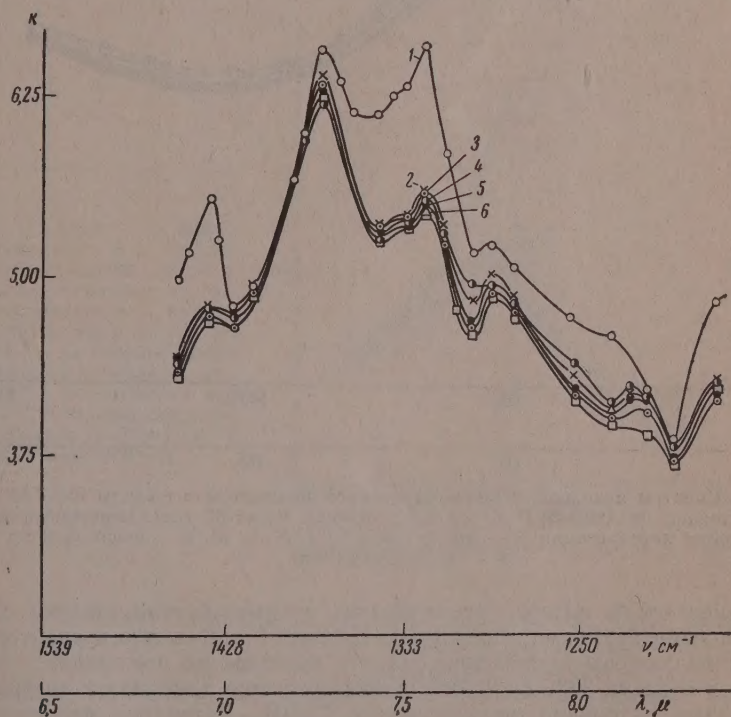


Рис. 2. Спектры исходной и регенерированной целлюлозы в области 1550—1180 см^{-1} : 1 — исходная целлюлоза; 2 — регенерированная после мерсеризации; 3 — после размола; 4, 5, 6 — соответственно через 3, 9 и 18 час. предсозревания

Рассмотрение спектров целлюлозы в области 910 см^{-1} на различных этапах технологического процесса вискозного производства (рис. 3) показывает, что интенсивность полосы 910 см^{-1} достигает предельного значения после мерсеризации. Последнее подтверждает сделанный ранее вывод о том, что увеличение интенсивности этой полосы в рассматриваемом случае специфично для самого процесса мерсеризации.

На основании вышеизложенного может быть разработан спектроскопический метод контроля процесса мерсеризации.

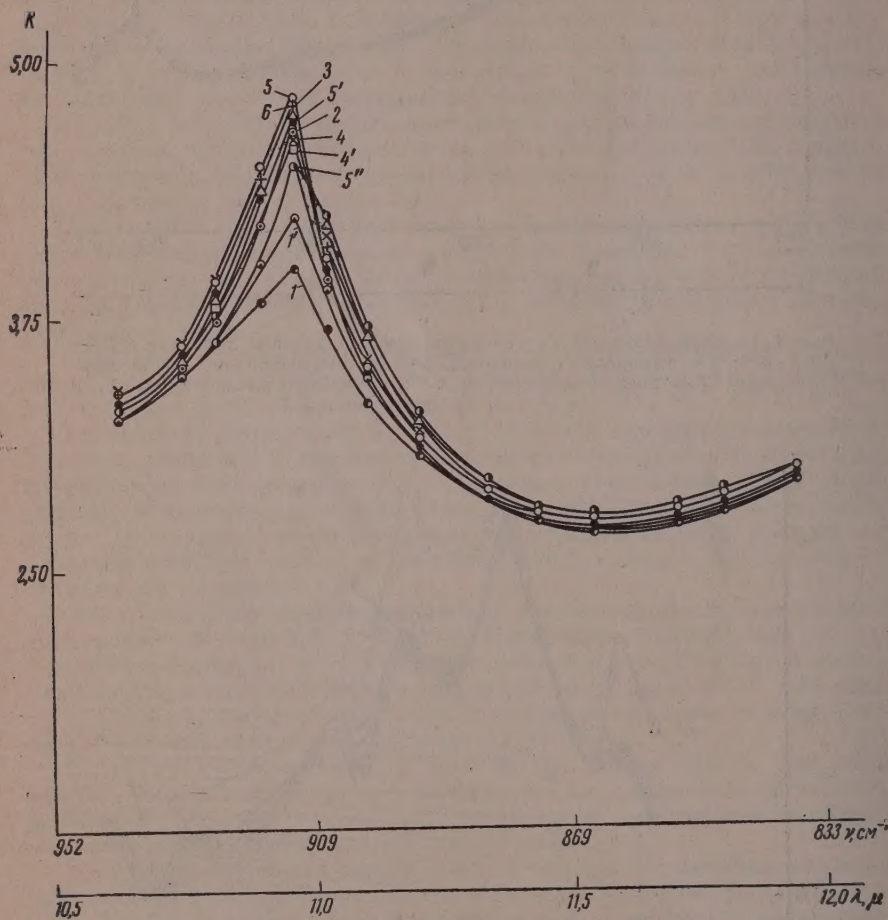


Рис. 3. Спектры исходной и регенерированной целлюлозы в области $950\text{—}830\text{ см}^{-1}$: 1 — исходная целлюлоза; 1' — регенерированная через 30 мин. мерсеризации; 2 — после конца мерсеризации; 3 — после размола; 4, 4', 5, 5', 6 — после каждых 3 час. предсозревания

Представляло интерес исследование взаимодействия щелочи с гидроксильными группами целлюлозы. Из рис. 4 видно, что в спектре щелочной целлюлозы происходит сильное уменьшение поглощения гидроксильных групп в области 3330 см^{-1} . Это непосредственно доказывает химическое связывание гидроксильными целлюлозы NaOH . Детальное исследование этого вопроса продолжается.

В спектре щелочной целлюлозы наблюдается увеличение поглощения в области $1850\text{—}1360\text{ см}^{-1}$ (особенно сильное в пределах $1550\text{—}1400\text{ см}^{-1}$), уменьшение интенсивности полосы $1150\text{—}950\text{ см}^{-1}$ и появление новой поло-

сы 870 см^{-1} . В области 1290 и 1225 см^{-1} спектры алкалицеллюлозы и исходной целлюлозы практически совпадают.

После промывки алкалицеллюлозы абсолютным этиловым спиртом увеличение поглощения в области 1850 — 1450 см^{-1} исчезает. По-види-

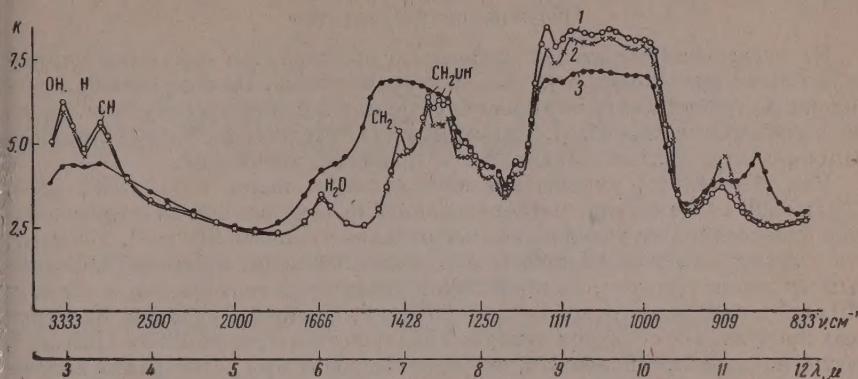
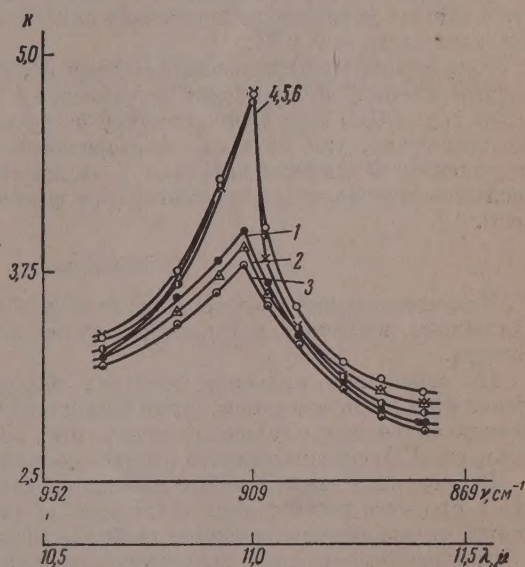


Рис. 4. Спектры: 1—исходной, 2—регенерированной и 3—щелочной целлюлозы

мому, в этой области поглощает адсорбированная целлюлозой щелочь. В области 870 см^{-1} может лежать частота валентного колебания O—Na .

В пределах 1150 — 950 см^{-1} в спектре целлюлозы наблюдается сильное сплошное поглощение, обязанное наложению многих полос. Здесь лежат

Рис. 5. Спектры: 1—исходной целлюлозы; 2—алкалицеллюлозы, отмытой абсолютным этиловым спиртом; 3—негидролизованного остатка после гидролиза серной 10%-ной кислотой и регенерированной целлюлозы; 4—отмывка щелочи водой; 5—отмывка щелочи 0,001 N серной кислотой и 6—отмывка щелочи 0,001 N уксусной кислотой



частоты колебаний гликозидной связи C—O—C , C—O , C—C , радикала CH_2OH , пиранового кольца. Все эти колебания сильно взаимодействуют друг с другом и выделение полос, характерных определенной связи, лишено смысла. В спектре регенерированной целлюлозы заметных изменений в этой области не происходит (за исключением появления слабой полосы 980 см^{-1}).

Поглощение в области 1150 — 950 см^{-1} чувствительно к разрыву гликозидных связей. Значительное уменьшение интенсивности этой полосы наб-

людалось нами в спектрах целлофана и нитроцеллюлозы. Поэтому заметное уменьшение поглощения в области $1150-950\text{ см}^{-1}$ в спектре щелочной целлюлозы, естественно, отнести за счет деструкции целлюлозы в процессе мерсеризации.

Обсуждение результатов

На исследованных этапах вискозного производства окисление целлюлозы или не происходит, или весьма незначительно. Поэтому можно предположить, что окисление не является основным фактором деструкции. Очень вероятно высказанное Н. И. Никитиным [11] предположение о деструкции макромолекул силами натяжения в процессе набухания.

Как отмечалось, уменьшение интенсивности полос 1430 , 1340 , 1325 , 1290 и 1225 см^{-1} в спектре мерсеризованной целлюлозы всегда сопровождается одновременным увеличением поглощения в области 910 см^{-1} . Тот факт, что в спектре щелочной целлюлозы, промытой абсолютным этиловым спиртом, не происходит увеличения поглощения в области 910 см^{-1} и появление новой полосы 980 см^{-1} , а также совпадение спектров этих продуктов со спектром исходной целлюлозы в области 1290 и 1225 см^{-1} , дает основание предположить, что происходящие при регенерации целлюлозы процессы и определяют в основном свойства мерсеризованной целлюлозы.

Значительное уменьшение интенсивности полосы групп CH_2 в мерсеризованной целлюлозе по сравнению с исходной, говорит о специфике групп CH_2 в этих целлюлозах.

Уменьшение интенсивности полосы гидроксильных (3333 см^{-1}) в спектрах высушенных образцов щелочной целлюлозы дает возможность предположить, что в данных условиях не исключена алкоголятная форма взаимодействия OH целлюлозы с NaOH .

Увеличение времени взаимодействия целлюлозы со щелочью (процесс предсозревания) не приводит к заметному уменьшению интенсивности полос групп CH_2 в регенерированной из щелочного продукта целлюлозе. Следовательно, уже за время мерсеризации практически все первичные гидроксилы целлюлозы вступают в химическое соединение со щелочью; последнее предполагает проникновение щелочи в основную массу целлюлозы.

Выводы

Исследованы инфракрасные спектры в области $2,5-13\text{ м}$ сульфитной целлюлозы, щелочной и гидратцеллюлозы в процессе вискозного производства.

На основании сравнения спектров обнаружено значительное уменьшение интенсивности полос групп CH_2 в спектре мерсеризованной целлюлозы по сравнению с исходным продуктом. Уменьшение интенсивности полос групп CH_2 сопровождается увеличением поглощения в области 910 см^{-1} .

Проведенные спектральные измерения дают основание предположить, что в процессе регенерации целлюлозы ее структура претерпевает изменения, определяющие основные свойства мерсеризованной целлюлозы.

Сильное уменьшение интенсивности полосы гидроксильных в спектре тщательно высушенного образца щелочной целлюлозы указывает на образование в процессе сушки алкоголята целлюлозы.

Белорусский государственный университет

Минск

Завод искусственного волокна

Могилев

Поступила

10.VII.1957

ЛИТЕРАТУРА

1. В. Н. Никитин, Вестн. ЛГУ, № 3, 33, 1950.
2. H. Forziati and Rowen, J. Res. Nat. Bur. Standards, 116, 38, 1951.

3. Р. Г. Жбанков, И. Н. Ермоленко, Изв. АН БССР, Серия физ.-тех., № 1, 15, 1956.
4. М. В. Волькенштейн, М. А. Ельяшевич, Б. И. Степанов, Колебания молекул, т. 2, М.—Л., 1949.
5. Б. И. Степанов, Ж. физ. химии, 19, 197, 1945.
6. З. А. Роговин, Н. Н. Шорыгина, Химия целлюлозы и ее спутников, М., 1953.
7. Б. И. Степанов, Ж. физ. химии, 20, 917, 1946.
8. Р. Г. Жбанков, Оптика и спектроскопия, т. IV, 318, 1958.
9. И. Н. Ермоленко, Р. Г. Жбанков, В. И. Иванов, Н. Я. Ленишина, В. Иванова. Изв. АН СССР, отд. хим. н. 2, 249, 1958.
10. Rowen, Forziati and Reeves, J. Amer. Chem. Soc., 73, 4481, 1951.
11. Н. И. Никитин, Химия древесины, Изд-во АН СССР, М.—Л., 1951.

INFRARED SPECTRA OF CELLULOSE IN THE PROCESS OF VISCOSE PRODUCTION

B. I. Stepanov, R. G. Zhbankov and A. Ya. Rosenberg (Minsk)

Summary

The infrared spectra of sulfite and alkaline cellulose and of cellulose hydrate in the process of viscose production have been studied in the range 2.5 — 13 μ .

From comparison of the spectra it was found that mercerized cellulose exhibits CH_2 bands of considerably less intensity than the original product. This loss in intensity is accompanied by increased absorption in the 910 cm^{-1} region.

The spectral measurements give grounds for the assumption that in the process of regeneration the cellulose structure undergoes changes which determine the basic properties of the mercerized product.

The considerable loss in hydroxyl band intensity in a carefully dried specimen of alkaline cellulose bears evidence to the formation of cellulose alcoholate during the drying process.

К ВОПРОСУ О ПРЕДЕЛЬНЫХ КОНЦЕНТРАЦИЯХ ИНГИБИТОРА ПРИ ОКИСЛЕНИИ СУЛЬФИТА НАТРИЯ КИСЛОРОДОМ ВОЗДУХА

Л. И. Каштанов и Л. Н. Соколова

В работе Л. И. Каштанова [1] было показано, что фенол, употребляемый в качестве ингибитора при окислении сульфитов, имеет предельную концентрацию около 1%. Предельной концентрацией ингибитора, при которой степень торможения процесса окисления достигает своего определенного и постоянного значения.

Представлялось интересным проследить, имеет ли пиридин, употребляемый в качестве ингибитора при процессах окисления, тоже предельную концентрацию.

Одновременно с изучением процесса торможения пиридином реакции окисления сульфита натрия кислородом воздуха было бы желательно испытать ингибирующее действие хлористой соли пиридина на тот же самый процесс окисления, а также выявить предельную концентрацию при совместном действии в качестве ингибиторов этилового спирта и фенола.

Экспериментальная часть

Аппаратура и условия проведения эксперимента были те же, что и в работе Л. И. Каштанова и В. П. Рыжова [2]. Применялись следующие концентрации ингибиторов: пиридина — 0,1; 1; 5; 10%; хлористого пиридина — 0,1; 1; 5; 15%; фенола — 0,1; 0,3; 0,6% при совместных концентрациях спирта — 0,1; 1; 3; 6,7%. Концентрация сульфита натрия везде бралась 0,63%. На рис. 1 приведены данные по скорости окисления сульфита натрия в присутствии пиридина и хлористого пиридина.

Все реакции проводились при 18° С.

Как вытекает из данных, приведенных на рис. 1, хлористый пиридин действует сильнее как ингибитор окисления, чем пиридин в концентрациях 0,1 и 1%.

Из приведенных данных видно, что для пиридина предельная концентрация достигается при 5%. При возрастании концентрации пиридина свыше 5% степень торможения им процесса остается на одном и том же уровне. Отдельные отклонения в приведенном цифровом материале лежат в пределах ошибки опыта.

Следует отметить, что и при значительных концентрациях хлористого пиридина (15%) не была достигнута предельная концентрация ингибитора, а с повышением концентрации процесс ингибирования закономерно возрастал.

Весьма интересные результаты дали опыты по изучению совместного ингибиторного действия этилового спирта с фенолом.

Данные, приведенные в таблице, показывают, что даже при совместных концентрациях спирта с фенолом в количествах по 0,1% реакция окисления сульфита натрия полностью тормозится. Дальнейшее увеличение концентраций этилового спирта и фенола не изменяет картины, наблюдаемой при их совместном действии в указанной выше концентрации. Таким образом, спирт и фенол при совместном действии взаимно усиливают свое ингибирующее действие.

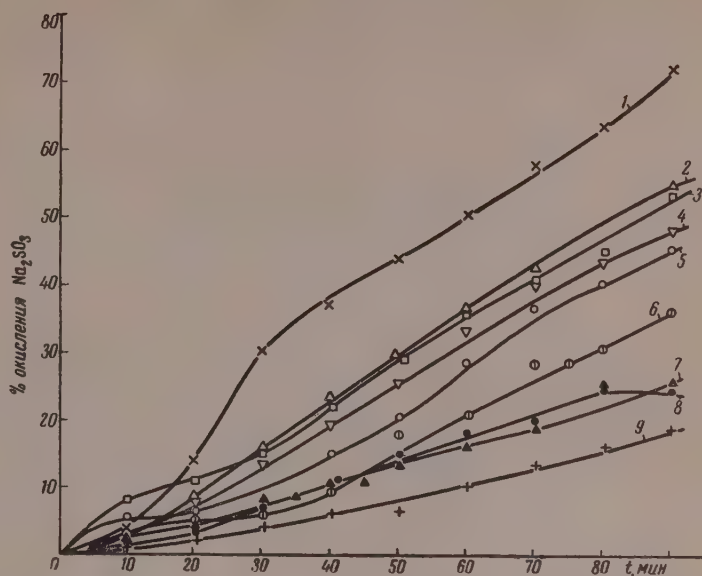


Рис. 1. Окисление Na_2SO_3 : 1 — без ингибитора; 2—0,1% $\text{C}_2\text{H}_5\text{N}$; 3—1,0% $\text{C}_2\text{H}_5\text{N}$; 4—0,1% $\text{C}_6\text{H}_5\text{NCl}$; 5—1,0% $\text{C}_6\text{H}_5\text{NCl}$; 6—5,0% $\text{C}_6\text{H}_5\text{NCl}$; 7—5,0% $\text{C}_6\text{H}_5\text{N}$; 8—10% $\text{C}_6\text{H}_5\text{N}$; 9—15% $\text{C}_6\text{H}_5\text{NCl}$

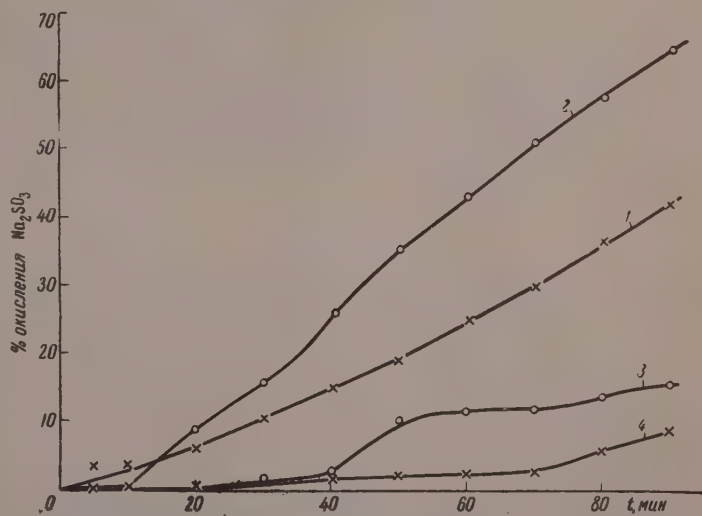


Рис. 2. Окисление Na_2SO_3 : 1 — без ингибитора; 2—0,05% аспирина; 3—0,05% аспирина + 0,05% спирта; 4—0,1% аспирина + 0,1% спирта

Окисление сульфита натрия в присутствии ингибиторов этилового спирта и фенола

t, мин.	Без ингибит.	0.1% C ₂ H ₅ OH	0.1% C ₂ H ₅ OH	0.1% C ₂ H ₅ OH+ +0.1% C ₂ H ₅ OH	1% C ₂ H ₅ OH	1% C ₂ H ₅ OH+ +0.1% C ₂ H ₅ OH	3% C ₂ H ₅ OH
10	4,0	6,5	8,0	0,0	2,0	0,0	1,0
20	14,2	12,5	11,0	0,0	4,0	0,0	2,6
30	30,0	18,0	16,7	0,0	5,2	0,0	3,5
40	37,6	20,0	22,7	0,0	6,0	0,0	4,5
50	43,7	27,5	25,8	0,0	6,7	0,0	5,0
60	51,0	31,0	28,3	0,0	6,8	0,0	5,1
70	58,0	33,5	31,3	0,0	6,9	0,0	5,3
80	68,7	37,5	34,7	0,0	7,2	0,0	5,3
90	75,7	41,0	37,7	0,0	7,5	0,0	5,5

Продолжение

t, мин.	Без ингибит.	0.3% C ₂ H ₅ OH	0.3% C ₂ H ₅ OH+ +3% C ₂ H ₅ OH	6% C ₂ H ₅ OH	0.6% C ₂ H ₅ OH	0.6% C ₂ H ₅ OH+ +6% C ₂ H ₅ OH	7% C ₂ H ₅ OH	0.6% C ₂ H ₅ OH+ +7% C ₂ H ₅ OH
10	4,0	2	0,0	0,5	2	0,0	0,0	0,0
20	14,2	4,7	0,0	1,5	4,7	0,0	0,0	0,0
30	30,0	11,0	0,0	2,0	8,0	0,0	0,0	0,0
40	37,6	13,7	0,0	2,2	11,0	0,0	0,0	0,0
50	43,7	19,7	0,0	2,3	12,0	0,0	0,0	0,0
60	51,0	21,2	0,0	2,5	13,7	0,0	0,0	0,0
70	58,0	24,3	0,0	3,6	16,7	0,0	0,0	0,0
80	68,7	28,3	0,0	3,4	18,2	0,0	0,0	0,0
90	75,7	31,7	0,0	3,3	21,2	0,0	0,0	0,0

Были также поставлены опыты с этиловым спиртом и аспирином. В основном результаты оказались те же, что и со спиртом и фенолом. Взаимное ингибирующее действие их усиливается. На рис. 2 приведены экспериментальные данные по действию этих ингибиторов. Предельные концентрации для аспирина не были достигнуты из-за плохой растворимости его в растворе сульфита. Аспирин сначала тормозит процесс окисления сульфита, а затем после 10-минутной реакции (окисления) действует как катализатор окисления. Каталитическая активность аспирина устраняется добавками спирта.

Выводы

1. Установлена предельная концентрация ингибирования для пиридина, равная 5%. Для хлористого пиридина до концентрации 15% не установлено предела ингибирующего действия.

2. Предельная концентрация ингибирования этиловым спиртом равна 7%. Совместное действие этилового спирта и фенола приводит к снижению предельной концентрации их до 0,1%, т. е. спирт и фенол, взятые совместно, сильно увеличивают ингибирующее действие.

3. Аспирин вначале реакции ингибирует процесс окисления сульфита натрия, а затем действует как катализатор. Совместное действие на реакцию окисления сульфита натрия, аспирина и спирта приводит к устранению каталитических свойств аспирина и уже при концентрации обоих ингибиторов по 0,1% значительно уменьшает скорость реакции окисления.

ЛИТЕРАТУРА

1. Л. И. К а ш т а н о в, Диссертация «Интенсификация процесса окисления сернистого газа в водных растворах», 1942, стр. 94.
2. Л. И. К а ш т а н о в и В. П. Р ы ж о в, Изв. Всес. теплотехн. ин-та, № 7, 37, 1932.

LIMITING INHIBITOR CONCENTRATION IN THE OXIDATION OF SODIUM SULFITE BY ATMOSPHERIC OXYGEN

L. I. Kashtanov and L. N. Sokolova (Moscow)

S u m m a r y

The inhibiting concentration limit of pyridine was found to be 5%; for pyridine chloride no limit was established up to a concentration of 15%. The limiting inhibition concentration in the case of ethyl alcohol was 7%. The joint action of the alcohol and phenol leads to a lowering of the limiting concentration to 0.1%, i. e. the combined action of alcohol and phenol considerably augments the inhibiting effect. Aspirin inhibits the oxidation process in its initial stages, but than acts as a catalyst. The catalytic action is obviated on the joint action of aspirin and alcohol, the rate of the oxidation considerably falling with already 0.1% concentrations of each of the inhibitors.

ФИЗИКО-ХИМИЧЕСКИЙ АНАЛИЗ ПРОВОДЯЩИХ ТОК НЕВОДНЫХ СИСТЕМ И ИССЛЕДОВАНИЕ МЕХАНИЗМА ЭЛЕКТРОЛИТИЧЕСКОЙ ДИССОЦИАЦИИ ОБРАЗУЮЩИХСЯ В НИХ СОЕДИНЕНИЙ

II. СИСТЕМА АЛЛИЛОВОЕ ГОРЧИЧНОЕ МАСЛО — ХИНОЛИН

С. С. Кирилук и С. П. Мускиджян

Система аллиловое горчичное масло — хинолин до сих пор еще никем не изучена. По литературным данным между аллиловым горчичным маслом и третичными аминами не происходит взаимодействия. Между тем работами Н. К. Воскресенской было установлено, что растворы этих систем обнаруживают значительную проводимость [1]. Это можно объяснить только образованием в системе нового вещества, являющегося электролитом, так как компоненты, каждый в отдельности, тока не проводят. Одним из нас ранее были изучены системы, образованные из аллилового горчичного масла и различных аминов [2—4]. При этом было установлено, что в системе, состоящей из аллилового горчичного масла и пиридина, образуется роданистый аллилпиридиний, который, являясь электролитом, обуславливает значительную электропроводность растворов системы [4]. В связи с этим естественно было предположить, что при смешивании аллилового горчичного масла с хинолином образуется роданистый аллилхинолиний, который обуславливает проводимость системы. Проведенные нами исследования полностью подтвердили это предположение.

Экспериментальная часть

Химически чистое аллиловое горчичное масло было подвергнуто перегонке и собрана фракция с т. кип. $149-149,5^\circ$, d_4^{20} 1,0112; n_D 1,5273. Полученное таким образом масло было бесцветным. Хинолин сушился над едким кали и дважды перегонялся. Собрана фракция, кипящая при $234-236^\circ$, d_4^{20} 1,0946, n_D^{20} 1,6241.

Смеси готовились весовым способом и хранились в запаянных ампулах (в темноте). С целью устранения возможного влияния кислорода воздуха при нагревании смесей в каждую ампулу в течение 5 мин. пропускался азот, после чего она запаивалась.

При смешивании компонентов нагревания не наблюдалось. Для изучения характера взаимодействия между компонентами нами были измерены различные физико-химические свойства растворов системы до и после их 24-часового нагревания при $100 \pm 5^\circ$. Все свойства измерены при $20 \pm 0,1^\circ$.

Плотность определялась пикнометрически. На рис. 1 приведены изотермы плотности (1 — до нагревания, 2 — после нагревания). Изотерма плотности системы после нагревания отчетливо указывает на взаимодействие компонентов.

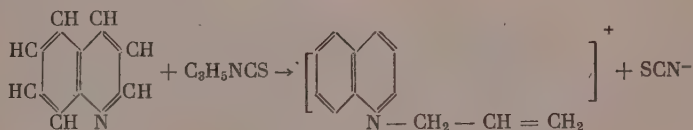
Вязкость определялась в вискозиметре закрытого типа. В таблице приводятся результаты этих измерений. На рис. 1—соответствующие изотермы. Изотерма внутреннего трения до нагревания (1) слабо вогнута к оси состава, что указывает на отсутствие сколько-нибудь заметного химического взаимодействия между компонентами системы. Но при нагревании компоненты сильно взаимодействуют между собой, и изотерма вязкости (2) приобретает резко выраженный максимум, приходящийся на 40—50 мол. % хинолина. Внутреннее трение отдельных растворов системы при этом возрастает примерно в 5000 раз по сравнению с вязкостью этого же раствора до нагревания.

Изотермы вязкости и плотности дают основание считать, что при нагревании между компонентами системы происходит химическое взаимодействие с образованием соединения состава $C_3H_5NCS \cdot C_9H_7N$ в качестве основного продукта реакции. Кроме указанного соединения при нагревании в смесях, очевидно, протекают и другие побочные реакции, приводящие к образованию продуктов осмоления.

Электропроводность. Измерялась обычным методом в закрытом сосудах с неплатинированными платиновыми электродами. На рис. 2 приведены изотермы электропроводности растворов системы до нагревания (1) и после нагревания (2). Изотерма до нагрева слегка выпукла от оси состава, а изотерма после нагревания имеет минимум, приходящийся примерно на содержание 40—50 мол. % хинолина, что связано с резким возрастанием вязкости. Как показано Н. А. Трифоновым [5], подобный характер кривой изотермы удельной электропроводности свидетельствует об образовании в системе соединения, причем о составе этого соединения можно судить по положению минимума на кривой. Значительная проводимость всех растворов системы, как будет показано ниже, объясняется образованием в ней соединения $C_3H_5NCS \cdot C_9H_7N$. Это подтверждается тем, что мы обычными качественными реакциями ($FeCl_3$ и другими) во всех растворах системы легко обнаруживали ион SCN^- . В связи с этим представляло интерес определить концентрацию SCN^- растворов, что было сделано нами методом, описанным в одной из наших работ [3]. На рис. 3 приведена кривая (1), выражающая зависимость концентрации SCN^- от состава смесей системы до нагрева.

Содержание SCN^- , как видно из рисунка, весьма незначительное. После нагрева концентрация SCN^- резко возросла (рис. 3, кривая 2), достигая у отдельных растворов 20% (52 мол. % C_9H_7N).

Обращает внимание, что кривая концентрации SCN^- — состав симбатна изотерме исправленной (приведенной) электропроводности ($\chi\eta$), которая представлена на рис. 3. Это согласуется с тем, что действительно образующееся в системе соединение $C_3H_5NCS \cdot C_9H_7N$ является электролитом, диссоциирующим на анион SCN^- и сложный органический катион по схеме:



Полученный таким образом роданистый аллилхинолиний путем экстрагирования горячей водой был извлечен из смесей системы. Из собранного фильтрата вода отгонялась на водяной бане под вакуумом ($p=40-50$ мм рт. ст.), после чего оставалась очень вязкая бурого цвета жидкость, которая, как показало колориметрическое измерение SCN^- , содержит 73% роданистого аллилхинолиния. Остальное приходится на компоненты системы, от которых трудно избавиться.

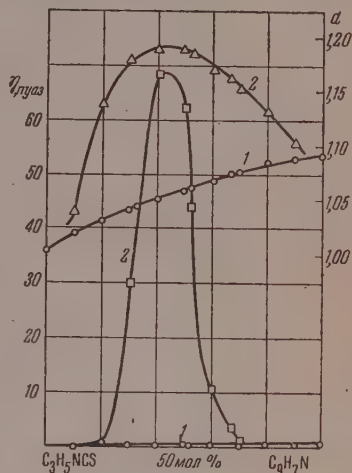


Рис. 1. Изотермы плотности (верхние кривые d): 1 — до нагревания смесей; 2 — после нагревания; и вязкости (нижние кривые η): 1 — до нагревания смесей; 2 — после нагревания

С целью выяснения механизма электролитической диссоциации полученное вещество было подвергнуто электролизу в приборе специальной конструкции [6]. Условия опыта были аналогичны описанным в [6]. У электродов наблюдались следующие явления.

У а н о д а: 1) на электроде выделялся кислород в количестве примерно $1/3$ от вычисленного по току; 2) анолит имеет сильно кислую реакцию

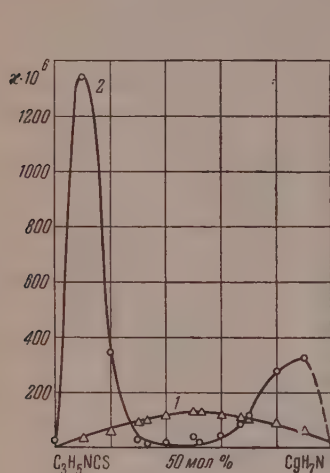


Рис. 2

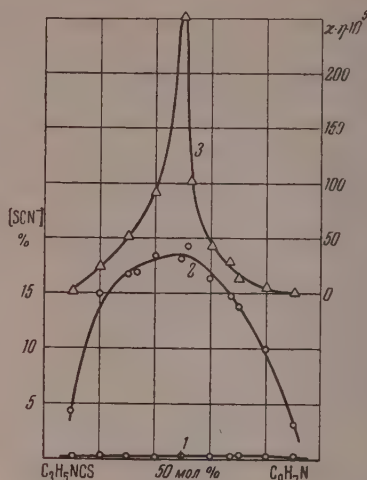


Рис. 3

Рис. 2. Изомеры электропроводности растворов системы: 1 — до нагревания; 2 — после нагревания

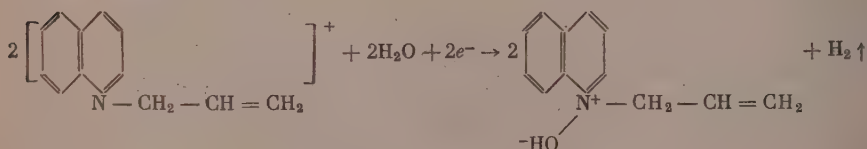
Рис. 3. Кривые зависимости концентрации SCN^- от состава смесей: 1 — до нагревания; 2 — после нагревания; 3 — приведенная электропроводность растворов после нагревания

($\text{pH} \sim 1,3$) и хорошо титруется щелочью; 3) в течение всего электролиза (144 часа) анолит оставался совершенно бесцветным и давал интенсивную реакцию на SCN^- и SO_4^{2-} .

У к а т о д а: 1) выделялся водород в количестве, примерно эквивалентном количеству пропущенного электричества, 2) катодит по мере прохождения тока становился желто-бурым, имел сильно щелочную реакцию и хорошо титровался соляной кислотой в присутствии фенолфталеина.

Исходя из вышеизложенного, механизм электрохимических процессов, протекающих у электродов, можно представить следующим образом.

На катоде:



На аноде:



По-видимому, часть выделяющегося кислорода в момент выделения окисляет серу до SO_4^{2-} , доказательством чего служит наличие в анолите значительного количества SO_4^{2-} (реакция с BaCl_2). С этим согласуются также результаты титрования кислоты анолита, которой оказалось в два раза больше количества HSCN , измеренного колориметрическим способом.

Все это, как нам кажется, подтверждает как приведенный выше механизм электролитической диссоциации соединения, так и предложенную нами схему химического взаимодействия компонентов.

Выводы

1. Изучена система хинолин-аллиловое горчичное масло по плотности, вязкости, электропроводности и концентрации SCN^- .
2. Обнаружено взаимодействие между компонентами системы, значительно усиливающееся при нагревании смесей, с образованием соединения $\text{C}_3\text{H}_5\text{NCS} \cdot \text{C}_9\text{H}_7\text{N}$, которое является электролитом.
3. На основании приведенного электролиза дан механизм электролитической диссоциации образующегося соединения.

Львовский медицинский
институт

Поступила
24.I.1958

ЛИТЕРАТУРА

1. Н. К. Воскресенская, Уч. зап. Саратовск. ун-та, 6, в. 3, 1927.
2. С. П. Мискиджьян и Ф. Н. Козленко, Сообщ. о научных работах членов Всес. хим. о-ва им. Д. И. Менделеева, вып. 3, 37, 1953.
3. С. П. Мискиджьян, Ж. физ. химии, 26, 1046, 1956.
4. С. П. Мискиджьян, Ж. общ. химии, 27, 1755, 1957.
5. Н. А. Трифонов, Изв. Пермск. биол. н.-и. ин-та, 7, вып. 7—8, 1931.
6. С. П. Мискиджьян, Ж. общ. химии, 28, вып. 1, 1958.

PHYSICO-CHEMICAL ANALYSIS OF CURRENT CONDUCTING NON-AQUEOUS SYSTEMS AND INVESTIGATION INTO THE ELECTROLYTIC DISSOCIATION MECHANISM OF THE COMPOUNDS FORMED THEREIN

II. THE SYSTEM ALLYLIC MUSTARD OIL — QUINOLINE

S. S. Kirilyuk and S. P. Miskidzhyan (L'vov)

Summary

The density, viscosity, electroconductivity and SCN^- concentration have been studied in the system quinoline—allylic mustard oil. Interaction has been found to take place between the constituents of the system, increasing with heat, the compound $\text{C}_3\text{H}_5\text{NCS} \cdot \text{C}_9\text{H}_7\text{N}$ being formed. The latter is an electrolyte. Based on the electrolysis carried out a mechanism has been advanced for the electrolytic dissociation of this compound.

ТЕОРИЯ СТЕКЛЯННОГО ЭЛЕКТРОДА

IX. ПРИМЕНЕНИЕ ИОНООБМЕННОЙ ТЕОРИИ К СТЕКЛЯННЫМ ЭЛЕКТРОДАМ С РАЗЛИЧНЫМИ МЕТАЛЛИЧЕСКИМИ ФУНКЦИЯМИ

Б. П. Никольский, М. М. Шульц и Н. В. Пешехонова

За последнее пятидесятилетие, в течение которого развивалось изучение стеклянного электрода, накоплен большой экспериментальный материал, касающийся водородной функции стеклянного электрода, а также перехода водородной функции в натриевую.

Естественно поэтому, что экспериментальная проверка теоретических представлений о механизме действия стеклянного электрода относилась, как правило, именно к случаю перехода водородной функции стеклянного электрода в натриевую.

Ряд исследований [1—7], в том числе и наши работы, позволяет утверждать, что стеклянные электроды могут в результате обмена ионов водорода натрия из стекла на катионы из раствора приобретать новую электродную функцию, обусловленную катионом, первоначально не содержавшимся в стекле, и, таким образом, переходить от одной металлической функции к другой.

Распространение основных положений ионообменной теории [8] на переход стеклянных электродов от одной металлической функции к другой представляет безусловный теоретический интерес. Мы в настоящей работе поставили своей целью количественную проверку соответствия ионообменной теории экспериментальным данным, полученным для случая перехода натриевой функции стеклянного электрода в водородную функцию, а также в калиевую и литиевую функции.

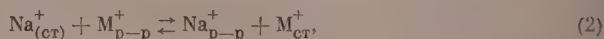
Как уже было нами показано [7], величина э. д. с. гальванического элемента

$$\text{Ag} \left| \begin{array}{c} \text{AgCl, NaCl (a)} \\ \text{внутренний раствор} \end{array} \right| \text{стеклянная мембрана} \left| \begin{array}{c} \text{NaCl (a')} + \text{MCl, AgCl} \\ \text{внешний раствор} \end{array} \right| \text{Ag,} \quad (1)$$

вычисленная на основании ионообменной теории, для натриевого стекла может быть представлена в виде:

$$E_T = \vartheta \lg \frac{K a_{\text{NaCl}}}{a'_{\text{MCl}} + K a'_{\text{NaCl}}} + \varphi_{\text{ас}}, \quad (1)$$

где a_{NaCl} — активность внутреннего раствора электролита, содержащего основной * ион; a'_{NaCl} — активность внешнего раствора электролита, содержащего основной ион; a'_{MCl} — активность второго электролита MCl во внешнем растворе; K — константа равновесия обменной реакции:



$\vartheta = 2,3 RT/F$, $\varphi_{\text{ас}}$ — потенциал асимметрии.

* Основным мы называем потенциалопределяющий ион, содержащийся первоначально в составе стекла.

Беря разность двух значений E_T для двух смешанных растворов, в которых активности MCl и $NaCl$ равны a' и a'' , и произведя соответствующие сокращения, мы получим

$$\Delta E_T = \vartheta \lg \frac{a'_{MCl} + ka'_{NaCl}}{a''_{MCl} + Ka''_{NaCl}} \quad (3)$$

или

$$\Delta E_T = \vartheta \lg \frac{m_{MCl} (m_{MCl} + m'_{NaCl}) \gamma'^2_{\pm MCl(NaCl)} + Km'_{NaCl} (m'_{NaCl} + m_{MCl}) \gamma'^2_{\pm NaCl(MCl)}}{m_{MCl} (m_{MCl} + m''_{NaCl}) \gamma''^2_{\pm MCl(NaCl)} + Km''_{NaCl} (m''_{NaCl} + m_{MCl}) \gamma''^2_{\pm NaCl(MCl)}} \quad (4)$$

По этой формуле мы рассчитали теоретическое изменение э. д. с. ΔE_T , вызванное заменой одного смешанного раствора с концентрацией $m'_{NaCl} = 1$ в гальваническом элементе (I) другим смешанным раствором, в котором концентрация $NaCl = m''$, а концентрация MCl — та же, что и в предыдущем растворе. Для этого расчета, кроме соответствующих величин концентрации и констант обмена, рассчитанных из экспериментальных данных, необходимо иметь данные о коэффициентах активности MCl в присутствии $NaCl$ — $\gamma_{\pm MCl(NaCl)}$, а также $\gamma_{\pm NaCl(MCl)}$.

Для опытов со смешанными растворами $NaCl + HCl$ мы взяли эти данные из работ Харнеда [9].

Для опытов со смешанными растворами хлористого натрия с хлористым калием, а также с растворами, содержащими хлористый натрий и хлористый литий, мы рассчитывали коэффициенты активности по методу, примененному Б. П. Никольским и В. А. Рабиновичем [10].

Результаты расчета ΔE_T мы сопоставили с найденными из опытных данных величинами ΔE , для гальванического элемента (I). $\Delta E = E' - E''$ и представляет собой разность двух экспериментальных значений э. д. с. гальванического элемента (I), причем E' — э. д. с. в том случае, когда концентрация $NaCl$ во внешнем растворе равна единице. В опытах применялись стеклянные электроды из натриевых алюмоборосиликатных стекол составов

№ 1: 75% SiO_2 , 3% Al_2O_3 , 11% Ba_2O_3 , 11% Na_2O ,
 № 2: 71% SiO_2 , 3% Al_2O_3 , 11% Ba_2O_3 , 15% Na_2O .

В таблице* представлены ΔE и вычисленные для опытов со смешанными растворами $NaCl + HCl$ ($m_{HCl} = 0,01$) при разных температурах.

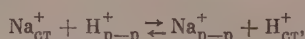
m_{NaCl}	20° C ($K = 0,49$)		35° C ($K = 0,51$)		50° C ($K = 0,60$)		65° C ($K = 0,69$)	
	ΔE	ΔE_T	ΔE	ΔE_T	ΔE	ΔE_T	ΔE	ΔE_T
1,0	—	—	—	—	—	—	—	—
0,5	34	38	35	35	—	36,3	38	37
0,1	94	102	105	107	109	114	118	119
0,05	119	128	130	138	138	148	150	150
0,03	137	145	148	154	159	163	174	169
0,01	167	174	—	183	193	196	203	209
0,006	177	183	188	193	203	208	216	219
0,003	186	191	196	202	213	215	224	229
0,001	195	198	209	209	220	218	232	231

* После значений температуры (в скобках) приведены величины констант K , применявшиеся для расчета ΔE_T .

При вычислении ΔE_T в числителе выражения (4) мы для каждой температуры всегда имели постоянную величину $\vartheta \lg(a'_{\text{HCl}} + Ka'_{\text{NaCl}}) = \text{const}$, соответствующую стандартному смешанному раствору, в котором хлористый натрий имел одномолярную концентрацию, а $m_{\text{HCl}} = 0,01$.

Если по оси абсцисс откладывать величину $\Delta E_T = \vartheta \lg(a_{\text{HCl}} + Ka_{\text{NaCl}}) + \text{const}$, а по ординате экспериментальное значение ΔE , то такой график позволяет наглядно сопоставить найденные экспериментально величины ΔE с вычисленными по простой ионообменной теории [8] значениями ΔE_T .

Простая ионообменная теория, на основании которой нами было выведено уравнение (4) и рассчитаны константы K , предполагает, что прочность связей всех ионов водорода с силикатной решеткой стекла одинакова, т. е. реакция обмена



характеризуется одной константой равновесия. Если стеклянный электрод точно подчиняется простой ионообменной теории, то на графиках $\Delta E = f(\Delta E_T)$ мы получим прямую под углом 45° как в области натриевой электродной функции, так и в переходной области и в области M^\pm -функции.

Всякое отступление от простой ионообменной теории должно отразиться на графике $\Delta E = f(\Delta E_T)$ в виде отступлений экспериментальных точек от прямой линии.

Если расхождения с простой ионообменной теорией наблюдаются только в той области значений абсциссы, где электрод переходит от натриевой функции к M^\pm -функции, то в этой области и должны наблюдаться отступления, однако выше и ниже этой области перехода, т. е. в области чистой водородной и чистой натриевой функции экспериментальные точки должны ложиться на одну и ту же прямую.

Следует отметить различие между обсуждаемыми графиками $\Delta E = f(\Delta E_T)$ и приведенными в нашей предыдущей работе [6] графиками $\Delta E = f(\Delta E_p)$.

Величина *

$$\Delta E_p = \vartheta \lg \frac{a'_{\text{NaCl}}}{a_{\text{NaCl}}} \quad (5)$$

рассчитывалась нами в предположении идеальной натриевой функции у стеклянной мембраны в гальваническом элементе (I), и, следовательно, прямолинейная зависимость между ΔE и ΔE_p получалась только в той области, где сохраняется натриевая функция. При этом условии

$$\Delta E = \Delta E_T = \Delta E_p \quad (6)$$

В переходной области от натриевой функции стеклянного электрода к M^\pm -функции, если электрод подчиняется простой ионообменной теории, то

$$\Delta E = \Delta E_T \neq \Delta E_p \quad (7)$$

Если подчинения простой ионообменной теории в переходной области нет, то

$$\Delta E \neq \Delta E_T \neq \Delta E_p.$$

В той области, где электрод полностью приобретает новую электродную функцию (M^\pm -функцию) согласно ионообменной теории стеклянного

* Расчет ΔE был произведен для тех же смешанных растворов $\text{NaCl} + \text{HCl}$, $\text{NaCl} + \text{KCl}$, $\text{NaCl} + \text{LiCl}$, для которых приведены величины ΔE_T в настоящей работе.

электрода, также должно выполняться соотношение

$$\Delta E = \Delta E_T \neq \Delta E_p. \quad (8)$$

На рис. 1 приведены графики $\Delta E = f(\Delta E_T)$ для опытов со смешанными растворами хлористого натрия и хлористого водорода при 20, 35, 50 и 65° С. Крестики обозначают данные опытов в чистых растворах NaCl, а крестики — экспериментальные точки для смешанных растворов.

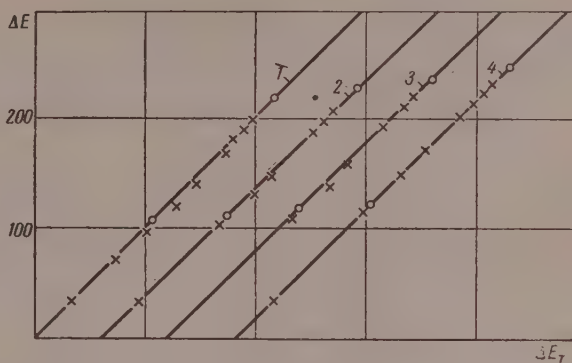


Рис. 1. $\Delta E = f(\Delta E_T)$ для случая перехода натриевой функции стеклянного электрода в водородную функцию

Те точки, которые соответствуют чистой натриевой и чистой водородной функции, удовлетворительно ложатся на прямую при всех исследованных нами температурах.

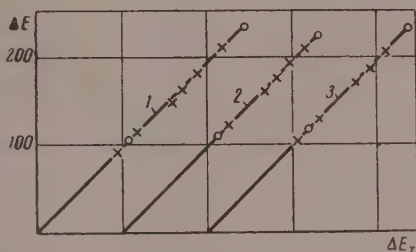


Рис. 2

Рис. 2. $\Delta E = f(\Delta E_T)$ для случая перехода натриевой функции стеклянного электрода в калиевую функцию: 1 — 20; 2 — 35 и 3 — 50° С

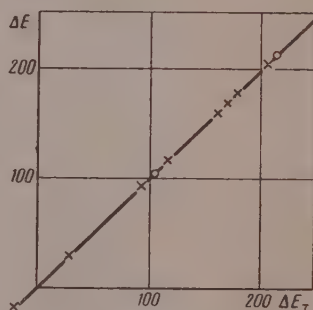


Рис. 3

Рис. 3. $\Delta E = f(\Delta E_T)$ для случая перехода натриевой функции стеклянного электрода в литиевую функцию при 20° С

В области переходной от натриевой к водородной функции для 20, 35 и 50° С отмечаются расхождения значений ΔE и ΔE_T , которые при 20° С достигают 8—10, а при более высокой температуре не превышают 4—6. При 65° С отступления почти отсутствуют.

Обобщенная ионообменная теория [14] объясняет расхождение теоретических и экспериментальных данных в переходной области предположением о наличии разных сортов связи между ионами водорода и силикатными анионами стекла.

Реакции обмена этих различно связанных ионов водорода на ионы натрия из раствора будут различаться величиной констант обмена. Мы при расчете ΔE_T пользовались простой теорией, предусматривающей одну константу обмена для каждой реакции обмена ионов между стеклом и раствором. Отступления на кривых в переходной области для опытов в растворах $\text{NaCl} + \text{HCl}$ показывают, что в изученных нами натриевых стеклах ионы водорода образуют более чем один сорт связи. Можно предположить, что повышение температуры выравнивает различие в величинах констант обмена различных групп ионов водорода, и благодаря этому опытные кривые, снятые при 65°C , дают хорошее соответствие экспериментальных данных в переходной области и ионообменной теории.

Применяя формулу (4) для расчета ΔE_T в опытах со смешанными растворами $\text{NaCl} + \text{KCl}$ и $\text{NaCl} + \text{LiCl}$, т. е. в случае перехода от натриевой к калиевой и от натриевой к литиевой функциям, мы сопоставили вычисленные ΔE_T с найденными значениями ΔE .

Результаты представлены на рис. 2 и 3, из которых видно, что в случае перехода от натриевой функции к калиевой или литиевой функциям на кривых $\Delta E = f(\Delta E_T)$ или вовсе не наблюдается отступлений ΔE от ΔE_T в переходной области или эти отступления очень малы ($\leq 3 \text{ mV}$) и наблюдаются лишь на коротком участке кривой.

То обстоятельство, что при переходе натриевой функции в литиевую (а также в калиевую при 50°C) отступления не обнаружены, позволяет предположить, что, с точки зрения ионообменной теории, для ионов натрия, калия и, в особенности, для ионов лития имеет место равноценность всех связей с силикатной решеткой стекла.

Выводы

1. Результаты экспериментального исследования стеклянных электродов из натриевых алюмоборосиликатных стекол, изложенные в предыдущих статьях [6, 7], обсуждены с точки зрения простой ионообменной теории стеклянного электрода. Простая ионообменная теория подтверждается в пределах точности измерений для случая перехода стеклянных электродов от натриевой функции к калиевой и литиевой функциям.

2. Некоторые отступления экспериментальных данных от теоретических в переходной области в случае обмена ионов натрия из стекла на ионы водорода из раствора могут быть объяснены согласно обобщенной ионообменной теории [11], так же как и для стекла ЭС-1, энергетической неравноценностью связи отдельных групп ионов водорода в стекле.

3. На основании предыдущих исследований [8, 11] нельзя было однозначно решить, имеет ли место неравноценность связи отдельных групп ионов только для ионов водорода или также и для металлических ионов. Данные нашей работы показывают, что переход стеклянного электрода от одной металлической электродной функции к другой подчиняется простой ионообменной теории также и в переходной области, т. е. все ионы данного щелочного металла в стекле энергетически равноценны, в отличие от ионов водорода.

Ленинградский государственный
университет им. А. А. Жданова

Поступила
18.I.1958

ЛИТЕРАТУРА

1. K. Horowitz, Z. phys. Chem., 115, 424, 1925.
2. H. Schiller, Ann. Physik, 74, 105, 1924.
3. B. Lenguel, A. Sammt, Z. phys. Chem., (A) 181, 55, 1937.
4. М. М. Шульц, Уч. зап. ЛГУ, 169, СХН № 13, 80, 1953.
5. М. М. Шульц и Т. М. Овчинникова, Вестн. ЛГУ, № 2, 129, 1954.
6. Б. П. Никольский, М. М. Шульц и Н. В. Пешехонова, Ж. физ. химии, 32, 19, 1958.

7. Б. П. Никольский, М. М. Шульц и Н. В. Пешехонова, Ж. физ. химии, 32, 262, 1958.
8. Б. П. Никольский, Ж. физ. химии, 10, 495, 1937.
9. G. Hagned, J. Amer. Chem. Soc., 51, 1865, 1935.
10. Б. П. Никольский и В. А. Рабинович, 78, 519, 1951.
11. Б. П. Никольский, Ж. физ. химии, 27, 724, 1953.

THEORY OF THE GLASS ELECTRODE

IX. THE APPLICATION OF THE ION-EXCHANGE THEORY TO GLASS ELECTRODES WITH DIFFERENT METALLIC FUNCTIONS

B. P. Nikol'skii, M. M. Shul'tz and N. V. Peshekhonova (Leningrad)

Summary

The results of the experimental study of the glass electrode from sodium aluminoborosilicate glasses presented in the previous communications (6,7) are discussed from the viewpoint of the simple ion-exchange theory of the glass electrode. Within the limits of experimental error the theory is confirmed for the case of transition of the glass electrode from the sodium to the potassium and lithium function.

Certain deviations of the experimental facts from theory in the transition region of exchange of glass sodium ions for solution hydrogen ions may be explained similarly to the glass ES-1, in accordance with the generalized ion-exchange theory (11), as due to the bond energy differences of different groups of hydrogen atoms in the glass.

On the basis of the earlier studies (8,11) one could not infer with certainty whether the bond differences between separate groups of ions refer only to hydrogen or also to metallic ions. The results of our work show that the transition of the glass electrode from one metallic electrode function to another obeys the simple ion exchange theory in the transition region also, i. e., in contrast to the hydrogen ions all ions of a given alkaline metal in glass are equivalent from an energy standpoint.

ВЛИЯНИЕ СТРУКТУРЫ НА ТЕПЛОПРОВОДНОСТЬ ПОЛИМЕРОВ

Л. Н. Черкасова

В последнее время многие работы посвящены изучению особенностей аморфного и кристаллического состояний полимеров в зависимости от строения молекул, от гибкости цепей и от сил взаимодействия между цепями [1—6]. Встречаются работы, которые достаточно широко освещают вопрос влияния фазового состояния полимеров на изменение их механических свойств [7].

Следует отметить, что почти ни в одной из опубликованных работ не изучался вопрос о влиянии фазового состояния полимеров на изменение их теплопроводности. В работе [8] имеется лишь общее указание на зависимость физических параметров полимеров в том числе теплопроводности от их фазового состояния.

В полимерах, как и других неметаллических телах, тепловая проводимость должна рассматриваться как результат совокупности колебательных движений молекул, особенность которых обусловлена наличием длинных гибких цепных молекул.

При наличии температурного градиента в полимере происходит перемещение энергии колебаний из мест с более высокой температурой к местам с более низкой температурой. Повышение температуры в полимере приводит к ослаблению связей между активными макромолекулами и вызывает увеличение их подвижности.

В настоящей работе исследовалась зависимость коэффициента теплопроводности полимеров от их физической структуры и фазового состояния.

Экспериментальная часть

Исследование теплопроводности полимеров проводилось в широком интервале температур нестационарным методом теплового регулярного режима, разработанного Г. М. Кондратьевым [9].

Использовался также метод плоского бикалориметра [10].

Из аморфных полимеров исследовались полистирол (5), битум (1), эпоксидный компаунд (6), компаунд МБК (3), полиуретаны К-30 и К-31 (2 и 4), из кристаллических полимеров: полиэтилен (11), парафин (8), фторопласт (7), капрон (10) и полиамид 68 (9). Физический состав материалов дан в таблице.

Образцы для испытаний готовились частично на месте испытаний (битум, капрон, полиамид 68, парафин, полиэтилен), частично в лабораториях изоляционных материалов (МБК, эпоксидный компаунд, К-30 и К-31). Образцы имели в соответствии с методическими указаниями вполне определенные размеры и формы.

Результаты испытаний полимеров на теплопроводность, проведенные при различных температурах, представлены на рис. 1 и сведены в таблицу.

Как видно из рис. 1, полученные кривые зависимости коэффициента теплопроводности от температуры разместились в две характерные группы, одна из которых (кривые 1—6) характеризует увеличение коэффициента теплопроводности с ростом температуры и размещена в нижней части рисунка; другая (кривые 7—11), наоборот, с нагреванием образцов

Теплофизические показатели полимеров

Наименование материалов	$t, ^\circ\text{C}$	$a \cdot 10^{-4}, \frac{\text{м}^2}{\text{час}}$	$C, \frac{\text{ккал}}{\text{кг} \cdot ^\circ\text{C}}$	$\lambda, \frac{\text{ккал}}{\text{м} \cdot ^\circ\text{C}}$	Наименование материалов	$t, ^\circ\text{C}$	$a \cdot 10^{-4}, \frac{\text{м}^2}{\text{час}}$	$C, \frac{\text{ккал}}{\text{кг} \cdot ^\circ\text{C}}$	$\lambda, \frac{\text{ккал}}{\text{м} \cdot ^\circ\text{C}}$
Энтум $\gamma = 0,95 \text{ г/см}^3$	30	3,02	0,42	0,12	МБК Полиэфирный компаунд Бутилметакрилат с ди- метакриловым эфиром триэтиленгликол. $\gamma = 1,0 \text{ г/см}^3$,	25	3,04	0,434	0,13
	40	3,06	0,425	0,123		50	3,06	0,434	0,13
	50	3,1	0,430	0,126		75	3,08	0,434	0,13
	60	3,12	0,437	0,189		90	3,08	0,434	0,13
	70	3,15	0,448	0,134					
	80	3,18	0,478	0,143					
	90	3,20	0,512	0,154					
К-31 Заливочный компаунд Касторовое масло Стирол Годулендизационат Перекись бензоила $\gamma = 1,05 \text{ г/см}^3$	25	3,37	0,345	0,122	К-30 Касторовое масло Гексаметилен Стирол Перекись бензоила $\gamma = 1,0 \text{ г/см}^3$	25	3,58	0,38	0,136
	50	3,27	0,405	0,139		50	3,32	0,46	0,153
	75	3,16	0,470	0,156		75	3,05	0,55	0,167
	90	3,07	0,515	0,166		90	2,09	0,6	0,176

Наименование материалов	$t, ^\circ\text{C}$	$m, \text{час}^{-1}$	$\lambda, \frac{\text{ккал}}{\text{м} \cdot ^\circ\text{C}}$	Наименование матери лов	$t, ^\circ\text{C}$	$m, \text{час}^{-1}$	$\lambda, \frac{\text{ккал}}{\text{м} \cdot ^\circ\text{C}}$
Полистирол $\gamma = 1,05 \text{ г/см}^3$	25	17,05	0,143	Фторопласт $\gamma = 2,1 \text{ г/см}^3$	25	17,0	0,18
	35	17,8	0,152		35	17,2	0,181
	45	18,08	0,155		45	17,3	0,181
	55	18,37	0,160		55	17,9	0,182
	65	18,47	0,162		65	17,85	0,181
	75	19,6	0,172		75	17,75	0,177
	85	18,6	0,176		85	17,55	1,74
	95	20,8	0,192		95	17,45	—

Наименование материалов	$t, ^\circ\text{C}$	$a \cdot 10^{-4}, \frac{\text{м}^2}{\text{час}}$	$C, \frac{\text{ккал}}{\text{кг} \cdot ^\circ\text{C}}$	$\lambda, \frac{\text{ккал}}{\text{м} \cdot ^\circ\text{C}}$	Наименование материалов	$t, ^\circ\text{C}$	$m, \text{час}^{-1}$	$\lambda, \frac{\text{ккал}}{\text{м} \cdot ^\circ\text{C}}$
Эпоксидный компаунд $\gamma = 1,17 \text{ г/см}^3$	25	3,92	0,338	0,155	Парафин толщ. = 2,2 мм Вес. = 23,45 кг	15	30,95	0,207
	50	3,45	0,445	0,180		20	29,2	0,199
	75	2,97	0,575	0,200		25	26,45	0,181
	90	2,62	0,678	0,210		30	26,2	0,179

Наименование материалов	$t, ^\circ\text{C}$	$m, \text{час}^{-1}$	$\lambda, \frac{\text{ккал}}{\text{м} \cdot ^\circ\text{C}}$	Наименование материалов	$t, ^\circ\text{C}$	$a, \frac{\text{м}^2}{\text{час}}$	$C, \frac{\text{ккал}}{\text{кг} \cdot ^\circ\text{C}}$	$\lambda, \frac{\text{ккал}}{\text{м} \cdot ^\circ\text{C}}$
Полиамид 68 Вес $p = 29,12 \text{ г}$ Толщ. $\delta = 2,45 \text{ мм}$ $\gamma = 1,085 \text{ г/см}^3$	25	28,8	0,216	Капрон $\gamma = 1,13 \text{ г/см}^3$	25	4,910	0,49	0,238
	35	28,75	0,216		50	4,35	0,485	0,238
	35	28,7	0,215		75	3,8	0,555	0,238
	55	28,6	0,216		90	3,47	0,605	0,234
	65	28,3	0,213		25	5,8	0,527	0,284
	75	29,9	0,209		50	4,7	0,617	0,270
	85	26,6	0,200		75	3,58	0,795	0,264
	90	26,3	0,198		90	2,82	0,936	0,246

Табличные значения: t — температура испытания в $^\circ\text{C}$; m — т. охлаждения образца в воде час^{-1} ; a — коэффициент температуропроводности в $\text{м}^2/\text{час}$; C — коэффициент теплоемкости в $\frac{\text{ккал}}{\text{кг}^\circ\text{C}}$; λ — коэффициент теплопроводности в $\frac{\text{ккал}}{\text{м}^\circ\text{C}}$

обнаруживает уменьшение коэффициента теплопроводности и размещена в верхней части рисунка. При 25° С абсолютное значение теплопроводности полимеров первой группы колеблется от 0,12 до 0,15 ккал/мчас° С. Характер изменения кривых в этом случае свидетельствует о росте теплопроводности испытываемых полимеров при нагревании их образцов. Полимеры второй группы имеют большее значение коэффициента теплопроводности, укладываемое в пределы от 0,18 до 0,28 ккал/мчас° С, при тех же условиях испытаний; кроме того, по своему характеру изменения

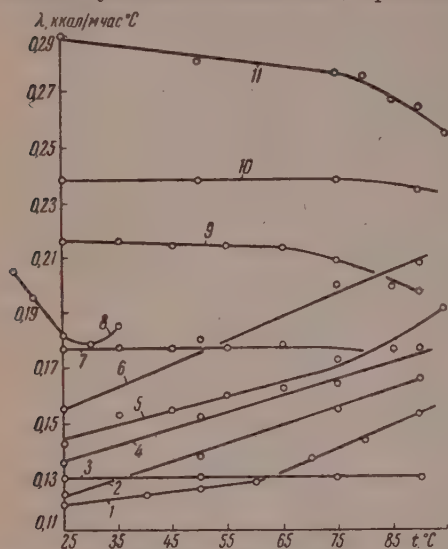


Рис. 1. Зависимость коэффициента теплопроводности полимеров от температуры

имеют противоположное направление, т. е. при нагревании образцов их коэффициент теплопроводности заметно уменьшается. Интересен тот факт, что полимеры каждой из этих групп, характеризующиеся своеобразным изменением коэффициента теплопроводности с температурой, по своему структурному строению принадлежат к различным фазовым состояниям: первую группу составляют аморфные, а вторую — кристаллические полимеры.

Рассмотрим группу полимеров, отличающихся полностью аморфным фазовым состоянием (кривые 1—6). Как видно из рис. 1, у аморфных полимеров кривые изменения теплопроводности с температурой плавно поднимаются до определенного значения, соответствующего температурам размягчения полимеров: у полистирола — при 75—80°, у битума — при 60—70° С.

Температура размягчения у других полимеров этой группы превышает максимальную температуру испытаний, поэтому в исследованном интервале температур они не показывают резких изменений коэффициента теплопроводности. Начиная с температуры размягчения, у каждого полимера происходит более интенсивное повышение коэффициента теплопроводности, не подчиняющееся линейной зависимости.

Несколько иная картина наблюдается у полимеров с кристаллической структурой. В строго упорядоченных кристаллических областях передача колебаний должна осуществляться легче, нежели в областях с неупорядоченной системой связи молекул, где между малыми структурными элементами отсутствует согласие. Поэтому можно предположить, что чем больше будет кристаллических областей в одном и том же полимере, тем выше должна быть его теплопроводность. Известно, что с ростом температуры относительные количества аморфных и кристаллических фаз в полимере меняются (повышение температуры вызывает распад кристаллических областей). Отсюда теплопроводность такого полимера должна понижаться.

Уменьшение коэффициента теплопроводности в кристаллических полимерах происходит при нагревании его до определенной температуры, соответствующей полному расплаву полимерных кристаллов. Кристаллические области в полимере при этом полностью исчезают, и он становится вполне аморфным. Теплопроводность полимера, начиная с температуры плавления, уже подчиняется физической закономерности, соответствующей состоянию однофазных аморфных систем, т. е. начинает возрастать с повышением температуры.

Отдельные исключения из установленного правила изменения теплопроводности кристаллических и аморфных полимеров возможны за счет протекания при какой-то температуре химических реакций.

Нами было также исследовано поведение натурального каучука, который, как известно, в принятом нами температурном интервале может находиться как в кристаллическом, так и в аморфном состояниях. Кристаллизация образцов каучука проводилась длительным выдерживанием их при 20° С.

На рис. 2 представлены кривые зависимости теплопроводности кристаллического натурального каучука от температуры, полученные в трех опытах.

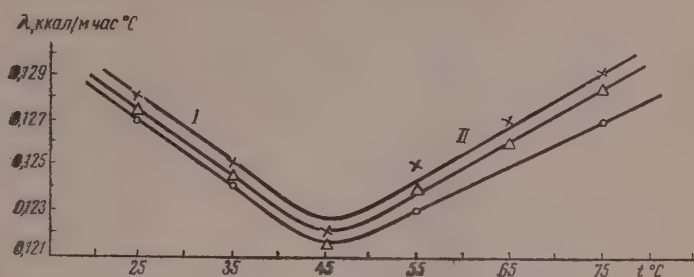


Рис. 2. Зависимость коэффициента теплопроводности натурального каучука от температуры

Как видно из рисунка, каждая кривая состоит из двух участков I и II: участок I по характеру изменения теплопроводности приближается к кривым, характерным для кристаллических полимеров, II участок приближается к кривым аморфных полимеров. В начальный момент (участок I) теплопроводность образца определяется, главным образом, наличием кристаллической фазы; при дальнейших испытаниях (участок II) определяющей становится уже аморфная фаза.

Из рис. 2 видно, что в исследуемом каучуке изменение кривых теплопроводности характеризуется наличием минимума при одной и той же температуре. Надо полагать, что эта температура соответствует температуре распада кристаллов.

Опыты, проведенные с каучуком, еще раз подтверждают, что теплопроводность, даже в одном и том же полимере, с изменением температуры резко изменяется в зависимости от его фазового состояния.

Такой же вывод можно сделать на основе анализа изменения коэффициента теплопроводности парафина при различных его фазовых состояниях (кривая 8 рис. 1). Из рисунка видно, что от 15 до 30° С наблюдается резкое уменьшение коэффициента теплопроводности, что совпадает с состоянием фазового превращения полимера, с распадом его кристаллических областей при данных температурах.

Выше 30° С, когда парафин становится полностью аморфным, наблюдается подъем кривой теплопроводности. Как видно, опыты, проведенные с парафином, полностью подтверждают результаты испытания каучука.

Выводы

Полученный опытный материал позволяет сделать общий вывод о характере изменения теплопроводности в полимерах кристаллического и аморфного состояний: полимеры полностью в аморфном состоянии склонны повышать свою теплопроводность с ростом температуры.

Полимеры в кристаллическом состоянии понижают свою теплопроводность при приближении к температуре плавления. Выше температуры, соответствующей полному расплаву кристаллов, изменение коэффициента теплопроводности подчиняется закономерностям аморфного состояния.

Поступила
28.1.1958

ЛИТЕРАТУРА

1. В. А. Каргин и Т. И. Соголова, Ж. физ. химии, 23, 469, 1955.
2. В. А. Каргин и Т. И. Соголова, Докл. АН СССР, 88, 867, 1955.
3. В. А. Каргин и Т. И. Соголова, Ж. физ. химии, 27, 1213, 1953.
4. В. А. Каргин и Т. И. Соголова, Ж. физ. химии, 27, 744, 1953.
5. В. А. Каргин и Т. И. Соголова, Ж. физ. химии, 27, 1039, 1953.
6. В. И. Генгринович, Докл. АН СССР, 95, 571, 1954.
7. В. А. Каргин и Н. В. Михайлов, Ж. физ. химии, 14, 1940.
8. В. А. Каргин, Г. Л. Слонимский и Ю. С. Липатов, Докл. АН СССР, 109, 96, 1955.
9. Г. М. Кондратьев, Тепловой регулярный режим. Госэнергоиздат, Москва, 1954.
10. Л. Н. Черкасова, Вестн. электропром-сти, № 6, 54, 1957.

EFFECT OF STRUCTURE ON THE THERMAL CONDUCTIVITY OF POLYMERS

L. N. Cherkasova (Moscow)

Summary

The experimental findings allow generalizations to be made concerning the nature of the change in thermal conductivity of polymers in the crystalline and amorphous states. Polymers completely in the amorphous state have a tendency to increase their thermal conductivity with rise in temperature. In the crystalline state they lower their thermal conductivity on approaching the melting temperature. Above the temperature corresponding to complete melting of the crystals the change in the thermal conductivity coefficient obeys the correlations of the amorphous state.

РАЗДЕЛЕНИЕ ИЗОТОПОВ КИСЛОРОДА В ПРОЦЕССЕ ЭЛЕКТРОСИНТЕЗА ОЗОНА

*И. А. Семиохин, Г. М. Панченков, В. К. Коровкин
и А. В. Борисов*

Коэффициенты разделения изотопов кислорода при использовании ряда реакций изотопного обмена относительно высоки, однако малая скорость обмена изотопов кислорода препятствует практическому применению метода химического обмена. Скорость процесса обмена можно увеличить, применяя подходящие катализаторы или создавая условия, в которых обмен будет происходить достаточно быстро.

В лаборатории химии и разделения изотопов МГУ была поставлена работа по разделению изотопов кислорода при синтезе озона в условиях тихого электрического разряда. При помощи приближенного метода В. М. Татевского [1] [при использовании табличных значений $\gamma(r, w/T)$] была вычислена константа равновесия * реакции изотопного обмена:



оказавшаяся равной 1,174 при 20° С. Результаты расчета позволяли надеяться, что при синтезе озона произойдет перераспределение изотопов кислорода между озоном и кислородом, если только скорость процесса будет достаточно большой. Изотопный обмен между кислородом и озоном в обычных условиях изучался в работах [2], где было показано, что этот обмен относительно медленный. Нам было интересно выяснить, как быстро происходит перераспределение изотопов кислорода между озоном и кислородом в условиях электрического разряда. Для этой цели были проведены опыты по изучению зависимости разделения изотопов кислорода при электросинтезе озона от времени пребывания газа в разряде, от длины озонатора и от методики накопления озона и отбора проб.

Экспериментальная часть

Описание установки. Для проведения опытов по изучению разделения изотопов кислорода при электросинтезе озона была изготовлена установка из молибденового стекла, принципиальная схема которой приведена на рис. 1. Кислород из баллона 1 пропускается в форбаллон 2, являющийся буфером для смягчения резких толчков при впуске газа в установку. Из форбаллона газ поступал в печь 3, наполненную окисью меди, для сжигания горючих примесей (в том числе и водорода). Температура печи поддерживалась равной примерно 300° С. Из печи газ проходил в очистительно-осушительную систему 4, состоящую из четырех колонок с силикагелем и твердым едким кали. Силикагель предварительно очищался от следов железа кипячением с концентрированной соляной кислотой в течение нескольких суток при ежедневной смене кислоты, затем промывался дистиллированной водой до полного удаления ионов хлора и прокаливался при 400—450° С в токе очищенного воздуха. В колонках, наполненных силикагелем, газ очищался от пыли, следов масел и других адсорбирующихся загрязнений. Едкий кали использовался для осушки газа вследствие малого остаточного давления водяных паров в газе, пропущенном над ним (0,002 мм рт. ст. при 25° С). После предварительной очистки и осушки газ через реометр 5 поступал в ловушку 6 с силикагелем, охлаждаемую до —70, —80° С смесью ацетона с твердой углекислотой. В ловушке газ дополнительно осушался и затем направлялся в озонатор 7, в котором происходил электросинтез озона.

* Расчет констант равновесия этой реакции при разных температурах, как представляющий самостоятельный научный интерес, будет рассмотрен в следующей статье авторов.

Из озонатора смесь озона с кислородом проходила через газовую пипетку 8, служащую для отбора проб при определении концентрации озона, в систему параллельно включенных ловушек 9 с силикагелем. При проведении двухступенчатых опытов одна из ловушек охлаждалась смесью из твердой углекислоты и ацетона. Озон адсорбировался и в смеси с аргонем (во избежание взрывов) поступал в печь 10, наполненную очищенной стеклянной ватой. При 300—400° С озон разлагался и образовавшийся кислород в смеси с аргонем поступал обратно в реактор. Образующийся озон накапливался затем во второй ловушке с силикагелем. В одноступенчатых опытах часть

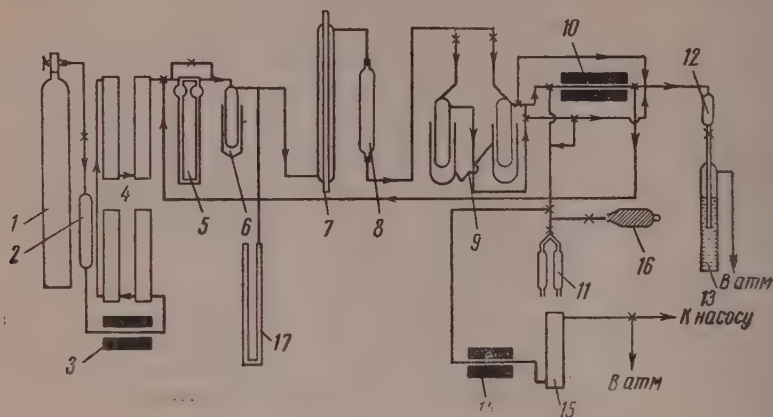


Рис. 1. Схема установки

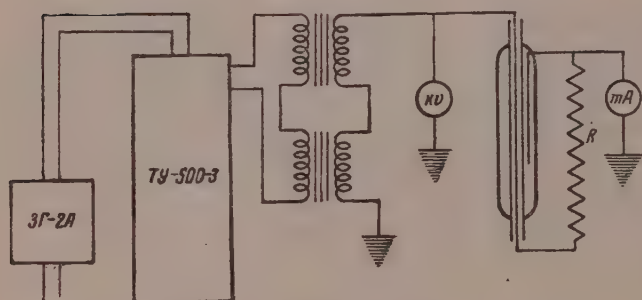


Рис. 2. Схема электрического питания установки.

накопленного в ловушке 9 озона переводилась в ампулы 11 для масс-спектрометрического анализа. Остальная часть озона разлагалась в трубчатой печи 10 и колонке с едким кали 12, после чего кислород через маностат 13 выходил в атмосферу. Давление и скорость в первых опытах регулировались при помощи маностата, контактного вакуумметра, электромагнитного реле и регулировочного клапана (не показаны на рисунке). Вскоре мы, однако, отказались от этой системы регулировки из-за больших перепадов давления. В статье приводятся результаты опытов, выполненных на установке без системы регулировки. От кислорода озон освобождался при откачке форвакуумным насосом [до $(6-8) \cdot 10^{-2}$ мм рт. ст. в наших опытах]. Для защиты масла в насосе и вакуумных резиновых шлангов от окисления озоном перед насосом устанавливались трубчатая печь 14 и колонка с едким кали 15, в которых озон разлагался практически нацело. Давления в ампулах измерялись ионизационно-термометрическим вакууметром ВИТ-1 16, в установке — ртутным манометром 17. Длина реакционной зоны в озонаторе составляла 200—650 мм, ширина газового зазора — 1 мм. Внешний диаметр внутреннего электрода равнялся 19 мм. Объем длинного озонатора составлял 41 см³. Охлаждение электродов реактора производилось водой из термостата. Перед подачей во внутренний электрод высокого напряжения и после выхода из него вода проходила через стеклянную спираль сечением 0,3 см и длиной 8 м. Обе спирали с водой служили балластным сопротивлением. Электрическое сопротивление каждой спирали равнялось 17 МΩ. Питание озонатора электрическим током производилось от генератора звуковой частоты 3Г-2А и трансляционного усилителя ТУ-500-3. Частота

ка равнялась в опытах 1400 *гц*. Ток от усилителя подавался на два последовательно сложенных трансформатора ОМ-6 с суммарным коэффициентом трансформации 120 ис. 2). Крайняя клемма вторичной обмотки одного из трансформаторов была заземлена. Ток высокого напряжения с крайней клеммы вторичной обмотки другого трансформатора подавался к внутреннему электроду реактора. Внешний электрод озонатора заземлен. Сила тока озонатора измерялась по мультиметру Ц-312, падение напряжения на электродах и балластном сопротивлении по статическому вольтметру С-96. апряжение в опытах равнялось 8 *kV*, сила тока 10—40 *мА*. Для определения мощности в озонаторе нами использовался проточно-калориметрический метод, предложенный впервые Е. Н. Ереминым и С. С. Васильевым [3]. Истинная мощность разряда авлялась 17—90 *W*. Концентрация озона определялась йодометрически.

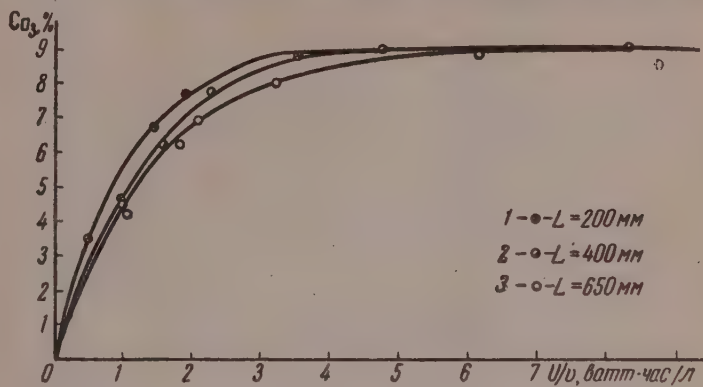


Рис 3. Кинетические кривые электросинтеза озона в озонаторах разной длины: 1—20 см; 2—40 см и 3—65 см

На рис. 3 приведена кривая зависимости концентрации озона от удельной энергии U/v * (*Wh/l*). Максимальная концентрация озона, достигнутая в наших опытах, равнялась 10—11 об. %.

Методика проведения опытов. Перед началом работы включались печь, термостат, звуковой генератор и накал ламп в усилителе. Установка откачивалась форвакуумным насосом для удаления озона, оставшегося в ней от предыдущего опыта. После откачки установки до 1—3 *мм рт. ст.* через нее при атмосферном давлении пропускali такой объем кислорода, который гарантировал 5-, 10-кратный обмен газа в установке. Подготовка установки к работе занимала около часа. Затем по реометру становилась нужная скорость подачи кислорода, а регулировкой величины выходного напряжения и частоты в звуковом генераторе — необходимые сила тока и падение напряжения на электродах озонатора. Отбор проб производился после того, как в объеме между озонатором и ампулами произойдет 5-, 10-кратный обмен газа, благодаря которому состав газа в ампулах будет отвечать составу газа в реакционной зоне. Ампулы предварительно откачивались до (6—8) · 10⁻² *мм рт. ст.* После откачки ампулы помещались в сосуд Дьюара с жидким азотом, отключался форвакуумный насос и немного открывался кран, соединяющий ампулы с установкой. Смесь озона и кислорода вымораживалась на дне ампулы в количестве, не превышающем 1,5—1,0 *см³*, в зависимости от концентрации озона.

При большой концентрации озона смесь жидкого озона и кислорода имеет темный цвет, при малой — бледно-голубой. После вымораживания необходимого количества озона кран перекрывался и включался форвакуумный насос. Ампулы откачивались в течение 1—2 час. до давления (6—8) · 10⁻² *мм рт. ст.* Длительная откачка и большая разница в температурах кипения кислорода и озона гарантировали полное испарение кислорода. Отпайка ампул производилась под вакуумом при работающем насосе, что полностью устраняло возможность взрыва. Нами было отобрано около сотни проб и не было ни одного случая взрыва ампулы во время отпайки под вакуумом. Через сутки после отбора проб ампулы помещались в сушильный шкаф, где выдерживались 3—4 часа при 100° *C* для полного разложения озона. Тем самым устранялась возможность взрыва ампулы во время анализа, и, кроме того, предохранялись вакуумные шланги форвакуумного насоса масс-спектрометра от окисления озоном.

Масс-спектрометрический анализ. Анализ изотопного состава кислорода производился на приборе типа МС-3 по молекулярным пикам кислоро-

* Отношение U/v , впервые введенное С. С. Васильевым, Н. И. Кобозевым, Е. Н. Ереминым [4] под названием удельной энергии, представляет количество энергии в ватт-часах, приходящееся на литр пропущенного через разряд газа.

да, отвечающим массам 32 и 34. Во время анализа образцов давление в ионном источнике не превышало $2 \cdot 10^{-6}$ мм рт. ст., в анализаторе — $(4-5) \cdot 10^{-7}$ мм рт. ст. Это обеспечивало стабильность работы прибора и хорошую точность анализов. Интенсивность пика 32 равнялась 18–20 V, интенсивность пика 34—70–100 mV. Интенсивность остаточных пиков 32 обычно не превышала 40 mV, т. е. составляла 0,2% от интенсивности основного пика. Остаточные пики 34 не могли быть обнаружены даже при помощи выносного милливольтметра класса 0,5. Пики 33 и 36, отвечающие молекулам $O^{16} O^{17}$ и O_2^{18} , не учитывались при обработке результатов анализа, так как их интенсивность не превышала нескольких милливольт.

Коэффициент обогащения S равен

$$S = R_0 / R, \quad (2)$$

где R_0 и R — отношения $[O_2^{16}] / [O^{16}O^{18}]$ в исходном кислороде и в образце S больше единицы, если образец обогащен тяжелым изотопом.

Результаты опытов. Влияние удельной энергии и. Фактор удельной энергии U/v имеет большое значение в газовой электрохимии как критерий сравнения эффективности проведения процессов. При постоянной мощности разряда изменение удельной энергии эквивалентно изменению времени пребывания реагентов в зоне реакции ($\text{const}/v \approx \text{const } t$). Поэтому зависимость коэффициента обогащения от U/v в этом случае будет указывать на кинетику процесса обогащения. Но даже и при изменении мощности разряда от опыта к опыту фактор U/v можно использовать как эквивалент времени в разных кинетических расчетах. Как показали многочисленные работы лаборатории катализа и газовой электрохимии МГУ, фактор U/v является своего рода критерием подобия, позволяющим сравнивать эффективность процессов, проведенных при различных условиях и даже в реакторах разного масштаба.

В большинстве наших опытов мощность разряда в озонаторе поддерживалась примерно постоянной и разной 90 W. Однако некоторые опыты были проведены хотя и при одинаковых величинах U/v но при разных мощностях разряда. Несмотря на это, опытные значения коэффициента обогащения S хорошо укладывались на общую кривую зависимости S от U/v (это относится как к рис. 4, так и к рис. 5, 6). На рис. 4 представлены результаты опытов, при 20°C и 750 мм рт. ст. Если сопоставить ход кривой зависимости S от U/v (рис. 4) с ходом кривой зависимости c_0 от U/v (рис. 3), то можно заметить, что стационарная концентрация озона достигается при тех же значениях U/v , что и стационарное состояние процесса изотопного обмена. При постоянной мощности разряда это говорит о том, что перераспределение изотопов в условиях разряда происходит одновременно с ведущей к нему реакцией. Нами из объемных скоростей и объема озонатора было ориентировочно вычислено время достижения стационарного состояния при разделении изотопов. Тот факт, что оно оказалось очень малым (порядка 1 сек.), указывает на большую скорость реакций изотопного обмена в условиях электрического разряда. Среднее значение коэффициента обогащения для значений $U/v \geq 2 \text{ Wh/l}$ найдено равным 1,08.

Влияние длины озонаторов. Нами были проведены опыты в озонаторах с одинаковыми разрядными промежутками и диаметрами электродов при длине их в 20, 40 и 65 см. Мощность озонаторов составляла 17,61 и 87 W, соответственно. Температура охлаждающей воды равнялась 20°C , давление в озонаторах — 750 мм рт. ст. Опыты показали, что коэффициент обогащения не зависит практически от длины озонаторов при изменении ее от 20 до 65 см и составляет 1,08–1,10 при $U/v \geq 2 \text{ Wh/l}$.

Влияние методик накопления озона и отбора пробы. Поскольку для проведения двух- и многоступенчатых опытов необходимо получать в первой ступени относительно большие количества озона, ради безопасности целесообразно накапливать его на очищенном

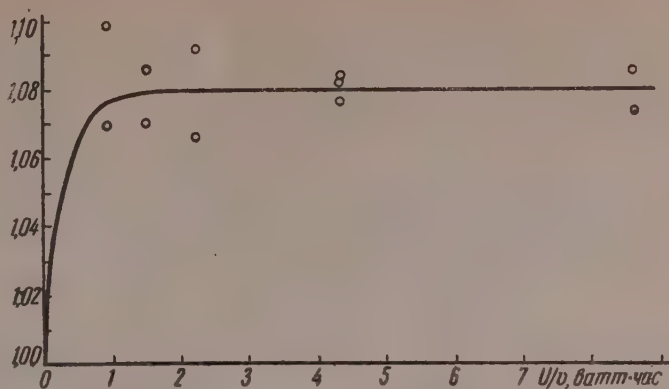


Рис. 4. Зависимость коэффициента обогащения от удельной энергии в озонаторе длиной 65 см

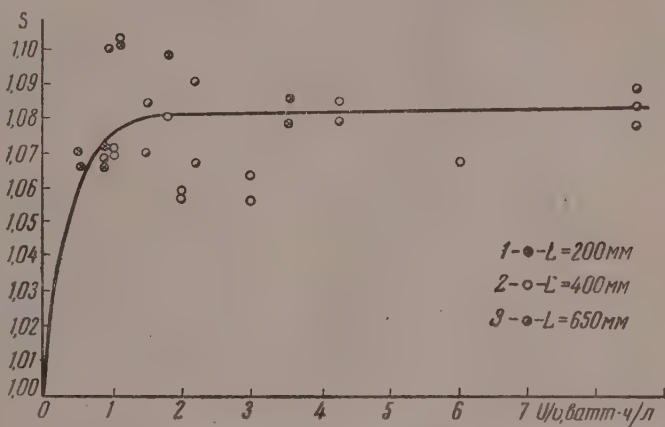


Рис. 5. Зависимость коэффициента обогащения от удельной энергии в озонаторах разной длины: 1—20 см; 2—40 см и 3—65 см

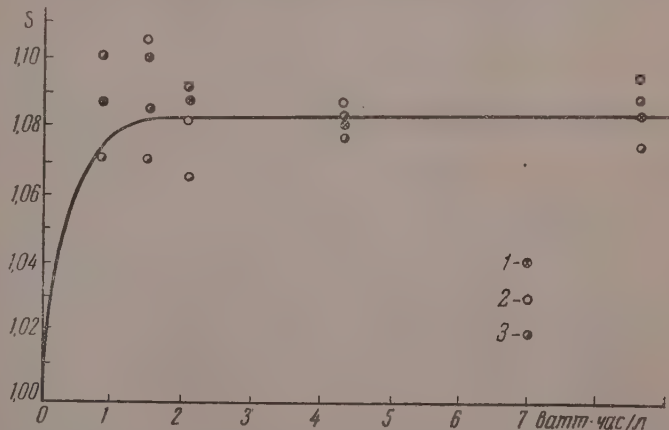


Рис. 6. Зависимость коэффициента обогащения от удельной энергии для разных методик накопления озона и отбора проб: 1 — на силикагеле; 2 — на силикагеле с аргонном; 3 — с жидким азотом без силикагеля; длина озонатора 650 мм.

силикагеле при температуре — 75, — 80° С. Десорбция озона с силикагеля с последующим разложением до кислорода безопасна при использовании какого-либо инертного газа, например аргона. Чтобы выяснить, не имеет ли места изотопический эффект при адсорбции и десорбции озона с силикагеля, мы провели 3 серии опытов с разными методиками накопления озона и отбора проб. В первой серии опытов раствор озона в кислороде накапливался в ампулах, охлаждаемых жидким азотом, из которых затем испарением под вакуумом удалялся кислород. Озон перед масс-спектрометрическим анализом разлагался до кислорода. Во второй серии опытов озон накапливался на силикагеле при — 75, — 80° С, после чего переводился в предварительно откачанные ампулы, охлаждаемые жидким азотом. В третьей серии опытов озон также накапливался на силикагеле, однако до его перевода в ампулы через ловушку с силикагелем пропусклся аргон, который предварительно удалял адсорбированный кислород. Затем озон с аргоном переводился в ампулы, из которых аргон удалялся под вакуумом. Как видно из рис. 6, методики накопления озона и отбора проб также мало влияют на разделение изотопов кислорода при электросинтезе озона.

Выводы

1. С помощью статистического метода расчета изотопных равновесий, предложенного В. М. Татевским, вычислена константа равновесия реакции $2\text{O}_3^{16} + 3\text{O}_2^{18} = 2\text{O}_3^{18} + 3\text{O}_2^{16}$, оказавшаяся равной 1,174 при 20° С.

2. Сконструирована установка, удобная для определения коэффициента однократного разделения и проведения многоступенчатых опытов по разделению изотопов кислорода.

3. Показано, что стационарное состояние в условиях разряда достигается при значениях U/v , равных 2 Wh/л, т. е. за время порядка секунды.

4. Обнаружено, что обогащение озона изотопом O^{18} практически не зависит от длины озонаторов и методики накопления озона и отбора проб.

5. В условиях одноступенчатых опытов в озонаторах разной длины при 20° С и 750 мм рт. ст. получены значения коэффициентов обогащения, равные 1,08—1,10.

Московский государственный
университет им. М. В. Ломоносова

Поступила
13.II.1958

ЛИТЕРАТУРА

1. В. М. Татевский, Ж. физ. химии, 25, 261, 1951.
2. R. O g g a, W. S u t p h e n, J. Chem. Phys., 21, 2078, 1953; Trans. Faraday. Soc., 17, 47, 1954.
3. Е. Н. Еремин, С. С. Васильев, Уч. зап. МГУ, 86, кн. 2, 68, 1946.
4. С. С. Васильев, Н. И. Робозев, Е. Н. Еремин, Ж. физ. химии, 7, 620, 1936.

SEPARATION OF OXYGEN ISOTOPES IN THE PROCESS OF ELECTROSYNTHESIS OF OZONE

I. A. Semiokhin, G. M. Panchenkov, V. K. Korovkin and A. V. Borisov
(Moscow)

Summary

The separation of oxygen isotopes has been accomplished by the method of chemical exchange under electrical discharge conditions. An apparatus has been devised, convenient for determining the coefficient of once-through separation of the isotopes, and experiments have been carried out of the multistage separation of oxygen isotopes in the electrosynthesis of ozone. The steady state in the isotope exchange between oxygen and ozone has been shown to be established within one second. This bears evidence to the high rate of redistribution of the isotopes under electrical discharge conditions. The enrichment of the ozone in the ozonizer with O^{18} isotope practically does not depend on the ozonizers long and on the methods of the ozone accumulation and of the tests taking. Under one stage experimental conditions in reactors of different lengths with gas space 1 mm wide the values of the coefficients obtained at 20° C and 750 mm Hg were found to be 1.08—1.10.

ИССЛЕДОВАНИЕ МНОГОКОМПОНЕНТНЫХ ГЕТЕРОГЕННЫХ СИСТЕМ МЕТОДОМ ИЗМЕРЕНИЯ МАСС ФАЗ. I

*Л. С. Палатник, Г. Р. Виногоров, М. Б. Каган
и В. Б. Куропятник*

Целью настоящей работы является изучение равновесия в жидких гетерогенных многокомпонентных системах для построения диаграмм состояния. Этот вопрос вызывает интерес многих исследователей, так как различные отрасли промышленности связываются с практическим использованием такого рода систем. Особенно широко этот вопрос изучается в течение последних 10—15 лет [1—10]. Изучено очень большое число гетерогенных жидких систем, содержащих два, три и большее число компонентов. Найдена, например, многокомпонентная система, состоящая из восьми жидких компонентов, находящихся в равновесии [11].

Имеются попытки систематизировать данные о растворимости многокомпонентных жидких систем. Метч [12] приводит таблицу, в которой собрано около 400 пар ограничительно смешивающихся органических жидкостей. Этому вопросу посвящены также работы ряда других авторов [13, 14].

Большой интерес вызывает изучение вопроса о селективности отдельных растворителей. Использованию нитрилов в качестве селективных растворителей посвящает свою работу Саундерс [15].

Часть работ посвящена изучению солютропических свойств некоторых жидкостей, горные нельзя не учитывать при выборе растворителей для экстракции ряда веществ. работе [16] дается объяснение явлению солютропии.

Френсис [17] изучал способность некоторых органических растворителей давать смеси одинаковой или близкой плотности (так называемые изопикнические смеси). Как известно, жидкости с одинаковыми плотностями, подобно азеотропам, почти не поддаются разделению. Следовательно, это свойство жидкостей также необходимо учитывать при выборе промышленных растворителей. Им изучался также вопрос применения жидкой двуокиси углерода в качестве технического растворителя [18]. работе [19] исследовался вопрос о применении жидкой двуокиси серы для экстракции и очистки некоторых нефтяных фракций.

Необходимо отметить, что до настоящего времени построение диаграмм растворимости многокомпонентных гетерогенных жидких систем производилось при помощи принятых методов физико-химического анализа (определение коэффициентов деления, плотности, вязкости, электропроводности и других свойств растворов, непрерывно изменяющихся в зависимости от изменения концентрации компонентов смеси).

В работе [20], например, изучалась растворимость ряда тройных систем методом термического титрования с последующим определением концентраций компонентов растворах по изменению коэффициентов преломления.

Этот же метод исследования был применен в работе [21] при изучении тройных систем, содержащих спирты, могущие заменить этиловый спирт в некоторых экстракционных процессах.

В работе [22] при изучении фазовых равновесий некоторых тройных систем пользовался для построения бинальных кривых метод Отмера и Тобиаша [23].

Растворимость в системе 1,2-дихлорэтан — этиловый спирт — вода, изучением которой занимались В. В. Удовенко и Л. Г. Фаткулина [24], определялась при помощи политермического метода В. Ф. Алексеева. Вопросом о применении этого метода тройным системам занимался М. Л. Крупаткин [25].

Д. П. Белоцкий [26] изучил различные свойства тройной системы этиловый спирт — анилин — хлороформ (вязкость, электропроводность и др.).

Следует отметить, что перечисленные выше методы физико-химического и химического анализа оказываются зачастую очень громоздкими и продолжительными, иногда совсем непригодными (при наличии незначительных концентраций компонентов в растворах).

Настоящая работа была предпринята с целью проверки пригодности для построения диаграмм равновесия гетерогенных жидких систем метода измерения масс фаз, предложенного одним из авторов настоящей работы [27].

Построение диаграмм растворимости при помощи метода взвешивания масс в основном сводится к определению масс фаз, возникающих в много-

компонентных гетерогенных жидких системах. Для анализа различных фаз многокомпонентных систем необходимо знать массы этих фаз и массы отдельных компонентов системы. В связи с этим была проведена предварительная работа для выбора методики определения масс фаз.

В результате ряда экспериментов была выбрана следующая методика. Для разделения смесей использовался сосуд с углублением на дне (рис. 1) и специальная пипетка с капиллярным концом, что давало возможность разделять фазы с точностью до малой капли. Использование демпферных аналитических весов давало возможность с достаточной точностью и необходимой быстротой проводить взвешивание.

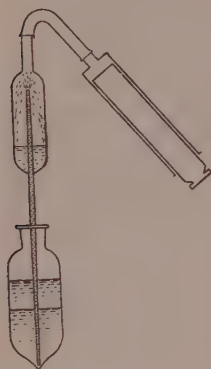


Рис. 1. Прибор для разделения фаз

Для медленного и равномерного отсоса жидкости необходимо было создать разрежение, что достигалось при помощи стеклянного шприца, позволявшего регулировать скорость отсоса жидкости.

После того как в описанном выше сосуде, снабженном притертой пробкой для уменьшения потерь в случае работы с легко летучими растворами, составлялась путем взвешивания отдельных компонентов смесь, вес которой также определялся, содержимое сосуда тщательно взбалтывалось в течение длительного времени. Затем смесь оставляли в покое до достижения полного разделения фаз. В случае образования более стойких эмульсий, что имело место в некоторых системах, содержащих воду, полное расслоение достигалось дополнительным центрифугированием.

После полного расслоения системы на фазы пипетка описанного выше прибора посредством винтового устройства (использовалось кремальерное устройство от микроскопа) опускалась на дно сосуда; затем при помощи шприца создавалось разрежение, необходимое для извлечения нижнего слоя смеси. Оставшийся верхний слой взвешивался и по разности весов определялся вес извлеченного нижнего слоя. Таким образом, обычно взвешивание давало возможность определить массы компонентов первоначальной смеси и массы фаз по достижении равновесия.

Для определения положения кривой растворимости (бинодальной кривой) тройной системы применялся классический метод изотермического титрования смеси двух компонентов третьим. В случае титрования гомогенного раствора двух компонентов третьим гетерогенизирующим компонентом титрование производилось до появления устойчивого помутнения при прибавлении одной (последней) капли этого компонента. Состав раствора, соответствующего каждой точке кривой растворимости, может быть определен, если известны массы каждого из двух компонентов раствора и третьего, добавляемого при титровании.

Таким образом, определение положения бинодальной кривой сводится к взвешиванию компонентов смеси и дальнейшей математической обработке результатов.

Определение положения конод производилось графическим методом. Графический метод построения конод сводится к следующему: специальная линейка, имеющая метку 0 (нуль) посередине и вращающаяся вокруг не-

Таблица 1

Содержание анилина, %		Примечание
Метод взвешивания фаз	Химический метод	
9,3	9,50	Гептановый слой
12,0	11,90	
7,0	6,87	
76,0	75,86	Анилиновый слой
72,0	71,80	
84,0	84,20	

к вокруг оси, устанавливается нулевым делением в исследуемую точку терогенной области диаграммы, для которой определены концентрации компонентов системы и соотношение масс фаз.

Таблица 2

Взаимная растворимость в системе метиловый спирт—вода—дихлорэтан

Вес. % воды	Вес. % метилового спирта	Вес. % дихлорэтана	Вес. % воды	Вес. % метилового спирта	Вес. % дихлорэтана
98,7	0,00	1,3	30,6	53,1	16,3
90,3	8,2	1,5	27,8	52,6	19,6
84,2	14,1	1,7	26,6	51,4	22,0
78,3	20,2	1,5	22,4	51,2	26,4
76,2	22,4	1,4	16,5	49,0	32,9
69,1	28,4	2,5	19,1	47,2	33,7
53,2	42,2	4,6	14,2	43,2	45,6
51,9	43,0	5,1	10,4	38,0	51,6
47,7	45,6	6,7	8,1	32,9	59,0
47,1	46,0	6,9	7,2	30,1	62,7
43,1	48,9	8,0	5,8	26,4	67,8
39,5	51,4	9,1	4,7	23,0	72,3
34,3	52,3	13,4	3,4	20,0	76,6
32,0	52,1	15,4	2,0	13,6	85,1
31,5	53,6	14,9			

Таблица 3

Взаимная растворимость в системе дихлорэтан—изопропиловый спирт—вода

Дихлорэтан, %	Изопропиловый спирт, %	Вода, %
4,3	31,8	63,9
5,5	33,9	60,6
8,3	36,7	55,0
10,1	43,2	49,7
10,3	39,0	50,7
13,1	40,6	46,3
17,0	42,8	40,2
19,0	45,6	35,4
25,5	45,6	29,9
28,8	44,3	27,9
29,1	45,8	25,1
29,9	45,9	24,2
33,4	46,0	20,6
38,2	37,8	24,0
38,6	45,4	16,0
47,3	41,0	11,7
47,6	40,9	11,5
50,2	40,0	9,8
51,4	40,0	8,6
60,2	33,9	5,9
68,6	27,1	4,3
75,0	22,3	2,7

Таблица 4

Взаимная растворимость в системе *n*-гептан—хлороформ—анилин

Вес. % <i>n</i> -гептана	Вес. % хлороформа	Вес. % анилина
6,1	0	93,9
6,6	6,3	87,1
7,8	11,9	80,3
9,1	14,4	76,5
12,3	20,0	67,7
13,8	22,2	64,0
14,7	23,3	62,0
19,6	26,2	54,2
20,6	27,0	52,4
32,8	29,5	37,7
34,6	30,0	35,4
46,0	27,6	26,4
49,2	26,8	24,0
58,5	23,6	17,9
70,0	17,7	12,3
78,6	12,5	8,9
84,7	7,6	7,7
90,0	2,4	7,6
92,4	0	7,6
Критическая точка		
33,8	29,8	36,4

Постепенным вращением линейки добиваются такого однозначного положения ее, при котором, согласно правилу рычага, достигается равенство $L_1/L_2 = m_2/m_1$ (где L_1 и L_2 — отрезки, отсекаемые на рис. 2 исследуемой точкой на искомой коноде; m_2/m_1 — отношение масс фаз), после чего проводят коноду, т. е. линию, соединяющую между собой точки на кривой растворимости, соответствующие составам сопряженных растворов.

С целью проверки применимости метода взвешивания фаз нами было поставлено изучение системы анилин — четыреххлористый углерод — нормальный гептан с одновременным определением содержания анилина бромометрическим методом в отделяемых фазах [28].

Результаты опытов сведены в табл. 1.

Таким образом, настоящий метод дает возможность определить состав фаз с точностью до 0,2%.

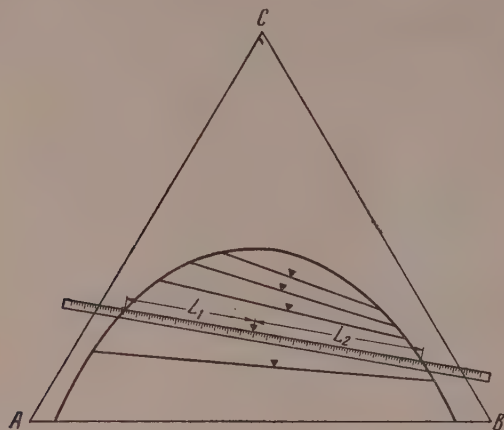


Рис. 2. Линейка для построения кодов

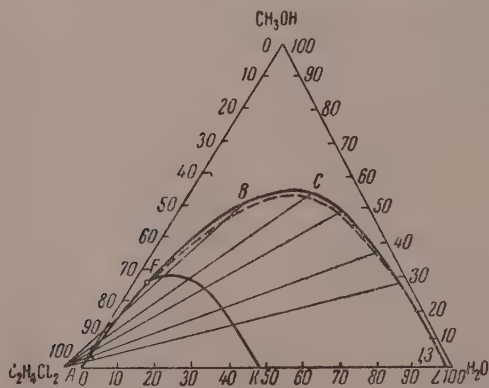


Рис. 3. Система дихлорэтан — метиловый спирт — вода. Сплошная линия — метод взвешивания фаз при $18^\circ (\pm 0,5^\circ)$. Пунктирная линия — кривая работы [21] при 25° .

С целью проверки данного метода было проведено исследование систем: вода — метиловый спирт — дихлорэтан, вода — изопропиловый спирт — дихлорэтан, изученных в работе [21].

Изучение диаграммы равновесия этих систем было проведено при $18^\circ (\pm 0,5^\circ)$. Результаты этой проверки приведены на рис. 3 и 4 и в табл. 2 и 3.

Этим же методом была исследована неизученная ранее тройная система с бинарным расслаиванием: анилин — хлороформ — *n*-гептан. Бинодальная кривая строилась методом изотермического титрования. Определение растворимости в двойной системе анилин — *n*-гептан производилось аналитическим методом, основанным на измерении масс фаз, находящихся в равновесии.

Нами были получены данные, приведенные в табл. 4 и 5.

Из полученных данных была построена диаграмма растворимости системы анилин-хлороформ-*n*-гептан, приведенная на рис. 5.

Таблица 5

Состав сопряженных растворов

Анилиновый слой			<i>n</i> -Гептановый слой		
Вес. % <i>n</i> -гептана	Вес. % хлороформа	Вес. % анилина	Вес. % <i>n</i> -гептана	Вес. % хлороформа	Вес. % анилина
6,3	5,8	87,9	86,9	5,8	7,3
8,3	13,4	78,3	77,0	13,4	9,6
10,3	17,7	72,0	70,0	17,7	12,3
11,3	19,5	69,2	66,5	19,5	14,0
15,2	23,7	61,6	58,2	23,7	18,1
18,4	25,9	55,7	53,0	25,9	21,1
26,0	28,7	45,3	42,5	28,7	28,8

Из табл. 5 видно, что система не солютропна, так как хлороформ одинаковым образом распределяется в обоих слоях. Как видно из рис. 5,

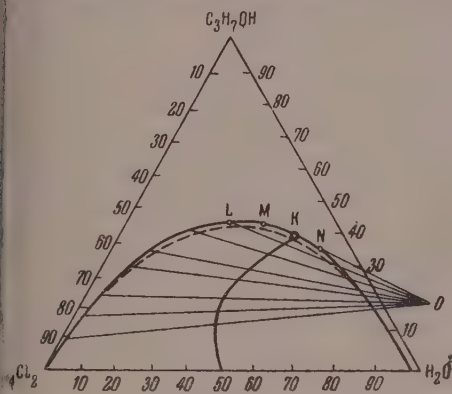


Рис. 4

Рис. 4. Система дихлорэтан — изопропиловый спирт — вода. Сплошная линия — метод взвешивания фаз при $18^\circ (\pm 0,5^\circ)$. Пунктирная линия — кривая из работы [21] при 25° .

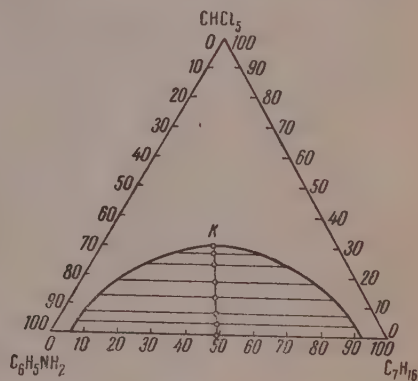


Рис. 5

Рис. 5. Система анилин — хлороформ — *n*-гептан, изученная методом взвешивания фаз при $18^\circ (\pm 0,5^\circ)$.

коноды идут параллельно основанию треугольника. Пересечение линий, соединяющих середины конод, с кривой растворимости дает критическую точку K. Критический раствор содержит анилина 36,4 %, хлороформа 29,8 %, *n*-гептана 33,8 %.

Выводы

1. Для построения диаграмм равновесия тройных гетерогенных жидких систем применен метод измерения масс фаз.

2. Для оценки применимости и точности метода измерения масс фаз были проведены контрольные опыты на системе: анилин — четыреххлористый углерод — *n*-гептан с одновременным бромометрическим определением анилина и проверены диаграммы равновесия двух систем: вода — метиловый спирт — дихлорэтан, вода — изопропиловый спирт — дихлорэтан, ранее описанные в литературе [21]. Экспериментально установлено, что точность метода замера масс фаз не ниже $\sim 0,2\%$.

3. Исследована система анилин — хлороформ — *n*-гептан при 18 ($\pm 0,5^\circ$) методом измерения масс фаз.

4. Настоящая работа подтверждает применимость метода измерения масс фаз и разработанной нами экспериментальной методики для построения диаграмм равновесия трехкомпонентных гетерогенных жидких систем

Поступила
19.II.1958

ЛИТЕРАТУРА

1. J. C. Elgin, *Industr. and Engng Chem.*, 38, 26, 1946.
2. J. C. Elgin, *Industr. and Engng Chem.*, 39, 23, 1947.
3. J. C. Elgin, *Industr. and Engng Chem.*, 40, 53, 1948.
4. J. C. Elgin, *Industr. and Engng Chem.*, 41, 35, 1949.
5. J. C. Elgin, *Industr. and Engng Chem.*, 42, 47, 1950.
6. R. E. Treybal, *Industr. and Engng Chem.*, 43, 79, 1951.
7. R. E. Treybal, *Industr. and Engng Chem.*, 44, 53, 1952.
8. R. E. Treybal, *Industr. and Engng Chem.*, 45, 58, 1953.
9. R. E. Treybal, *Industr. and Engng Chem.*, 46, 91, 1954.
10. R. E. Treybal, *Industr. and Engng Chem.*, 47 (p. II), 536, 1955.
11. J. H. Hildebrand, *J. Amer. Chem. Soc.*, 72, 10, 1950.
12. F. A. V. Metzch, *Angew. Chemie*, 65, 586, 1953.
13. Y. L. Gladel, J. Durand et, *Rev., Inst. pang. Petr* 9, 221, 1955.
14. J. C. Smith, *Industr. and Engng Chem.*, 42, 1438, 1950.
15. K. W. Saunders, *Industr. and Engng Chem.*, 43, 1, 1951.
16. G. N. Vriens, E. C. Medcalf, *Industr. and Engng Chem.*, 45, 1098, 1953.
17. A. W. Fransis, *Industr. and Engng Chem.*, 45, 2789, 1953.
18. A. W. Fransis, *Industr. and Engng Chem.*, 47, 230, 1955.
19. C. N. Satterfield, J. H. Powell, E. A. Oster, J. P. Noyes, *Industr. and Engng Chem.*, 47, 1458, 1955.
20. J. H. Jones, J. F. McCants, *Industr. and Engng Chem.*, 46, 1956, 1954.
21. А. К. Франке, Взаимная растворимость в тройных жидких системах, Диссертация, Харьков, 1953.
22. L. F. Crooke, Matheu van Winkle, *Industr. Engng Chem.*, 46, 1474, 1954.
23. F. Othmer, P. E. Tobias, *Industr. and Engng Chem.*, 33, 1240, 1941.
24. В. В. Удовенко, и Л. Г. Фаткулина, *Ж. физ. химии*, 24, 892, 1952.
25. И. Л. Крупаткин, *Ж.*, общ. химии, 25, 2023, 1955.
26. Д. П. Белоцкий, Физ.-хим. анализ тройной системы этиловый спирт—анилин—хлороформ, Диссертация, Черновицы, 1952.
27. Л. С. Палатник и А. И. Ландау, *Ж. техн. физ.*, 20, 2340, 1958.
28. Р. П. Ластовский, Технический анализ в производстве промежуточных продуктов и красителей, Госхимиздат, 1949.

INVESTIGATION INTO MULTICOMPONENT HETEROGENEOUS SYSTEMS WITH THE AID OF THE PHASE MASS METHOD. I

L. S. Palatnik, G. R. Vinogorov, M. B. Kagan and V. B. Kuropyatnik

(Kharkov)

Summary

In the present work a new procedure for studying multicomponent liquid systems is described, based on determination of the mass of the individual components and of the mass of the phases on reaching equilibrium. The method makes for comparatively rapid investigation of the system and permits plotting of the equilibrium diagram since it is not connected with the carrying out of chemical or physico-chemical analyses.

The method was shown to be valid by test on the following systems: water—methyl alcohol—dichloroethane and water—*isopropyl* alcohol—dichloroethane investigated by A. K. Franke.

In the case of the system aniline—carbon tetrachloride—*n*-heptane bromometric determinations was also made of aniline. The results obtained by the phase mass and chemical methods did not differ by more than 0.2%.

Investigations were also made at 18°C of the system aniline—chloroform—*n*-heptane, not studied previously, and its equilibrium diagram was plotted.

ОСЦИЛЛОГРАФИЧЕСКОЕ ИССЛЕДОВАНИЕ КИНЕТИКИ
ЭЛЕКТРОДНЫХ ПРОЦЕССОВ.

I. МЕТОД

В. Л. Хейфец и А. Б. Шейнин

Метод количественного изучения кинетики электродных процессов, основанный на осциллографической записи кривых потенциал—время при включении (или выключении) поляризующего тока, был впервые применен еще в 1939 г. в работах В. А. Ройтера с сотрудниками [1—3] и в настоящее время получил значительное распространение [4—7]. Преимущества осциллографического метода по сравнению с обычными поляризационными измерениями были указаны А. Т. Вагряном и З. А. Соловьевой [8]; главное из них состоит в том, что очень короткое время съемки (порядка тысячных или сотых долей секунды) позволяет избежать искажений, связанных с изменением состояния поверхности электрода (в частности, с изменением ее величины).

Об обработке осциллографических кривых. Если металлический электрод погружен в раствор собственных ионов, то процессы, протекающие на его поверхности при включении тока постоянной плотности I , могут быть описаны уравнением:

$$I = C \frac{d\Delta\varphi}{d\tau} + i, \quad (1)$$

где C — емкость 1 см^2 двойного слоя, $\Delta\varphi$ — сдвиг потенциала от равновесного значения, τ — время, i — плотность тока утечки.

Уравнение (1) основано на представлении о двойном электрическом слое как о плоском конденсаторе с утечкой, определяемой скоростью электродной реакции. Оно справедливо, следовательно, в том случае, когда потенциал на расстоянии одного ионного радиуса от поверхности электрода (ψ -потенциал) равен постоянной величине.

Если скорость электродной реакции определяется замедленностью стадий разряда-ионизации, то

$$i = i_0 (e^{(\beta z F / RT)\Delta\varphi} - e^{-(\alpha z F / RT)\Delta\varphi}), \quad (2)$$

где z — число электронов, участвующих в реакции, F — число Фарадея, R — газовая постоянная, T — температура, α и β — дробные коэффициенты ($\alpha + \beta = 1$), i_0 — ток обмена. (Уравнение записано для случая анодной поляризации.)

Подставляя (2) в (1), получим

$$\frac{d\Delta\varphi}{d\tau} = \frac{I}{C} - \frac{i_0}{C} (e^{(\beta z F / RT)\Delta\varphi} - e^{-(\alpha z F / RT)\Delta\varphi}). \quad (3)$$

При выключении тока $I = 0$, и

$$\frac{d\Delta\varphi}{d\tau} = -\frac{i_0}{C} (e^{(\beta z F / RT)\Delta\varphi} - e^{-(\alpha z F / RT)\Delta\varphi}). \quad (4)$$

Для случая катодной поляризации справедливы уравнения, отличающиеся от (3) и (4) только знаком перед скобками.

Для сопоставления экспериментальных кривых включения и выключения тока с теоретическими уравнениями (3) и (4) некоторые исследо-

ватели предлагали интегрировать эти уравнения. Поскольку, однако, интегрирование в общем виде провести нельзя, этот способ оказался пригоден лишь для некоторых простейших частных случаев.

Так, В. А. Ройтер, В. А. Юза и Е. С. Полуян [1] интегрировали уравнения (3) и (4) в предположении $\alpha = \beta = 1/2$ и применили полученные уравнения к исследованию электродных процессов на некоторых металлах в растворах собственных ионов. В. И. Кравцов [6] использовал осциллографический метод для исследования электродных процессов, протекающих на металлах, растворяющихся в кислотах, и рассмотрел при этом два крайних случая: случай больших поляризаций, когда можно пренебречь одним из экспоненциальных членов в уравнениях (3) и (4), и случай малых поляризаций, когда можно разложить экспоненциальные члены уравнений (3) и (4) в ряд и ограничиться небольшим числом членов разложения.

Помимо ограничений, связанных с условиями интегрирования уравнений (3) и (4), имеется и другое обстоятельство, затрудняющее использование этих уравнений в их интегральной форме: для применения этих уравнений необходимо знать величину предельного смещения потенциала $\Delta\varphi_\infty$.

Экспериментальное определение этой величины всегда связано с некоторой погрешностью: если время съемки мало, то потенциал может не успеть достигнуть предельного значения, отвечающего данной плотности поляризующего тока; если же время съемки велико, то возникает опасность изменения состояния электрода (в том числе величины его истинной поверхности), в результате чего изменится, конечно, и величина $\Delta\varphi_\infty$.

В некоторых случаях В. А. Ройтер, В. А. Юза и Е. С. Полуян применяли для обработки осциллографических кривых другой метод, не связанный с интегрированием уравнений (3) и (4) и основанный на определении величины $\Delta\varphi_\infty$ и тангенса угла наклона кривой в момент $\tau = 0$. Этот метод позволяет определить величину тока обмена i_0 , если известны коэффициенты α и β , но не дает возможности сопоставить ход экспериментальной кривой с требованиями теории. Кроме того, этот метод требует экспериментального определения $\Delta\varphi_\infty$ и тангенса угла наклона осциллографической кривой в начальной точке; погрешности, связанные с определением $\Delta\varphi_\infty$, обсуждались выше; что касается тангенса угла наклона, то его определение тоже связано с заметными ошибками, так как начальные участки осциллограмм в большинстве случаев имеют искажения (пики в работе [7]). Наконец, как уже отмечалось, метод применим лишь в том случае, если известны коэффициенты α и β . Все эти обстоятельства в значительной степени ограничивают возможности его применения.

Ниже излагается новый метод обработки осциллографических кривых, основанный на использовании уравнений (3) и (4) в их дифференциальной форме. Метод применим при любых значениях поляризации и позволяет не только проверить подчинение осциллографических кривых требованиям теории, но и определить как величину тока обмена i_0 , так и коэффициенты α и β . Кроме того, метод не требует знания предельного смещения потенциала $\Delta\varphi_\infty$.

Особенно удобными для обработки по излагаемому ниже методу оказываются кривые выключения тока. Если в уравнение (4) вынести за скобки множитель $e^{(\beta z F / RT) \Delta\varphi}$ и учесть, что $\alpha + \beta = 1$, то уравнение примет следующий вид:

$$\frac{d\Delta\varphi}{d\tau} = -\frac{i_0}{C} e^{(\beta z F / RT) \Delta\varphi} (1 - e^{-(z F / RT) \Delta\varphi}). \quad (5)$$

Логарифмирование этого уравнения приводит к выражению:

$$\ln \left| \frac{d\Delta\varphi}{d\tau} \right| - \ln |1 - e^{-(z F / RT) \Delta\varphi}| = \frac{\beta z F}{RT} \Delta\varphi + \ln \frac{i_0}{C} \quad (6)$$

* Величина $\Delta\varphi_\infty$ в интегральных уравнениях появляется в результате исключения из них неизвестной величины истинной плотности тока I путем использования условия: при $\tau = \infty$, $\Delta\varphi = \Delta\varphi_\infty$ и $d\Delta\varphi/d\tau = 0$.

Левая часть уравнения (6) содержит лишь такие величины, которые можно найти из экспериментальной кривой выключения тока. (Производная $d\Delta\varphi/d\tau$ легко определяется как тангенс угла наклона кривой выключения.) Если считать, что емкость электрода C не меняется в данном интервале значений $\Delta\varphi$, то из уравнения (6) следует, что между левой частью уравнения и величиной $\Delta\varphi$ должна существовать прямолинейная зависимость, причем тангенс угла наклона прямой равен $\beta zF/RT$, а отрезок, отсекаемый ею на оси ординат, равен $\ln(i_0/C)$.

Как легко убедиться, уравнение (6), выведенное нами для выключения анодной поляризации, полностью справедливо также и для выключения катодной поляризации.

В некоторых частных случаях обработка осциллограмм упрощается. Так, в случае выключения больших положительных (анодных) поляризаций можно пренебречь экспоненциальным членом во втором слагаемом левой части уравнения (6); при этом уравнение примет следующий вид:

$$\ln \left| \frac{d\Delta\varphi}{d\tau} \right| = \frac{\beta zF}{RT} \Delta\varphi + \ln \frac{i_0}{C}. \quad (7)$$

В случае выключения больших отрицательных (катодных) поляризаций во втором слагаемом левой части уравнения (6) можно пренебречь единицей и преобразовать уравнение (6) к виду:

$$\ln \left| \frac{d\Delta\varphi}{d\tau} \right| = - \frac{\alpha zF}{RT} \Delta\varphi + \ln \frac{i_0}{C} \quad (8)$$

Следовательно, в случае выключения больших поляризаций величины i_0 , α и β могут быть найдены * при помощи уравнений (7) и (8) из графиков, построенных в координатах $\ln |d\Delta\varphi/d\tau| - \Delta\varphi$.

Для обработки осциллограмм включения изложенный метод не пригоден. Если, однако, коэффициенты α и β известны, то кривые включения тока могут быть использованы для определения тока обмена i_0 . В самом деле, из уравнения (3) следует, что между $d\Delta\varphi/d\tau$ и $\exp(\beta zF/RT)\Delta\varphi - \exp(-\alpha zF/RT)\Delta\varphi$ должна существовать прямолинейная зависимость, причем тангенс угла наклона прямой равен i_0/C .

До сих пор мы предполагали, что на электроде не протекают никакие другие реакции, кроме исследуемой, и что концентрационные изменения в приэлектродном слое отсутствуют. Поскольку, однако, такого рода факторы в действительности могут иметь место, интересно выяснить, в какой мере они сказываются на форме осциллографических кривых.

О влиянии побочных процессов на электроде на ход осциллографических кривых. Если на электроде параллельно с основным процессом протекает другой, побочный (например, разряд — ионизация ионов водорода), то для случая включения тока, по аналогии с уравнением (1), можно записать

$$I = C \frac{d\Delta\varphi}{d\tau} + i + i', \quad (9)$$

где i — скорость основного процесса, i' — скорость побочного процесса. При этом, если скорость основного процесса определяется замедленностью стадии разряда — ионизации, то для величины i справедливо уравнение (2).

Обозначим через γ долю основного процесса, тогда

$$\gamma = \frac{i}{i + i'}. \quad (10)$$

* Мы предполагаем, что величина емкости 1 см² истинной поверхности электрода известна

Решая уравнение (10) относительно i' и подставляя полученное значение в (9), после простых преобразований с учетом (2), получим

$$\frac{d\Delta\varphi}{d\tau} = \frac{I}{C} - \frac{i_0}{C\eta} (e^{(\beta z F/RT)\Delta\varphi} - e^{-(\alpha z F/RT)\Delta\varphi}). \quad (11)$$

Для случая выключения анодно поляризующего тока получим

$$\frac{d\Delta\varphi}{d\tau} = -\frac{i_0}{C\eta} (e^{(\beta z F/RT)\Delta\varphi} - e^{-(\alpha z F/RT)\Delta\varphi}). \quad (12)$$

Сопоставление уравнений (11) и (12) с уравнениями (3) и (4) показывает, что если в этом случае производить обработку осциллограмм по описанному выше методу, не считаясь с наличием побочного процесса, то численное значение i_0 будет больше истинного в $1/\eta$ раз. Если, следовательно, $\eta \gg 0,8$, то ошибка в определении i_0 не превышает погрешности эксперимента. Для α и β при этом будут получены правильные значения. Таким образом, мы приходим к выводу, что если доля побочного процесса мала, то при обработке осциллограммы с ним можно совершенно не считаться.

Иначе обстоит дело, если доля побочного процесса велика. Дело не только в том, что ошибка в определении i_0 становится значительной, но и в том, что величина η будет меняться с потенциалом, и прямолинейная зависимость, выражаемая уравнением (6), неизбежно нарушится.

Необходимо отметить, что при катодной поляризации электрода протекание на нем побочного процесса может в некоторых случаях существенно изменять величину потенциала нулевого заряда электрода. Это явление может наблюдаться, например, в случае разряда понов водорода на металлах, способных поглощать водород, или в случае разряда понов другого металла, если он образует твердый раствор с материалом электрода. В этих случаях ход осциллографических кривых может измениться, и обработка их по описанному выше методу окажется невозможной. Поэтому в подобных случаях предпочтительнее пользоваться кривыми анодной поляризации; тогда, при условии работы с чистыми металлами, смещения потенциала нулевого заряда можно не опасаться, и описанный метод обработки осциллограмм вполне применим.

О влиянии концентрационных изменений в приэлектродном слое на ход осциллографических кривых. Как правило, при работе с концентрированными растворами при не слишком больших плотностях поляризующего тока изменения концентрации в приэлектродном слое незначительны и с ними можно не считаться. Однако при переходе к более разбавленным растворам или более высоким плотностям тока эти изменения могут стать заметными. Поэтому представляется целесообразным рассмотреть этот вопрос более подробно.

Изменение активности понов в приэлектродном слое будет сказываться, во-первых, на величине тока обмена и, во-вторых, на равновесном потенциале металла, от которого ведется отсчет $\Delta\varphi$. Уравнение для скорости электродной реакции в этом случае можно записать следующим образом:

$$i = \pm i'_0 (e^{(\beta z F/RT)\Delta\varphi'} - e^{-(\alpha z F/RT)\Delta\varphi'}). \quad (13)$$

Здесь i'_0 и $\Delta\varphi'$ — ток обмена и сдвиг потенциала при изменившейся активности понов в приэлектродном слое a' . (Обозначения i_0 и $\Delta\varphi$ мы сохраняем для тех же величин при исходной активности a .) Знак плюс относится к анодной поляризации, знак минус — к катодной.

Согласно [9], изменение тока обмена выражается уравнением:

$$i'_0 = i_0 \left[\frac{a'}{a} \right]^\beta \quad (14)$$

Равновесный потенциал электрода изменится при этом на следующую величину:

$$\varphi'_p - \varphi_p = \varphi_0 + \frac{RT}{zF} \ln a' - \varphi_0 - \frac{RT}{zF} \ln a = \frac{RT}{zF} \ln \frac{a'}{a} \quad (15)$$

φ'_p — равновесный потенциал при активности a' , φ_p — при активности a .

Сдвиг потенциала вследствие этого изменится на величину:

$$\Delta\varphi' - \Delta\varphi = \varphi - \varphi'_p - (\varphi - \varphi_p) = \varphi_p - \varphi'_p = -\frac{RT}{zF} \ln \frac{a'}{a} \quad (16)$$

Если теперь подставить значения i'_0 и $\Delta\varphi'$ из (14) и (16) в (13), то получаются существенно различные результаты для случаев катодной и анодной поляризации, а именно:

для катодной поляризации

$$i = i_0 \frac{a'}{a} \left[e^{-(\alpha zF/RT)\Delta\varphi} - e^{(\beta zF/RT)\Delta\varphi} \left(\frac{a}{a'} \right) \right] \quad (17)$$

и для анодной поляризации

$$i = i_0 \left(e^{(\beta zF/RT)\Delta\varphi} - e^{-(\alpha zF/RT)\Delta\varphi} \frac{a'}{a} \right) \quad (18)$$

Уравнения (17) и (18) позволяют сделать некоторые заключения. В случае катодной поляризации изменение тока утечки пропорционально изменению активности в приэлектродном слое*, и, таким образом, изложенная выше методика обработки осциллограмм в этом случае не применима. В случае анодной поляризации изменение активности в приэлектродном слое влияет лишь на катодный член уравнения (18), вследствие чего при достаточно больших поляризациях это изменение можно совершенно не учитывать. Если, однако, поляризации невелики ($\Delta\varphi < 40$ мВ), то концентрационные изменения в приэлектродном слое могут сильно затруднить обработку осциллограмм. В самом деле, основное уравнение (6) в случае, если активность a' в приэлектродном слое отличается от активности a в растворе, приобретает следующий вид:

$$\ln \left| \frac{d\Delta\varphi}{d\tau} \right| - \ln \left| 1 - e^{-(zF/RT)\Delta\varphi} \frac{a'}{a} \right| = \frac{\beta zF}{RT} \Delta\varphi + \ln \frac{i_0}{C} \quad (19)$$

Если $a' = a$, то уравнение (19) превращается в уравнение (6). Практически для обработки анодных осциллограмм выключения малых поляризаций по уравнению (6) достаточно, чтобы отношение a'/a было не слишком велико. Как известно,

$$\frac{a'}{a} = 1 + \frac{I}{I_{\text{пред}}} \quad (20)$$

где $I_{\text{пред}}$ — предельная плотность тока для соответствующего катодного процесса. Если, следовательно, $I \leq 0,2 I_{\text{пред}}$, то погрешность, вызываемая применением уравнения (6) вместо уравнения (19), будет лежать в пределах ошибок опыта. Предельная плотность тока для двухвалентных ионов в 1 N растворе имеет порядок 50 мА/см² [10]; следовательно, плотность поляризующего тока не должна превышать 10 мА/см². При уменьшении концентрации раствора пропорционально уменьшается и максимально допустимая плотность поляризующего тока.

Выводы

1. Предложен метод обработки осциллографических кривых включения и выключения тока, применимый при любых значениях поляризации и позволяющий определить величину тока обмена i_0 и коэффициенты α и β .

* Множитель $(a/a')^{\beta-\alpha}$ в анодном члене уравнения (17) мало меняет дело, так как сам анодный член мал по сравнению с катодным.

2. Рассмотрен вопрос о влиянии протекания на электроде побочного электрохимического процесса на форму осциллографических кривых. Показано, что если доля побочного процесса не превышает 20%, форма кривых включения и выключения тока практически не меняется.

3. Рассмотрен вопрос о влиянии концентрационных изменений в приэлектродном слое на форму осциллографических кривых. Показано, что концентрационные изменения почти не оказывают влияния на ход осциллографических кривых в случае анодной поляризации, но существенно искажают его в случае катодной поляризации.

Институт никелевой, кобальтовой
и оловянной промышленности
Гипроникель

Поступила
19.II.1958

ЛИТЕРАТУРА

1. В. А. Ройтер, В. А. Юза и Е. С. Полуян, Ж. физ. химии, **13**, 605, 1939.
2. В. А. Ройтер, Е. С. Полуян и В. А. Юза, Ж. физ. химии, **13**, 805, 1939.
3. В. А. Юза и Л. Д. Копыл, Ж. физ. химии, **14**, 1074, 1940.
4. W. Vielstich u. H. Gerischer, Z. phys. Chem., N. F., **4**, 10, 1955.
5. H. Gerischer, Z. phys. Chem., **201**, 55, 1952.
6. В. И. Кравцов, Ж. физ. химии, **3**, 2627, 1957.
7. Я. В. Дурдин и В. И. Кравцов, Вестн. ЛГУ, сер. физ. хим., № 22, вып. 4, 131, 1967.
8. А. Т. Ваграмян и З. А. Соловьева, Методы исследования процессов электроосаждения металлов, Изд-во АН СССР, М., 1955.
9. В. Л. Хейфец и Н. Е. Полякова, Ж. прикл. химии, **22**, 801, 1949.
10. О. Есин и А. Левин, Ж. общ. химии, **6**, 1539, 1936.

OSCILLOGRAPHIC STUDY OF THE KINETICS OF ELECTRODE PROCESSES. I

V. L. Kheifets and A. B. Sheinin (Leningrad)

Summary

A method has been developed for treating oscillographic curves of the shutting on and off of current, applicable for any polarization values and allowing determination of the exchange current i_0 and the coefficients α and β .

The effect of an electrochemical side process on the shape of the oscillographic curve has been examined. If the side process participates to the extent of less than 20% the shape of the shutting on and off curves has been found to remain practically unchanged.

The effect of concentration changes in the pre-electrode layer on the shape of the oscillographic curves has been investigated. It has been shown that concentration changes exert almost no influence on the curves in the case of anodic polarization but there is considerable distort in the case of cathodic polarization.

ТЕРМОДИНАМИЧЕСКИЕ СВОЙСТВА ГАЛОГЕНИДОВ КРИСТАЛЛОГИДРАТОВ И АММИАКАТОВ КАДМИЯ. IV

И. Г. Маслов

Знание свойств кадмия и кадмиевых соединений представляет самостоятельный интерес в различных областях техники. В настоящей статье олучены общие приближенные формулы для определения теплот образования $-\Delta H_f^0$ и некоторых других термодинамических характеристик ложных кристаллогидратов и аммиакатов кадмия при 25° С. При этом основу были положены методы [1. 3—6]. Существенно подчеркнуть обычную простоту методов, во многих случаях сочетающуюся точностью, близкой к точности методов статистической термодинамики [1—4].

Полученные формулы представлены в табл. 1.

Таблица 1

общие приближенные формулы для определения величин термодинамических свойств кристаллогидратов солей кадмия при 25° С

Формула	$-\Delta H^{\circ}_f$	$-\Delta F^{\circ}_f$	$\lg K_f$	S° , э. е. д.
	ккал/моль			
$\text{CdCl}_2 \cdot n\text{H}_2\text{O}$	$92,47+71n$	$83,24+56,89n$	$61,011+41,702n$	$30,94+9,866n$
$\text{CdBr}_2 \cdot n\text{H}_2\text{O}$	$72,3+71n$	$70,08+56,89n$	$51,358+41,702n$	$35,24+9,866n$
$\text{CdJ}_2 \cdot n\text{H}_2\text{O}$	$48+71n$	$48+56,89n$	$35,183+41,702n$	$40,2+9,866n$
$\text{CdF}_2 \cdot n\text{H}_2\text{O}$	$164,9+71n$	$154,8+56,89n$	$113,47+41,702n$	$27+9,866n$
$\text{CdFCl} \cdot n\text{H}_2\text{O}$	$128,7+71n$	$119,02+56,89n$	$87,240+41,702n$	$29,0+9,866n$
$\text{CdFBr} \cdot n\text{H}_2\text{O}$	$118,6+71n$	$112,44+56,89n$	$82,414+41,702n$	$31,1-9,866n$
$\text{CdFJ} \cdot n\text{H}_2\text{O}$	$106,4+71n$	$101,40+56,89n$	$74,326+41,702n$	$33,6+9,866n$
$\text{CdClBr} \cdot n\text{H}_2\text{O}$	$82,4+71n$	$76,66+56,89n$	$56,184+41,702n$	$33,1+9,866n$
$\text{CdClJ} \cdot n\text{H}_2\text{O}$	$70,2+71n$	$65,62+56,89n$	$48,097+41,702n$	$35,6+9,866n$
$\text{CdBrJ} \cdot n\text{H}_2\text{O}$	$60,2+71n$	$59,04+56,89n$	$43,270+41,702n$	$37,7+9,866n$
$\text{CdSO}_4 \cdot n\text{H}_2\text{O}$	$222,46+71n$	$197,93+56,89n$	$145,07+41,702n$	$31,6+9,866n$
$\text{CaCO}_3 \cdot n\text{H}_2\text{O}$	$178,7+71n$	$160,2+56,89n$	$117,42+41,702n$	$25,2+9,866n$
$\text{CdSb}_2 \cdot n\text{H}_2\text{O}$	$-7,83+71n$	$-1,59+56,89n$	$-1,165+41,702n$	$78,8+9,866n$

Формула	$-\Delta H_f^0$, ккал/моль	Формула	$-\Delta H_f^0$, ккал/моль
$\text{CdF}_2 \cdot m \cdot \text{CdO} \cdot n\text{H}_2\text{O}$	$164,7+72,3m+71n$	$\text{CdFJ} \cdot m\text{CdO} \cdot n\text{H}_2\text{O}$	$100+72,3m+71n$
$\text{CdCl}_2 \cdot m\text{CdO} \cdot n\text{H}_2\text{O}$	$93+72,3m+71n$	$\text{CdClBr} \cdot m\text{CdO} \cdot n\text{H}_2\text{O}$	$82,7+72,3m+71n$
$\text{CdBr}_2 \cdot m\text{CdO} \cdot n\text{H}_2\text{O}$	$72,3+72,3m+71n$	$\text{CdClJ} \cdot m\text{CdO} \cdot n\text{H}_2\text{O}$	$64,2+72,3m+71n$
$\text{CdJ}_2 \cdot m\text{CdO} \cdot n\text{H}_2\text{O}$	$35,4+72,3m+71n$	$\text{CdBrJ} \cdot m\text{CdO} \cdot n\text{H}_2\text{O}$	$53,8+72,3m+71n$
$\text{CdFCl} \cdot m\text{CdO} \cdot n\text{H}_2\text{O}$	$128,95+72,3m+71n$	$t\text{CdF}_2 \cdot m\text{HCl} \cdot n\text{H}_2\text{O}$	$164,71+33m+71n$
$\text{CdFBr} \cdot m\text{CdO} \cdot n\text{H}_2\text{O}$	$118,6+72,3m+71n$	$t\text{CdCl}_2 \cdot m\text{HCl} \cdot n\text{H}_2\text{O}$	$93t+33m+71n$
$\text{Cd}_3\text{N}_2 \cdot n\text{H}_2\text{O}$	$38,6+71n$	$\text{Cd}(\text{NH}_3)_2 \cdot n\text{H}_2\text{O}$	$14,7+71n$
$\text{Cd}(\text{N}_3)_2 \cdot n\text{H}_2\text{O}$	$107,6+71n$	$\text{Cd}(\text{CN})_2 \cdot n\text{H}_2\text{O}$	$-39+71n$
$t\text{CdBr}_2 \cdot m\text{HCl} \cdot n\text{H}_2\text{O}$	$72,3t+33m+71n$	$t\text{CdFJ} \cdot m\text{HCl} \cdot n\text{H}_2\text{O}$	$106,45t+33m+71n$
$t\text{CdJ}_2 \cdot m\text{HCl} \cdot n\text{H}_2\text{O}$	$48t+33m+71n$	$t\text{CdClBr} \cdot m\text{HCl} \cdot n\text{H}_2\text{O}$	$82,66t+33m+71n$
$t\text{CdFCl} \cdot m\text{HCl} \cdot n\text{H}_2\text{O}$	$128,8t+33m+71n$	$t\text{CdClJ} \cdot m\text{HCl} \cdot n\text{H}_2\text{O}$	$70,5t+33m+71n$
$t\text{CdFBr} \cdot m\text{HCl} \cdot n\text{H}_2\text{O}$	$118,61t+33m+71n$	$t\text{CdBrJ} \cdot m\text{HCl} \cdot n\text{H}_2\text{O}$	$60,16t+33m+71n$

Таблица 1 (продолжение)

Формула	$-\Delta H_f^\circ$, ккал/моль	Формула	$-\Delta H_f^\circ$, ккал/моль
$\text{CdCl}_2 \cdot m\text{NH}_4\text{Cl} \cdot n\text{H}_2\text{O}$	$96,6 + 74,6m + 71n$	$\text{CdCl}_2 \cdot m\text{NH}_3$	$120,3 + 19m$
$\text{CdBr}_2 \cdot m\text{NH}_4\text{Br} \cdot n\text{H}_2\text{O}$	$72,3 + 69,3m + 71n$	$\text{ClBr}_2 \cdot m\text{NH}_3$	$101,9 + 19m$
$\text{CdJ}_2 \cdot m\text{NH}_4\text{J} \cdot n\text{H}_2\text{O}$	$48 + 50,4m + 71n$	$\text{CdJ}_2 \cdot m\text{NH}_3$	$75,4 + 19m$
$\text{Cd}(\text{NO}_3)_2 \cdot n\text{H}_2\text{O}$	$110 + 71n$	$\text{Cd}_3\text{N}_2 \cdot n\text{H}_2\text{O}$	$38,6 + 71m$
$\text{Cd}(\text{NH}_2)_2 \cdot n\text{H}_2\text{O}$	$14,7 + 71n$	$\text{CdClJ} \cdot m\text{NH}_3 \cdot n\text{H}_2\text{O}$	$97,85 + 19m + 71n$
$\text{CdClJ} \cdot m\text{NH}_3 \cdot n\text{H}_2\text{O}$	$97,8 + 19m + 71n$	$\text{CdClBr} \cdot m\text{NH}_3 \cdot n\text{H}_2\text{O}$	$111,1 + 19m + 71n$
		$\text{CdBrJ} \cdot m\text{NH}_3 \cdot n\text{H}_2\text{O}$	$88,62 + 19m + 71n$

Заметим, что расчетные формулы для смешанных галогенидов кристаллогидратов и аммиакатов кадмия найдены недавно методом [5, 6]. Тем же методом вычислены термодинамические свойства смешанных галогенидов кадмия [табл. 2].

Таблица 2

Термодинамические свойства кристаллов некоторых кадмиевых соединений при 25° С

Соединение	$-\Delta H_f^\circ$	$-\Delta Z_f^\circ$	$\lg K_f$	S° , э. е. д.	Соединение	$-\Delta H_f^\circ$, ккал/моль	
	ккал/моль					Дан- ные ав- тора	Дан- ные из [7]
CdF_2	164,9*	154,8*	113,47*	27	$\text{CdCl}_2 \cdot 2\text{NH}_3$	158	150,5
CdCl_2	93,00*	81,88*	60,017*	28,3*	$\text{CdCl}_2 \cdot 4\text{NH}_3$	196	194,0
CdBr_2	75,15*	70,14*	51,412*	31,9*	$\text{CdCl}_2 \cdot 6\text{NH}_3$	234	236,0
CdJ_2	48,0*	48,00*	35,183*	40,2*	$\text{CdCl}_2 \cdot 10\text{NH}_3$	310,3	310,3
CdFCl	129,0	118,3	86,74	27,6	$\text{CdBr}_2 \cdot 2\text{NH}_3$	140	131,1
CdFBr	120,0	112,5	82,44	29,4	$\text{CdBr}_2 \cdot 6\text{NH}_3$	216	218,1
CdFJ	106,4	101,4	74,33	33,6	$\text{CdBr}_2 \cdot 12\text{NH}_3$	329,9	329,1
CdClBr	84,1	76,0	55,71	30,1	$\text{CdJ}_2 \cdot 2\text{NH}_3$	113	98,5
CdClJ	70,5	64,9	47,60	34,2	$\text{CdJ}_2 \cdot 6\text{NH}_3$	189,4	189,4
CdBrJ	61,6	59,1	43,30	36,0	$\text{CdBr}_2 \cdot \text{CdO} \cdot \text{H}_2\text{O}$	215,65	216,1
$\text{CdCl}_2 \cdot \text{H}_2\text{O}$	(164,1)	(140,13)	(102,713)	(40,8)			
	163,5	140,13	102,713	40,8			
$\text{CdCl}_2 \cdot 2\text{H}_2\text{O}$	234,5	197,0	144,45	50,7			
$\text{CdCl}_2 \cdot 2^{1/2}\text{H}_2\text{O}$	(269,97)*	(225,47)*	(165,266)*	(55,6)*			
	269,97	225,47	165,266	55,6			
CdSO_4	(221,36)	(195,99)	(143,657)	(32,8)			
	222,46	197,93	145,07	31,6			
$\text{CdSO}_4 \cdot \text{H}_2\text{O}$	(294,37)	(254,84)	(186,794)	(41,1)			
	293,5	254,82	186,472	41,5			
$\text{CdSO}_4 \cdot 8/3\text{H}_2\text{O}$	(411,82)	(349,63)	(256,274)	(57,9)			
	411,82	349,63	256,274	57,9			

В табл. 2 приведены также термодинамические свойства для ряда соединений, вычисленные по формулам табл. 1. Для сравнения там же выписаны данные из [7] (они заключены в круглые скобки).

Если не оговаривается особо, величины термодинамических свойств, заимствованные из [7] и принятые за исходные, отмечены одной звездочкой справа вверху от числа.

В тех случаях, когда в справочнике [7] указана кристаллическая модификация соединения, в таблицах ниже тоже отмечено, для какой модификации сделаны вычисления; если в [7] не было указано, к какой из модификаций относятся данные, мы тоже были лишены возможности сказать что-либо о ней.

Как видно из табл. 2, наши результаты находятся в удовлетворительном согласии с данными из [7].

Можно полагать, что точность предложенных формул — порядка 0,5—1% в отдельных случаях 1—9%.

Выводы

1. Получены общие приближенные формулы для вычисления теплот азования и частично свободных энергий— ΔZ_f^0 , логарифмов констант ического равновесия $\lg K_f$, энтропии S° и теплоемкостей C_p° для оксидов, кристаллогидратов и аммиаков кадмия в твердой фазе при С.
2. Вычислены термодинамические функции для ряда смешанных галогидов кадмия.
3. Для некоторых соединений произведено сравнение с данными из : точность расчетных формул примерно 0,5—1 %, в отдельных случаях 9%.

ЛИТЕРАТУРА

1. Н. Годнев, Вычисление термодинамических функций по молекулярным данным, ГИТТЛ, М., 1956.
А. А. Введенский, Термодинамические расчеты процессов топливной промышленности, Гостоптехиздат, Л., 1949.
Т. Г. Маслов, Диссертация, МГПИ им. Ленина, М., 1953.
Т. Г. Маслов, Успехи химии, 25, 1069, 1956.
Ю. П. Маслов, П. Г. Маслов, Оптика и спектроскопия, 3, 38, 1957.
Т. Г. Маслов, Ю. П. Маслов, Ж. физ. химии, 32, 1715, 1958.
F. D. Rossini, D. D. Wagman, W. H. Evans, S. Levine and J. Jaffe, Selected values of chemical thermodynamic properties Nat. Bur. Standards, Circular No. 500, Washington, 1952.

THERMODYNAMIC PROPERTIES OF HALOGEN SUBSTITUTED CADMIUM
HYDRATES AND AMMINES. IV*P. G. Maslov (Leningrad)*

Summary

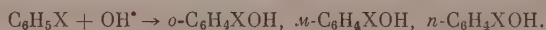
Approximate general formulas have been obtained by the method of the author and Maslov and of the author alone for determining the heats of formation— ΔH_f^0 and parity of the free energies— ΔF_f^0 , the logarithms of the chemical equilibrium constants K_f , the entropy S° and the molar heat capacities C_p° for a large number of crystal hydrates and ammines of cadmium in the solid state at 25° C. In particular, the above thermodynamic characteristics have been found for a number of mixed halogen derivatives of cadmium, as well as for numerous hydrates of mixed cadmium halides. In the report considerable data are presented that may be of use in problems concerning the technology of cadmium production, etc.

ОКИСЛЕНИЕ ХЛОРБЕНЗОЛА В ВОДНЫХ РАСТВОРАХ
ПОД ДЕЙСТВИЕМ γ -ИЗЛУЧЕНИЯ

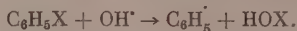
Н. П. Крушинская и М. А. Проскурнин

Исследованию окисления бензола и его монозамещенных производных в водных растворах под действием ядерных излучений посвящено большое число работ. Интерес к этой проблеме связан с возможностью установления общих закономерностей взаимодействия продуктов радиолиза воды с ароматическими соединениями. В настоящее время можно считать довольно хорошо изученным лишь механизм окисления бензола в феноле [1—6]. Однако радиолиз водных растворов производных бензола исследован в недостаточной степени. Тем не менее, анализ процессов их окисления дает возможность получить ряд сведений о влиянии заместителей бензольном кольце на процесс радиолитического окисления в целом, а также о характере взаимодействия этих веществ с радикалами-окислителями OH^\cdot , HO_2^\cdot , возникающими при радиолизе воды. Вейс и его сотрудники провели ряд исследований по выяснению влияния замещающих групп типа NO_2 , COOH , Cl и OH на радиационно-химическое поведение производных бензола [7—11]. Было показано, что возможны два пути радиолитического гидроксирования указанных соединений:

1) Замещение атома Н радикалом OH в одном из положений в кольце



2) Разрыв связи $\text{C}-\text{X}$ с образованием соответствующей кислоты (HOOC , HNO_3 и т. д.):



Констатируя образование фенола и его производных, Вейс и его сотрудники не показали, однако, каков удельный вес каждого из рассмотренных выше направлений реакции в общем процессе образования фенолов.

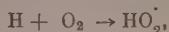
Настоящее исследование посвящено малоизученному процессу радиолиза водных растворов хлорбензола. При окислении хлорбензола продуктами радиолиза воды наряду с фенолом и дифенилом, образование которых характерно и для окисления бензола в аналогичных условиях, возникают новые продукты, а именно: хлорфенол (орто-, пара- и мета-изомеры), соляная кислота [10]. В связи с образованием такого большого числа продуктов реакции возникает трудность в идентификации их, с чем, вероятно, и связано расхождение в данных по выходам у различных авторов [10, 12, 13].

Образование соляной кислоты при действии рентгеновских лучей в водные растворы хлорбензола привело авторов [12] к предположению возможности инициирования процесса гидролиза под действием излучений.

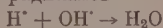
Целью данной работы является прежде всего количественное определение выходов образующихся продуктов, что позволит сделать вывод о возможных путях гидроксирования хлорбензола. При этом определенный интерес представляет исследование процесса гидролиза хлорбензола под действием излучений. Кроме того, выяснение роли молекулярного кислорода в указанных процессах может дать ряд полезных сведений

влиянии его на течение радиационно-химического процесса окисления веществ в водных растворах, тем более что ранее опубликованные работы были направлены, главным образом, лишь на выяснение первичных продуктов реакции, поэтому исследование в них проводилось при малых дозах облучения и при незначительном содержании кислорода в растворе, обусловленном его естественной растворимостью в воде. Влияние кислорода на процесс радиолиза хлорбензола не изучалось. Тем не менее известно, что присутствие кислорода, как правило, увеличивает выход продуктов окисления.

В настоящее время в радиационной химии принято считать, что роль молекулярного кислорода в процессе окисления сводится, во-первых, к образованию радикалов O_2 по реакции:



загодаря которой рекомбинация радикалов



не имеет места; во-вторых, к участию радикалов HO_2^{\cdot} в процессе окисления. Не исключена, кроме того, возможность образования перекисного радикала



который в последующих реакциях образует конечный продукт окисления.

Исходя из изложенного, нам представляется необходимым изучить радиолиз хлорбензола в наиболее характерных предельных случаях:

- а) при полном отсутствии кислорода во время облучения;
- б) в избытке его, при непрерывном пропускании.

Экспериментальная часть

Методика. В качестве источника γ -излучения использовался Co^{60} активностью 600 г-эв радия для вакуумных опытов и 100 г-эв для кислородных *. Мощности доз, определенные по ферросульфатному методу, были соответственно 3,2 и $0,1 \cdot 10^{15}$ эВ/см²сек. Выход окисления реакции $Fe^{2+} \rightarrow Fe^{3+}$ принимался равным 15,6 ионов/100 эВ [14]. Облучению подвергались смесь, состоящая из 2 мл хлорбензола и 8 мл воды. Конструкция ампул для облучения в вакууме предусматривала возможность отбора образующегося газа для анализа. Ампула для облучения в кислородной атмосфере была снабжена приспособлением для непрерывного пропускания кислорода во время опыта.

В облученной смеси определялись фенолы (суммарно) при помощи ультрафиолетовых спектров поглощения. При исследовании гидролиза процентное содержание фенола в смеси определялось путем расчета спектра содового раствора фенолов по трем компонентам, учитывая то, что спектры орто- и мета-хлорфенолов практически одинаковы.

На содержание фенолов анализировались отдельно органический и водный слои. Хлорбензольная фаза непосредственно обрабатывалась концентрированным раствором соды. Водная фаза представляла собой в случае облучения в вакууме суспензию образующегося твердого вещества, поэтому перед определением фенолов она предварительно центрифугировалась до полного осаждения этого вещества. Свободная от осадка водная фаза обрабатывалась хлорбензолом с целью извлечения фенолов, которые затем переводились в раствор соды. Отделенный осадок промывался раствором соды, дистиллированной водой, сушился и подвергался анализу.

В газовой фазе определялось содержание кислорода и водорода сжиганием смеси в избытке водорода или кислорода при помощи искрового разряда [15].

Приемы обработки облученной смеси в кислородных опытах были такими же, как и в вакуумных. Кроме фенолов определялись перекиси йодометрически и полярнографически. Концентрация ионов хлора была определена по нефелометрическому методу [16].

Обсуждение результатов

При радиолитическом окислении хлорбензола помимо фенола и изомеров хлорфенола образуется ряд других продуктов (газообразные продукты, соединения нефенольного типа, перекиси, соляная кислота).

* При облучении образцов в вакууме выходы образующихся веществ были малы, поэтому для получения их в достаточных количествах необходимо было использовать дозы энергии на порядок выше, чем в случае облучения в присутствии кислорода.

Анализ газа в вакуумных опытах показал, что он в основном состоит из кислорода; водород если и присутствует, то в количествах, не превышающих 6% от объема смеси. На рис. 1 приведена зависимость количества образующегося кислорода от дозы поглощенной энергии. Как видно, эта зависимость линейна, выход кислорода составляет 0,3 молекул/100 еВ.

На том же рисунке (прямая 2) представлена зависимость концентрации фенолов от дозы облучения. Выход их составляет 1,6—1,9 молекул/100 еВ.

Как уже указывалось, при облучении водного раствора хлорбензола в вакуумных условиях образуется соединение, дающее суспензию в водной части смеси, которую можно отделить путем длительного центрифугирования. Осадок плохо растворим в воде и хлорбензоле, но хорошо растворим в спирте, имеет слабую положительную реакцию с диазотатом пара-

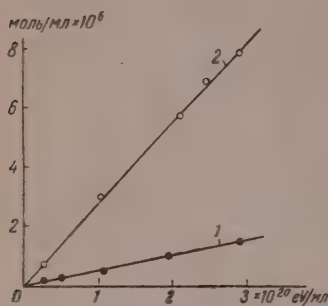


Рис. 1. Зависимость количества: 1 — кислорода и 2 — фенолов от дозы при облучении в вакуумных условиях



Рис. 2. Инфракрасный спектр осадка, полученного в вакуумных условиях

нитроанилина и, очевидно, представляет собой смесь соединений фенольного и нефенольного типа, соотношение которых зависит от дозы облучения. Так, при дозах порядка $2,6 \cdot 10^{19}$ еВ·см³ образуется лишь нефенольное соединение, при дозах же, в 10 раз больших, накапливается соединение фенольного типа. Поэтому для анализа брался осадок при одной и той же дозе облучения порядка $1,5 \cdot 10^{20}$ еВ/см³.

Спектр поглощения спиртового раствора осадка в видимой и ультрафиолетовой области вплоть до 2300 Å не имеет максимума поглощения, как видно из рис. 3 (см. ниже).

При определении элементарного состава осадка было обнаружено повышенное содержание водорода: С — 68,5%; Н — 6,2%; Cl — 25,2%, что соответствует формуле $C_{12}H_{13}Cl_{1,5}$. Можно предположить, что в состав осадка входит гидрированное производное дифенила. Это предположение подтверждает анализ осадка по инфракрасным спектром поглощения* (рис. 2). Имеющиеся в спектре частоты 2863 и 2926 см⁻¹ соответствуют алифатической связи С—Н [17]. Отсутствие водорода в газовой фазе также подтверждает тот факт, что в данном случае идет процесс присоединения атомов водорода с образованием гидрированного производного дифенила. Наличие в спектре частоты 3266 см⁻¹** подтверждает наше предположение о существовании в смеси в качестве примеси фенольного производного дифенила.

Присутствие кислорода значительно усложняет процесс окисления хлорбензола, так как к реакциям с радикалами ОН присоединяются, как уже указывалось, реакции молекулярного кислорода. При этом об-

* Мы благодарны Д. Н. Шигорию за произведенный анализ.

** Широкая полоса, характерная для колебания ОН-группы [17].

ученная смесь не содержит суспензии, характерной для вакуумных условий, однако гидрированное производное дифенила, найденное при облучении в вакууме, присутствует в небольших количествах в растворенном состоянии. Очевидно, относительная концентрация его убывает с ростом концентрации кислорода в растворе за счет преимущественного образования фенолов. На рис. 3 приведены спектры поглощения соединений, выделенных из проб, облученных в вакууме (сплошные линии) и в атмосфере кислорода (пунктирные линии). Пробы были облучены при дозе $3 \cdot 10^{19}$ $\text{eV}/\text{см}^3$ и анализировались одинаковым образом.

В то же время выход фенолов овышается по сравнению с вакуумными условиями и достигает 0—5,7 молекул/100 eV .

Анализ перекисей показал лишь образование перекиси водорода с выходом 2,7—1,6 молекул/100 eV , падающим с ростом дозы облучения.

При измерении зависимости концентрации ионов Cl^- от дозы облучения было обнаружено, что эта зависимость линейна, выход Cl^- незначителен и не превышает 0,3—0,4 экв/100 eV . Наши результаты расходятся с данными работы [10], которые хорошо согласуются с данными работы [12]. На рис. 4 приведены скорости накопления фенолов, H_2O_2 и Cl^- в зависимости от дозы облучения.

Исследование зависимости выхода фенолов от pH раствора показало, что в пределах $\text{pH} = 0,1$ —10 выход фенолов почти не зависит от pH. При

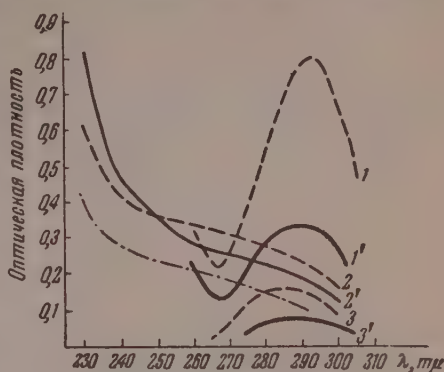


Рис. 3. Спектры поглощения соединений, выделенных из проб, облученных в вакууме (1', 2', 3') и в присутствии кислорода (1, 2, 3): 1 и 1' — фенолы в 1 N растворе соды; 2 и 2' — водный раствор продукта конденсации нефенольного типа; 3 и 3' — водный раствор продукта конденсации фенольного типа

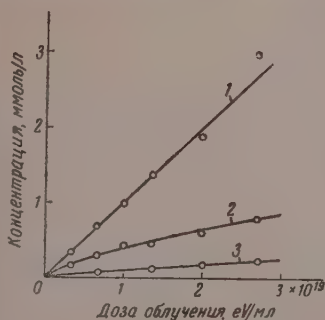


Рис. 4. Зависимость количества: 1 — фенолов; 2 — H_2O_2 и 3 — Cl^- при облучении в присутствии O_2

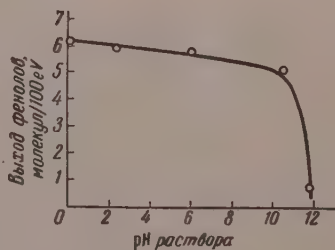


Рис. 5. Зависимость выхода фенолов от pH облучаемого раствора

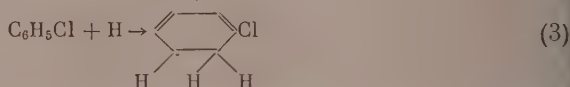
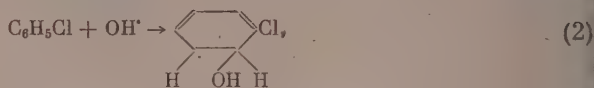
альнейшем же увеличении концентрации щелочи ($\text{pH} = 10$ —12) наблюдается резкое снижение выхода фенолов до 0,8 молекул/100 eV (рис. 5).

Приведенные результаты указывают на то, что в наших условиях механизм реакции окисления хлорбензола более сложен, чем это предполагалось ранее. Отсутствие водорода в газовой фазе и в то же время повышенное

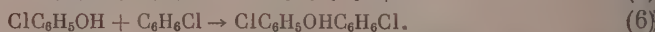
содержание водорода в составе образующегося в вакууме твердого вещества и наличие в нем алифатической связи С—Н — все это говорит о том, что в данном случае имеет место процесс гидрирования бензольного кольца. Исходя из вышеуказанного, процесс образования хлорфенола можно представить себе следующим образом. В первой стадии процесса вслед за образованием радикалов Н и ОН по реакции:



происходит присоединение их к молекуле хлорбензола с образованием хлорциклогексадиэнильных радикалов:



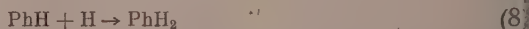
Дальнейшие реакции этих радикалов приводят к образованию изомеров хлорфенола и продуктов конденсации:



На возможность гидрирования бензольного кольца было указано рядом авторов [5, 18], и оно действительно наблюдалось в газовой фазе в фотохимических реакциях, но до последнего времени не было прямых доказательств этого процесса в радиационно-химических реакциях. Однако данные, полученные Е. В. Барелко, Л. И. Карташевой и одним из авторов этой статьи [4], показали, что гидрирование бензольного кольца имеет место при облучении водного раствора бензола в отсутствие кислорода. Фанг и Бартон [6] на основе исследования радиоллиза C_6D_6 в H_2O и C_6H_6 в D_2O пришли к выводу, что в водных растворах бензола при действии излучений вероятность процесса



очень мала по сравнению с процессом



Таким образом, наши данные подтверждают представление о том, что промежуточной стадией радиоллиза некоторых производных бензола в водных растворах является образование циклогексадиэнильных радикалов, а не фенильных, как это считалось ранее.

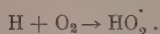
Уменьшение количества продуктов конденсации в присутствии кислорода и одновременное почти трехкратное увеличение выхода фенолов как могло бы показаться, возможно за счет прямого окисления хлорбензола радикалами HO^\bullet . Об этом предположении свидетельствует характер зависимости выхода фенолов от рН облучаемого раствора. Наши данные показывают, что в 1 N растворе H_2SO_4 выход окисления фенолов мален и составляет 6,2 молекул/100 eV. При дальнейшем же увеличении рН до 12 (1 N раствор NaOH) выход фенолов резко падает и составляет всего лишь 0,8 молекул/100 eV, т. е. становится ниже, чем в вакуумных условиях. Наблюдаемое влияние рН согласуется со сложившимися в радиационной химии представлениями о реакционной способности радикала HO^\bullet . Известно, что он обладает окислительной способностью в довольно кислой среде, при уменьшении кислотности среды указанная способность его падает, очевидно, вследствие электролитической диссоциации:



меньшей реакционной способностью радикала в диссоциированной форме [19].

Но, с другой стороны, окислительная способность радикала HO_2^\cdot весьма ограничена, она проявляется лишь в отношении алифатических соединений, ароматические же соединения окисляются им только в присутствии ионов переменной валентности [2]. Поэтому нам кажется маловероятным и в случае радиолиза хлорбензола прямое его окисление радикалами HO_2^\cdot , хотя такая возможность полностью не исключена. Вопрос об астии радикалов HO_2^\cdot в процессе окисления окончательно может быть решен при сопоставлении выходов продуктов окисления (продукты конденсации плюс фенолы) в вакууме и в присутствии кислорода.

Роль кислорода в нашем случае, как и в случае радиолиза бензола, можно, сводится к изменению соотношения в образовании продуктов конденсации и фенолов путем удаления из реакционной среды атомов H реакции:



то, в свою очередь, приводит к уменьшению количества циклогексидильных радикалов по реакции (3) и, соответственно, продуктов конденсации по реакциям (5) и (6). Кроме того, увеличивается относительная концентрация радикалов OH из-за отсутствия реакции рекомбинации:



то способствует образованию радикалов по реакции (2) и соответственно хлорфенола по реакции (4).

Наблюдающееся снижение выхода фенолов при больших концентрациях щелочи можно объяснить диссоциацией радикалов OH^\cdot [19] подобно указанной выше диссоциации H_2O^\cdot радикалов:



Как показали наши данные по определению выхода фенола, важную роль в образовании фенолов играет реакция гидролиза хлорбензола. Полученные результаты приведены в таблице.

Соотношение выходов фенола и хлорфенола при облучении водного раствора хлорбензола в вакууме и в присутствии кислорода

Доза, eV/см ² × × 10 ⁻¹⁰	Содержание фенола в смеси, %	Концентрация, моль/см ³ · 10 ²			Выход, молекул/100 eV			Условия опыта
		Сумма	Фенол	Хлор- фенол	Сумма	Фенол	Хлор- фенол	
2,6	43,7	8,5	3,7	4,8	2,0 ± 0,2	0,8 ± 0,08	1,2 ± 0,12	Вакуумные условия
10,44	52,6	25,9	13,6	12,3	1,5 ± 0,15	0,8 ± 0,08	0,7 ± 0,07	
31,5	54,2	83,6	45,3	38,3	1,6 ± 0,16	0,9 ± 0,09	0,7 ± 0,07	
1,44	38,2	12,5	4,8	7,7	5,8 ± 0,58	2,2 ± 0,22	3,6 ± 0,36	Присутствие кислорода
2,16	34,6	18,5	6,4	12,1	5,7 ± 0,57	2,0 ± 0,2	3,7 ± 0,37	
2,88	41,3	23,4	9,7	13,7	5,0 ± 0,5	2,0 ± 0,2	3,0 ± 0,30	

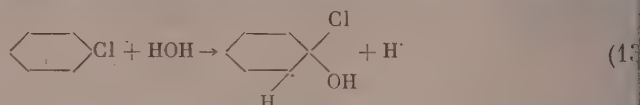
Как видно из таблицы, содержание фенола в смеси фенолов довольно велико и составляет в среднем 50% в вакуумных условиях и 38% в атмосфере кислорода. Рассмотрим две возможные реакции образования фенола:

1) Реакция дехлорирования, предложенная в работе [10] для объяснения образования фенола:

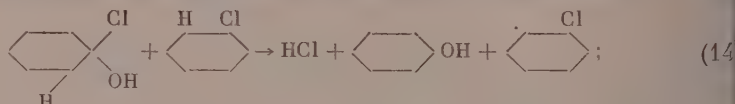


Образующаяся при этом HOCl — сильный окислитель с двумя окислительными эквивалентами, поэтому можно было бы ожидать дополнительного образования одной молекулы фенола, что в некоторой степени объясняло повышенный выход фенолов. Однако, как показали наши опыты по окислению хлорбензола хлорной известью в кислой среде, образование фенолов не наблюдается, вследствие чего мы пришли к выводу, что HOCl не способна окислять хлорбензол в наших условиях. Кроме того, образование фенола по этой реакции требует одновременной встречи молекул хлорбензола с двумя гидроксильными радикалами, что также маловероятно.

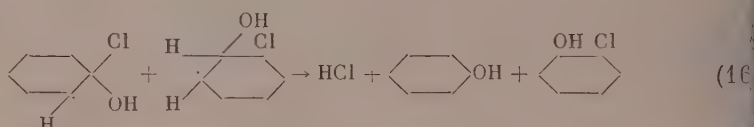
2) Наиболее вероятным, с нашей точки зрения, является гидролиз хлорбензола с промежуточным присоединением к нему одного из радикалов молекулы воды (в возбужденном или диссоциированном состоянии)



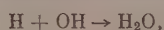
Образующийся радикал вступает в реакцию или с молекулой хлорбензола образуя фенол и хлорфенильный радикал, который, как известно, легко образует с гидроксильным радикалом молекулу хлорфенола:



или с хлорциклогексациэтильным радикалом, образуя фенол и хлорфенол:



Проанализируем данные таблицы с точки зрения указанного механизма гидролиза. В вакууме фенол и хлорфенол образуются примерно с равными выходами; очевидно, в этих условиях образование фенолов происходит по реакциям (14) и (15) или (16), все водородные атомы и оставшиеся гидроксильные радикалы расходуются на реакцию рекомбинации



а также на образование радикалов по реакциям (2) и (3) и, соответственно, продуктов конденсации по реакциям (5) и (6). В присутствии кислорода за счет удаления из сферы реакции атомов H при образовании радикалов HO_2 происходит преимущественное образование фенолов по реакциям (16) и (4).

Из вышеуказанного следует, что введение заместителя в бензольно кольцо вносит существенные изменения в течение процесса окисления. Так, в случае хлорбензола имеет место «радиационный» гидролиз — процесс, характерный исключительно для производных бензола, в который вовлекаются уже не только радикалы, образующиеся из воды под действием излучения, а также молекулы воды, претерпевающие изменение при воздействии излучения, что значительно увеличивает выход окисления.

Выводы

1. Установлено, что при радиоллизе хлорбензола в водном растворе в вакуумных условиях образуются гидрированные производные дифенила преимущественно нефенольного типа. Это позволило рассмотреть механизм процесса с точки зрения присоединения атомов водорода и радикалов H к молекуле хлорбензола с промежуточным образованием циклогексидиэнильных радикалов.

2. В условиях избытка кислорода выход фенолов увеличивается примерно в три раза за счет уменьшения количества гидрированных производных дифенила.

3. Показано, что важную роль при радиоллизе играет процесс гидролиза хлорбензола, который вносит значительный вклад в увеличение общего выхода фенолов.

Физико-химический институт
им. Л. Я. Карпова
Москва

Поступила
19.II.1958

ЛИТЕРАТУРА

1. F. T. Farmer, G. Stein, J. Weiss, J. Chem. Soc., 3241, 1949.
2. Е. В. Барелко, М. А. Проскурнин, Сборник работ по радиационной химии, Изд-во АН СССР, 1955, стр. 99.
3. M. Daniels, G. Scholes, J. Weiss, J. Chem. Soc., 832, 1951.
4. Е. В. Барелко, Л. И. Карташева, М. А. Проскурнин, Докл. АН СССР, 116, 74, 1957.
5. J. H. Baxendale, J. Magee, Disc. Faraday Soc., 14, 160, 1953.
6. P. V. Phung, M. Burton, Radiation Res., 7, 199, 1957.
7. H. Loeble, G. Stein, J. Weiss, J. Chem. Soc., 405, 1951.
8. G. Stein, J. Weiss, J. Chem. Soc., 3265, 1951.
9. H. Loeble, G. Stein, J. Weiss, J. Chem. Soc., 2704, 1950.
10. G. R. A. Johnson, G. Stein, J. Weiss, J. Chem. Soc., 3275, 1951.
11. J. Merz, W. Weter, J. Chem. Soc., 2727, 1949.
12. Feller, W. Minder, A. Liechti, Radiol. Clin., 17, 156, 1948.
13. M. Lefort, Actions chimiques et biologiques des radiations, I serie, Masson and Co, Paris, 1955.
14. C. Hochanadel, J. Ghormley, J. Chem. Phys., 21, 880, 1953.
15. А. В. Зимин, С. В. Чурмантеев, А. Д. Верина, Сборник работ по радиационной химии, Изд-во АН СССР, 1955, стр. 249.
16. E. N. Luse, E. Denice, F. Akerlund, Industr. and Engng. Chem. Anal. Edit., 15, 365, 1943.
17. М. В. Волькенштейн, М. А. Ельяшевич, Б. И. Степанов, Колебания молекул, т. II, Гостехиздат, 1949, стр. 412.
18. Steacie, Atomic and free radicals reactions, 1946.
19. П. И. Долин, Сборник работ по радиационной химии, Изд-во АН СССР, 1955, стр. 7.

OXIDATION OF CHLOROBENZENE IN AQUEOUS SOLUTIONS BY THE ACTION OF IRRADIATION

N. P. Krushinskaya, M. A. Proskurnin (Moscow)

Summary

The radiolytic oxidation of chlorobenzene in aqueous solutions has been studied in vacuum and on continuous passage of oxygen. Under vacuum conditions analysis of the aqueous products showed the presence of oxygen and the complete absence of hydrogen. It has been found that in addition to phenol and the isomers of chlorophenol non-phenolic types of compounds representing hydrogenated derivatives of diphenyl are formed. The presence of molecular oxygen leads to a threefold increase in the yield of phenols at the expense of the hydrogenated condensation products. An important part in this process was shown to be played by the radiation hydrolysis of chlorobenzene.

On the basis of the data obtained the mechanism of hydroxylation of chlorobenzene has been investigated.

КИНЕТИКА РЕАКЦИИ СИММЕТРИЗАЦИИ РТУТНООРГАНИЧЕСКИХ СОЛЕЙ

II. УСТАНОВЛЕНИЕ ПОРЯДКА РЕАКЦИИ СИММЕТРИЗАЦИИ АММИАКОМ ЭФИРОВ α -БРОММЕРКУРФЕНИЛУКСУСНОЙ КИСЛОТЫ ПО АММИАКУ

О. А. Реутов, И. П. Белецкая и Р. Е. Мардалейшвили

В предыдущей статье [1] были приведены экспериментальные данные, полученные при изучении реакции симметризации этилового и *l*-ментиловых эфиров α -броммеркурфенилуксусной кислоты аммиаком в среде хлороформа при 18 — 20° и концентрациях реагирующих веществ $[R_1R_2R_3CHgX](6,80; 6,12; 5,44; 4,76; 4,08; 3,40; 2,72; 1,70; 1,36; 0,85) \cdot 10^{-3} \text{ моль/мл}$ и $[NH_3] \cdot 1 \cdot 10^{-3} \text{ моль/мл} = \text{const}$ $2R_1R_2R_3CHgX \xrightarrow{NH_3} R_1R_2R_3C-Hg-CR_3R_2R_1$.

В указанных условиях и соотношениях реагирующих веществ реакция симметризации протекает количественно и имеет второй порядок по ртутноорганическому соединению.

В настоящей статье изложены результаты дальнейшего исследования этой реакции, в частности данные изучения порядка по второму компоненту реакции — аммиаку, а также влияние концентрации аммиака и различных добавок на скорость и глубину процесса симметризации.

Экспериментальная часть

Схема прибора, на котором производились измерения, приведена на рис. 1. Сосуд 1 емкостью 70 мл снабжен двумя бюретками с кранами и вакуумным краном 2, через который можно производить как откачку сосуда, так и подачу в него аммиака. После предварительной откачки сосуда до давления 0,1 мм рт. ст. в него впускается аммиак, о количестве которого можно судить по давлению, измеренному по манометру 3. Кран 2 закрывается и затем из бюретки в сосуд вводится раствор ртутноорганической соли в 10 мл хлороформа.

Опыты проводились при количестве ртутноорганической соли $1,36 \cdot 10^{-3} \text{ моль}$ и аммиака: (3,28; 2,76; 2,12; 1,60; 1,07) $\cdot 10^{-3} \text{ моль}$.

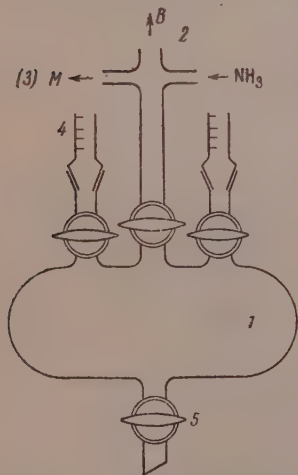


Рис. 1. Сосуд для проведения реакции при определении порядка по аммиаку. 1 — сосуд; 2 — кран; 3 — манометр; 4 — бюретка

Было показано, что в условиях наших опытов скорость растворения аммиака в хлороформе много больше скорости реакции симметризации. Поэтому можно считать, что наблюдаемая на опыте скорость изменения концентрации аммиака в ходе реакции обусловлена исключительно кинетикой основной реакции.

В различные моменты времени после начала опыта реакция прекращалась добавлением избыточного (относительно аммиака) количества * 0,149 N HCl. Раствор из сосуда через кран 5 количественно переносился в колбу и избыток кислоты оттитровывался метилоранжу. Данные этих измерений приведены в табл. 1.

* Кислота такой концентрации, как показано параллельными опытами, не реагирует ни с исходными, ни с конечными ртутноорганическими соединениями.

В ряде опытов в ходе процесса мы судили по падению давления аммиака в системе. В частности, таким путем было установлено, что, например, насыщенный раствор ртутноорганической соли ($1,36 \cdot 10^{-3}$ моль в 10 мл CHCl_3) вступает в реакцию с аммиаком, когда его количество равно или превышает $4,34 \cdot 10^{-3}$ моль, в соотношениях 1:1. Состав образующегося осадка соответствует формуле $\text{HgX}_2 \cdot 2\text{NH}_3$.

Порядок реакции по аммиаку устанавливался путем определения зависимости начальной скорости реагирования аммиака от его исходной

Таблица 1

$Q(\text{NH}_3)_0 \cdot 10^3$, моль	Время, час.					
	0,5	1	1,5	2	2,5	48
3,28	2,98	2,80	2,60	2,38		2,14
2,76	2,52	2,36	2,23			
2,12	1,97	1,87	1,74		1,60	
1,60	1,51	1,44	1,34			1,28
1,07	1,03					

Примечание. Приведены средние значения нескольких измерений, совпадающих с точностью $\pm 0,01 \cdot 10^{-3}$ моль.

концентрации при постоянной концентрации ртутноорганического соединения, равной $1,36 \cdot 10^{-3}$ моль, растворенных в 10 мл CHCl_3 . При этом за начальную скорость принималось изменение количества реагирующего

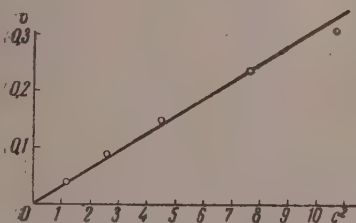


Рис. 2. Зависимость начальной скорости использования аммиака от квадрата его исходной концентрации. $v_0 = f(c^2_{\text{NH}_3})$

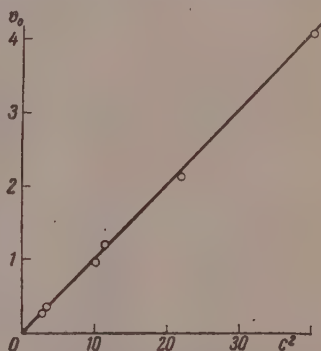


Рис. 3. Зависимость начальной скорости использования аммиака от квадрата его исходной концентрации, полученная при пересчете данных, приведенных на рис. 4

в системе аммиака за первые 0,5 часа от начала реакции. За это время в условиях наших опытов реакция проходит менее чем на 20%.

В табл. 2 приведены значения исходных количеств Q аммиака, их квадраты Q^2 и соответствующие значения для начальных скоростей ($v_{(\text{NH}_3)_0}$)

Таблица 2

$Q[\text{NH}_3]_0 \cdot 10^3$ моль	3,28	2,76	2,12	1,60	1,07
$Q[\text{NH}_3]_0 \cdot 10^3$ моль ²	10,74	7,62	4,50	2,56	1,14
$(v_{\text{NH}_3})_{0,5} \cdot 10^3$ моль	0,31	0,24	0,15	0,09	0,04

Рис. 2, построенный по данным табл. 2, иллюстрирует линейную зависимость скорости расхода аммиака от квадрата его исходной концентрации.

Таблица 3

$i : j$	1 : 2	2 : 3	3 : 4	4 : 5	1 : 3	1 : 4	2 : 4
$\left(\frac{Q_i}{Q_j} \right)^2$	1,41	1,69	1,75	2,25	2,40	4,18	2,98
$\frac{v_i}{v_j}$	1,29	1,60	1,67	2,24	2,06	3,33	2,67
$\lim_{i \rightarrow 0} \frac{v_i}{v_j}$	1,39	1,69	1,71	—	2,20	3,84	2,82

Таблица 4

$\text{сNH}_3 \cdot 10^4 \text{ моль/мл}$						
$t, ^\circ\text{C}$	6,35	4,78	3,45	3,27	1,92	1,75
	I_1	I_2	I_3	I_4	I_5	I_6
0	140,0	140,0	140,0	140,0	140,0	140,0
20	40,0	110,0	122,3	138,5	125,5	139,0
30	32,0	64,0	99,9	128,0	100,0	138,0
40	28,5	47,0	76,0	98,0	85,0	136,8
50	26,2	42,0	62,0	73,0	74,7	133,8
60	24,8	36,0	52,0	60,0	68,0	128,8
70	23,3	33,7	47,2	53,8	62,9	122,0
80	22,2	32,0	43,2	48,0	58,8	113,0
90	21,3	30,9	40,8	44,5	55,8	104,6
100	20,7	29,8	38,3	42,0	53,2	95,3
110	20,0	28,8	37,3	40,0	51,5	88,0
120	19,4	28,0	36,1	38,3	50,0	81,6
130	18,9		35,1	37,2	49,0	75,9
140	18,3		34,1	36,4	47,8	70,8
150	18,0	26,1	33,7	35,5	47,0	67,0
160	17,3		33,1	34,8	46,2	63,3
170	17,1		32,5	34,2	45,5	60,3
180	16,9	24,7	31,9	33,8	45,0	57,9
210	15,9	23,5	30,8	32,8	43,0	55,8
240	15,1	22,5	30,0	31,7	42,1	49,8
270	14,6	21,6	29,3	31,1	41,2	48,8
300	14,0	20,9	28,7	30,4	40,0	44,9
330	13,5	20,3	28,2	30,0	39,1	42,9
360	13,1	19,9	27,9	29,5	38,6	41,1
390	12,8	19,4	27,3	29,0	37,9	40,0
420	12,6	19,1	27,0	28,7	37,5	39,0
450	12,2	18,8	26,6	28,3	37,1	38,2
480	12,1	18,2	26,1	28,1	36,7	37,5
510	11,9	18,0	26,0	27,9	36,1	37,0
540	11,7	17,8	25,8	27,7	35,8	36,6
570	11,5	17,5	25,6	27,2	35,3	35,7
600	11,3	17,1	25,3	27,1	35,1	35,3
630	11,1	16,9	25,1	26,9	34,9	35,0
660		16,7	24,9	26,8	34,8	34,4
690		16,3		26,7		34,2
720		16,2		26,6		34,0
1380	9,7	14,7	22,8	23,9	30,3	29,6
2640	9,3	13,7	20,9	21,5	27,2	27,3
3600	9,2	12,5	19,9	20,2	26,4	
	9,2	12,0	19,8	20,2	26,0	27,2

Методика наших измерений не позволяет точно определить скорость хода аммиака при времени, меньшем 0,5 часа от начала реакции. Необходимо выяснить поэтому, в какой мере справедливо использование при делении порядка реакции значения скорости расходования аммиака первые 0,5 часа вместо начальной скорости.

По данным, приведенным в табл. 1, путем графической экстраполяции можно определить отношение начальных скоростей $\frac{(v_i)_0}{(v_j)_0}$ как предел, которому стремится значение

при $t \rightarrow 0$. В табл. 3 приведены

ученные таким путем значе-

т отношений $\frac{(v_i)_0}{(v_j)_0}$ и отноше-

ни квадратов исходных кон-
центраций аммиака для каждой
пары опытов, что подтверждает
справедливость сделанного вы-
вода о линейной зависимости
от c_0^2 .

Наряду с вышеизложенным
способом для определения по-
рядка реакции по аммиаку нами
была проведена серия опытов,
в которых измерения проводи-
лись методом нефелометрии (1).
В этом случае применялись кон-
центрации ртутноорганического
вещества $6,8 \cdot 10^{-5}$ моль/мл аммиа-
ка (6,35; 4,78; 3,45; 3,27; 1,92;
1,75) $\cdot 10^{-4}$ моль/мл. Данные изме-
нений $I = f(t)$ приведены в табл. 4.

Способом, описанным в статье [1], построены кривые $c_0 - c = \varphi(t)$,
которым были найдены значения скорости реакции, экстраполирован-
ные к $t = 0$. Линейная зависимость начальной скорости реакции от квад-
рата исходной концентрации аммиака при постоянной концентрации ртутно-
органического соединения приведены на рис. 3.

На основании этих данных можно сделать вывод о том, что при реак-
ции симметризации $R_1R_2R_3CHgX$ в условиях наших опытов аммиак рас-
ходуется по второму порядку.

Выше отмечалось, что при проведении реакции при concentra-
ции ртутноорганического соединения $6,8 \cdot 10^{-5}$ моль/мл и аммиака
 $1 \cdot 10^{-3}$ моль/мл, она идет количественно, однако при проведении реакции
симметризации при той же концентрации ртутноорганического вещества
и концентрациях аммиака, меньших $1 \cdot 10^{-3}$ моль/мл (6,35; 4,78; 3,45; 3,27;

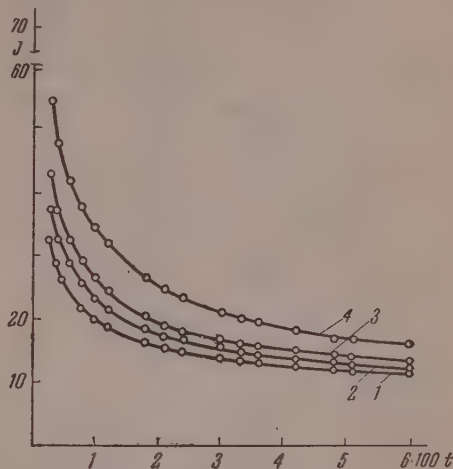


Рис. 4. Кривые $I = f(t)$ для случаев различных концентраций добавок симметричного продукта. $c_d \cdot 10^5$: 0; 0,33; 0,66; 1,34

Таблица 5

Исходная концентрация ртутноорганического соединения	Исходные концентрации $NH_3 \cdot 10^4$, моль/мл	Концентрация прореагировавшего вещества	Процент превращения вещества
$6,8 \cdot 10^{-5}$ моль/мл	6,35	0,958	95,8
	4,78	0,800	80,0
	3,45	0,428	42,8
	3,27	0,416	41,6
	1,92	0,270	27,0
	1,75	0,248	24,8

$1,92; 1,75) \cdot 10^{-4}$ моль/мл найдено, что реакция заканчивается при частичном использовании исходных веществ.

Из кривых $I = f(t)$, полученных методом нефелометрии, с помощью градуировочной кривой $c_0 - c = f(I)$ найден процент прореагировавшего исходного $R_1R_2R_3CHgX$ в зависимости от различных начальных концентраций аммиака (табл. 5)

То, что при количестве ртутноорганического соединения $1,36 \cdot 10^{-3}$ моль и аммиака, меньшем $4,30 \cdot 10^{-3}$ моль, глубина реакции определяется исход-

ной концентрацией аммиака, было также показано и методом титрования (табл. 6).

Полученные данные служат указанием на равновесный характер процесса симметризации в данных условиях.

С целью исследования этого равновесия нами было изучено влияние добавок симметричного продукта $(R_1R_2R_3C)_2Hg$, образующегося в ходе реакций, на скорость процесса. Реакция проводилась при концентрации ртутноорганического вещества $6,8 \cdot 10^{-5}$ моль/мл, аммиака $1 \cdot 10^{-3}$ моль/мл и концентрации добавок (0,33; 0,66; $1,32 \cdot 10^{-3}$ моль/мл). Ход кривых $I = f(t)$, построенных по данным табл. 7, для случаев различных добавок приведен на рис. 4. Эти кривые указанным выше способом пересчитаны в кривые $c_0 - c = \varphi(t)$ (рис. 4, 5), из которых найдены начальные скорости

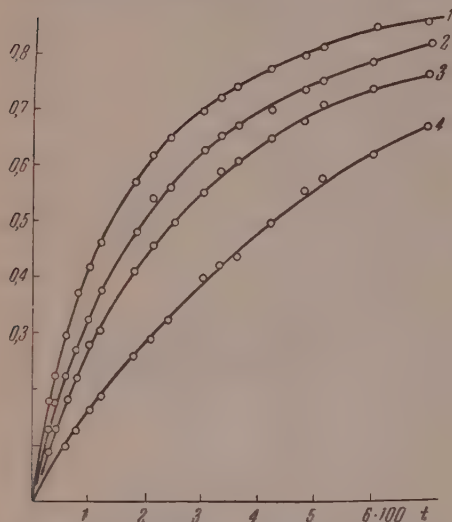


Рис. 5. Кинетические кривые $c_0 - c = \varphi(t)$ для случаев различных концентраций добавок симметричного продукта. $c_d \cdot 10^3$; 0; 0,33; 0,66; 1,32

реакции в зависимости от концентрации добавки симметричного продукта. Из полученных данных можно заключить, что увеличение концентрации добавки $(R_1R_2R_3C)_2Hg$ уменьшает скорость реакции.

Начальные скорости реакций в случае различных концентраций добавок были найдены экстраполяцией величин концентраций прореагировавшего вещества, полученных в первые 20—60 сек. ко времени $t = 0$. Рис. 6 иллюстрирует линейную зависимость начальной скорости v_0 реакции от концентрации добавки c_d .

Таблица 6

Количество исходного $NH_3 \cdot 10^3$ моль	Количество $NH_3 \cdot 10^3$ моль на реакцию	Количество неизрасходованного вещества $\cdot 10^3$	Процент превращения вещества
3,28	1,14	0,22	84,0
2,12	0,89	0,47	65,5

Полученные экспериментальные данные позволяют предположить, что изученная реакция симметризации является двустадийной:

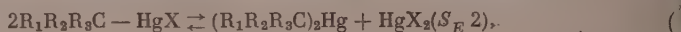


Таблица 7

t, °C	c _д · 10 ⁵			
	0	0,33	0,66	1,32
	I ₀	I ₁	I ₂	I ₃
0	140	140	140	140
30	33,0	37,8	43,4	55,0
40	29,0	33,2	37,8	48,2
60	24,6	29,0	32,8	42,0
80	22,0	25,8	29,4	38,0
100	20,3	23,6	26,6	34,8
120	18,9	21,8	24,4	32,4
180	16,5	18,5	20,4	26,6
210	15,7	17,4	19,0	25,0
240	15,0	16,8	18,0	23,6
300	13,9	15,4	17,0	21,0
330	13,5	14,8	16,2	20,1
360	13,1	14,5	15,8	19,6
420	12,5	14,0	15,0	18,0
480	12,0	13,2	14,2	16,8
510	11,9	12,8	13,8	16,4
600	11,2	12,2	13,2	15,2
700	11,0	11,6	12,6	14,5

6,8 · 10⁻⁵ моль/мл-1

Роль аммиака в реакции симметризации заключается в связывании HgX_2 в плохо растворимый комплекс $\text{HgX}_2 \cdot (\text{NH}_3)_2$, что приводит к смещению равновесия (1) вправо. То, что при концентрации ртутьорганического вещества $6,8 \cdot 10^{-5}$ моль/мл и концентрации аммиака $< 1 \cdot 10^{-3}$ моль/мл реакция не доходит до конца, связано наличием равновесия также и второй стадии реакции (2).

Стадия (1) симметризации представляет собой реакцию бимолекулярного электрофильного замещения у насыщенного углеродного атома (S_E2). В работе [2] было показано, что симметризация эфиров α -броммеркурфенилуксусной кислоты с помощью аммиака протекает с сохранением стереохимической конфигурации.

Таким образом, результаты комбинированного изучения стереохимии кинетики симметризации ртутьорганических солей позволяют нам, в противоположность теоретическому предсказыванию [3], констатировать реакцию бимолекулярного электрофильного замещения у насыщенного углеродного атома (S_E2), протекающую с сохранением конфигурации.

Выводы

1. Изучена кинетика реакции симметризации α -броммеркурфенилуксусных эфиров под действием аммиака.
2. Показано, что реакция имеет второй порядок как по ртутьорганической соли, так и по аммиаку.
3. Предложен и обсужден механизм реакции.
4. Впервые констатировано протекание бимолекулярной реакции электрофильного замещения у насыщенного углеродного атома с сохранением стереохимической конфигурации.

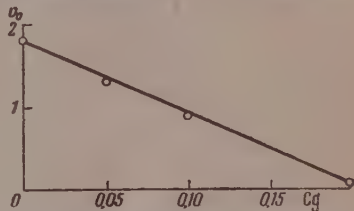


Рис. 6. Зависимость начальной скорости реакции от концентрации добавки симметричного продукта $v_0 = f(c_d)$.

ЛИТЕРАТУРА

1. О. А. Реутов, И. П. Белецкая, Р. Е. Мардалейшвили, *Ж. физ. химии* (в печати).
2. А. Н. Несмеянов, О. А. Реутов, С. С. Поддубная, Докл. АН СССР, 88, 479, 1953; Изв. АН СССР, отд. хим. н., 850, 1953.
3. E. G. Hughes, C. K. Ingold, *J. Chem. Soc.*, 244, 1935.

SYMMETRIZATION KINETICS OF ORGANOMERCURY SALTS. II

O. A. Reutov, I. P. Beletskaya and R. E. Mardeishvili (Moscow)

Summary

The kinetics of symmetrization of esters of α -bromomercurophenylacetic acid under the action of ammonia have been investigated. The reaction has been shown to be of the second order both with respect to the organomercury salt and to ammonia. A mechanism of the reaction has been proposed and discussed. For the first time a bimolecular electrophilic substitution reaction has been shown to take place at a saturated carbon atom with preservation of the stereochemical configuration.

ВЛИЯНИЕ ВЗАИМОДЕЙСТВИЯ РЕАКЦИОННОЙ СИСТЕМЫ И КАТАЛИЗАТОРА НА КИНЕТИКУ КАТАЛИТИЧЕСКИХ РЕАКЦИЙ

Г. К. Боресков

Взаимодействие реакционной системы и катализатора приводит к зависимости состава и свойств твердых катализаторов от состава реакционной смеси [1]. В ряде случаев это вызывает весьма значительные изменения каталитических свойств твердых тел. При этом каждому составу реакционной смеси отвечает определенный, стационарный состав катализатора, зависящий от соотношения скоростей воздействия на катализатор отдельных участников реакции. Если скорость этого воздействия невелика и время проведения каталитического процесса не происходит заметного изменения состава катализатора, то удельная каталитическая активность висит от условий предшествующей более жесткой обработки катализатора. Если же стационарный состав катализатора достигается достаточно быстро, то его изменение в результате изменений состава реакционной смеси должно оказывать существенное влияние на кинетику каталитической реакции. Нам кажется, что во многих случаях, именно это обстоятельство обуславливает сложность кинетических закономерностей каталитических реакций, а также противоречия между данными различных следователей.

Воздействие реакционной системы на свойства твердых катализаторов ставляет с новой точки зрения рассмотреть основы построения кинетических уравнений контактных процессов.

Поскольку реакции гетерогенного катализа протекают через промежуточное поверхностное взаимодействие, их скорость должна зависеть не только от парциальных давлений (объемных концентраций) реагирующих веществ, но и от поверхностных концентраций хемосорбированных частиц, принимающих участие в отдельных стадиях каталитического процесса:

$$w = kf(p_i, \Theta_i). \quad (1)$$

Поверхностные концентрации Θ_i могут при этом весьма сложным образом зависеть от парциальных давлений p_i .

Хиншельвудом [2] на основе работ Лэнгмюра была построена подробная схема возможных форм кинетических уравнений, основанная на предположении, что поверхностные концентрации реагирующих веществ являются равновесными по отношению к их объемным концентрациям. Это означает, что скорость обратимого образования и разложения поверхностных промежуточных соединений значительно превышает скорость их химического превращения. Сопоставление с экспериментальными данными показало, что это предположение оправдывается лишь в ограниченном числе случаев. Скорость образования промежуточного поверхностного соединения может быть гораздо меньше скорости его последующего превращения, и тогда поверхностная концентрация реагирующего вещества, в случае обратимых реакций, будет равновесной по отношению к объемным концентрациям не исходных веществ, а конечных. В общем виде характер зависимости поверхностных концентраций от объемных определя-

ется соотношением скоростей образования и превращения поверхностных соединений.

Для однозначного определения зависимости скорости реакции от объемных концентраций компонентов реакционной смеси в явной форме необходимо дополнить уравнение (1) сложной зависимостью каждой θ_i от всех p_i .

В дальнейшем оказалось, что и в этой обобщенной форме теория не состоянии объяснить многие экспериментальные данные, как, например, зависимость скорости реакции от концентраций реагирующих веществ и продуктов в степенях с дробными показателями. Было предложено на основании разнообразных косвенных данных учитывать зависимость энергии поверхностных связей от заполнения поверхности. Это направление было развито в основном трудами советских ученых, главным образом М. И. Темкина [3] и С. З. Рогинского [4].

Неравноценность энергии связи на различных участках поверхности катализатора приводит к различию энергий активации реакций, протекающих на этих участках, а следовательно, и к различию констант скорости. Уравнение (1) может быть применено в этом случае только к бесконечно малым совокупностям участков поверхности, внутри которых можно пренебречь различием свойств. Общая скорость реакции получается путем суммирования скоростей для всех участков:

$$w = \int_S k_S f(p_i, \theta_{iS}) dS,$$

где

$$\theta_{iS} = \varphi_S(p_i).$$

Это расширение теории приводит к исключительному разнообразию возможных форм кинетических зависимостей, так как могут быть допущены различные закономерности изменения энергий связи и энергий активации промежуточных превращений вдоль поверхности.

Следует подчеркнуть, что и при этом подходе катализатор по-прежнему рассматривается как неизменная составная часть системы, скорее, место протекания реакции, чем ее активный участник.

В действительности твердые катализаторы подвержены воздействию реакционной системы и свойства катализатора, вообще говоря, являются функцией ее состава. Поэтому влияние на скорость реакции концентраций компонентов реакционной смеси должно проявляться двояко: через число столкновений реагирующих частиц с учетом поверхностных концентраций, как это соответствует уравнению (1), а, кроме того, в результате влияния реакционной смеси на свойства катализатора, т. е. на «костанту» скорости реакции:

$$w = k(p_i) f(p_i, \theta_i).$$

При этом может сказываться и неоднородность поверхности, но все же возможно, что многие зависимости, для объяснения которых привлекалась неоднородность, в действительности вызываются воздействием реакционной смеси на свойства катализатора.

Характер зависимости $k(p_i)$ от состава реакционной смеси может быть весьма сложным. Он определяется стационарным составом катализатора, устанавливающимся в условиях осуществления реакции, и влиянием состава катализатора на его каталитическую активность.

Стационарный состав катализатора лежит между равновесными состояниями, отвечающими взаимодействию с отдельными компонентами реакционной смеси и определяется соотношением скоростей этого взаимодействия [1].

Зависимость каталитической активности от состава катализатора изучена совершенно недостаточно, и только для некоторых катализаторов-полупроводников ее можно предварительно оценить.

Рассмотрим в качестве примера кинетику реакции окисления, заключающейся в переходе атомов кислорода между молекулами реагирующих веществ, на каком-либо окисном катализаторе.

В общем виде эту реакцию можно представить уравнением:



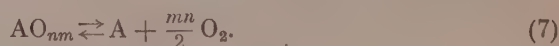
где A — акцептор кислорода, BO_m — донор кислорода.

Каталитическая активность окисного катализатора зависит от содержания кислорода. С увеличением содержания кислорода снижается уровень химического потенциала, и следует ожидать облегчение процессов, связанных с переходом электронов от молекул реагирующих веществ к катализатору, и затруднение процессов, включающих обратный переход электрона от катализатора к молекулам реагирующих веществ. Для последующих расчетов нам удобно будет характеризовать содержание в кислоте кислорода его летучестью.

При достижении стационарного состава летучесть кислорода катализатора $p_{\text{O}_2}^*$ будет лежать в следующих пределах:

$$p_{\text{O}_2}^{*'} = \left(\frac{p_{\text{BO}_m}^n}{K_1 p_B^n} \right)^{2/nm} \geq p_{\text{O}_2}^* \geq \left(\frac{p_{\text{AO}_{nm}}}{K_2 p_A} \right)^{2/nm} = p_{\text{O}_2}^{**}, \quad (5)$$

где K_1 и K_2 — константы равновесия реакций



Если донором кислорода является молекулярный кислород, то $m = 2$;

$$p_{\text{O}_2}^{*'} = p_{\text{O}_2} \text{ и } p_{\text{O}_2}^{**} = \left(\frac{p_{\text{AO}_2}}{K_2 p_A} \right)^{1/n}.$$

В соответствии с этим уравнение (3) можно представить в следующей форме:

$$w = k(p_{\text{O}_2}^*) f(p_i, \Theta_i). \quad (8)$$

Предположим, по аналогии с правилом Бренстеда, что энергия активации всех процессов на поверхности окисного катализатора линейно связана со свободной энергией диссоциации окисла стационарного состава:

$$E = E_0 + ART \ln p_{\text{O}_2}^*. \quad (9)$$

Коэффициент A положителен для процессов, связанных с переходом электрона от катализатора к реагирующей молекуле, и отрицателен для процессов, связанных с обратным переходом электрона.

Подставив (9) в (8), получим

$$w = k_0 \exp \left\{ - \frac{E_0 + ART \ln p_{\text{O}_2}^*}{RT} \right\} f(p_i, \Theta_i) = k_0 e^{-E_0/RT} (p_{\text{O}_2}^*)^A f(p_i, \Theta_i). \quad (10)$$

Рассмотрим некоторые простейшие частные случаи.

1. Скорость реакции определяется скоростью хемосорбции акцептора кислорода при малой адсорбции всех компонентов реакционной смеси

$$f(p_i, \Theta_i) = k'_0 p_A.$$

В этом случае более вероятно приближение летучести кислорода при стационарном составе к $p_{O_2}^*$.

Приняв

$$p_{O_2}^* = p_{O_2}^{\prime\prime} = \left(\frac{p_{BOm}^n}{K_1 p_B^n} \right)^{2/nm}$$

и подставив в (10), получим

$$w_1 = k_0^* e^{-E_0/RT} K_1^{-2A/mn} p_A \left(\frac{p_{BOm}^n}{p_B^n} \right)^{2A/mn} = k_1 p_A \left(\frac{p_{BOm}^n}{p_B^n} \right)^{2A/mn}.$$

Скорость обратной реакции определяется в этом случае скоростью десорбции акцептора, равной скорости адсорбции при равновесном давлении акцептора

$$p'_A = \frac{p_{AOmn} p_B^n}{K p_{BOm}^n},$$

где K — константа равновесия реакции (4):

$$f(p_i, \Theta_i) = k'_0 p'_A = \frac{k'_0}{K} \frac{p_{AOmn} p_B^n}{p_{BOm}^n}, \quad (11)$$

и скорость обратной реакции

$$\begin{aligned} w_2 &= k_0^* e^{-E_0/RT} K_1^{-2A/mn} K^{-1} p_{AOmn} \left(\frac{p_B^n}{p_{BOm}^n} \right)^{(1-2A/mn)} = \\ &= k_2 p_{AOmn} \left(\frac{p_B^n}{p_{BOm}^n} \right)^{(1-2A/mn)}, \end{aligned} \quad (12)$$

где $k_2 = k_1 / K$.

Суммарная скорость

$$w = w_1 - w_2 = k_1 p_A \left(\frac{p_{BOm}^n}{p_B^n} \right)^{2A/mn} - k_2 p_{AOmn} \left(\frac{p_B^n}{p_{BOm}^n} \right)^{(1-2A/mn)}. \quad (13)$$

Для реакции конверсии окиси углерода



$m = n = 1$ и, приняв $A = 0,25$, получим

$$w = k_1 p_{CO} \left(\frac{p_{H_2O}}{p_{H_2}} \right)^{0,5} - k_2 p_{CO_2} \left(\frac{p_{H_2}}{p_{H_2O}} \right)^{0,5},$$

т. е. кинетическое уравнение, найденное экспериментально Н. В. Куликовой и М. И. Темкиным [5] для окисножелезного катализатора. Указанные авторы вывели это уравнение из предположения о равномерной неоднородности поверхности катализатора.

2. Донором кислорода является молекулярный кислород. Скорость реакции определяется скоростью хемосорбции кислорода при малой

сборки всех компонентов:

$$f(p_i, \Theta_i) = k'_0 p_{O_2}.$$

В этом случае летучесть кислорода катализатора в стационарном состоянии должна быть ближе к $p_{O_2}^*$.

Если принять

$$p_{O_2}^* = p_{O_2}^{**} = \left(\frac{p_{AO_{2n}}}{K_2 p_A} \right)^{1/n}$$

подставить в (10), то получим

$$w_1 = k_0'' e^{-E_0/RT} K_2^{-A/n} p_{O_2} \left(\frac{p_{AO_{2n}}}{p_A} \right)^{A/n} = k_1 p_{O_2} \left(\frac{p_{AO_{2n}}}{p_A} \right)^{A/n}. \quad (14)$$

Для скорости обратной реакции, аналогично предыдущему, находим

$$f(p_i, \Theta_i) = k'_0 p_{O_2}^* = k'_0 \left(\frac{p_{AO_{2n}}}{K_2 p_A} \right)^{1/n};$$

в данном случае K совпадает с K_2 и

$$w_2 = k_0'' e^{-E_0/RT} K_2^{-(1/n)(1+A)} \left(\frac{p_{AO_{2n}}}{p_A} \right)^{(1/n)(1+A)} = k_2 \left(\frac{p_{AO_{2n}}}{p_A} \right)^{(1/n)(1+A)}. \quad (15)$$

Чистая скорость

$$w = w_1 - w_2 = k_1 p_{O_2} \left(\frac{p_{AO_{2n}}}{p_A} \right)^{A/n} - k_2 \left(\frac{p_{AO_{2n}}}{p_A} \right)^{(1/n)(1+A)}. \quad (16)$$

Связывание кислорода, по-видимому, является лимитирующим этапом окисления двуокиси серы на окисных катализаторах [6].

Для этой реакции



$\alpha = 0,5$. Положив $A = -0,4$, приходим к уравнению

$$w = k_1 p_{O_2} \left(\frac{p_{SO_2}}{p_{SO_3}} \right)^{0,8} - k_2 \left(\frac{p_{SO_2}}{p_{SO_3}} \right)^{1,2},$$

найденному экспериментально Т. И. Соколовой и автором [7] для кинетики окисления SO_2 на ванадиевых катализаторах.

Эта форма кинетического уравнения также первоначально объяснялась однородностью поверхности катализатора. Последующие исследования, показавшие значительные изменения состава катализатора в зависимости от состава реакционной смеси [8], а также указания на каталитическую активность основных компонентов катализатора в расплавленном состоянии [9], свидетельствуют о том, что экспериментально найденная кинетическая зависимость вызвана воздействием реакционной смеси на свойства катализатора.

Величина коэффициента A должна зависеть от числа атомов кислорода n , в более общей форме, от числа электронов η , переходящих от катализатора к реагирующим веществам или в обратном направлении при образовании одного активного комплекса. При связывании окислом одной молекулы кислорода расходуются четыре электрона.

Целесообразно ввести коэффициент $\alpha = |A|4/\eta$, показывающий, какую долю составляет изменение энергии активации данного процесса от изменения свободной энергии диссоциации окисла, если относить эти энергии к переходу одного электрона. В рассмотренных примерах α близок к 0,5. Аналогичным образом может быть учтено влияние взаимодействия реакционной системы и катализатора на кинетику других каталитических процессов.

ских процессов, протекающих на различных катализаторах (металлах, сульфидах, катализаторах кислотно-основной природы и других). Несомненно, что для большинства реакций гетерогенного катализа наблюдаемые кинетические зависимости включают большее или меньшее влияние состава реакционной смеси на свойства катализатора.

Обобщая изложенное выше, приходим к выводу, что зависимость скорости реакции от состава реакционной смеси должна включать два сомножителя. Один из них учитывался во всех вариантах кинетики гетерогенных реакций и представляет собой зависимость от состава реакционной смеси числа столкновений реагирующих частиц, участвующих в лимитирующей стадии реакции. Второй множитель выражает зависимость «константы» скорости реакции этой стадии от состава реакционной смеси, возникающей в результате влияния реакционной смеси на состав и свойства катализатора, или, пользуясь терминами теории переходного состояния, можно сказать, что второй множитель выражает зависимость константы равновесия образования переходного состояния от состава реакционной смеси.

Если стационарное состояние катализатора устанавливается за промежуток времени, меньший длительности испытания, то наблюдаемая зависимость скорости реакции от концентраций объединяет влияние состава реакционной смеси на оба множителя. Этим определяются сложность кинетических зависимостей и трудность подбора аппроксимирующих выражений, справедливых в широком интервале изменения концентраций и температуры.

Если же стационарное состояние катализатора устанавливается очень медленно, то при изменении состава реакционной смеси состав катализатора в процессе испытания не успевает измениться. В этом случае наблюдаемая зависимость скорости от концентраций отвечает только первому множителю. Значение второго множителя, оставаясь постоянным в определенной области изменения концентраций и температуры, зависит от условий предшествующей, более жесткой обработки. Значение второго множителя как бы остается замороженным в более мягких условиях исследования. Этим можно объяснить кажущиеся изменения удельной каталитической активности в зависимости от условий обработки.

В действительности эти изменения связаны не со структурными различиями, а с вариацией состава, и исчезают при переходе к условиям испытания, при которых достаточно быстро достигается стационарный состав катализатора.

В промежуточной области должно наблюдаться непостоянство во времени как активности, так и формы кинетических уравнений.

Очевидно, значение как для кинетики, так и для выяснения механизмов каталитических процессов раздельного определения обоих сомножителей кинетических уравнений. Для этого необходимо сочетать кинетические измерения с исследованием изменения состава и свойств катализатора в зависимости от температуры и состава реакционной смеси. Наряду с химическими методами для этой цели целесообразно использовать измерения в процессе осуществления каталитической реакции электропроводности катализатора, работы выхода электрона и других физических свойств катализатора.

Выводы

Взаимодействие реакционной системы и катализатора приводит к зависимости кинетики реакций гетерогенного катализа от скорости достижения стационарного состава катализатора. Если длительность достижения стационарного состава мала по сравнению с продолжительностью испытания, то зависимость скорости реакции от концентраций компонент реакционной смеси определяется не только изменением числа столкновений реагирующих частиц, участвующих в лимитирующей стадии реакции

и изменением константы скорости реакции вследствие воздействия акционной смеси на состав и свойства катализатора. На основании этого могут быть объяснены формы кинетических уравнений некоторых окислительных реакций, трактованных ранее на основе предположения о однородности энергии хемосорбции на поверхности катализатора.

Поступила
22.II.1958

ЛИТЕРАТУРА

- Г. К. Боресков, Ж. физ. химии, 32, 2739, 1958.
C. H. Hinselwood, Kinetics of Chemical Change, Oxford University Press, 1926, стр. 145, русский перевод.
М. И. Темкин, Ж. физ. химии, 15, 296, 1941.
С. З. Рогинский, Адсорбция и катализ на неоднородных поверхностях, Изд-во АН СССР, 1948.
Н. В. Кулькова, М. И. Темкин, Ж. физ. химии, 23, 695, 1949.
Г. К. Боресков, Катализ в производстве серной кислоты, Госхимиздат, 1954, стр. 207.
Г. К. Боресков, Т. И. Соколова, Хим. пром-сть, 1241, 1937.
Е. В. Гербурт-Гейбович, Г. К. Боресков, Ж. физ. химии, 30, 1801, 1956.
В. В. Илларионов, Г. К. Боресков, Р. П. Озеров, Е. В. Кильдишева, Ж. общ. химии, 24, 23, 1954.

EFFECT OF THE INTERACTION BETWEEN REACTING SYSTEM AND CATALYST ON THE KINETICS OF THE CATALYTIC REACTION

G. K. Boreskov (Moscow)

Summary

The interaction between the reacting systems and catalyst leads to a dependence of the action kinetics of heterogeneous catalysis on the velocity with which the catalyst reaches stationary composition. If the time to reach this state is small in comparison with the time of the run the dependence of the reaction rate on the concentration of the reagents determined not only by the number of collisions of the reacting particles participating in the limiting stage of the reaction, but also by change in the rate constant of the reaction, owing to the influence of the reagents on the composition and properties of the catalyst. From this aspect one may explain the shape of the kinetic curves of some oxidation reactions previously treated on the basis of non-uniformity of chemisorption energy of the catalyst surface.

ДИПОЛЬНЫЕ МОМЕНТЫ И СТРОЕНИЕ ДИСУЛЬФИДОВ

В. Н. Васильева и Е. Н. Гурьянова

Цепочечное расположение атомов серы в органических дисульфидах $R-S-S-R$ установлено при помощи ряда экспериментальных методов, и это положение в настоящее время не вызывает сомнений. Что же касается пространственной конфигурации дисульфидов и зависимости их структуры от состава и строения радикала R , то в этом направлении исследований мало; стереохимия этих соединений изучена недостаточно.

Для ряда веществ, содержащих дисульфидные группировки: H_2S_2 , S_2Cl_2 [1], дифенилдисульфида [2], ди-*n*-бромдифенилдисульфида [3], а также тетраионоватов некоторых металлов [4] установлена неплоская конфигурация молекул.

В данной работе сделана попытка при помощи дипольных моментов получить сведения о взаимном расположении RS -групп в дисульфидах, исследовать, как влияет состав и строение радикалов R на стабильность пространственной конфигурации, и в связи с этим дать анализ возможности свободного или заторможенного вращения RS -групп относительно $S-S$ связи.

Кроме того, сведения о полярных свойствах дисульфидов крайне ограничены, поэтому определение дипольных моментов большой группы дисульфидов представляло самостоятельный интерес.

Экспериментальная часть

Дипольные моменты измерялись в бензоле при 25° . Результаты измерений приведены в табл. 1 и 2, где приняты следующие обозначения:

c — концентрация растворенного вещества в мол. %, ϵ — диэлектрическая постоянная раствора, d — плотность раствора, P_∞ — молярная поляризация вещества при бесконечном разведении, P_E — электронная поляризация, принятая равной молярной рефракции для D — линии натрия, μ — дипольный момент, вычисленный по формуле:

$$\mu = 0,0127 \cdot 10^{-18} \sqrt{(P_\infty - P_E) T}$$

Большинство исследуемых соединений было синтезировано нами по методикам, описанным в литературе, иногда с некоторыми видоизменениями [5]. Все вещества тщательно очищались, константы их соответствовали литературным.

В табл. 2 помимо данных, полученных в настоящей работе, для сопоставления приведены также значения дипольных моментов дисульфидов из литературы, часть из них была измерена одной из нас ранее [6].

Обсуждение результатов

Из анализа данных о направлении двух σ -связей, образуемых двухвалентным атомом серы (валентный угол $95-105^\circ$) следует, что для дисульфидов возможны различные конфигурации молекул.

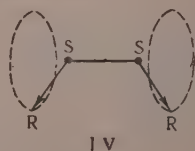
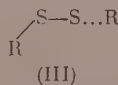
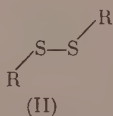
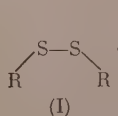


Таблица 1

с	ε	d	с	ε	d
Ди-н-пропилдисульфид			Ди-н-миристилдисульфид		
0	2,2714	0,87296	0	2,2714	0,87282
0,131	2,2785	0,87321	0,055	2,2741	0,87284
0,263	2,2859	0,87343	0,088	2,2756	0,87286
0,376	2,2915	0,87360	0,110	2,2767	0,87288
0,583	2,3030	0,87384	0,162	2,2792	0,87291
			0,209	2,2818	0,87293
$P_{\infty} - 127,07$			$P_{\infty} - 227,82$		
Ди-н-бутилдисульфид			Ди-н-октадецилдисульфид		
0	2,2714	0,87278	0	2,2714	0,87284
0,065	2,2755	0,87290	0,042	2,2742	0,87284
0,138	2,2793	0,87301	0,097	2,2763	0,87284
0,182	2,2820	0,87319	0,149	2,2794	0,87284
0,230	2,2851	0,87331	0,217	2,2828	0,87284
0,279	2,2875	0,87343	0,277	2,2862	0,87284
$P_{\infty} - 135,6$			$P_{\infty} - 273,7$		
Ди-н-октилдисульфид			Диаллилдисульфид		
0	2,2714	0,87280	0	2,2714	0,86917
0,079	2,2756	0,87280	0,124	2,2767	0,86941
0,160	2,2799	0,87280	0,265	2,2833	0,86970
0,239	2,2835	0,87280	0,391	2,2884	0,86991
0,326	2,2881	0,87280	0,518	2,2943	0,87014
0,407	2,2915	0,87280	0,643	2,2997	0,87042
$P_{\infty} - 174,5$			$P_{\infty} - 109,16$		
Ди-н-метоксидифенилдисульфид			Дибензилдисульфид		
0	2,2714	0,87297	0	2,2714	0,87296
0,055	2,2801	0,87348	0,145	2,2800	0,87389
0,108	2,2885	0,87395	0,239	2,2854	0,87460
0,156	2,2961	0,87436	0,394	2,2945	0,87554
0,221	2,3073	0,87507	0,530	2,3015	0,87659
0,281	2,3185	0,87563	0,640	2,3077	0,87712
$P_{\infty} - 278,87$			$P_{\infty} - 150,16$		
Ди-н-бифенилдисульфид			Ди-н-нитродибензилдисульфид		
0	2,2714	0,87195	0	2,2714	0,87307
0,010	2,2732	0,87204	0,0348	2,2840	0,87343
0,0245	2,2744	0,87216	0,0885	2,3029	0,87419
0,038	2,2754	0,87228	0,1290	2,3176	0,87483
0,054	2,2768	0,87239	0,1820	2,3366	0,87542
0,067	2,2781	0,87251	0,220	2,3516	0,87589
$P_{\infty} - 219,8$			$P_{\infty} - 591,37$		
Ди-2,4,5-трихлордифенилдисульфид			Дибензоилдисульфид		
0	2,2714	0,87276	0	2,2714	0,87225
0,065	2,2735	0,87422	0,093	2,2735	0,87337
0,093	2,2740	0,87469	0,185	3,2770	0,87419
0,124	2,2749	0,87563	0,251	2,2791	0,87512
0,147	2,2756	0,87590	0,314	2,2809	0,87554
0,159	2,2761	0,87622			
$P_{\infty} - 122,38$			$P_{\infty} - 105,68$		
Дибензоилдисульфид (40° С)			Ди-н-метоксидибензоилдисульфид		
0	2,2386	0,85541	0	2,2714	0,87290
0,101	2,2416	0,85701	0,045	2,2755	0,87354
0,210	2,2452	0,85759	0,078	2,2790	0,87413
0,321	2,2482	0,85888	0,112	2,2824	0,87448
0,432	2,2517	0,86023	0,152	2,2858	0,87518
			0,199	2,2901	0,87577
$P_{\infty} - 105,51$			$P_{\infty} - 208,67$		

Таблица 2

№	Дисульфид симметричный	Формула	P_{∞}	P_E	$\mu \cdot 10^{18}$
1	<i>n</i> -Пропил-	$C_3H_7S-SC_3H_7$	127,0	46,1	1,98
2	<i>n</i> -Бутил-	$C_4H_9S-SC_4H_9$	135,6	53,7	1,99
3	<i>n</i> -Октил-	$C_8H_{17}S-SC_8H_{17}$	174,5	92,3	1,99
4	<i>n</i> -Миристил-	$C_{14}H_{29}S-SC_{14}H_{29}$	227,8	147,7	1,97
5	<i>n</i> -Октадецил-	$C_{18}H_{37}S-SC_{18}H_{37}$	273,3	184,6	2,07
6	Бензил-	$C_6H_5CH_2S-SC_6H_5$	150,2	75,6	1,90
7	Аллил-	$CH_2=CH-CH_2-S-S-CH_2-CH=CH_2$	109,2	45,0	1,76
8	<i>p</i> -Бифенил-	$C_6H_5C_6H_4S-SC_6H_4C_6H_5$	219,8	118,4	2,20
9	<i>p</i> -Нитробензил-	$NO_2C_6H_4CH_2S-SC_6H_4NO_2$	594,4	81,7	4,97
10	<i>p</i> -Метоксифенил-	$CH_3OC_6H_4S-SC_6H_4OCH_3$	278,9	78,9	3,11
11	2,4,5-Трихлорфенил-	$Cl_3C_6H_2S-SC_6H_2Cl_3$	122,4	94,8	1,15
12	Бензоил-(25°)	$C_6H_5COS-SCOC_6H_5$	105,7	80,0	1,10
13	Бензоил-(40°)	$C_6H_5COS-SCOC_6H_5$	105,5	80,0	1,10
14	<i>p</i> -Метоксibenзоил-	$CH_3OC_6H_4COS-SCOC_6H_4OCH_3$	208,7	79,1	2,50
15	Метил-	CH_3S-SCH_3	—	—	1,95 [7]
16	Этил-	$C_2H_5S-SC_2H_5$	—	—	1,96 [7,8]
17	<i>изо</i> -Бутил-	$C_4H_9S-SC_4H_9$	—	—	2,00 [9]
18	<i>трет</i> -Бутил-	$C_4H_9S-SC_4H_9$	—	—	1,86 [9]
19	<i>n</i> -Гексадецил	$C_{16}H_{33}S-SC_{16}H_{33}$	—	—	2,00 [10]
20	Фенил-	$C_6H_5S-SC_6H_5$	—	—	1,90 [6]
21	<i>p</i> -Толил-	$CH_3C_6H_4S-SC_6H_4CH_3$	—	—	2,49 [6]
22	<i>p</i> -Бромфенил-	$BrC_6H_4S-SC_6H_4Br$	—	—	0,74 [6]
23	<i>p</i> -Нитрофенил-	$NO_2C_6H_4S-SC_6H_4NO_2$	—	—	4,31 [6]

В (I) и (II) связи C—S—S—C расположены в одной плоскости, в (III) группы RS находятся в разных плоскостях, и в (IV) возможно вращение RS относительно S—S связи. Валентное состояние атомов серы в моносulfиде R—S—R и дисulfиде R—S—S—R одинаково, поэтому, определив дипольный момент C—S связи по данным для моносulfидов, можно по методу векторных сумм оценить величину дипольного момента различных конфигураций дисulfидов и, сопоставляя рассчитанные величины экспериментальными, сделать некоторые выводы о структуре.

Дипольные моменты различных моносulfидов, как с алифатическими так и с ароматическими радикалами, по данным различных авторов близки между собой: диэтилсulfид—1,51 D, дипропилсulfид—1,55D, дигексадецилсulfид—1,47 D, дифенилсulfид—1,50 D. Если принять валентный угол серы в этих соединениях равным 105—109° [3], то значение дипольного момента C—S связи оказывается равным 1,3—1,4 D. Опираясь на эту величину, можно однозначно заключить, что дисulfиды имеют конфигурацию (II), так как в этом случае дипольный момент был бы равен нулю.

Что касается (1) структуры, то она помимо несоответствия вычисленного (2,5—2,7 D) и экспериментального (~2,0 D) дипольных моментов маловероятна из-за стерических препятствий. Даже в наиболее компактном диметилдисulfиде расстояние между атомами углерода составляет 2,5—3 Å, в то время как ван-дер-ваальсовский радиус метильной группы составляет 1,8—2 Å. Замена метильных групп на большие органические радикалы может создать еще большие стерические препятствия. По этой причине должно быть затруднено также свободное вращение с переходом через конфигурацию (1).

Следует заметить, что в случае ароматических соединений стерические препятствия в (1) могут быть частично преодолены путем соответствующего поворота плоскости фенильных колец. Однако такое положение не может отразиться на величине дипольного момента незамещенных соединений: экспериментальные же значения довольно значительно отличаются от векторной суммы для (1).

Как видно из данных табл. 2 (соединения 1—8, 15—20), дипольные моменты всех дисulfидов, не содержащих в радикалах полярных групп

чащая с соединения с метильными CH_3 -радикалами и кончая бифенильными $\text{C}_6\text{H}_5\text{C}_6\text{H}_5$ — и октадецильными $-\text{C}_{18}\text{H}_{37}$ — практически одинаковы и составляют $\sim 2,0 D$.

Следовательно, конфигурация полярного остова $\text{C}-\text{S}-\text{S}-\text{C}$ этих молекул во всех соединениях, независимо от размеров и строения R ,— одинакова. Отсюда можно сделать вывод, что произвольный поворот RS носительно $\text{S}-\text{S}$ (IV), по-видимому, не имеет места. Экспериментально найденные значения моментов дисульфидов лучше всего согласуются с численными для неплоской конфигурации молекул (III). Этот вывод о плоском строении дисульфидов согласуется с данными рентгеноструктурного анализа некоторых соединений, содержащих $\text{S}-\text{S}$ группу и в первую очередь с данными о структуре n, n' -дибромдифенилдисульфида в кристаллическом состоянии, о чем упоминалось выше. Неплоская конфигурация $\text{C}-\text{S}-\text{S}-\text{C}$ группировки дисульфидов, установленная [3] для кристаллического состояния, сохраняется, по нашим данным, и при переходе сульфида в раствор.

Встает вопрос о причинах, обуславливающих столь сложную асимметричную структуру молекул дисульфидов. Какие внутримолекулярные силы приводят к своеобразному скручиванию молекул? Особенно этот вопрос arises при рассмотрении строения дисульфидов с ароматическими радикалами. С точки зрения наилучших условий взаимодействия π -электронов ароматических колец и отсутствия всяких стерических препятствий, наиболее благоприятной является плоская конфигурация (II). Однако, как показано выше, такая конфигурация не осуществляется.

Одним из существенных факторов, определяющих структурные особенности соединений двухвалентной серы, является наличие у атомов серы $3p^2$ -пар электронов. Неподеленные $3p^2$ -пары электронов двух соседних атомов серы в случае, если они находятся в основном ($3s^2 3p^2 p_x p_y$) состоянии, взаимно отталкиваются. Отталкивание максимально при расположении осей $3p^2$ -электронов в одной плоскости и минимально, когда они располагаются во взаимно перпендикулярных плоскостях.

Представление о взаимном отталкивании $3p^2$ -пар электронов соседних атомов серы было привлечено Полингом [11] для объяснения конфигурации молекулы s_8 и структуры волокнистой серы.

Взаимное отталкивание неподделенных $3p^2$ -пар электронов соседних атомов серы обуславливает, по-видимому, и неплоскую, скрученную конфигурацию молекул, содержащих дисульфидные группы.

Найденное в данной работе постоянство дипольных моментов для дисульфидов с различными R свидетельствует о том, что закон формирования связей $\text{C}-\text{S}-\text{S}-\text{C}$ во всех соединениях одинаков.

Следует заметить, что, вероятно, эта же причина в основном обуславливает и неплоскую конфигурацию полисульфидов с большим количеством атомов серы. Неплоская конфигурация была найдена в $\text{JC}_2\text{H}_4-\text{S}-\text{S}-\text{S}-\text{C}_2\text{H}_4\text{J}$ [12], а также в некоторых политионатах щелочных и щелочноземельных металлов [4, 13], причем, судя по данным, пока еще не очень точечным, дипольные моменты трисульфидов: диметилтрисульфида $66 D$ [7], диэтилтрисульфида $1,64 D$ [8] и дигексадецилтрисульфида $63 D$ [10] также близки между собою. Следовательно, конфигурация группировки $\text{C}-\text{S}-\text{S}-\text{S}-\text{C}$ во всех этих соединениях одинакова и не изменяется при замене одного радикала другим.

Если основной причиной, определяющей неплоскую конфигурацию подобных соединений, является взаимное отталкивание неподделенных $3p^2$ -пар электронов соседних атомов серы, то межплоскостной угол должен быть близок 90° . В действительности для ряда соединений он несколько меньше. Уменьшение межплоскостного угла может быть объяснено дополнительным взаимодействием неподделенной пары электронов описываемых гибридованными $3s^2 p_x p_y$ функциями. Вопрос об участии $3s^2$ -пары электронов в образовании σ -связей двухвалентного атома серы пока в литера-

туре не рассмотрен. Поскольку валентные углы серы в ряде соединений типа $R-S-R$ и $R-S-S-R$ значительно больше 90° , достигают в некоторых случаях [3] 109° и более, по-видимому, π -электроны атома серы также принимают участие в образовании двух π -связей. Нарушение шаровой симметрии второй неподеленной пары электронов должно внести свои коррективы в стереохимию подобных соединений.

Дипольный момент диаллилдисульфида $1,76 D$ несколько меньше дипольных моментов других дисульфидов с углеводородными радикалами $\sim 2,0 D$. Это уменьшение объясняется наличием собственного момента у аллильного радикала, причем отсюда следует, что момент аллильного радикала имеет направление, обратное направлению момента $\overrightarrow{C-S}$ связи.

Для дибензоилдисульфида ранее [14] было найдено два значения дипольного момента: $1,1 D$ при $25^\circ C$ и $1,4 D$ при $45^\circ C$. Изменение величины момента с температурой могло указывать на ассоциацию. Мы повторили измерение дипольного момента дибензоилдисульфида и нашли одинаковое значение $1,1 D$ при 25° и при $40^\circ C$. Сравнительно небольшое его значение свидетельствует о том, что полярные группы в дибензоилдисульфиде располагаются таким образом, что их диполи имеют обратное направление.

Дипольные моменты дисульфидов с полярными заместителями (соед. 9, 10, 11, а также 21—23 табл. 2) также подтверждают, при соответствующем учете полярности замещающих групп, вывод о стабильности конфигурации $C-S-S-C$ в этих соединениях.

В связи со сказанным выше о взаимном отталкивании неподеленных $3p^2$ -пар электронов соседних атомов серы и структуре дисульфидов встает вопрос о возможности передачи взаимного влияния атомов и групп в соединениях типа $X-C_6H_5-S-S-C_6H_5$. Вопрос этот до сих пор в литературе не рассматривался, и пока нет достаточно экспериментальных данных, чтобы можно было сделать определенные выводы.

Учитывая факты, изложенные выше, можно полагать, что передача взаимного влияния через дисульфидный мостик в ароматических дисульфидах будет затруднена. Это предположение согласуется с некоторыми данными по физико-химическим свойствам ароматических моносульфидов. Однако это специальный вопрос и в данной работе не рассматривается.

Выводы

Измерены дипольные моменты следующих дисульфидов в бензоле при 25° (в D): ди-*n*-пропил — 1,98, ди-*n*-бутил — 1,99, ди-*n*-октил — 1,99, ди-*n*-миристил — 1,97, ди-*n*-октадецил — 2,07, дибензил — 1,90, диаллил — 1,76, ди-*n*-бифенил — 2,20, ди-*p*-нитробензил — 4,97, ди-*p*-метоксифенил — 3,11, ди-2,4,5-трихлорфенил — 1,15, *p*-метоксидибензоил — 2,50, дибензоил — 1,1 (при $25^\circ C$) и дибензоилдисульфид — 1,1 (при $40^\circ C$).

На основании сопоставления экспериментальных значений дипольных моментов с вычисленными по векторной сумме сделан вывод о неплоской конфигурации молекул дисульфидов.

Показано, что пространственная конфигурация полярной группировки $C-S-S-C$ во всех дисульфидах одинакова и не изменяется при замене одного радикала R другим.

Высказано предположение, что основной причиной, обуславливающей неплоскую, скрученную конфигурацию дисульфидов и других полисульфидов является взаимное отталкивание неподеленных пар электронов соседних атомов серы.

ЛИТЕРАТУРА

- K. J. Palmer, J. Amer. Chem. Soc., 60, 2360, 1938.
I. M. Dawson, A. Mathieson, J. M. Robertson, J. Chem. Soc., 322, 1948.
J. Toussaint, Bull. Soc. Chim. belg., 54, 319, 1945.
O. Foss, S. Furgberg, H. Zachariassen, Acta chem. scand., 8, 459, 1954; 6, 802, 1952.
В. Н. Васильева, Е. Н. Гурьянова, Ж. общ. химии, 26, 677, 1956.
Е. Н. Гурьянова, Ж. физ. химии, 25, 479, 1950.
L. M. Kuchner, G. Gorin, C. P. Smyth, J. Amer. Chem. Soc., 72, 477, 1950.
H. E. Westlake, H. L. Laquer, Ch. P. Smyth, J. Amer. Chem. Soc., 72, 436, 1950.
M. T. Rogers, T. W. Campbell, J. Amer. Chem. Soc., 74, 4742, 1952.
C. C. Woodrow, M. Carmack, J. G. Miller, J. Chem. Phys., 19, 951, 1951.
L. Pauling, Proc. Nat. Acad. Sci., 35, 495, 1949.
J. Donohue, J. Amer. Chem. Soc., 72, 2701, 1950.
S. C. Abracham, S. C. Grison, Acta crystallogr., 6, 206, 1953; O. Foss, H. Zachariassen, Acta chem. scand., 8, 483, 1954.
P. F. Oesper, Ch. P. Smyth, J. Amer. Chem. Soc., 64, 768, 1942.
-

THE DIPOLE MOMENTS AND STRUCTURE OF DISULFIDES

V. N. Vasil'eva and E. N. Guryanova (Moscow)

Summary

The dipole moments in benzene solution of the following disulfides: di-*n*-propyl-98), di-*n*-butyl (1.99), di-*n*-octyl (1.99), di-*n*-myristyl (1.97), di-*p*-diphenyl (2.20), *p*-nitrobenzyl (4.97), di-*p*-methoxyphenyl (3.11), di-2,4,5-trichlorophenyl (1.15), methoxydibenzoyl (2.50), dibenzoyl (1.1) have been measured at 25°C. and of dibenzoylsulfide (1.1) at 40°C.

Based on a comparison of the experimental values of the dipole moments with those calculated from the vector summation it has been concluded that the disulfide molecules possess a non-planar configuration.

The tri-dimensional configuration of the polar C — S — S — C group has been shown to be the same in all the disulfides and not to change with substitution of one R radical for another.

It has been suggested that the main cause of the non-planar, skew configuration of the disulfides and of other polysulfides is the mutual repulsion of the unshared electron pairs of the adjacent sulfur atoms.

ЭЛЕКТРОКРИСТАЛЛИЗАЦИЯ НИКЕЛЯ ПРИ НАЛОЖЕНИИ ПЕРЕМЕННОГО ТОКА

1. СТРОЕНИЕ ОСАДКОВ ИЗ ЭЛЕКТРОЛИТОВ, НЕ СОДЕРЖАЩИХ ДОБАВОК ПОВЕРХНОСТНО-АКТИВНЫХ ВЕЩЕСТВ

А. А. Сутягина и К. М. Горбунова

Вопрос о причинах, обуславливающих изменения в кристаллическом строении электролитически осажденных металлов, несмотря на многочисленность посвящаемых этой проблеме исследований, до сих пор еще не выяснен.

Как известно, существенное влияние на строение осадка оказывает скорость процесса электрокристаллизации, определяемая плотностью тока на катоде. Вместе с тем возможность взаимодействия компонентов раствора с поверхностью металла приводит к тому, что характер изменений, возникающих в осадках при изменении скорости процесса, оказывается зависящим от состава раствора, а в начальный период (непосредственно после изменения скорости) и от времени. Пассивация поверхности, происходящая даже в условиях быстрого протекания процесса, также существенно изменяет условия кристаллизации. Учитывая изложенное, можно ожидать значительных изменений в структуре покрытий при использовании на электроде нестационарных режимов тока разного характера, которые могут быть получены, в частности, при наложении одновременно с постоянным переменного тока различной амплитуды и частоты. Эффективной оказывается такая форма результирующего тока, при которой в течение некоторого времени ток течет в обратном направлении, т. е. на электроде протекают анодные процессы.

В ряде работ приведены отдельные результаты наблюдений за процессом электроосаждения никеля при использовании переменного тока [1—5], а также данные о влиянии его на некоторые свойства покрытий [6—8].

В настоящей работе [9] исследовалось влияние различных режимов тока на размеры, форму и взаимную ориентацию (текстуру) кристаллов составляющих осадки.

Экспериментальная часть

Для электролиза использовался электролит (I), содержащий 160 г $\text{NiSO}_4 \cdot 7\text{H}_2\text{O}$, 10 г/л NaCl , 30 г/л H_2BO_3 . Кислотность электролита изменялась в пределах pH от 1,9 до 6. Осаждение проводилось при комнатной температуре. Плотность постоянного тока изменялась от 1 до 3 А/дм², плотность переменного тока (максимальная амплитуда) изменялась от 1 до 12 А/дм².

Наложение переменного тока проводилось при помощи электрической схемы, описанной ранее [8].

Первая серия опытов была проведена с электролитом, кислотность которого соответствовала pH = 5,9.

На рис. 1 представлен электронномикроскопический снимок поверхности осадка, полученного при электролизе постоянным током ($D_{\text{п}}$)

2 A/∂m²). Как видно из рисунка, поверхность осадка получается довольно гладкой, осадок мелкозернист.

С целью установления наличия и характера текстуры в осадках проводилось их рентгенографическое и электронографическое исследование. На рис. 2 и 3 представлены, соответственно, рентгенографический и электронографический снимки, позволяющие судить о строении как внутренних, так и поверхностных слоев осадка.

Согласно данным расчета этих картин, во внутренних и поверхностных слоях обнаруживается текстура с осью [110].

Осадки никеля, полученные при электролизе пульсирующим током ($D_n = 2 \text{ A/∂m}^2$, $D_{\text{пер}} = 2 \text{ A/∂m}^2$, частота 50 гц), почти не отличаются от осадков, полученных при электролизе постоянным током.

Применение для электроосаждения никеля переменного тока 50 гц амплитудой, большей, чем величина постоянного тока, приводит к изменению внешнего вида и внутреннего строения осадков. На рис. 4 представлена фотография поверхности осадка никеля, полученного при $D_n = 2 \text{ A/∂m}^2$ и $D_{\text{пер}} = 7,5 \text{ A/∂m}^2$, при частоте 50 гц. Из рисунка видно, что при таком соотношении токов происходит резкое укрупнение размера кристаллов в осадке по сравнению с осадками никеля, полученными в условиях одного постоянного тока.

На основании рентгенограммы (рис. 5) и электронограммы (рис. 6), полученных от осадка, фотография которого приведена на рис. 4, можно сказать, что в условиях такого электрического режима происходит не только укрупнение зерен, но и изменение характера текстуры; для осадков уже характерна ось текстуры не [110], а [001].

Исследование выхода по току показало, что при наложении переменного тока (50 гц) больших амплитуд происходит снижение его на 12—15%; резко снижается и коэффициент отражения * (с 63 до 19).

Представляло интерес изучить влияние на процесс электроосаждения переменного тока больших частот. Как показали исследования, влияние переменного тока с увеличением частоты постепенно уменьшается и при частотах порядка 500 гц совершенно не обнаруживается. Предел частоты, при котором эффект снимается, оказался иным, чем в случае меди (в этом случае влияния не оказывал переменный ток с частотой порядка 4000—5000 гц) [10].

При частоте порядка 500 гц переменный ток не оказывает влияния и на характер текстуры в осадках никеля. Образующиеся осадки имеют в этом случае текстуру по оси [110], т. е. ту же, что и для никеля, полученного без наложения переменного тока.

Таким образом, можно сделать вывод, что сильное изменение внешнего вида и характера текстуры осадка никеля наблюдается лишь при отношении $D_{\text{пер}}/D_n > 1$ и низкой частоте переменного тока.

Влияние переменного тока на процессы электрокристаллизации никеля сильно зависит от кислотности электролита. Настоящее исследование показало, что при указанном выше составе никелевого электролита, при кислотности, соответствующей pH=2, осадки, возникающие при электролизе постоянным током $D_n = 2 \text{ A/∂m}^2$, оказываются относительно крупнокристаллическими (рис. 7 сравнить с рис. 1).

В отличие от предыдущего, характер осадка в этом электролите существенно не меняется даже в случае наложения больших амплитуд переменного тока.

Рентгенографическими исследованиями показано, что текстура в этих осадках отсутствует, независимо от того, получены они постоянным током или током, имеющим анодную составляющую, при соотношении токов $D_{\text{пер}}/D_n > 1$. Подобное определение электрического режима будет использоваться нами и в дальнейшем для случая, когда $D_{\text{пер}}/D_n > 1$.

* За 100 принимался коэффициент отражения от алюминиевого зеркала.

Различия, характеризующие влияние переменного тока для растворов с различными рН, обусловили необходимость учитывать, при анализе его влияния, кислотность раствора, при которой получены исследуемые осадки.

Замена в электролите хлористого натрия хлористым калием не вызвала изменения полученных результатов.

Нами был также исследован электролит, включающий хлористый никель. В этом случае хлориды щелочных металлов не вводились. Электроосаждение проводилось в растворе следующего состава: 160 г/л $\text{NiSO}_4 \cdot 7\text{H}_2\text{O}$, 45 г/л $\text{NiCl}_2 \cdot 6\text{H}_2\text{O}$, 30 г/л H_3BO_3 .

При $D_{\text{п}} = 2 \text{ А/дм}^2$ и кислотности раствора, соответствующей рН = 4, осадки получались довольно блестящими (коэффициент отражения 70

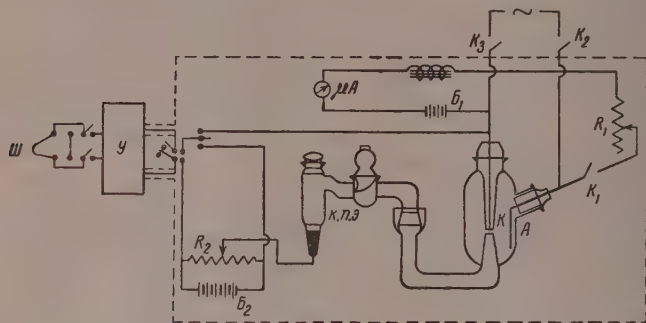


Рис. 8. Общая схема установки для изучения потенциала электрода

При наложении переменного тока (50 гц) больших амплитуд, как и для других растворов, коэффициент отражения снижался (до 22); осадки оказывались шероховатыми и грубокристаллическими.

Рентгенографическими и электронографическими исследованиями осадков, полученных из этого раствора, показано, что в случае электролиза только постоянным током $D_{\text{п}} = 2 \text{ А/дм}^2$, возникают неориентированные структуры. Более крупнокристаллические осадки, получающиеся при наложении переменного тока ($D_{\text{п}} = 2 \text{ А/дм}^2$ и $D_{\text{пер}} = 7,5 \text{ А/дм}^2$, частота 50 гц), имеют, как и большинство осадков никеля, исследованные при тех же электрических режимах, ось текстуры [001].

Представляло интерес проследить изменение потенциала выделения никеля при использовании для осаждения его переменного тока совместно с постоянным. Эти исследования осуществлялись при помощи шлейфового осциллографа; использовался шлейф с частотой собственных колебаний на воздухе 2035 гц.

Общая схема установки для изучения потенциала катода в процессе осаждения изображена на рис. 8*. Электролиз проводился в представленной на рис. 8 ячейке; катодом служил торец медной проволоки площадью $0,0075 \text{ см}^2$, анодом — спираль из никелевой проволоки. В качестве вспомогательного электрода использовался каломельный полуэлемент с насыщенным раствором KCl.

* Схема включения переменного тока не отличалась от ранее описанной [8], ввиду чего ее детали на рис. 8 не приводятся.

Во избежание посторонних «наводок» при измерении потенциала выделения без наложения переменного тока использовалась специальная электростатическая защита. Установка же переменного тока была удалена и отключалась при помощи ключей K_1 и K_2 от установки постоянного тока.

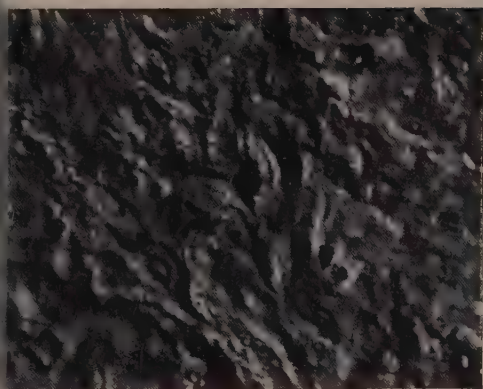


Рис. 1. Фотография поверхности осадка никеля
($D_{\text{н}} = 2 \text{ А/дм}^2$) $\times 16\ 000$



Рис. 2. Рентгенограмма от осадка никеля ($D_{\text{н}} = 2 \text{ А/дм}^2$);
Fe-излучение

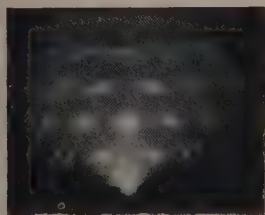


Рис. 3. Электронограмма от осадка никеля ($D_{\text{н}} = 2 \text{ А/дм}^2$)

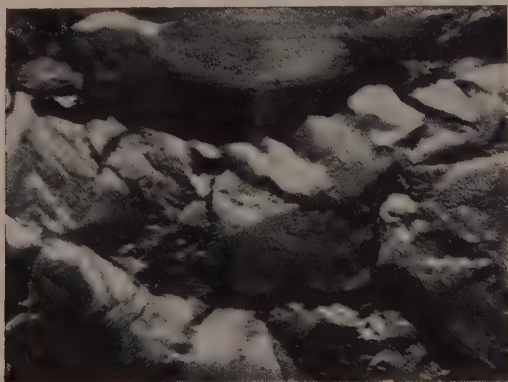


Рис. 4. Фотография поверхности осадка никеля
 $D_{\text{н}} = 2 \text{ А/дм}^2$, $D_{\text{пер}} = 7,5 \text{ А/дм}^2$, 50 гц) $\times 16\ 000$



Рис. 5. Рентгенограмма от осадка никеля ($D_{\Pi} = 2 \text{ А/дм}^2$, $D_{\text{пер}} = 7,5 \text{ А/дм}^2$, 50 гц) Fe γ -излучение



Рис. 6. Электроннограмма от осадка никеля ($D_{\Pi} = 2 \text{ А/дм}^2$, $D_{\text{пер}} = 7,5 \text{ А/дм}^2$, 50 гц)



Рис. 7

Рис. 7. Фотография поверхности осадка никеля из раствора с рН = 2 ($D_{\Pi} = 2 \text{ А/дм}^2$)

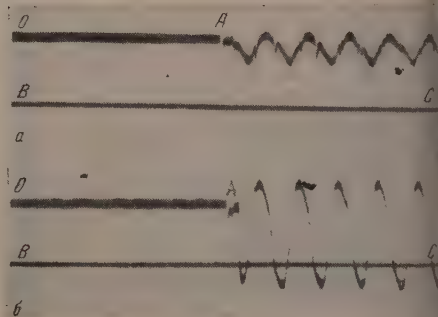


Рис. 9

Рис. 9. а — осциллограмма, характеризующая изменение потенциала выделения никеля при $D_{\Pi} = 2 \text{ А/дм}^2$ и $D_{\text{пер}} = 2 \text{ А/дм}^2$, 50 гц; б — осциллограмма, характеризующая изменение потенциала катода при $D_{\Pi} = 2 \text{ А/дм}^2$ и $D_{\text{пер}} = 10 \text{ А/дм}^2$, 50 гц

Электродвижущая сила исследуемой цепи, усиленная ламповым усилителем $У$, поступала на шлейф $Ш$. Ввиду того, что используемая нами схема позволяла измерять напряжения не выше 100 мВ, избыточное напряжение компенсировалось встречной э. д. с. от потенциометра, питаемого батареей $Б_2$. При использовании данной схемы 1 мм на ленте, регистрирующей показания шлейфа, соответствовал изменению потенциала в 3,3 мВ. Прямость движения ленты равнялась 1350 см/мин.

Регистрация потенциала выделения никеля при наложении переменного тока проводилась для плотности постоянного тока $D_{\text{п}} = 2 \text{ А/дм}^2$. Плотность переменного тока изменялась от 2 до 12 А/дм². В случае наложения переменного тока с $D_{\text{пер}} = 2 \text{ А/дм}^2$ результирующая кривая соответствовала режиму пульсирующего тока. Во всех остальных случаях исследование проводилось в условиях протекания асимметричного переменного тока с большей или меньшей амплитудой обратного тока (т. е. одной составляющей).

На рис. 9, а и б приводятся в качестве примера осциллограммы, характеризующие соответственно изменение потенциала при отношениях $\alpha/D_{\text{п}}$, разных $2/2$ и $10/2$ в растворе состава (I), имеющего рН = 5,9.

Линия ОА на осциллограммах характеризует изменение потенциала в случае, когда электролиз ведется одним постоянным током $D_{\text{п}} = 2 \text{ А/дм}^2$. Величина этого потенциала, определенная компенсационным методом по отношению к водородному электроду, соответствовала — 728 мВ. Как видно из рисунков, потенциал катода при электролизе постоянным током изменяется со временем. Линия ВС наносилась произвольно с единственной целью установления направления сдвига потенциала; она расположена в области потенциалов, более положительных по сравнению с потенциалом выделения никеля при $D_{\text{п}} = 2 \text{ А/дм}^2$. Точкой А на осциллограмме обозначается момент включения переменного тока.

После наложения переменного тока потенциал электрода изменяется синусоиде. Амплитуда синусоиды зависит от используемой плотности переменного тока и оказывается тем больше, чем больше последняя. Попадающая синусоида смещена в сторону более положительных потенциалов, по отношению к потенциалу, соответствующему линии ОА, при этом смещение возрастает с возрастанием плотности переменного тока. Основываясь на величине потенциала выделения никеля в условиях электролиза постоянным током, которая в наших условиях равна 28 мВ, и данных о чувствительности прибора, можно рассчитать потенциал, соответствующий условиям наложения переменного тока $E_{\text{общ}}$, максимальное значение катодного потенциала $E_{\text{макс}}$, минимальное значение потенциала $E_{\text{мин}}$ и смещение средней линии синусоиды $E_{\text{ср}}$. Соответствующие данные представлены в таблице.

$D_{\text{п}}, \text{ А/дм}^2$	$D_{\text{пер}}, \text{ А/дм}^2$	$E_{\text{макс}}, \text{ мВ}$	$E_{\text{мин}}, \text{ мВ}$	$E_{\text{общ}}, \text{ мВ}$	Смещение средн. линии синусоиды, мВ	$E_{\text{ср}}, \text{ мВ}$	Значение потенциала без переменного тока, мВ
2	0						—728
2	2	—734,6	—711,5	23,1	4,9	—723,1	
2	6	—741,4	—682	59,4	16,5	—711,5	
2	10	—744,6	—672	72,6	36,3	—691,7	
2	16	—767	—593	174	49,9	—679,9	

Выключение переменного тока не приводит к мгновенному возвращению потенциала к значению, соответствующему потенциалу выделения никеля при $D_{\text{п}} = 2 \text{ А/дм}^2$; потенциал в течение некоторого времени сек. колеблется. После чего устанавливается при указанном значении. Колебания не могут быть отнесены за счет особенностей схемы ввиду того, что в аналогичных опытах с цинком их не наблюдается.

Как известно [1, 2], в ряде работ, связанных с исследованием влияния переменного тока, потенциалы выделения металлов измерялись компенсационным методом. Очевидно, что результаты, получаемые при помощи компенсационной схемы, могут иметь лишь условный характер и будут зависеть от характеристики отдельных деталей схемы. Вместе с тем при использовании одной и той же схемы, компенсационным методом можно получить некоторые относительные качественные характеристики влияния плотности переменного тока на потенциал катода. Действительно, результаты измерений потенциалов выделения никеля, осуществленные как осциллографическим, так и компенсационным методами, приводят к закономерности, сходной по характеру изменения от плотности переменного тока.

Приведенные выше данные показывают, что влияние электрического режима, создаваемого на катоде при наложении переменного тока, характеризуется сдвигом потенциала в сторону положительных значений и сопровождается изменением процесса кристаллизации.

Наряду с учетом возможности в результате сдвига потенциала десорбции поверхностно-активных соединений, образуемых в приэлектродном слое, при обсуждении причин влияния переменного тока следует учитывать возможность чисто механической очистки поверхности при анодном растворении, а также изменение кислотности в прилегающем к электродному слою раствора. Более подробное обсуждение вопроса о причинах описанных эффектов, наблюдаемых при наложении переменного тока будет осуществлено после изложения результатов исследования процесса электрокристаллизации никеля, протекающего в растворах с добавками поверхностно-активных веществ.

Выводы

1. Изучено влияние переменного тока разных амплитуд и частот на процессы электрокристаллизации никеля из различных электролитов. Показано, что переменный ток (частотой 50 гц) с амплитудой, превышающей величину постоянного тока, оказывает резкое влияние на процесс электрокристаллизации никеля из растворов его солей, изменяя внутреннее строение и внешний вид осадка.

2. С повышением частоты переменного тока влияние его на кристаллизацию никеля из растворов без добавок поверхностно-активных веществ снижается и полностью исчезает при частоте порядка 500 гц.

3. Показано, что в результате наложения переменного тока (50 гц) потенциал катода изменяется по синусоиде, средняя линия которой располагается в области потенциалов, более положительных, чем потенциал выделения никеля в условиях протекания одного постоянного тока.

Поступила
22. II. 1958

ЛИТЕРАТУРА

1. Н. А. Изгарышев и С. Беркман, *Z. Elektrochem.*, **31**, 180, 1925.
2. Н. А. Изгарышев и Н. Т. Кудрявцев, *Z. Elektrochem.*, **38**, 131, 1934.
3. А. К. Кравцов, Диссертация «Осаждение металлов при пульсирующем токе», Ивановский химико-технолог. ин-т, 1957.
4. М. Е. Вёскман, F. Maas, Graefe, *Metalloberfläche*, **A**, 160, 1951.
5. А. М. Озеров, *Ж. прикл. химии*, **30**, 62, 1957.
6. R. H. D. Barklie, H. J. Davies, *Proc. Inst. Mech. Engrs*, **1**, 731, 1930.
7. Vincent, J. Marchese, *J. Electrochem. Soc.*, **99**, 39, 1952.
8. А. Т. Ваграмян и А. А. Сутягина, *Изв. АН СССР, Отд. хим.*, № 3, 409, 1952.
9. А. А. Сутягина, Диссертация «Влияние переменного тока на процессы электрокристаллизации некоторых металлов», ИФХ АН СССР, Москва, 1956.
10. К. М. Горбунова и А. А. Сутягина, *Ж. физ. химии*, **29**, 542, 1955.

ELECTROCRYSTALLIZATION OF NICKEL UNDER ALTERNATING CURRENT CONDITIONS

I. THE STRUCTURE OF DEPOSITS FROM ELECTROLYTES NOT CONTAINING SURFACE ACTIVE SUBSTANCES

A. A. Sutyagina and K. M. Gorbunova (Moscow)

Summary

The effect of alternating current of varying amplitudes and frequencies on the process electrocrystallization of nickel from different electrolytes has been investigated. It has been shown that 50 Hz current of an amplitude exceeding the value of the direct current sharply affects the electrocrystallization process from solutions of nickel salts, changing the internal and external nickel structure.

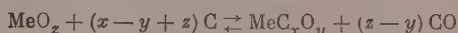
With increase in frequency the effect of the alternating current in the case of solutions without surface active additions is lowered, disappearing entirely at frequencies of the order of 500 Hz.

As a result of superposition of the 50 Hz alternating current the cathodic potential has been shown to change sinusoidally, the mean value being situated in a more positive region of potentials than the deposition potential of nickel under solely direct current conditions.

ИССЛЕДОВАНИЕ РАВНОВЕСИЯ В РЕАКЦИИ ВОССТАНОВЛЕНИЯ ДВУОКСИ ГАФНИЯ УГЛЕРОДОМ ПРИ ВЫСОКИХ ТЕМПЕРАТУРАХ

В. И. Желанкин, В. С. Куцев и Б. Ф. Ормонт

По исследованию равновесия в реакции



имеется ряд работ [1—7].

Карбид гафния является самым тугоплавким соединением (т. п. 3890° С [8]), и свойства его представляют значительный интерес. Однако данных по исследованию равновесия в системе $\text{HfO}_2 - \text{C} - \text{CO} - \text{HfC}_x\text{O}_y$ в литературе не имеется. До сих пор неизвестно, по какому уравнению устанавливается равновесие, так как еще не доказано, имеет ли карбид формулу HfC или HfC_2 , однако, HfC_xO_y (при восстановлении HfO_2).

В литературе термодинамические данные для карбида гафния не приводятся. Другие свойства, например, период решетки, электропроводность, плотность, даются для неподтвержденного стехиометрического состава HfC [9]. Нами было проведено исследование равновесия в реакции восста-

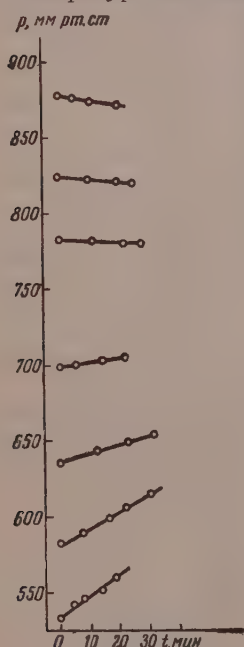


Рис. 1

Рис. 1. Графики зависимости давлений окиси углерода от времени

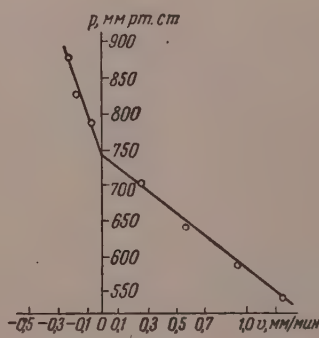


Рис. 2

Рис. 2. График определения равновесного давления окиси углерода экстраполяцией к нулевой скорости (прямой и обратной реакций)

новления HfO_2 углеродом в области температур 1743—2003° К и давлений 70—1000 мм рт. ст. Для исследования использовалась вакуумная электрическая печь сопротивления с графитовым нагревателем. Нагреватель в виде графитовой трубки помещался внутри кварцевого прибора (трубка с впаянным боковым тубусом).

В качестве электродов и уплотнений служили металлические стаканы, вакуумной смазке, шлифованные к концам кварцевого прибора. Внутри печи было устроено приспособление для сбрасывания препарата из холодной зоны печи в горячую. Печь со всеми вспомогательными устройствами целиком помещалась в водяной термостат. Температура воды в термостате поддерживалась постоянной с точностью до $0,2-0,3^\circ\text{C}$. Термостат был установлен на подъемном столе.

Схема печи со вспомогательными устройствами и приспособлениями подробно описана в работе [10]. Температура печи измерялась оптическим пирометром ОППИР-45 с относительной точностью до 10°C (сила тока измерялась стандартным сопротивлением и потенциометром). Оптический пирометр был откалиброван по эталонной лампе конструкции Г. С. Попова *. К показаниям пирометра вносились поправки на абсолютно черное тело, слой среды (воды), слой плексигласа и кварцевое окошко печи, через которое велось наблюдение за температурой. Все эти поправки определялись экспериментальным путем.

Измерение давления окиси углерода в печи производилось горизонтальным микроскопом по ртутному манометру с точностью до $0,1-2\text{ мм рт. ст.}$

Исходными материалами для проведения исследования были двуокись гафния и спектрально чистый графит. Двуокись гафния по паспорту имела следующие примеси: $\text{HfO}_2-99\%$, $\text{ZrO}_2-1\%$, $\text{Fe}_2\text{O}_3-0,008\%$, $\text{SiO}_2-0,018\%$; $\text{TiO}_2-0,01\%$; $\text{CaO}-0,04\%$; $\text{MgO}-0,005\%$; $\text{Al}_2\text{O}_3-0,012\%$; $\text{In}_2\text{O}_3<0,0005\%$; $\text{NiO}_2<0,0005\%$; $\text{CuO}-0,004\%$.

Шихта для опыта составлялась в соотношении $\text{HfO}_2:3\text{C}$.

Двуокись гафния и графит перед составлением шихты просеивались через сито в 200 меш., затем тщательно перемешивались. Полученная смесь прессовалась под давлением 150 атм. , штабики устанавливались в рафитовый стакан и помещались в холодную зону нагревателя. После того производился нагрев печи до 1800°C с одновременной откачкой сорбированных газов и влаги. Откачка производилась до их полного удаления, что контролировалось ртутным манометром (в течение 40—50 мин. при температуре 1800°C и отключенном насосе выделения газов не наблюдалось). Затем устанавливалась задаваемая температура печи и стакан с препаратом вспомогательным устройством сбрасывался из холодной зоны нагревателя в горячую.

Равновесие исследовалось динамическим методом [10]. При постоянной температуре T и задаваемых различных давлениях окиси углерода P_1, P_2, P_3 и т. д. определялись скорости изменения давления $v = \Delta P / \Delta t$ во времени (рис. 1).

Средние величины скоростей v_1, v_2, v_3 и т. д., соответствующие давлениям P_1, P_2, P_3 и т. д., наносили на график зависимости v от P и производили экстраполяцию к нулевой скорости. Точка пересечения с осью ординат дает равновесное давление (рис. 2). Состав твердых фаз контролировался при помощи прецизионного рентгеновского фазового анализа. Съемка производилась на K_{α_1} и K_{α_2} излучениях меди на камере диаметром 114 мм по асимметричному методу.

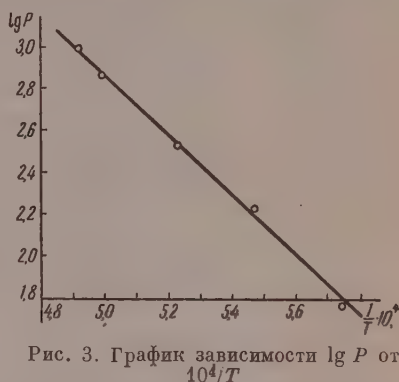


Рис. 3. График зависимости $\lg P$ от $10^4/T$

* Авторы пользуются случаем выразить благодарность Г. С. Попову за изготовление лампы.

Результаты исследования. В таблице приводятся значения равновесных давлений и соответствующие им температуры.

P , мм рт. ст.	59	163	340	737	995
T , °К	1743	1828	1913	2003	2033

На рис. 3 показана зависимость $\lg P$ от $1/T$, которая в пределах ошибок опыта может быть аппроксимирована прямой линией. Это свидетельствует о практически постоянном составе фаз и моновариантности равновесия (последнее следует также из правила фаз, если x и y в формуле HfC_xO_y постоянны в данном интервале T и P).

Результаты рентгеновского фазового анализа для равновесных препаратов, полученных при 1743 и 2003°К, приводятся на штрих-диаграмме (рис. 4). Там же приведены экспериментальные данные для HfO_2 и для HfC из работы [9]. Из рентгеновских данных можно заключить, что

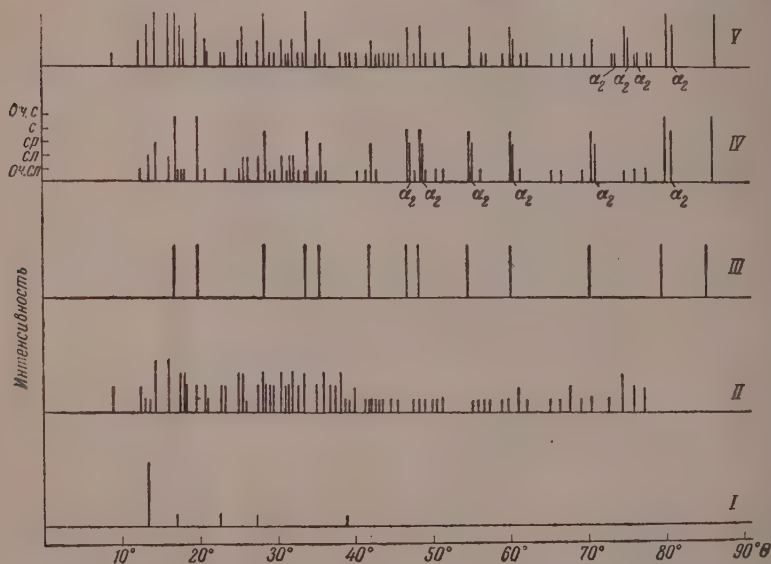


Рис. 4. Рентгеновские штрих-диаграммы. I — графит; II — двуокись гафния HfO_2 ; III — карбид гафния HfC , из работы [9]; IV — равновесный препарат, полученный при 2003° К; V — равновесный препарат, полученный при 1743° К

равновесию участвуют только фазы: карбидная — кубическая гранцентрированная решетка, HfO_2 — моноклинная решетка, графит и окис углерода.

Периоды решетки карбида следующие:

$$a = 4,627_2 \text{ кХ для } 2003^\circ \text{ К;}$$

$$a = 4,626_6 \text{ кХ для } 1743^\circ \text{ К.}$$

Реакцию, по которой устанавливается равновесие, можно выразить уравнением в общем виде:



Из графика на рис. 3 подсчитан тепловой эффект реакции $Q_p = -132 \pm 3$ ккал (считая, что в интервале температур 1743—2003° К $Q_p = \text{const}$). Работа по выяснению карбидной фазы продолжается.

Выводы

Проведено исследование равновесия в реакции восстановления HfO_2 перодом в области температур 1743—2003° К и давлений от 70 до 300 мм рт. ст. Равновесие является моновариантным. Найдены равновесные значения окиси углерода и соответствующие им температуры.

Тепловой эффект реакции $Q_p = -132 \pm 3$ ккал при $T = 1740\text{—}2000^\circ \text{ К}$.

Физико-химический институт

им. Л. Я. Карпова

Всесоюзный научно-исследовательский институт твердых сплавов

Поступила

22.II.1958

ЛИТЕРАТУРА

- C. H. Prescott, J. Amer. Chem. Soc., 48, 2534, 1926.
 C. H. Prescott, W. B. Hinckle, J. Amer. Chem. Soc., 49, 2774, 1927.
 L. R. Brantley, A. O. Beckman, J. Amer. Chem. Soc., 52, 3956, 1930.
 K. Lorenz, J. Woolcock, Z. anorgan. u. allgem. Chem., 176, 289, 1928.
 В. С. Куцев, Б. Ф. Ормонт и В. А. Эпельбаум. Докл. АН СССР, 104, 1955.
 В. С. Куцев, Б. Ф. Ормонт, Ж. физ. химии, 31, 1957.
 Г. А. Меерсон и О. Е. Крейн, Ж. прикл. хим., 25, 1952.
 C. Agte, M. Alterthum, Z. tech. Phys., 11, 182, 1930.
 P. G. Cotter, J. A. Kohn, J. Amer. Ceram. Soc., 37, 415, 1954.
 В. С. Куцев, Б. Ф. Ормонт, В. А. Эпельбаум. Ж. физ. химии, 29, 629, 1955.

EQUILIBRIUM STUDY OF THE HIGH TEMPERATURE REDUCTION OF HAFNIUM DIOXIDE (HfO_2) BY CARBON

V. I. Zhelankin, V. S. Kutsev and B. F. Ormont (Moscow)

Summary

An equilibrium study of the reduction of HfO_2 by carbon has been made over the range of temperatures 1743—2003° К and pressures 70—1000 mm Hg by a manometric method. The phases participating in the equilibrium are: HfO_2 — monoclinic lattice, carbide — face-centered cubic lattice, graphite and CO.

The equilibrium CO pressure has been determined for the corresponding temperatures.

The dependence of $\lg P$ on $1/T$ and the constant period of the carbide lattice $a = 4.626_6$ kx and $a = 4.627_2$ kx at 1743 and 2003° К respectively show that the equilibrium composition of the carbide may be considered practically constant in the region of T and p investigated.

Under such conditions the equilibrium is monovariant and in its general form expressed by the equation:

$$Q_p = -132 \pm 3 \text{ kcal} \quad (-T = 1743 - 2003^\circ \text{ К})$$

The heat effect of HfO_2 reduction is

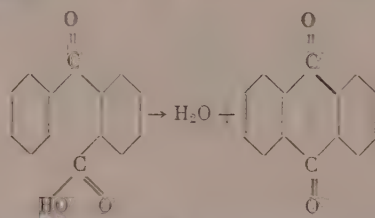


КИНЕТИКА И МЕХАНИЗМ РЕАКЦИЙ В СРЕДАХ КОНЦЕНТРИРОВАННЫХ СИЛЬНЫХ КИСЛОТ

1. КИНЕТИКА ДЕГИДРАТАЦИИ *o*-БЕНЗОИЛБЕНЗОЙНОЙ КИСЛОТЫ В КОНЦЕНТРИРОВАННЫХ РАСТВОРАХ СЕРНОЙ КИСЛОТЫ

М. И. Винник, Р. С. Рябова и Н. М. Чирков

Целью настоящего исследования являлось изучение химической реакции, протекающей при каталитическом воздействии сильно кислотных сред в таких условиях, чтобы имела возможность измерять концентрацию протонизованных частиц в ходе процесса и сопоставить эффективные константы скорости $k_{\text{эфф}}$ с концентрациями этих частиц, подобно тому, как это было сделано на примере декарбонилирования $\text{C}_6\text{H}_5\text{COCOON}$ [1]. Для решения поставленной задачи мы выбрали реакцию дегидратации *o*-бензоилбензойной кислоты



Как показали Глисон и Дауэрты [2], дегидратация *o*-бензоилбензойной кислоты протекает с измеряемой скоростью при каталитическом воздействии концентрированных растворов серной кислоты (выше 80%) и при повышенных температурах (выше 75° С).

Дин и Хадфман [3] исследовали кинетику этого процесса в широком интервале концентраций катализатора (от 96 до 106,5% H_2SO_4). Относительно $\text{C}_6\text{H}_5\text{COC}_6\text{H}_4\text{COOH}$ процесс мономолекулярен. Реакция не осложнена побочными процессами практически необратима.

Экспериментальная часть

Методика. Нами была применена спектрофотометрическая методика. Степень превращения *o*-бензоилбензойной кислоты в антрахинон определялась по изменению оптической плотности раствора при $\lambda = 260$ мк, при которой наблюдается большое различие в коэффициентах поглощения растворов $\text{o-C}_6\text{H}_5\text{COC}_6\text{H}_4\text{COOH}$ и антрахинона в серной кислоте. Обычно для опытов бралось 3 см³ H_2SO_4 , где растворялся кристаллик реагента весом $\sim 10^{-3}$ г, так что молярное соотношение реагента и серной кислоты было $\sim 10^{-4}$. 1. Опыты проводились в кварцевых термостатированных кюветах; температура поддерживалась с точностью $\pm 0,1^\circ$ С. Оптические плотности растворов измерялись на спектрофотометре СФ-4. Так как процесс мономолекулярен по $\text{o-C}_6\text{H}_5\text{COC}_6\text{H}_4\text{COOH}$, то

$$-\frac{dc_1}{dt} = \frac{dc_2}{dt} = k_{\text{эфф}} c_1, \quad (1)$$

где c_1 и c_2 текущие концентрации $\text{o-C}_6\text{H}_5\text{COC}_6\text{H}_4\text{COOH}$ и антрахинона. Если в условиях опыта справедлив закон Ламберта — Бера, то текущая оптическая плотность раствора D_T будет равна:

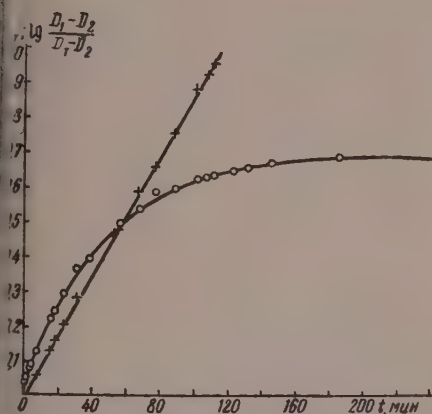
$$D_T = D_1 c_1 + D_2 c_2,$$

где D_1 и D_2 — соответственно оптические плотности в начале и в конце опыта, когда *o*-бензоилбензойная кислота превратилась в антрахинон.

Используя уравнение баланса: $c_1 + c_a = 1$ (начальную концентрацию агента нормируем к единице), можно выразить текущие концентрации c_1 и c_a через измеряемые величины D_T ; D_1 ; D_2 . После подстановки значений c_1 и c_a в (1) получаем уравнение для вычисления эффективной константы скорости процесса:

$$\lg \frac{D_1 - D_2}{D_T - D_2} = k_{\text{эфф}} t. \quad (2)$$

взвешивать внесенное в кювету количество *о*-бензоилбензойной кислоты не было необходимости. В каждом опыте определялись значения D_1 и D_2 , необходимые для вычисления константы скорости по уравнению (2). Величина D_1 определялась путем экстраполяции начального участка кинетической кривой к $t = 0$.



ис. 1

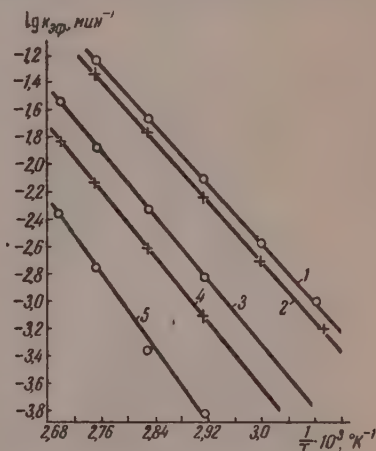


Рис. 2

Рис. 1. Кинетическая кривая и ее логарифмическая анаморфоза реакции дегидратации *о*-бензоилбензойной кислоты в среде серной кислоты

Рис. 2. Зависимость $\lg k_{\text{эфф}}$ от обратной температуры для процесса дегидратации *о*-бензоилбензойной кислоты в среде серной кислоты: 1—100%; 2—97,25%; 3—91,22%; 4—88,41%; 5—84,54% H_2SO_4

тической кривой к $t = 0$. Для определения D_2 реакция доводилась до полного превращения реагента в антрахинон; за значение D_2 принималось конечное значение оптической плотности раствора, уже не изменяющееся во времени. В разбавленных растворах H_2SO_4 дегидратация *о*- $\text{C}_6\text{H}_5\text{COC}_6\text{H}_4\text{COOH}$ протекает очень медленно. В таких случаях при исследуемой температуре реакция проводилась только до 10—30% превращения. Для завершения реакции раствор нагревался до высокой температуры, затем охлаждался до температуры опыта и измерялось значение D_2 .

Зависимость константы скорости от кислотности среды и температуры. На рис. 1 представлена типичная кинетическая кривая $D = f(t)$ процесса превращения *о*-бензоилбензойной кислоты в антрахинон и ее логарифмическая анаморфоза (зависимость $\lg \frac{D_1 - D_2}{D_T - D_2}$ от времени t). Мономолекулярная константа сохраняется вплоть до конца процесса.

В табл. 1 приведены опытные значения констант скоростей при различных температурах и различных концентрациях серной кислоты. Эти данные хорошо укладываются в зависимость Аррениуса (рис. 2). Как и следовало ожидать, определяемая энергия активации $E_{\text{эфф}}$ является

Таблица 1

Экспериментальные значения констант скоростей дегидратации $o\text{-C}_6\text{H}_5\text{COC}_6\text{H}_5\text{COOH}$ при различных температурах и различных концентрациях H_2SO_4

% H_2SO_4	$t, ^\circ\text{C}$	$k_{\text{эфф}}, \text{мин}^{-1}$	% H_2SO_4	$t, ^\circ\text{C}$	$k_{\text{эфф}}, \text{мин}^{-1}$
100	90	$5,71 \cdot 10^{-2}$	79,92	97,5	$5,58 \cdot 10^{-4}$
	80	$2,1 \cdot 10^{-2}$		90	$2,40 \cdot 10^{-4}$
	70	$7,43 \cdot 10^{-3}$		90	$4,6 \cdot 10^{-2}$
	60	$2,71 \cdot 10^{-3}$	97,25	80	$1,77 \cdot 10^{-2}$
	51	$0,99 \cdot 10^{-3}$		70	$5,75 \cdot 10^{-3}$
99,58	90	$5,38 \cdot 10^{-2}$		60	$1,96 \cdot 10^{-3}$
	80	$2,15 \cdot 10^{-2}$	95,27	90	$2,68 \cdot 10^{-2}$
	70	$7,6 \cdot 10^{-3}$		80	$9,75 \cdot 10^{-3}$
	60	$2,56 \cdot 10^{-3}$			
	51	$0,98 \cdot 10^{-3}$			
99,13	90	$5,36 \cdot 10^{-2}$	91,22	60	$8,61 \cdot 10^{-4}$
	90	$5,34 \cdot 10^{-2}$		97,5	$2,93 \cdot 10^{-2}$
	80	$1,98 \cdot 10^{-2}$		90	$1,34 \cdot 10^{-2}$
	70	$6,51 \cdot 10^{-3}$		80	$4,83 \cdot 10^{-3}$
	70	$6,35 \cdot 10^{-3}$		70	$1,56 \cdot 10^{-3}$
84,54	60	$2,52 \cdot 10^{-3}$	88,41	97,5	$1,53 \cdot 10^{-2}$
	97,5	$4,44 \cdot 10^{-3}$		90	$7,6 \cdot 10^{-3}$
	90	$1,82 \cdot 10^{-3}$		80	$2,44 \cdot 10^{-3}$
	80	$4,6 \cdot 10^{-4}$		70	$7,36 \cdot 10^{-4}$
	70	$1,51 \cdot 10^{-4}$			

функцией концентрации серной кислоты (кислотности среды). Для различных концентраций кислоты были получены следующие значения энергии активации: 84,54% — $E_{\text{эфф}} = 31,0 \text{ ккал/моль}$; 88,4% — $E_{\text{эфф}} = 28 \text{ ккал/моль}$; 91,22% — $E_{\text{эфф}} = 26,9 \text{ ккал/моль}$; 95,27% — $E_{\text{эфф}} = 26,5 \text{ ккал/моль}$; 98,00% — $E_{\text{эфф}} = 25,6 \text{ ккал/моль}$. При каталитическом воздействии 99,13%; 99,58% и 100% H_2SO_4 — $E_{\text{эфф}} = 24,5 \text{ ккал/моль}$. При одинаковых концентрациях H_2SO_4 и температурах константы скорости процесса, полученные в настоящей работе, по абсолютной величине выше констант, приведенных в работе [3]. Заниженные величины констант в работе [3] являются следствием воздействия больших концентраций реагента на кислотность среды. При известной константе основности реагентов pK_b их влияние на величину кислотности среды может быть учтено. Для возможности сопоставления констант скорости с функциями H_0 и J_0 были вычислены (экстраполяцией по закону Аррениуса) значения $k_{\text{эфф}}$ при различных концентрациях H_2SO_4 для температур 25°C . Данные приведены в табл. 2.

Таблица 2

Экстраполированные значения эффективных констант скоростей при 25°C и концентрации трех форм бензоилбензойной кислоты при различных концентрациях серной кислоты

H_2SO_4 вес. %	$k_{\text{эфф}}, \text{мин}^{-1}$ при 25°C	H_0	J_0	свон	свон_+	св^-	$k_{\text{эфф}}, \text{св}^-$
100	$3,72 \cdot 10^{-5}$	-11,1	—			1,0	$3,72 \cdot 10^{-5}$
99,58	$3,72 \cdot 10^{-5}$	-10,82	—			1,0	$3,72 \cdot 10^{-5}$
99,13	$3,32 \cdot 10^{-5}$	-10,07	—	$2,9 \cdot 10^{-3}$	$8,53 \cdot 10^{-2}$	0,912	$3,64 \cdot 10^{-5}$
97,25	$2,4 \cdot 10^{-5}$	-9,62	—	$3,2 \cdot 10^{-2}$	0,34	0,63	$3,8 \cdot 10^{-5}$
95,27	$1,2 \cdot 10^{-5}$	-9,29	-18,18	0,104	0,51	0,386	$3,11 \cdot 10^{-5}$
91,22	$3,8 \cdot 10^{-6}$	-8,72	-17,04	0,39	0,51	0,104	$3,65 \cdot 10^{-5}$
88,41	$1,32 \cdot 10^{-6}$	-8,33	-16,31	0,63	0,337	$3,15 \cdot 10^{-2}$	$4,2 \cdot 10^{-5}$
84,54	$1,6 \cdot 10^{-7}$	-7,78	-15,3	0,87	0,127	$4,25 \cdot 10^{-3}$	$3,77 \cdot 10^{-5}$
79,92	$1,2 \cdot 10^{-8}$	-7,14	-14,1	0,965	$3,4 \cdot 10^{-2}$	$3,06 \cdot 10^{-4}$	$6,2 \cdot 10^{-5}$

Как видно из рис. 3, где отложены величины $\lg k_{\text{эфф}}$ при 25°C относительно H_0 , для данной реакции имеется сложная зависимость между константой скорости и функцией кислотности. В области кислотностей от $H_0 = -7,14$ до $H_0 = -8,7$ наблюдается резкая зависимость $k_{\text{эфф}}$ от H_0 . При кислотностях среды, больших $h_0 \approx 10^{10}$, константа скорости уже не увеличивается с увеличением кислотности среды, и, следовательно, $k_{\text{эфф}}$ постоянна. Этот факт мы объясняем как достижение условий, где практически весь реагент находится в реакционноспособной ионизованной форме. Предельные в таких условиях константы скоростей и энергии активации будут истинными. Величина $E = 24,5$ ккал/моль, одинаковая для интервала H_0 от $-10,1$ до $-11,1$, является истинной энергией активации

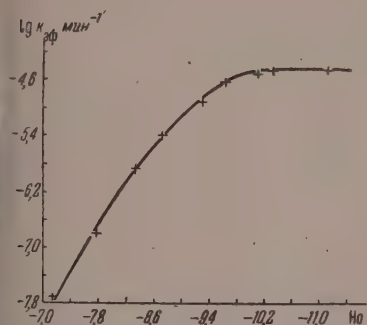


Рис. 3. Зависимость $\lg k_{\text{эфф}}$ от функции кислотности среды в процессе превращения $o\text{-C}_6\text{H}_5\text{COC}_6\text{H}_4\text{COOH}$ в антрахинон

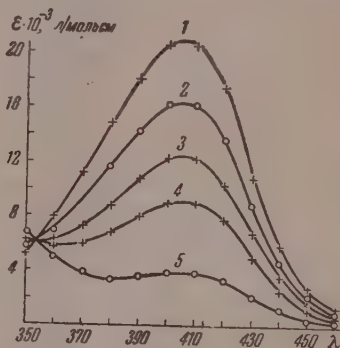


Рис. 4. Спектры поглощения растворов $o\text{-C}_6\text{H}_5\text{COC}_6\text{H}_4\text{COOH}$ в серной кислоте различных концентрациях: 1—100%; 2—98,24%; 3—97%; 4—95,8% и 5—91,9% H_2SO_4

акции дегидратации o -бензоилбензойной кислоты при каталитическом действии серной кислоты. Зная $k_{\text{ист}}$ и $E_{\text{ист}}$, представляется возможным предельно значение предэкспонента A . Для данного процесса $A = 7 \cdot 10^{11} \text{сек}^{-1}$, что несколько ниже нормальной величины предэкспонента для мономолекулярных реакций.

Определение констант ионизации бензоилбензойной кислоты. Растворы $o\text{-C}_6\text{H}_5\text{COC}_6\text{H}_4\text{COOH}$ в разбавленной серной кислоте (до 85% H_2SO_4) практически не окрашены в видимой области спектра. В более концентрированных кислотах растворы кислоты поглощают в видимой области с максимумом, при $\lambda = 410 \text{ мμ}$, практически не зависящем от концентрации H_2SO_4 . На рис. 4 приведены спектры поглощения в видимой области растворов $o\text{-C}_6\text{H}_5\text{COC}_6\text{H}_4\text{COOH}$ в серной кислоте различных концентраций. На рис. 5 показана зависимость коэффициента поглощения ϵ_{410} (оптической плотности, отнесенной к 1 молю $o\text{-C}_6\text{H}_5\text{COC}_6\text{H}_4\text{COOH}$ в кювете длиной 1 см) от концентрации H_2SO_4 . Как видно из рис. 6, ϵ_{410} увеличивается в интервале от 88% вплоть до 99,5% H_2SO_4 . При 99,5% H_2SO_4 достигается максимальное значение $\epsilon_{410}^{\text{макс}}$, сохраняющееся даже в oleume (5—10% SO_3). Здесь уместно отметить, что именно при этой концентрации кислоты достигается максимальная и далее не меняющаяся скорость процесса. Естественно было предположить, что появление окраски в видимой области спектра при увеличении кислотности среды является результатом ионизации реагента, а изменение ϵ_{410} связано с изменением концентрации протонизованных частиц.

Для проверки этого предположения мы сопоставили для одних и тех же концентраций H_2SO_4 при 25 и 35°C константы скоростей с коэффициентами поглощения ϵ_{410} o -бензоилбензойной кислоты в растворах H_2SO_4 .

Как видно из рис. 6, между $k_{эфф}$ и ϵ_{410} имеется прямая пропорциональность. Это значит, что по коэффициенту поглощения при длине волны $\lambda = 410 \text{ мμ}$ можно определить концентрацию частиц, принимающих участие в элементарном акте реакции. Отношение ϵ_{410} при какой-либо концентрации H_2SO_4 к максимальной величине $\epsilon_{410}^{\text{макс}} = 20,6 \cdot 10^3 \text{ л/моль} \cdot \text{см}$ равно доле протонизованных частиц, определяющих лимитирующую стадию дегидратации $o\text{-C}_6\text{H}_5\text{COC}_6\text{H}_4\text{COOH}$. По зависимости величины ϵ_{410} от кислотности среды может быть выяснен и механизм протонизации реагента. Для расчета были использованы величины ϵ_{410} при различных концентрациях H_2SO_4 для 25°C , когда скорость реакции даже при каталитическом воздействии 100% H_2SO_4 ничтожно мала. Например, для 100% H_2SO_4 и 25°C

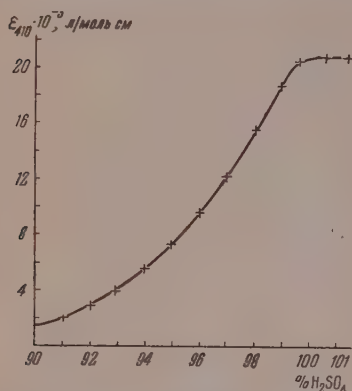


Рис. 5. Зависимость коэффициента поглощения при $\lambda = 410 \text{ мμ}$ растворов $o\text{-C}_6\text{H}_5\text{COC}_6\text{H}_4\text{COOH}$ в серной кислоте от концентрации H_2SO_4

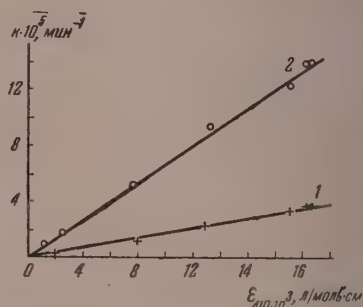


Рис. 6. Зависимость эффективной константы скорости дегидратации ортобензоилбензойной кислоты от ϵ_{410} : 1 — при 25°C и 2 — при 35°C

время полупревращения равно 309 час. В таких условиях o -бензоилбензойная кислота практически ничем не отличается от индикаторов, при меняемых для определения кислотности кислых сред. При измерении значений ϵ_{410} концентрации $o\text{-C}_6\text{H}_5\text{COC}_6\text{H}_4\text{COOH}$ брались с таким расчетом, чтобы величина измеряемой оптической плотности D_{410} лежала в области соблюдения закона Ламберта—Бера.

В первом варианте расчета мы предположили, что ионизованная форма представляет собой однажды протонизованную молекулу o -бензоилбензойной кислоты. При таком механизме ионизации следует принять, что ионизованная форма BH^+ имеет максимум поглощения при $\lambda = 410 \text{ мμ}$, а неионизованная форма при этой длине волны практически не поглощает.

$$D = \epsilon_{410} c_{\text{BH}^+}; \quad c_{\text{B}} = c_0 - c_{\text{BH}^+}.$$

Если справедлив такой механизм ионизации, то при всех кислотностях среды должно получиться постоянное значение $\text{pK}_{\text{B}} = H_0 - \lg \frac{c_{\text{B}}}{c_{\text{BH}^+}}$.

Вычисленное при таком предположении pK не является постоянной величиной. На основании этого мы делаем заключение, что таким механизмом невозможно описать процесс ионизации $o\text{-C}_6\text{H}_5\text{COC}_6\text{H}_4\text{COOH}$. Молекула o -бензоилбензойной кислоты содержит три кислородных атома, и принципиально к каждому из них может присоединиться протон.

Во втором варианте расчета мы предположили, что ионизация $o\text{-C}_6\text{H}_5\text{COC}_6\text{H}_4\text{COOH}$ заключается в присоединении двух протонов. В таком случае реагент должен был бы находиться в трех формах: в виде неионизованных молекул B , однажды протонизованных молекул BH^+ и дважды

Таблица 3

$\text{C}_6\text{H}_5\text{SO}_3\text{H}$ вс. %	H_0	J_0^*	$\varepsilon_{410} \cdot 10^{-3}$ $\frac{\lambda}{\text{моль} \cdot \text{см}}$	$\lg \frac{c_{\text{ВОН}_2^+}}{c_{\text{В}^+}}$	pK_2
102			20,6		
100			20,6		
99,6			20,4		
99,0			18,5		
98	-10,02		15,45		
97	-9,78		12,15		
96	-9,57	-18,45	9,62	0,01	-9,06
95	-9,4	-18,08	7,30	0,17	-9,0
94	-9,25	-17,78	5,45	0,32	-9,00
93	-9,1	-17,51	3,95	0,46	-9,01
92	-8,96	-17,24	2,92	0,57	-9,0
91	-8,82	-16,98	1,94	0,72	-9,01
90	-8,69	-16,72	1,36	0,70	-8,96

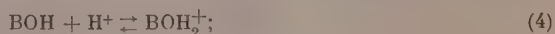
протонизованных молекул ВН_2^{2+} . Приняв такой механизм, следует также предположить, что реакционноспособной является только дважды протонизованная форма реагента, максимум поглощения которой находится при $\lambda=410 \text{ мкм}$, а формы ВН^+ и В при этой длине волны не поглощают. Концентрация дважды протонизованных молекул ВН_2^{2+} при различных кислотностях среды вычислялась из величин оптических плотностей при $\lambda=410 \text{ мкм}$; $D = \varepsilon_{410} c_{\text{ВН}_2^{2+}}$. Константы основностей pK_1 и pK_2 ; концентрации неионизованной формы $c_{\text{В}}$ и однажды ионизованной формы $c_{\text{ВН}^+}$ при таком механизме ионизации рассчитывались по следующим уравнениям*

$$H_0 = pK_1 + \lg \frac{c_{\text{В}}}{c_{\text{ВН}^+}}; \quad H_+ = H_0 = pK_2 + \lg \frac{c_{\text{ВН}^+}}{c_{\text{ВН}_2^{2+}}};$$

$$\lg \frac{c_{\text{В}}}{c_{\text{ВН}_2^{2+}}} = 2H_0 - pK_1 - pK_2; \quad c_{\text{В}} + c_{\text{ВН}^+} + c_{\text{ВН}_2^{2+}} = 1. \quad (3)$$

Оказалось, что вычисленные по уравнениям (3) pK_1 и pK_2 не являются постоянными величинами при различных кислотностях среды. Непостоянство вычисленных значений pK позволяет сделать заключение, что механизм двойной протонизации не объясняет процесса ионизации *о*-бензоил-бензойной кислоты.

В работе [6] было найдено, что при растворении *о*- $\text{C}_6\text{H}_5\text{COC}_6\text{H}_4\text{COOH}$ в 100% H_2SO_4 понижение точки замерзания раствора соответствует величине фактора Вант-Гоффа $i=3,8$. Такое значение фактора i может быть получено, если принять, что механизм ионизации *о*- $\text{C}_6\text{H}_5\text{COC}_6\text{H}_4\text{COOH}$ заключается в протонизации с последующим отщеплением молекулы воды:



Обозначим через K_1 и K_2 константы ионизации (4) и (5)

$$K_1 = \frac{a_{\text{H}^+} a_{\text{ВОН}}}{a_{\text{ВОН}_2^+}}; \quad \lg \frac{c_{\text{ВОН}}}{c_{\text{ВОН}_2^+}} = H_0 - pK_1; \quad (6)$$

$$K_2 = \frac{a_{\text{H}^+} a_{\text{ВОН}_2^+}}{a_{\text{В}^+} a_{\text{H}_3\text{O}^+}}; \quad \lg \frac{c_{\text{ВОН}_2^+}}{c_{\text{В}^+}} = \lg K_2 - \lg a_{\text{H}^+} + \lg a_{\text{H}_3\text{O}^+} - \lg \frac{f_{\text{ВОН}_2^+}}{f_{\text{В}^+}}. \quad (7)$$

* Как было показано [4, 5] при больших кислотностях среды $\Delta H_0 = \Delta H_+$.

Активности $a_{\text{H}_2\text{O}^+}$ и a_{H^+} можно заменить через активность воды, так как

$$\frac{a_{\text{H}^+} a_{\text{H}_2\text{O}}}{a_{\text{H}_2\text{O}^+}} = 1;$$

а активность воды через кислотность $J_0 = H_0 + \lg a_{\text{H}_2\text{O}}$;

$$\lg \frac{c_{\text{ВОН}_2^+}}{c_{\text{В}^+}} = \lg K_2 + J_0 - H_0 - \lg \frac{f_{\text{ВОН}_2^+}}{f_{\text{В}^+}}. \quad (8)$$

В работе [7] было экспериментально показано, что при концентрации серной кислоты выше 80% отношение коэффициентов активностей $\frac{f_{\text{ВОН}_2^+}}{f_{\text{В}^+}}$ постоянно и не зависит от концентрации кислоты. Для удобства обозначим $J_0 + \lg \frac{f_{\text{В}^+}}{f_{\text{ВОН}_2^+}}$ через J_0^* (в работе [7] эта величина обозначена через c_0), а $(-\lg K_2)$ в (8) через pK_2 :

$$\lg \frac{c_{\text{ВОН}_2^+}}{c_{\text{В}^+}} = J_0^* - \text{pK}_2 - H_0. \quad (9)$$

Соотношение между концентрациями $c_{\text{ВОН}}$ и $c_{\text{В}^+}$ получается из уравнений (6) и (9):

$$\lg \frac{c_{\text{ВОН}}}{c_{\text{В}^+}} = J_0^* - \text{pK}_1 - \text{pK}_2. \quad (10)$$

Обозначим $\lg \frac{c_{\text{ВОН}}}{c_{\text{В}^+}}$ для какой-либо концентрации серной кислоты выбранной за стандарт, через $\lg \alpha_{\text{ст}}$. Величины $c_{\text{ВОН}}|c_{\text{В}^+} = \alpha'$, для любых других концентраций H_2SO_4 легко выражаются через $\alpha_{\text{ст}}$, если известны значения J_0^* :

$$\lg \frac{\alpha'}{\alpha_{\text{ст}}} = J_0^* - (J_0^*)_{\text{ст}}.$$

После замены $c_{\text{ВОН}}$ через $\alpha_{\text{ст}} c_{\text{В}^+}$ в уравнении баланса:

$$c = c_{\text{ВОН}} + c_{\text{ВОН}_2^+} + c_{\text{В}^+} = 1$$

получаем, что

$$c_{\text{ВОН}_2^+} = 1 - (1 + \alpha) c_{\text{В}^+}$$

и

$$\lg \frac{c_{\text{ВОН}_2^+}}{c_{\text{В}^+}} = \lg \frac{\varepsilon_{410}^{\text{макс}} - \varepsilon_{410} (1 + \alpha_{\text{ст}})}{\varepsilon_{410}} = J_0^* - H_0 - \text{pK}_2. \quad (11)$$

Значение $\alpha_{\text{ст}}$ вычисляется из сопоставления $\lg \frac{c_{\text{ВОН}_2^+}}{c_{\text{В}^+}}$ для двух сред с различными кислотностями:

$$\lg \left(\frac{c_{\text{ВОН}_2^+}}{c_{\text{В}^+}} \right)_1 - \lg \left(\frac{c_{\text{ВОН}_2^+}}{c_{\text{В}^+}} \right)_2 = (J_0^* - H_0)_1 - (J_0^* - H_0)_2. \quad (12)$$

При вычислениях в качестве стандартной нами была выбрана 92% H_2SO_4 . Применяя соотношение (12) в интервале концентраций H_2SO_4 от 90% до

% получены восемь значений $\alpha_{\text{ст}}$, из которых вычислено было среднее значение $\alpha_{\text{ст}} = 2,4 \pm 0,2$. Для расчета значения $J_0^* = J_0 + \lg \frac{f_{\text{B}^+}}{f_{\text{BOH}_2^+}}$ были взяты из работы [7]; величины H_0 для 25°C были измерены нами. Определив $\alpha_{\text{ст}}$, стало возможным рассчитать величины $\lg \frac{c_{\text{BOH}_2^+}}{c_{\text{B}^+}}$ при различных кислотностях среды и значение pK_2 для 25°C . Как видно из табл. 3, интервале концентраций H_2SO_4 от 90 до 96% H_2SO_4 pK_2 сохраняется. Из-за отсутствия достоверных данных по значениям J_0^* мы могли провести такой же расчет для более концентрированных растворов серной кислоты.

Если соотношение коэффициентов активностей $f_{\text{B}^+}/f_{\text{BOH}_2^+}$ не зависит от концентрации серной кислоты, то для вычисления $\alpha_{\text{ст}}$ можно использовать активность воды над H_2SO_4 различных концентраций:

$$\lg \left(\frac{c_{\text{BOH}_2^+}}{c_{\text{B}^+}} \right) - \lg \left(\frac{c_{\text{BOH}_2^+}}{c_{\text{B}^+}} \right)_2 = (J_0^* - H_0)_1 - (J_0^* - H_0)_2 = \lg \frac{(a_{\text{H}_2\text{O}})_1}{(a_{\text{H}_2\text{O}})_2}.$$

К сожалению, до настоящего времени нет точных значений по активности воды в растворах серной кислоты вблизи 100% H_2SO_4 . Для 25°C $\text{pK}_2 = 9,01 \pm 0,02$. Согласно уравнению (10) было вычислено $\text{pK}_1 = -\lg \alpha_{\text{ст}} + J_0^* - \text{pK}_2$; $\text{pK}_1 = -8,6 \pm 0,04$. Из факта постоянства pK_2 для различных концентраций H_2SO_4 мы делаем вывод, что механизм протонизации *о*-бензоилбензойной кислоты заключается в протонизации последующей дегидратацией протонизованных молекул. Таким образом, растворенная *о*- $\text{C}_6\text{H}_5\text{COC}_6\text{H}_4\text{COOH}$ в концентрированной серной кислоте существует в виде трех форм: в виде неионизованных молекул BOH , ионов BOH_2^+ и дегидратированных ионов B^+ . Соотношение между концентрациями трех форм определяется кислотностью и активностью воды среды. Концентрация формы B^+ может быть вычислена по уравнению:

$$c_{\text{B}^+} = \frac{\frac{1}{k_1} \frac{1}{k_2} j_0^*}{1 + \frac{1}{k_1} h_0 + \frac{1}{k_1} \frac{1}{k_2} j_0^*} c, \quad (13)$$

где h_0 — кислотность среды, а $j^* = \frac{h_0}{a_{\text{H}_2\text{O}}} \frac{f_{\text{ROH}_2^+}}{f_{\text{R}^+}}$. В табл. 2 приведены вычисленные из определенных спектрофотометрическим путем констант основностей pK_1 и pK_2 молярные доли трех форм при 25°C и различных концентрациях серной кислоты. Как видно из этой таблицы и при низких кислотностях, где концентрация c_{B^+} может быть только рассчитана, также имеется пропорциональность между $k_{\text{эфф}}$ и c_{B^+} .

Обсуждение результатов

Так как эффективная константа скорости пропорциональна концентрации дегидратированной формы протонизованных молекул c_{B^+} , то следует считать, что лимитирующая стадия реакции дегидратации *о*-бензоилбензойной кислоты заключается в мономолекулярном превращении этих ионов. В данном случае имеются все основания принять, что коэффициенты активностей дегидратированных ионов f_{B^+} и активированного комплекса $(f_{\text{B}^+})^*$ равны. При условии рав. f_{B^+} и $(f_{\text{B}^+})^*$ уравне-

ние для скорости реакции выражается так:

$$-\frac{dc}{dt} = k'_{\text{ист}} \frac{a_{\text{B}^+}}{f_{\text{B}^+}} = k_{\text{ист}} C_{\text{B}^+} \frac{f_{\text{B}^+}}{(f_{\text{B}^+})^*} = k_{\text{ист}} \frac{\frac{1}{k_1} \cdot \frac{1}{k_2} j_0^* C_0}{1 + \frac{1}{k_1} h_0 + \frac{1}{k_1} \frac{1}{k_2} j_0^*}. \quad (1)$$

Согласно уравнению (14) можно вычислить константы k_1 и k_2 из кинетических данных. Для этой цели напомним это уравнение в таком виде:

$$h_0 = j_0^* \left(\frac{k_{\text{ист}}}{k_{\text{эфф}}} - 1 \right) \frac{1}{k_2} - k_1.$$

На рис. 7 по оси ординат отложены значения h_0 , а по оси абсцисс — величины $j_0^* \left(\frac{k_{\text{ист}}}{k_{\text{эфф}}} - 1 \right)$. Вычисленные из угла наклона $k_2 = 1,4 \cdot 10^9$ и по отсекаемому отрезку $k_1 = 2,4 \cdot 10^8$ согласуются с величинами $k_1 = 4 \cdot 10^8$, $k_2 = 1 \cdot 10^9$, определенными из спектрометрических измерений. Какова структура реагирующей формы *o*-бензоилбензойной кислоты? Пока дан определенный ответ на этот вопрос трудно. Сначала к молекуле $\text{C}_6\text{H}_5\text{COC}_6\text{H}_4\text{COOH}$ присоединяется один протон. Для образующегося при дегидратации протонизованной формы иона можно написать два изомера:

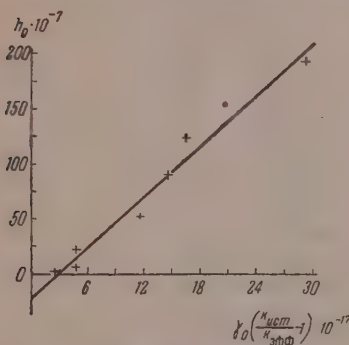
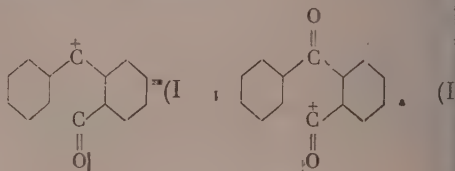


Рис. 7. Графическое определение констант ионизации *o*-бензоилбензойной кислоты в среде серной кислоты при 25° С



Ньюмен [8] считает, что изомерные формы (I) и (II) находятся в равновесии, а реагирующей является форма (II). Действительно, из формы (II) легко может образоваться активированное состояние.

Как уже упоминалось ранее, истинный предэкспонент для данного процесса на 1,5 порядка меньше нормальных предэкспонентов для мономолекулярных реакций. По нашему мнению, это не случайно. Для изомеризации дегидратированного иона в антрахинон требуется одновременный разрыв двух связей: $\text{C}-\text{H}$ и $\text{C}=\text{O}$. Вероятность одновременного разрыва этих связей и составляет энтропию активации $\Delta S = -5,5$ э. ед.

Из полученных данных представляется возможным определить суммарную теплоту ионизации *o*-бензоилбензойной кислоты. При кислотностях среды, где

$$\frac{1}{k_1} h_0 + \frac{1}{k_1} \frac{1}{k_2} j_0^* \ll 1, \quad (16)$$

эффективная энергия активации $E_{\text{эфф}}$ состоит из истинной энергии активации $E_{\text{ист}}$ и теплот протонизации Q_1 и Q_2 :

$$E_{\text{эфф}} = E_{\text{ист}} + Q_1 + Q_2.$$

В случае 84,5 и 79,92% H_2SO_4 справедливо условие (16), и из величин $E_{\text{эфф}} = 31$ ккал/моль, наблюдаемой при этих концентрациях, получается, что сумма теплот ионизации (теплоты протонизации и последующей дегидратации) *o*-бензоилбензойной кислоты $Q_1 + Q_2 = 6,5$ ккал/моль. Определить теплоты Q_1 и Q_2 в отдельности пока невозможно из-за отсутствия данных по температурной зависимости функции кислотности J_0^* .

Выводы

1. Изучена кинетика каталитической дегидратации *o*-бензоилбензойной слоты в среде серной кислоты в интервале концентраций H_2SO_4 от 92% до 100% и при температурах от 50° до 97,5° C.
2. Показано, что при ионизации *o*- $C_6H_5COC_6H_4COOH$ в сильно кислых средах, в равновесии имеются три формы: неионизованная $ВОН$, отонизованная форма $ВОН_2^+$ и дегидратированная протонизованная форма $В^+$. Соотношение между концентрациями трех форм определяется слотностью среды и активностью воды.
3. Лимитирующей стадией процесса является изомеризация дегидратированной формы $В^+$.
4. Спектрофотометрическим и кинетическим методами определены константы основности *o*-бензоилбензойной кислоты:

$$K_1 = \frac{a_{H^+} a_{ВОН}}{a_{ВОН_2^+}} = 4 \cdot 10^8; \quad K_2 = \frac{a_{H^+} a_{ВОН_2^+}}{a_{В^+} a_{H_3O^+}} = 1 \cdot 10^9.$$

5. Определены истинная энергия активации $E_{ист} = 24,5$ ккал/моль, характеризующая энергетику элементарного акта изомеризации дегидратированного иона *o*-бензоилбензойной кислоты в антрахион, сумма теплот низации $Q_1 + Q_2 = 6,5$ ккал/моль, и величина истинного предэкспонен-
 $A = 7 \cdot 10^{11} \text{сек.}^{-1}$

Академия наук СССР
Институт химической физики
Москва

Поступила
22. II. 1958

ЛИТЕРАТУРА

- М. И. Винник, Р. С. Рябова, Н. М. Чирков, Докл. АН СССР, 117, 1017, 1957.
 A. H. Gleason, G. Dougherty, J. Amer. Chem. Soc., 51, 310, 1929.
 C. W. Deane, J. R. Huffman, Industr. and, Engng. Chem., 35, 684, 1943; C. W. Deane, J. Amer. Chem. Soc., 67, 329, 1945.
 I. C. D. Brand, W. G. Horning, M. B. Thornely, J. Chem. Soc., 1374, 1952.
 T. G. Bonner, J. C. Lockhart, J. Chem. Soc., 364, 1957.
 M. S. Newman, C. G. Kivila, A. B. Garrett. J. Amer. Chem. Soc., 67, 704, 1945.
 N. C. Deno, J. J. Jaruselski, A. Schriesheim, J. Amer. Chem. Soc., 77, 3044, 1955.
 M. S. Newman, J. Amer. Chem. Soc., 64, 2324, 1942.

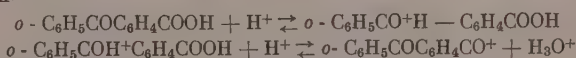
KINETICS AND MECHANISM OF REACTIONS IN CONCENTRATED STRONG ACID MEDIA

M. I. Vinnik, R. S. Ryabova and N. M. Chirkov (Moscow)

Summary

The kinetics of the catalytic dehydration of orthobenzoylbenzoic acid in sulfuric acid medium over the concentration range 79.92 to 100% H_2SO_4 have been studied by a spectrophotometric method.

Orthobenzoylbenzoic acid has been shown to ionize in strong acid media according to the equation:



and the ionization constants have been determined (in activities):

$$K_1 = \frac{(H^+) (o-C_6H_5COC_6H_4COOH)}{(o-C_6H_5CO^+H - C_6H_4COOH)} = 4 \cdot 10^8$$

$$K_2 = \frac{(H^+) (o-C_6H_5CO^+H - C_6H_4COOH)}{(o-C_6H_5COC_6H_4CO^+)} = 1 \cdot 10^9.$$

The limiting stage of the process is the isomerization of the $o-C_6H_5COC_6H_4CO^+$ ion to anthraquinone.

The true energy of this reaction $E_t = 24.5$ kcal/mole, the preexponential factor $A = 7 \cdot 10^{11} \text{сек.}^{-1}$.

ЭЛЕКТРОЛИТИЧЕСКАЯ ДИССОЦИАЦИЯ В НЕВОДНЫХ СИСТЕМАХ

Х. СИСТЕМА АЛЛИЛОВОЕ ГОРЧИЧНОЕ МАСЛО — ПИПЕРИДИН

С. П. Мискиджян, Ф. Н. Козленко и Н. А. Волина

Система аллиловое горчичное масло—пиперидин хорошо изучена многими методами физико-химического анализа Н. С. Курнаковым и его школой [1]. При этом установлено, что компоненты системы энергично взаимодействуют между собой с образованием аллилпиперидилтиомочевинь. Изотерма удельной электропроводности, полученная Н. А. Трифоновым [2], свидетельствует о том, что смеси системы обладают значительной электропроводностью. В одной из наших статей [3], мы показали, что такая значительная электропроводность обусловлена не образованием основного продукта реакции, как это предполагалось [2], а соединением являющимся продуктом побочной реакции, т. е. роданистоводородным аллилпиперидином [3].

Позже нами было обнаружено, что нагревание смесей приводит к значительному увеличению в них концентрации продукта побочной реакции. В настоящей статье приводятся результаты измерения концентрации SCN^- (роданистоводородного аллилпиперидина), удельной электропроводности, вязкости смесей системы в зависимости от времени нагрева. Приведены также данные электролиза роданистоводородного аллилпиперидина, которые позволяют сделать заключение о механизме электролитической диссоциации его, и результаты исследования этой системы методом измерения э. д. с. Потенциометрическое исследование данной системы проводится впервые.

Экспериментальная часть

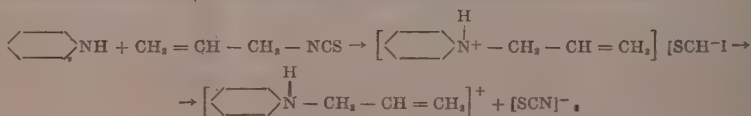
Аллиловое горчичное масло было синтезировано нами [4] и перегнано. Для работы отбиралась фракция, кипящая при $149-151^\circ$, d_4^{20} 1,0113, n_D^{15} 1,5299. Пиперидин марки «х. ч.» был перегнан. Отобранная фракция имела d_4^{20} 0,8625, n_D^{20} 1,4535.

Смеси были приготовлены по весу, в ампулах, которые затем наполнялись азотом (во избежание окисления смесей при нагреве) и запаивались. Для устранения сильного разогрева при смешивании компонентов последние предварительно охлаждались до температуры на несколько градусов ниже нуля. Кроме того, смеси охлаждались во время их приготовления.

Тотчас после приготовления смесей была определена концентрация SCN^- в зависимости от их состава колориметрическим методом, описанным в одной из наших работ [4].

Результаты этих измерений приведены на рис. 1.

На этом же рисунке пунктирной линией приведена кривая исправленной электропроводности ($\chi\eta$) в зависимости от состава смесей, взятая из работы Н. А. Трифонова [2]. Легко видеть, что кривая исправленной электропроводности изменяется симбатно концентрации SCN^- , что дает основание считать, что электропроводность растворов системы обусловлена образованием роданистоводородного аллилпиперидина, который получается в качестве продукта побочной реакции по схеме:



Глубина этой побочной реакции в некоторых смесях достигает 11,6% смеси 60 мол. % горчичного масла). Нами изучено более десяти систем, разованных из аллилового горчичного масла и различных аминов (пилин, пиридин, *o*-толуидин, метиланилин, этиланилин и другие), но в одной системе до нагревания побочная реакция, приводящая к образованию роданистоводородного аллиламина, не шла так глубоко. Объясняется это, очевидно, тем, что из всех взятых нами аминов пиперин является наиболее сильным основанием.

Как нами уже указывалось, нагревание смесей приводит к увеличению концентрации продукта побочной реакции, поэтому мы подвергли их

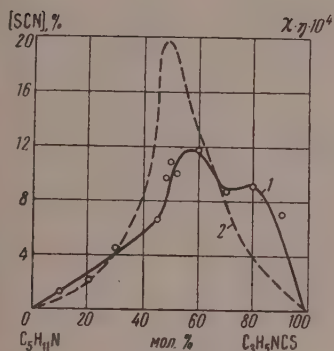


Рис. 1

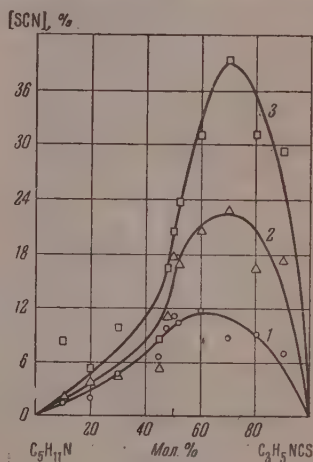


Рис. 2

Рис. 1. 1 — зависимость концентрации роданистоводородного аллилпиридина от состава смесей; 2 — исправленная электропроводность смесей

Рис. 2. Зависимость концентрации роданистоводородного аллилпиридина от времени нагревания: 1 — смеси без нагрева; 2 — нагревание в течение 5 час., 3 — нагревание в течение 29 час.

нагреванию в течение 5 час. при температуре $100 \pm 5^\circ$. При этом смеси еще больше загустели и потемнели. Была вновь измерена концентрация SCN^- в зависимости от состава. Полученные данные приведены на рис. 2. Значительное увеличение концентрации SCN^- наблюдается в смесях с избытком горчичного масла.

При более длительном нагревании в течение 29 час. (рис. 2), концентрация SCN^- возрастает еще больше, достигая 30% и более (в смеси 60 мол. % горчичного масла).

Одновременно с концентрацией SCN^- мы измеряли удельную электропроводность и вязкость системы в зависимости от состава, после нагревания. Полученные изотермы приведены на рис. 3 и 4. Пунктирной линией приведены изотермы удельной электропроводности (по данным Н. А. Рифонова [2]) и вязкости (по данным Н. С. Курнакова [1]). Как видно из рисунков, удельная электропроводность системы уменьшается по мере нагревания, что объясняется возрастанием вязкости растворов системы.

Максимум на диаграммах концентрации SCN^- и вязкости после нагревания передвигается в сторону масла, что объясняется усилением побочной реакции при избытке аллилового горчичного масла.

Пользуясь тем, что роданистоводородный аллилпиридин растворяется в горячей воде лучше, чем аллилпиридилтиомочевина, мы попытались экстрагировать его из смесей, как это мы делали в своих прежних работах [4].

После двукратной экстракции и отгонки воды под вакуумом (10—20 мм) нам удалось получить бурого цвета очень вязкую жидкость, которая, как показало колориметрическое определение [4], содержит 40—45% роданистоводородного аллилпиридина, остальное приходится на аллилпиридилтиомочевину, которая также частично растворяется в воде.

Такая смесь была подвергнута электролизу* в специальном приборе, описанном в одной из наших работ [5].

Условия электролиза те же, какие описаны в указанной работе [5]. У электродов наблюдались такие же явления, т. е. на катоде выделялся водород в количестве, эквивалентном пропущенному электричеству. Так, например, в одном из опытов, согласно данным включенного в цепь куло-

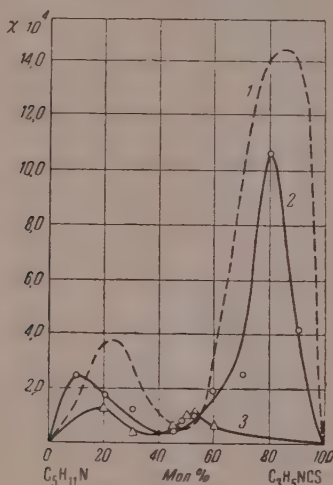


Рис. 3

Рис. 3. Удельная электропроводность системы в зависимости от времени нагрева: 1 — смеси без нагрева; 2 — нагревание в течение 5 час.; 3 — нагревание в течение 29 час.

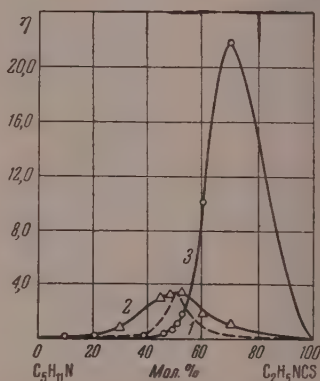


Рис. 4

Рис. 4. Вязкость системы в зависимости от времени нагрева: 1 — смеси без нагрева; 2 — нагревание в течение 5 час.; 3 — нагревание в течение 29 час.

метра, было пропущено 0,0032 F электричества, и было собрано 41 мл (при $P = 760$ и 0°C) водорода, т. е. 0,0036 г-экв.

На аноде, как и в предыдущих наших опытах по электролизу подобных соединений [4, 5], выделялся кислород примерно в три раза меньшем количестве, чем водород. Как там же было указано, часть кислорода идет на окисление продукта электролиза, т. е. на образование из HSCN серной кислоты.

После электролиза в анолите титрованием было обнаружено 0,00139 г-экв кислот (HSCN и H_2SO_4). Колориметрическим методом нам удалось определить концентрацию HSCN (подробно об этом см. [4]). В анолите оказалось лишь 0,00071 г-экв HSCN, следовательно, $0,00139 - 0,00071 = 0,00068$ г-экв приходится на серную кислоту. При нейтрализации анолита едким кали и выпариванием воды остается кристаллическое вещество, которое, как показывает анализ, состоит из KSCN и K_2SO_4 .

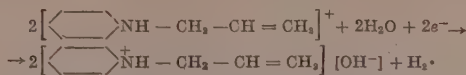
Все это дает основание считать, что у электродов протекают следующие электрохимические реакции:

у анода:



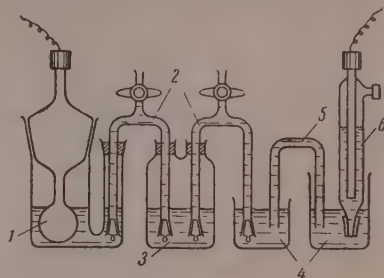
* Как нами уже показано [4, 5], тиомочевина не проводит ток.

у катода:



Может возникнуть вопрос, не восстанавливает ли водород в момент выделения продукта электролиза у катода, тем более что он содержит двойную связь? Как известно из литературы [6], при выделении водорода

ис. 5. Схема цепи со стеклянным электродом: 1 — стеклянный электрод; 2 — мостик с концентрированным раствором NH_4NO_3 пиперидине; 3 — промежуточный сосуд с концентрированным раствором NH_4NO_3 пиперидине; 4 — насыщенный водный раствор KCl ; 5 — KCl — агаровый мостик; 6 — каломельный электрод



а гладких платиновых электродах, какими были наши электроды, не происходит восстановления вещества, находящегося вблизи электродов, или это крайне затруднительно. То обстоятельство, что нам удается собрать водород в количестве, эквивалентном количеству прошедшего через цепь электричества, подтверждает это положение.

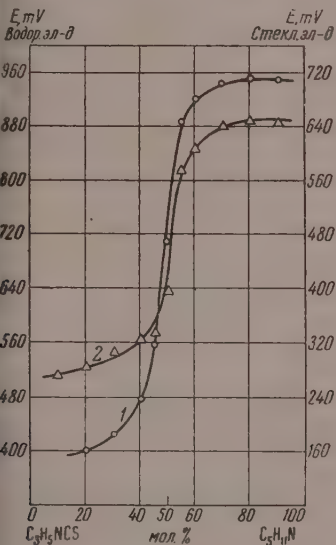


Рис. 6. Изотермы э. д. с.: 1 — измерения с водородным электродом; 2 — измерения со стеклянным электродом

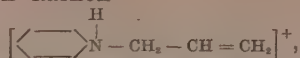
результатам не только с точки зрения физико-химического анализа, но даст возможность изучить механизм электролитической диссоциации образующегося в этих системах соединения, являющегося электролитом, кислотно-основные свойства компонентов и т. д.

Для правильного подбора индикаторного электрода необходимо знать механизм электролитической диссоциации образующегося в системе соединения, обуславливающего проводимость. Поскольку в системе аллиловое горчичное масло — пиперидин образующееся соединение диссоци-

Данные электролиза подтверждают описанный выше химизм взаимодействия между компонентами системы и предложенный нами механизм электролитической диссоциации, образующегося в системе роданистоводородного аллилпиперидина.

Измерение э. д. с. Еще Н. С. Курнаковым в 1928 г. [7] было указано на то, что измерение э. д. с. гальванических элементов может служить одним из методов физико-химического анализа. Однако, насколько нам известно, до настоящего времени было сравнительно мало попыток реализации этой возможности. Между тем в практике физико-химического анализа часто встречаются случаи, когда при смешивании компонентов системы, каждый из которых в чистом виде практически не проводит электрического тока, смеси их обладают весьма значительной электропроводностью ($\kappa > 10^{-3}$). Для таких ионогенных систем, как нам кажется, измерение э. д. с. в зависимости от состава смеси может привести к цен-

пругет на анион SCN^- и катион



мы для измерения сочли возможным избрать в качестве индикаторного электрод, обратимый по отношению к водородным ионам (водородный или стеклянный). Хотя Дол [8] в свое время утверждал, что стеклянный электрод не пригоден для измерения в неводных средах, однако многочисленными работами Н. А. Измайлова и его школы [9—11], а также нашими [12], показана применимость стеклянного электрода для измерения в неводных средах как кислого, так и основного характера.

В качестве электрода для сравнения был взят насыщенный каломельный полуэлемент. Для устранения попадания воды в сосуд с исследуемым раствором и уменьшения диффузионного потенциала между раствором и водным каломельным электродом включались мосты с припаянными пробками и промежуточный сосуд с концентрированным раствором NH_4NO_3 в пиридине (рис. 5).

На рис. 6 изображены кривые зависимости э. д. с. от состава смесей гальванических элементов, состоящих из водородного и каломельного, а также стеклянного и каломельного электродов. Эти кривые напоминают кривые потенциометрического титрования—реакции нейтрализации и отражают механизм электрохимических процессов, протекающих в системе.

Выводы

1. Различными методами изучена система аллиловое горчичное масло — пиперидин после нагревания. Установлено, что в системе, кроме замещенной тиомочевины, образуется роданистоводородный аллилпиперидин, являющийся электролитом.

2. На основании данных электролиза предложен механизм электролитической диссоциации этого электролита.

3. Показано, что при нагревании концентрация роданистоводородного аллилпиперидина в смесях возрастает.

4. Впервые эта система изучена методом измерения э. д. с.

Поступила
24.II.1958

ЛИТЕРАТУРА

1. Н. С. Курнаков, Собрание избранных работ, т. 1, 1938, стр. 219.
2. Н. А. Трифонов, Изв. Пермск. биол. н.-и. ин-т, **7**, 343, 1931.
3. С. П. Мискиджян и Ф. Н. Козленко, Сообщ. Всес. хим. о-ва им. Д. И. Менделеева, **3**, 37, 1953.
4. С. П. Мискиджян, Ж. общ. химии, **26**, 1046, 1956.
5. С. П. Мискиджян, Ж. общ. химии, **27**, 1957.
6. К. Брокман, Электрохимия органических соединений, 1937, стр. 183.
7. Н. С. Курнаков, Введение в физико-химический анализ, 1940, стр. 77.
8. М. Дол, Основы теоретической и экспериментальной электрохимии, 1937, стр. 372.
9. Н. А. Измайлов, М. А. Бельгова, Ж. общ. химии, **8**, 1873, 1938.
10. Н. А. Измайлов, Т. Ф. Францевич-Заблудовская, Ж. общ. химии, **15**, 283, 1945, **16**, 501, 1946.
11. Н. А. Измайлов, А. М. Александрова, Ж. общ. химии, **19**, 1402, 1949; **20**, 2127, 1950.
12. Ф. Н. Козленко, Тезисы докладов совещания по вопросу влияния растворителей на свойства электролитов; Харьков, 1957, стр. 25—26.

ELECTROLYTIC DISSOCIATION IN NON-AQUEOUS SYSTEMS

S. P. Miskidzhyan, F. N. Kozlenko and I. A. Volina (L'vov)

Summary

It has been shown that in the reaction between allylic mustard oil and piperidine, alongside allyl-piperidyl-thiourea, allylpiperidyl thiocyanate is formed. The latter is an electrolyte and responsible for the considerable electroconductivity of solutions of this system.

The concentration of this compound in the mixture increases on heating. A mechanism of its electrolytic dissociation has been proposed on the basis of electrolysis data. The system has been studied by the emf method for the first time.

ИЗМЕРЕНИЕ ЭЛЕКТРОПРОВОДНОСТИ РАСТВОРОВ НА ВЫСОКИХ ЧАСТОТАХ БЕЗЭЛЕКТРОДНЫМ СПОСОБОМ

С. В. Усиков

За последнее время для измерения электропроводности находят применение так называемые безэлектродные способы. В литературе описано несколько разновидностей таких измерений [1—3], которые основываются на изменении полной проводимости или затухания.

В настоящей статье рассматривается метод определения электропроводности по активной составляющей безэлектродным способом, который позволяет работать в более широком диапазоне измеряемой величины. Этот метод дает возможность сравнительно просто изучать электропроводность жидких сред на различных частотах.

Безэлектродные способы подразделяются на конденсаторные и индукционные. Конденсаторные способы применяются чаще в силу своей простоты и удобства. На рис. 1 показана такая ячейка и ее эквивалентные схемы, которые позволяют получить хорошее согласие с экспериментальными данными.

Полная проводимость эквивалентной схемы рис. 1, а может быть представлена в комплексной форме:

$$I = \frac{\frac{1}{R} \omega^2 C_1^2}{R^2 + \omega^2 (C_1 + C_2)^2} + g \frac{\frac{\omega C_1}{R^2} + \omega^3 (C_1 C_2^2 + C_2 \cdot C_1^2)}{R^2 + \omega^2 (C_1 + C_2)^2}, \quad (1)$$

$$g = \frac{\frac{1}{R} \omega^2 C_1^2}{R^2 + \omega^2 (C_1 + C_2)^2} \quad (2)$$

активная составляющая, обусловленная превращением электрической энергии в тепловую, и

$$b = \frac{\frac{\omega C_1}{R^2} + \omega^3 (C_1 C_2^2 + C_2 C_1^2)}{R^2 + \omega^2 (C_1 + C_2)^2} \quad (3)$$

реактивная составляющая, обусловленная смещением зарядов в веществе; C_1 — емкость стенок сосуда, C_2 — емкость раствора.

Анализ активной составляющей g показывает, а опытные данные подтверждают, что зависимость $g = f(1/R)$ можно использовать для измерения электропроводности безэлектродным способом [4].

На рис. 2 представлены опытные зависимости активной проводимости от $1/R$, полученные для различных концентраций KCl в воде и снятые на частотах 4, 5 и 6 мГц методом, который рассматривается ниже. Кривые на рис. 2 идентичны характеристикам, полученным мостовым методом [4].

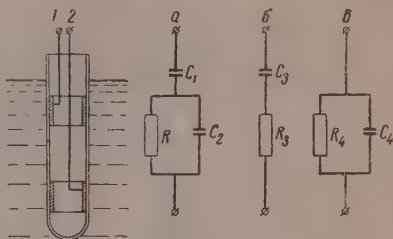


Рис. 1. Принципиальная схема емкостной ячейки и ее эквивалентные схемы

Это лишний раз подтверждает правильность выбора эквивалентных схем для ячейки.

Левый спад характеристики рис. 2 близок к прямой зависимости при малых $1/R$. Значение $1/R$, соответствующее g_{\max} , определяется приравнянием к нулю производной g по $1/R$.

$$\left(\frac{1}{R}\right)_{\max} = \omega(C_1 + C_2). \quad (4)$$

Уравнение (4) показывает, что диапазон измерения $1/R$ увеличивается с ростом частоты ω . При $\omega = \infty$, $(1/R)_{\max} = \infty$.

На рис. 3 представлена принципиальная схема устройства для измерения электропроводности по активной составляющей безэлектродным способом. Схема рис. 3 включает в себя феррорезонансный стабилизатор

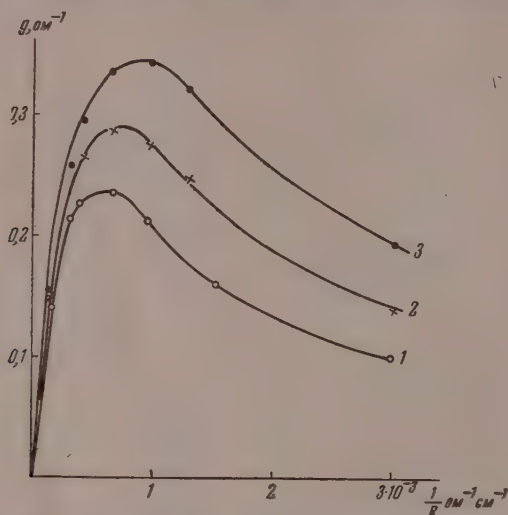


Рис. 2. Зависимость активной высокочастотной проводимости от низкочастотной: 1—4; 2—5 и 3—6 мГц

генератор и усилитель высокой частоты, собранные на лампе 6Н15П. Измерительный контур, слабо связанный с генератором, катодный вольтметр типа ВКС-7 и ячейку. Измерительный контур изготовлен из трех миллиметровой посеребренной трубки. Частота генератора соответствует 5,2 мГц.

Используя известные качества параллельного резонанса в электрических цепях [5], можно определить величину активной составляющей полной проводимости

$$g = g_k \frac{U_0 - U_1}{U_1}, \quad (5)$$

где U_0 — напряжение, измеренное катодным вольтметром при настройке измерительного контура в резонанс конденсаторам C_k с отключенной ячейкой, U_1 — напряжение, измеренное при резонансе с подключенной ячейкой, g_k — проводимость контура при резонансе без ячейки:

$$g_k = \frac{1}{R_c} \frac{U_c}{U_0 - U_c} \quad (6)$$

(R_c — угольное или керамическое безындукционное сопротивление, U_c — напряжение при подключенном R_c параллельно переменному конденсатору).

Практически для нахождения $1/R$ нет необходимости пользоваться формулами (5) и (6). Поскольку напряжение на конденсаторе C_K при резонансе является функцией активной проводимости g и не зависит от природы электролита [4], величину $1/R$ удобнее всего оценивать значениями напряжения. Для этого необходимо лишь проградуировать показания вольтметра по известным значениям $1/R$.

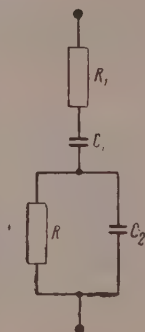


Рис. 4

Рис. 4. Эквивалентная схема емкостной ячейки с ограничительным сопротивлением

$$R_3 = \frac{R}{1 + \omega^2 C_2^2 R^2}. \quad (7)$$
$$R_{1, \text{max}} = \frac{1}{\omega \cdot C_2}. \quad (8)$$

С подключением последовательно с ячейкой сопротивления R_1 уменьшается предел измерения $1/R$ и чувствительность. Предел и чувствительность увеличиваются, если предусмотреть ступенчатое отклонение R_1 .

Эквивалентная схема с ограничительным сопротивлением примет вид показанный на рис. 4, откуда вытекает, что если $R = 0$ или близко к нулю активная составляющая полной проводимости будет

$$g_{1, \text{ макс}} = \frac{\omega^2 C_1^2 R_1}{1 + \omega^2 C_1^2 R_1^2}. \quad (9)$$

Подставляя в уравнение (9) значение $R_1 = 1/\omega C_2$, получим

$$g_{1, \text{ макс}} = \omega \cdot \frac{C_1^2 C_2}{C_1 + C_2}. \quad (10)$$

Верхний предел измерения $1/R$ находится на основании рис. 4 по полной проводимости приравниванием ее активной составляющей $g_{1 \text{ макс}}$ из (10).

Для определения значения C_1 ячейку погружают в ртуть или в раствор с весьма хорошей проводимостью и отмечают C_{K1} с отключенной ячейкой и C_{K2} с подключенной ячейкой при резонансе измерительного контура (рис. 3). По разности этих значений находится C_1 .

Для определения значения C_2 ячейку погружают в анализируемый раствор и так же, настраивая измерительный контур в резонанс, отмечают значение $C_K = C_4$ (см. схему рис. 1, б):

$$C_4 = \frac{C_1 C_2}{C_1 + C_2}, \quad (11)$$

откуда

$$C_2 = \frac{C_4 C_1}{C_1 - C_4}. \quad (12)$$

Метод определения $1/R$ может быть применен при осуществлении непрерывных измерений с температурной компенсацией. Компенсирующим элементом может служить термозависимая часть ограничительного сопротивления (или вся величина R_1).

На рис. 5 показана модель проточной ячейки, электроды которой помещены внутрь баллона 3 из фторопласта-3. При измерении баллон с электродами погружается в раствор так, чтобы верхний край электрода 2 находился ниже уровня жидкости.

Раствор для анализа поступает через нижний кран сосуда 4. В конструкции ячейки (рис. 5) выполняется неравенство $C_1 > C_2$. Поэтому градуировка ячейки может быть использована для определения электропроводности жидких сред различных растворителей, если их диэлектрические проницаемости близки.

На рис. 6 представлена зависимость $U = f(1/R)$, полученная при помощи растворов KCl в воде при различных концентрациях с известной

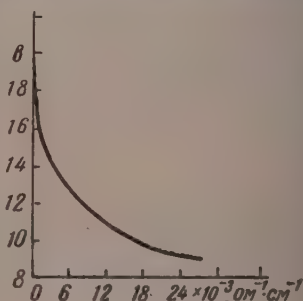


Рис. 6. Градуировочная характеристика

тропроводностью. При этом применялась схема рис. 3. Точность измерений в основном определяется точностью катодного вольтметра; при V она равна 1,5%.

Выводы

1. Безэлектродные методы измерения электропроводности жидкости преобладают обычные кондуктометрические методы и обладают некоторыми специфическими достоинствами. К ним можно отнести отсутствие окисления электродов, катализа и возможность вести измерения при высоких температурах. При этом нет необходимости использовать в качестве электродов платину и платинирование.
2. Безэлектродные методы целесообразно использовать, когда придется иметь дело с агрессивными жидкостями, при измерении электропроводности в проточных системах.
3. При измерении электропроводности с применением сравнительно высоких частот необходимо учитывать наличие максимума на кривой $f(1/R)$. Чтобы не заходить за пределы максимума, последовательно ячейкой необходимо включать ограничительное сопротивление, способ деления которого описан выше.
4. Безэлектродные методы позволяют осуществить без особой затраты времени и средств непосредственное показание без участия оператора и тем самым автоматического регулирования, например при дозировке какого-либо из жидких продуктов двухкомпонентной системы, если концентрация одного из них изменяется. Это имеет большое значение при осуществлении контроля и автоматизации химических производств.
5. Предлагаемый метод можно применить для определения электропроводности любых растворов на различных частотах: он позволяет изучать природу жидкостей, используя явление релаксации.

Государственный институт
прикладной химии

Поступила
24.II.1958

ЛИТЕРАТУРА

- F. Klutke, ATM, 98, 3514, 1950.
M. Salamon, P. Svitok, Chem. promysl., № 1, 10, 1956.
S. H. Gupta, G. J. Hills, J. Scient. Instrum., 33, 313, 1956.
Н. Делаксей, Новые приборы и методы в электрохимии, ИИЛ, М., 1957.
А. М. Бонч-Бруевич, Применение электронных ламп в экспериментальной физике, Гостехиздат, М., 1956, стр. 35—47.

ELECTRODELESS HIGH-FREQUENCY MEASUREMENT OF SOLUTION OF ELECTROCONDUCTIVITIES

S. V. Usikov (Leningrad)

Summary

A new method of measuring the electroconductivities of liquid media from the active conductivities ratio determined at high frequencies without the use of electrodes has been developed. In relation to this a technique has been proposed for measuring the limiting resistance.

The method permits investigation into the electroconductivity of liquids at different frequencies.

The nature of the change in high frequency electroconductivity g obtained by the new method from the low frequency conductivity has been ascertained.

The electrical scheme of the apparatus as well as the model of a flow cell have been developed.

ФАЗОВОЕ И ОБЪЕМНОЕ ПОВЕДЕНИЕ РАСТВОРОВ
АЦЕТИЛЕНА В АЦЕТОНЕ*

Д. С. Циклис, А. Н. Кофман и Л. И. Шендерей

Из литературы известно, что ацетон при низких температурах растворяет значительные количества ацетилена. Однако существующие литературные данные [1,2] разноречивы. Данных же об объемном поведении ацетиленовых растворов ацетилена в литературе мы не нашли**. С целью получения этих сведений*** и была поставлена настоящая работа.

Экспериментальная часть

Растворимость ацетилена в ацетоне определяли статическим методом, измеряя общее давление над раствором ацетилена в ацетоне при определенной температуре известной концентрации раствора. Для исследования была применена установка (рис. 1), состоявшая из пробирки 1 с градуированной нижней частью для измерения объема раствора и кран-шплифом 2, стеклянного манометра 3, служившего нуль-пробором, приемника 4, ртутного манометра 5 и дозирующей колбы 6.

Принцип метода заключается в том, что в пробирку 1, в градуированной части которой находится определенное количество ацетона, выпускают ацетилен из калиброванной колбы 6, давление и температура газа в которой известны. Измерив давление в колбе 6 после выпуска из нее ацетилена, можно подсчитать, сколько ацетилена вышло из колбы. Перемешав содержимое пробирки мешалкой 7, добиваются установления равновесия и измеряют давление в системе, определяя, какому общему давлению соответствует данная концентрация ацетилена в ацетоне.

Процедура опыта состоит в том, что пробирку 1 с находящимся в ней определенным количеством ацетона закрывают кран-шплифом и устанавливают трехходовой кран в положение, когда полость пробирки соединена с вакуум-насосом.

Затем подставляют под пробирку 1 прозрачный сосуд Дьюара, в котором находится смесь ацетона с твердой углекислотой, имеющая температуру -80°C , и охлаждают ацетон. Давление пара ацетона при этой температуре составляет $\sim 0,3$ мм рт. ст. Это обстоятельство позволяет откачать вакуум-насосом воздух, находящийся в системе.

Кран-шплиф переключают и через прозрачную полосу в сосуде Дьюара измеряют объем ацетона при -80°C . Пробирка градуирована с точностью до $0,02$ см³, и отсчет объема можно произвести с точностью до $0,01$ см³. Устанавливают кран 8 в положение, а кран 9 в положение — и измеряют стеклянным манометром**** давление в колбе. Для этой цели осторожно открывают кран, соединяющий колбу 6 с установкой, и в мере движения светового пятна выпускают в приемник 4 воздух, давление которого уравновешивает давление в полости манометра.

Далее поворачивают кран 9 в положение Т и соединяют полость пробирки толпы с дугой манометра. Теперь, манипулируя краном на колбе 6 и кран-шплифом, начинают выпускать газ в пробирку, перемешивая ее содержимое магнитной мешалкой. След за световым пятном, регулируют подачу ацетилена и наблюдают за давлением в пробирке. После того как растворение ацетилена закончится, отмечают давление в пробирке, поворотом крана 9 в положение — соединяют колбу 6 с манометром и измеряют давление ацетилена в колбе. Зная давление в колбе 6 до и после выпуска ацетилена можно подсчитать, сколько ацетилена вышло из колбы.

Затем закрывают кран 17, переключают кран 8 в положение Т и откачивают ацетилен из трубок установки и дуги манометра сначала водоструйным, а затем вакуум-насосом. Откачку производят для удаления инертных газов из дуги манометра. Примененный нами ацетилен содержал до 0,5% воздуха. Воздух растворяется в ацетоне

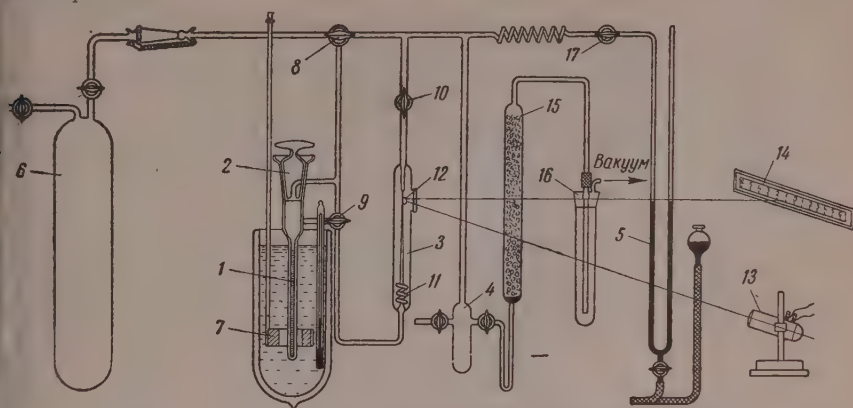
* В выполнении экспериментальной части работы принимали участие Г. С. Чекасова и Л. Ф. Абрамова (НИАТ).

** В работе [3] есть только указание на то, что такие данные получены.

*** По предложению Ю. В. Далаго и Г. Ф. Чепелюгина.

**** Конструкция стеклянного манометра и методика работы с ним были описаны в нашей предыдущей работе [4].

чительно хуже ацетилена, и в процессе опыта происходит накопление воздуха азовой фазе. Емкость дуги манометра и соединяющих трубок равна $\sim 10 \text{ см}^3$. При творении в ацетоне 100 см^3 ацетилена в дуге остается $\sim 0,5 \text{ см}^3$ воздуха, что составляет 5% объема дуги. Вследствие этого давление ацетилена в пробирке будет измерено неправильно.



с. 1. Установка для определения растворимости ацетилена в ацетоне и объемов створов: 1 — пробирка; 2 — кран-шлиф; 3 — стеклянный манометр; 4 — приемник; — ртутный манометр; 6 — дозирующая колба; 7 — мешалка; 8, 9, 10 и 17 — краны; — пружина; 12 — зеркальце; 13 — осветитель; 14 — шкала; 15 — осушитель; 16 — ловушка

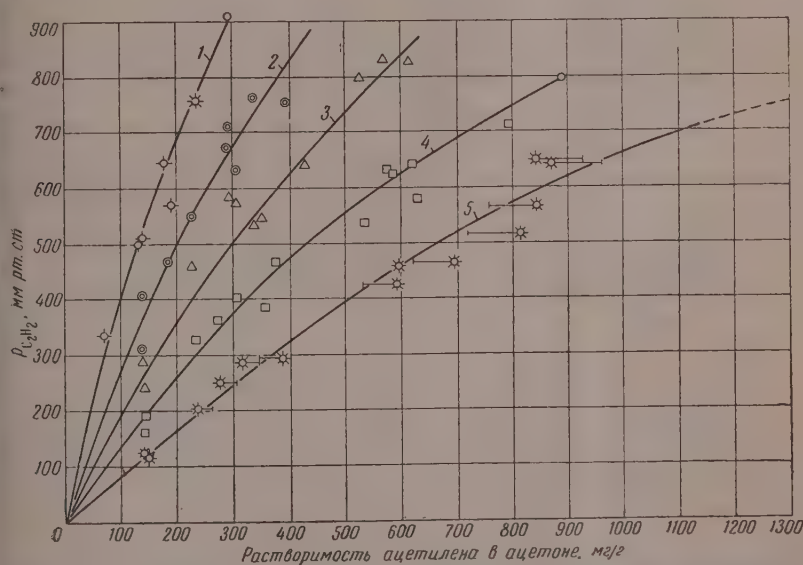


Рис. 2. Растворимость ацетилена в ацетоне, мг/г при различных температурах: 1—(-40°); 2—(-50°); 3—(-60°); 4—(-70°) и 5—(-80° C)

После откачки вновь впускают ацетилен из колбы 6 в трубки и дугу манометра давления, равного давлению в пробирке, и соединяют пробирку с дугой манометра. снова перемешивают содержимое пробирки. Давление в пробирке несколько уменьшается вследствие дополнительного растворения ацетилена из свежей порции газа, иданного в дугу. Повторение этой процедуры, как показал опыт, уже не приводило дальнейшему изменению давления.

Далее измеряют конечное давление в пробирке и объем раствора. Затем устанавливают более высокую температуру и вновь измеряют давление в пробирке и объем аствора и продолжают изменять температуру до тех пор, пока давление ацетилена не

достигнет атмосферного давления. Температуру в сосуде Дьюара поддерживали с точностью до $\pm 0,5^\circ \text{C}$ и измеряли трехспайной медь-константановой термопарой, калиброванной по точкам замерзания чистых четыреххлористого углерода ($-22,6^\circ \text{C}$) и изоамиллового спирта ($-117,2^\circ \text{C}$), а также проверенной по образцовому термометру.

Количество ацетилена, находящегося в газовой фазе, нетрудно вычислить, зная емкость пробирки 1 и дуги манометра и объем раствора при данной температуре. Поправку на понижение давления пара ацетона над раствором не вводили, так как даже при -40°C давление пара ацетона равно всего 5 мм рт. ст.

Для исследования был применен ацетон, осушенный алюмогелем и дважды перегнанный. Удельный вес его при 20° равен 0,7913. Баллонный ацетилен растворяли в охлажденном до -60°C ацетоне. Затем ацетон немного отепляли и выпускали выделившийся ацетилен в атмосферу, чтобы вместе с этими порциями ацетилена отделить малорастворимые в ацетоне газы. Чистый ацетилен собирали в колбу 6, пропустив его предварительно через активированный уголь для улавливания паров ацетона.

Для смазывания кранов установки была применена специальная смазка, не растворимая в ацетоне.

На описанной установке были получены данные, приведенные на рис. 2.

На рис. 2 нанесены (на изотерме -80°C) пределы погрешности определения, равные 10%. В этих пределах точки укладываются на плавную кривую. При более высоких температурах точность измерений больше.

Обсуждение результатов

Фазовые равновесия. Для обработки результатов мы воспользовались известным соотношением [5]

$$\lg \frac{P_2}{N_2} = \lg K - \beta(1 - N_1^2), \quad (1)$$

где $\beta = A/2.303RT$; A — коэффициент, K — коэффициент Генри, N_1 и N_2 мольные доли растворителя и растворенного вещества, а P_2 — парциальное давление последнего над раствором.

Это выражение справедливо в случае разбавленных растворов неэлектролитов, газовая фаза которых ведет себя, как идеальный газ. Отложив на графике $\lg \frac{P_2}{N_2}$ против $1 - N_1^2$ мы получили рис. 3, из которого видно, что точки удовлетворительно легли на прямые линии. В табл. 1 приведены вычисленные по наклону прямых значения $\lg K$, β и A для разных температур.

Таблица 1
Значения $\lg K$, β и A ацетилена, растворенного в ацетоне

Величина	-40	-50	-60	-70	-80°C
K , мм рт. ст.	2160	1390	950	580	250
β , мольн. доля	0,031	0,140	0,201	0,336	0,625
A , см ³ /ат	1360	5900	8060	12900	22800

По температурной зависимости коэффициента Генри

$$\lg K = 7.82 - 1034/T$$

можно вычислить теплоту перехода $\text{C}_2\text{H}_2[\text{r}] = \text{C}_2\text{H}_2$ (бесконечно разбавленный раствор ацетилена в ацетоне):

$$(\bar{H}_2 - H_2^*) = -4700 \text{ кал/моль},$$

где \bar{H}_2 — парциальное мольное теплосодержание ацетилена при $N_2 \rightarrow 0$, а H_2^* — мольное теплосодержание при бесконечно большом объеме.

Объемные соотношения. Из учения о парциальных мольных величинах [6] следует, что

$$v = v_1^0 N_1 + (\bar{v}_2 - a) N_2 + a N_1 N_2, \quad (2)$$

N_2 — мольная доля растворенного вещества, \bar{v}_2 — его парциальный мольный объем, когда $N_2 = 0$, a — коэффициент. Если это уравнение соблюдается во всей области концентраций от $N_2 = 0$ до $N_2 = 1$, то $\bar{v}_2 - a = v_2^0$ и

$$v = v_1^0 N_1 + v_2^0 N_2 + a_1 N_1 N_2, \quad (3)$$

где v_2^0 — мольный объем жидкого ацетилена [7].

Представим уравнение (2) в форме

$$\frac{v - v_1^0 N_1}{N_2} = (\bar{v}_2 - a) + a N_1. \quad (4)$$

Откладывая на графике $\frac{v - v_1^0 N_1}{N_2}$ против

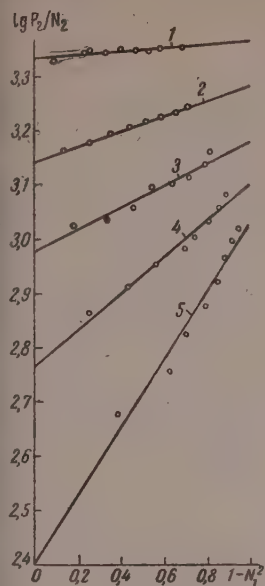


Рис. 3

Рис. 3. Прямые в координатах $\lg \frac{P_2}{N_2} - (1 - N_2^2)$ при различных температурах: 1—(—40°); 2—(—50°); 3—(—60°); 4—(—70°); 5—(—80° С)

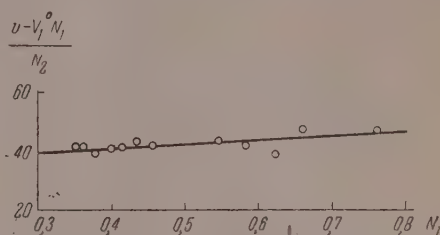


Рис. 4

Рис. 4. Прямая в координатах $\frac{v - v_1^0 N_1}{N_2} - N_1$ при —70°

, мы, при правильности перечисленных допущений, должны получить ямую линию (рис. 4).* Экспериментальные данные, полученные нами казывают, что с ростом концентрации ацетилена в растворе значительно возрастает объем раствора. Так при —80° С и концентрации ацетилена в растворе 60 вес. %, объем раствора в три раза больше объема, чистого ацетона (табл. 2).

Таблица 2

Изменение объема раствора ацетилена

Вес. % ацетилена в растворе	—40	—50	—60	—70	—80° С
5	1,090	1,080	1,079	1,085	1,075
10	1,190	1,175	1,069	1,176	1,165
15	1,282	1,272	1,268	1,267	1,255
20	1,388	1,253	1,369	1,376	1,368
25	1,490	1,498	1,557	1,495	1,482
30		1,520	1,605	1,620	1,615
40		1,930	2,230	1,940	1,960
50				2,478	2,410
60					3,070

* Исследованные растворы ацетилена в ацетоне настолько концентрированы, что западение вычисленных по уравнению Кричевского — Ильинского и экспериментальных данных (фазовых и объемных) во многом, по-видимому, случайно.

Такое увеличение объема сравнимо с увеличением объема при смешении ацетона с жидким ацетиленом. При атмосферном давлении и -80° в 1 г ацетона растворяется 1,3 г ацетилена. Удельный объем ацетона при -80° С равен $1,12 \text{ см}^3/\text{г}$. Удельный объем жидкого ацетилена [8] при -83° С равен $1,77 \text{ см}^3/\text{г}$. Тогда общий объем

$$v = 1,12 + 1,77 \cdot 1,3 = 3,42 \text{ см}^3/\text{г}.$$

Увеличение объема равно $3,42 : 1,12 = 3,05$. Следует ожидать, что при -80° С и более высоких давлениях жидкий ацетилен будет смешиваться с ацетоном во всех отношениях.

Полученные нами прямые (рис. 3) могут служить для интерполяции полученных данных. Что же касается уверенной экстраполяции, то она возможна в том случае, если зависимость (2) правильна во всем интервале концентраций от $N_2 = 0$ до $N_2 = 1$. При этом прямая должна пересечь ординату $1 - N_1 = 1$, т. е. при $N_2 = 1$ в точке, где значение $\lg \frac{P_2}{N_2}$ равно значению давления пара жидкого ацетилена при данной температуре. При -80° С прямая пересекает ординату в точке, где $\lg \frac{P_2}{N_2} = 3,02$ или $P_2 = 1065 \text{ мм рт. ст.}$ Давление насыщенного пара чистого ацетилена при -80° С равно 1000 мм рт. ст. Совпадение этих значений позволяет экстраполировать данные по растворимости ацетилена до более высоких давлений (табл. 3).

Таблица 3
Растворимость ацетилена в ацетоне при -80° С, молярная доля $\times 10^2$

P , ацет., мм рт. ст. $N_2 \cdot 10^2$	776	889	1040	1240	1530
	77,6	80,0	82,7	85,8	90,0

Авторы считают своим приятным долгом выразить благодарность И. Р. Кричевскому за внимание к работе и ценные советы.

Выводы

1. Измерена растворимость ацетилена в ацетоне при температурах -40 , -50 , -60 , -70 , -80° С и давлениях до атмосферного.
2. Показано, что растворимость ацетилена в ацетоне может быть передана уравнением И. Р. Кричевского — А. А. Ильинской. Вычислена теплота растворения ацетилена в ацетоне.
3. Измерены объемы растворов ацетилена в ацетоне.

Поступила
26.II.1958

ЛИТЕРАТУРА

1. V. Brameld, N. T. Clark, J. Soc. Chem. Ind. 56, 58, 1946.
2. A. N. Clark, J. de la Soudre, 42, 80, 1952.
3. P. Hollemann, R. Hasselman, Chem.-ind.-Techn., 25, 466, 1953.
4. Д. С. Циклис и Г. М. Светлова. Ж. физ. химии, 32, 1476, 1958.
5. И. Р. Кричевский, Фазовые равновесия в растворах при высоких давлениях, ГХИ, 1952.
6. И. Р. Кричевский и А. А. Ильинская, Ж. физ. химии, 19, 621, 1945.
7. Е. В. Бирон, ЖРФ-ХО, ч. хим., 41, 569, 1909 (цитировано по [5]).
8. И. И. Стрижевский и А. С. Фалькевич, Производство ацетилена и карбида кальция, ГИХЛ, 1949.

PHASE AND VOLUMETRIC BEHAVIOR OF SOLUTIONS OF ACETYLENE IN ACETONE

D. S. Tsiklis, A. N. Kofman and L. I. Shenderei (Moscow)

Summary

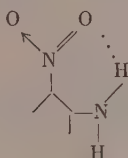
The solubility of acetylene in acetone has been measured at temperatures ranging from -40 to -80° С and pressures up to 1 atm. The volumes of the solutions under these conditions have been measured. It has been shown that the solubility may be expressed by the Krichevskii-Ilyinskaya equation. The heats of solution of acetylene in acetone have been calculated.

ВНУТРИМОЛЕКУЛЯРНАЯ ВОДОРОДНАЯ СВЯЗЬ И ДИПОЛЬНЫЕ МОМЕНТЫ ОРГАНИЧЕСКИХ СОЕДИНЕНИЙ

У. НИТРОАНИЛИНЫ И ИХ N-МЕТИЛ- И N,N-ДИМЕТИЛПРОИЗВОДНЫЕ

А. Е. Луцкий и Б. П. Кондратенко

Наличие в молекуле *o*-нитроанилина, как и у его аналогов — 1,2-дinitронафтиламинов, внутримолекулярной водородной связи с участием водорода N—H группы:



ходит свое проявление как в макрофизических свойствах [1], так и в спектрах поглощения в ближнем ультрафиолете [2] и инфракрасной области [3]. Как было показано ранее [4], в случае замещенных фенола с такого рода связью вследствие образования при этом *цис*-конфигурации имеет место: а) аномальное снижение дипольного момента молекулы сравнительно с таковым у параизомера и, в отличие от последнего, б) снижение момента сравнительно с рассчитанным при условии свободного вращения взаимодействующих групп, в) почти неизменное его значение сравнительно с исходным, не содержащим гидроксила замещенным бензолом; резкое увеличение момента при переходе к эфиру и д) незначительный эффект. Представляет интерес выяснить характер влияния такого рода связи с участием N—H группы на особенности дипольных моментов замещенных анилина. В связи с этим были измерены при 25° значения электрической проницаемости $\epsilon_{1,2}$ и плотности $d_{1,2}$ анилина, метиланилина и диметиланилина и их *o*-, *m*- и *p*-нитрозамещенных в бензоле и диоксане в качестве растворителей. Синтез некоторых из изученных веществ, очистка всех веществ и растворителей, методика измерения $\epsilon_{1,2}$ и $d_{1,2}$ приведены в [5], а результаты измерений — в табл. 1 и 2. Рассчитанные значения P_{∞} , как и значения P_{e+a} и $\mu \cdot 10^{18}$ даны в табл. 3. Там же приведены имеющиеся литературные данные для дипольных моментов некоторых из изученных нами веществ, а также значения моментов, рассчитанные по формуле Фукса [6] при условии свободного вращения функциональных групп в молекуле. При этом для amino- и диметиламиногрупп приняты значения углов наклона их момента к кольцу соответственно 47° и 33°, а для метиламиногруппы — приближенное значение 40°, что оправдывается близостью рассчитанного по указанной формуле момента с наблюдаемым в случае, например, *m*-N-метиламинотолуола. При расчете P_{e+a} принималось, что $P_{e+a} = 1,05 MR_D$, а молярная рефракция MR_D для *m*- и *p*-нитроанилинов в диоксане, несколько более повышенной, чем в бензоле [8].

Как следует из табл. 3, литературные данные для моментов некоторых изученных веществ колеблются в весьма широком интервале. Полученные нами значения моментов анилина в бензоле и диоксане почти совпа-

Таблица 1

 $d_{1,2}$ и $\epsilon_{1,2}$ растворов в бензоле

Соединение	Мол. %	$d_{1,2}$	$\epsilon_{1,2}$	Соединение	Мол. %	$d_{1,2}$	$\epsilon_{1,2}$
Анилин	0,0868	0,87374	2,2765	м-Нитро-метил-анилин	0,0511	0,87389	2,2971
	0,2682	0,87404	2,2828		0,0928	0,87408	2,3122
	0,5319	0,87446	2,2918		0,1314	0,87224	2,3280
	0,6994	0,87473	2,2935		0,1824	0,87440	2,3484
	0,9039	0,87505	2,3045		0,2384	0,87464	2,3698
о-Нитро-анилин	1,1302	0,87540	2,3124	п-Нитро-метил-анилин	0,0154	0,87369	2,2834
	0,0203	0,87349	2,2796		0,0274	0,87377	2,2907
	0,0437	0,87363	2,2859		0,0404	0,87385	2,2994
	0,0630	0,87374	2,2912		0,0517	0,87393	2,3068
	0,0885	0,87390	2,2971		0,0661	0,87401	2,3150
м-Нитро-анилин	0,1120	0,87402	2,3048	Диметил-анилин	0,0315	0,87365	2,2750
	0,0312	0,87373	2,2856		0,0778	0,87369	2,2768
	0,0565	0,87389	2,2923		0,1713	0,87379	2,2802
	0,0892	0,87408	2,3042		0,2623	0,87391	2,2836
	0,1169	0,87427	2,3119		0,4513	0,87412	0,2905
п-Нитро-анилин	0,1612	0,87454	2,3271	о-Нитро-диметил-анилин	0,6069	0,87432	2,2942
	0,0106	0,87345	2,2803		0,0490	0,87416	2,2848
	0,0299	0,87353	2,2911		0,0983	0,87447	2,2965
	0,0534	0,87369	2,3035		0,1493	0,87472	2,3088
	0,0717	0,87376	2,3144		0,1971	0,87499	2,3202
Метил-анилин	0,0930	0,87390	2,3266	м-Нитро-диметил-анилин	0,2472	0,87523	2,3325
	0,1451	0,87372	2,2806		0,0656	0,87401	2,2993
	0,2478	0,87389	2,2852		0,1108	0,87425	2,3172
	0,3593	0,87405	2,2898		0,1807	0,87461	2,3446
	0,4708	0,87424	2,2940		0,2343	0,86489	2,3651
о-Нитро-метил-анилин	0,5698	0,87439	2,2974	п-Нитро-диметил-анилин	0,3009	0,87521	2,3918
	0,0328	0,87358	2,2817		0,0228	0,87371	2,2893
	0,0495	0,87368	2,2865		0,0516	0,87389	2,3093
	0,0736	0,87382	2,2932		0,0830	0,87408	2,3321
	0,0973	0,87395	2,2997		0,1150	0,87428	2,3531
	0,1194	0,87406	2,3059		0,1600	0,87450	2,3868
	0,1398	0,87417	2,3115				

дают (при учете и P_a) с результатами наиболее тщательных измерений в работе [9], а в диоксане заметно понижено сравнительно с приведенным в [10]. Лишь при измерениях с весьма низкими концентрациями получались значения (1,85 D), близкие к данным последних. Для о-нитроанилина в бензоле более справедливо значение момента, ранее приведенное в работе [11]; для п-нитроанилина же его данные (7,1 D) не подтверждаются и более верным является значение 6,3—6,4 D [9, 12]. Предположение о необходимости (вследствие возможного влияния влаги при измерении $\epsilon_{1,2}$) принять для последнего наиболее низкое из известных значение момента (6,1 D) [13] является, по-видимому, необоснованным. Для п-нитродиметиланилина в бензоле также справедливо более высокое из приводимых в литературе [14] значений момента.

Сопоставление значений дипольных моментов изученных соединений показывает, что о-нитроанилин и о-нитрометиланилин проявляют ряд указанных выше особенностей для дипольных моментов замещенных фенола с внутримолекулярной водородной связью. Так, эти соединения обладают аномально пониженным моментом сравнительно с его значением у их пара-изомеров, причем у первого $\Delta\mu = \mu_o - \mu_p$ в бензоле совпадает с таковым у о-нитрофенола (—1,92 D) [4]; сравнительно с дипольным моментом нитробензола о-нитроанилин и о-нитрометиланилин обнаруживают лишь незначительный прирост (на 0,4 D); о-нитрометиланилин обнаруживает в отличие от параизомера и подобно наблюдаемому у замещенных фенола с прочной внутримолекулярной водородной связью салицилового альдегида, о-оксиацетофенона и других [15] нормальный

Таблица 2

 $d_{1,2}$ и $\epsilon_{1,2}$ растворов в диоксане

едини- це	Мол. %	$d_{1,2}$	$\epsilon_{1,2}$	Соедине- ние	Мол. %	$d_{1,2}$	$\epsilon_{1,2}$
Анилин	0,5166	1,02749	2,2530	м-Нитро- метил- анилин	0,0431	1,02756	2,2464
	1,0934	1,02759	2,2813		0,0834	1,02768	2,2648
	1,6607	1,02769	2,3088		0,1425	1,02788	2,2902
	2,2135	1,02777	2,3350		0,1819	1,02804	2,3082
	2,7653	1,02785	2,3621		0,2388	1,02824	2,3322
Нитро- анилин	0,0258	1,02753	2,2354	п-Нитро- метил- анилин	0,0430	1,02753	2,2610
	0,0471	1,02765	2,2416		0,0796	1,02765	2,2889
	0,0753	1,02774	2,2511		0,1134	1,02773	2,3146
	0,1091	1,02789	2,2623		0,1541	1,02785	2,3446
	0,1446	1,02813	2,2737		0,1839	1,02793	2,3674
Нитро- анилин	0,0207	1,02747	2,2366	Диметил- анилин	0,5250	1,02669	2,2511
	0,0466	1,02754	2,2477		1,2740	1,02565	2,2814
	0,0698	1,02760	2,2572		1,9540	1,02478	2,3100
	0,0876	1,02766	2,2650		2,6230	1,02393	2,3386
	0,1111	1,02772	2,2765		3,3300	1,02297	2,3681
Нитро- анилин	0,0199	1,02749	2,2403	о-Нитро- диметил- анилин	3,9680	1,02213	2,3984
	0,0440	1,02758	2,2574		0,0498	1,02751	2,2402
	0,0547	1,02762	2,2654		0,0990	1,02761	2,2537
	0,0673	1,02767	2,2740		0,1516	1,02773	2,2683
	0,0912	1,02776	2,2907		0,2032	1,02784	2,2828
Метил- анилин	0,4900	1,02709	2,2518	м-Нитро- диметил- анилин	0,2280	1,02788	2,2891
	0,9710	1,02677	2,2753		0,0716	1,02757	2,2564
	1,2270	1,02653	2,2884		0,1394	1,02773	2,2858
	1,6970	1,02629	2,3103		0,1859	1,02783	2,3061
	2,3370	1,02585	2,3405		0,2667	1,02802	2,3382
Нитро- метил- анилин	2,8300	1,02553	2,3639	п-Нитро- диметил- анилин	0,3300	1,02816	2,3684
	0,0603	1,02761	2,2443		0,0735	1,02765	2,2831
	0,1116	1,02772	2,2595		0,1373	1,02789	2,3304
	0,1949	1,02805	2,2813		0,2184	1,02813	2,3906
	0,2311	1,02817	2,2941		0,3195	1,02849	2,4635
	0,2707	1,02829	2,3057		0,3964	1,02873	2,5173

токсановый эффект; *о*-нитроанилин же, обнаруживая заметное значение $\Delta\mu = \mu_d - \mu_c$ (но в два раза меньше, чем у параизомера), ведет себя подобно, например, пирокатехину, у которого лишь один из водородов заступает в образовании водородной связи внутри молекулы, а второй — свободен для возможного участия в образовании комплексов с молекулами диоксана [15].

Однако некоторые из указанных особенностей дипольных моментов замещенных фенола с внутримолекулярной водородной связью и именно особенности, касающиеся соотношения наблюдаемых и рассчитанных моментов, моментов исходного вещества и соединения, у которого водород, участвующий в образовании водородной связи, заменен на алкильную группу, у нитроанилинов не соблюдается. Так, дипольные моменты нитроанилина и *о*-нитрометиланилина не ниже, а выше, чем рассчитанные для свободного вращения групп, а сравнительно с *о*-нитродиметиланилином они обладают не меньшим, а большим значением момента. По-видимому, у нитроанилинов накладываются, кроме образования водородной связи, другие формы взаимодействия функциональных групп, маскирующие проявление некоторых из наблюдаемых у соответствующих замещенных фенола особенностей дипольных моментов, вызванных внутримолекулярной водородной связью. Этими возможными формами взаимодействия функциональных групп могут быть в первую очередь *п*—*п*-сопряжение и стерический эффект у *о*-нитродиметиламинопроизводных.

Действительно, *п*- или *п*, *п'*-дизамещенные бензола, нафталина, дифенила с нитро- и амино (диметиламино-) группами обнаруживают наиболее значительное из всех заместителей превышение наблюдаемого момента над

Таблица 3

Значения дипольных моментов нитроанилинов

Соединение	$P_{200}^{\text{в}}$		$P_{\text{с-г-а}}$	$\mu \cdot 10^{18}$ в		$\mu \cdot 10^{18}$ (литер.) в		$\Delta \mu = \mu_{\text{с-г-а}} - \mu_{\text{в}}$	$\Delta \mu = \mu_{\text{с-г-а}} - \mu_{\text{в}} - \mu_{\text{с-г-а}}$ в C_6H_5	$\Delta \mu = \mu_{\text{с-г-а}} - \mu_{\text{в}} - \mu_{\text{с-г-а}}$ в C_6H_5	$\mu_{\text{с-г-а}}$ (расч.) по [6]	$\Delta \mu = \mu_{\text{с-г-а}} - \mu_{\text{в}} - \mu_{\text{с-г-а}}$ в C_6H_5	$\Delta \mu = \mu_{\text{с-г-а}} - \mu_{\text{в}} - \mu_{\text{с-г-а}}$ в C_6H_5
	C_6H_5	$\text{C}_6\text{H}_4\text{O}_2$		C_6H_5	$\text{C}_6\text{H}_4\text{O}_2$	C_6H_5	$\text{C}_6\text{H}_4\text{O}_2$						
$\text{C}_6\text{H}_5\text{N(H)H}_2$	76,5	96,4	34,8	4,47	4,76	4,505	4,60	4,750	4,90	—	—	—	—
<i>o</i> - $\text{C}_6\text{H}_4(\text{NO}_2)\text{N(H)H}_2$	437,3	493,3	39,6	4,38	4,68	4,23	4,45	—	—	—	3,74	+0,67	+0,08
<i>m</i> - $\text{C}_6\text{H}_4(\text{NO}_2)\text{N(H)H}_2$	524,8	609,7	39,6	4,83	5,24	4,68	5,00	5,22	—	—	4,66	+0,47	+0,37
<i>n</i> - $\text{C}_6\text{H}_4(\text{NO}_2)\text{N(H)H}_2$	865,5	1033,8	39,6	6,33	6,92	6,43	7,4	6,68	—	—	5,06	+1,27	+0,40
$\text{C}_6\text{H}_5\text{N(H)CH}_3$	98,2	104,7	37,44	4,74	4,76	4,64	4,77	4,83	—	—	—	—	+0,63
<i>o</i> - $\text{C}_6\text{H}_4(\text{NO}_2)\text{N(H)CH}_3$	438,6	454,5	45,3	4,36	4,45	—	—	—	—	—	—	—	+0,46
<i>m</i> - $\text{C}_6\text{H}_4(\text{NO}_2)\text{N(H)CH}_3$	644,8	674,9	45,3	5,25	5,54	—	—	—	—	—	—	—	+0,35
<i>n</i> - $\text{C}_6\text{H}_4(\text{NO}_2)\text{N(H)CH}_3$	964,4	1122,4	45,3	6,66	7,22	—	—	—	—	—	—	—	+0,02
$\text{C}_6\text{H}_5\text{N(CH}_3)_2$	92,6	98,8	42,8	4,55	4,64	4,39	4,61	4,63	—	—	—	—	+0,30
<i>o</i> - $\text{C}_6\text{H}_4(\text{NO}_2)\text{N(CH}_3)_2$	383,2	433,5	51,3	4,01	4,30	—	—	—	—	—	—	—	—
<i>m</i> - $\text{C}_6\text{H}_4(\text{NO}_2)\text{N(CH}_3)_2$	617,4	645,2	51,3	5,23	5,36	—	—	—	—	—	—	—	—
<i>n</i> - $\text{C}_6\text{H}_4(\text{NO}_2)\text{N(CH}_3)_2$	1052,9	1145,9	51,3	6,96	7,27	6,45	6,95	—	—	—	—	—	—

рассчитанным при условии свободного вращения невзаимодействующих функциональных групп [16]. Так, например, если для $n = C_6H_4(OCH_3)X$ разнообразными X $\Delta\mu = \mu_{набл} - \mu_{расч}$ колеблется между 0,18 и 0,55 D, а у $n = C_6H_4(NH_2)X$ при $X = COCH_3, CN, COOCH_3$ и др. от -0,54 до 0,75, то при $X = NO_2$ равно 1,3 D. Поскольку у параизомеров вследствие значительного расстояния между функциональными группами (6 Å), как правило, отсутствует сколько-нибудь значительное индуктивное и стерическое взаимодействие групп [17], указанное $\Delta\mu$ обычно называют главным образом со смещением зарядов (миграцией электронов) вследствие $n-\pi$ -сопряжения в данном случае n -электронов азота или группы с π -электронами кольца и нитрогруппы, приводящее к росту электрической асимметрии молекулы [4, 16, 18]. Подтверждением этому может служить сравнительно малое положительное или даже отрицательное значение $\Delta\mu$ у соответствующих метаизомеров [4, 18]. Смещение зарядов в молекуле паразамещенных вследствие $n-\pi$ -сопряжения групп может быть приближенно оценено по формуле:

$$C_d^2 \approx \frac{\Delta\mu}{el_d}$$

3), а полное смещение (с учетом и смещения зарядов у монозамещенных, чем свидетельствуют данные для спектров протонного магнитного резонанса [19], и расчеты распределения электронного облака у монозамещенных бензола по методу молекулярных орбит [20]), по формуле:

$$C_d^2 = \frac{\Delta\mu + \sum_{i=1}^2 (\mu_{C_nH_nX} - \mu_{C_nH_{2n+1}X})^i}{el_d}$$

где $el_d = \mu_d$ — дипольному моменту при полном разделении зарядов — элементарный заряд, l_d — расстояние в ангстремах между электрондонорной и электроноакцепторной группами). Для n -нитроанилина, нитрометиланилина и n -нитродиметиланилина $el_d \approx 29D$ и C_d^2 (значения $\mu_{H_nX} - \mu_{C_nH_{2n+1}X}$ взяты из [21]) колеблется между 8—10%. Этот расчет является, естественно, сугубо приближенным, поскольку при этом не учитывается изменение вследствие сопряжения степени двоевзаимности — $\Sigma_{ар}$ связей и отсюда влияния на $\Delta\mu$ некоторого торможения свободного вращения групп и возможного изменения углов наклона моментов групп сравнительно с наблюдаемым у монозамещенных.

Эффект сопряжения групп наблюдается и у ортоизомеров, чем обычно объясняют некоторое возрастание момента у ортозамещенных фенола внутримолекулярной водородной связью сравнительно с рассчитанным для *цис*-конфигурации [15]. Очевидно, у *о*-нитроанилинов, у которых имеет место наложение большего, чем у других замещенных, эффекта сопряжения следует ожидать наиболее заметного превышения $\mu_{набл}$ над моментом, рассчитанным для фиксированной *цис*-конфигурации, стабилизируемой водородной связью. Действительно, у *о*-нитроанилина и *о*-нитродиметиланилина $\mu_{набл}$ превосходит значения моментов *цис*-конфигураций (3 и 3,14 D), рассчитанных по данным для моментов связей и углов между ними, приведенными в [7, 4] на 1 и 1,2 D. Этим можно качественно объяснить то, что у нитроанилинов в отличие от замещенных фенола имеет место превышение, а не снижение $\mu_{набл}$ сравнительно и с рассчитанным при условии свободного вращения групп.

У самых разнообразных дизамещенных бензола с электроноотталкивающей и электронопритягивающей группами (например, NO_2 и OCH_3 , $SOCH_3$ и OCH_3 , CN и CH_3 , J и CH_3 и другие) дипольный момент ортоизомера меньше такового параизомера на 0,2—0,7 D. Лишь при образовании внутримолекулярной водородной связи эта разница $\mu_o - \mu_n$ заметно возрастает и у ряда дизамещенных (например, $COOCH_3$ и NH_2 , NO_2 и OH ,

СОСН_3 и NH_2 и другие) достигает значения — 2,3—2,4 D. Еще более высокое отрицательное значение $\Delta\mu = \mu_0 - \mu_n$ (—2,95 D) у нитродиметиланилинов вызвано, по-видимому, наложением стерического эффекта, приводящего к отклонению от копланарности с кольцом функциональных групп и уменьшению степени их n - π -сопряжения [9]. Дипольный момент молекул *o*-нитродиметиланилина оказывается равным таковому у незамещенного нитробензола (4,01 и 3,95 D). Этот эффект выхода из копланарности находит свое проявление и в том, что дипольный момент многих ортозамещенных анилина, например *o*-толудида, *o*-аминостильбена и других при переходе к их диметиламинопроизводным не растет или почти не изменяется, как у их мета- и параизомеров, а наоборот, заметно снижается на 0,4—0,7 D [9, 16, 22]. Это же имеет место и у нитроанилинов, у которых в случае ортоизомера переход $\text{NH}_2 \rightarrow \text{N}(\text{CH}_3)_2$ уменьшает момент на 0,37 D, а у мета- и пара- вызывает рост на 0,4—0,6 D. Наложением эффекта отклонения функциональных групп от копланарности с кольцом можно, очевидно, объяснить и тот факт, что, в отличие от соответствующих замещенных фенола, замещение водородов, участвующих в образовании внутримолекулярной водородной связи на метильные группы вызывает у *o*-нитроанилина или *o*-нитрометиланилина не рост момента, а некоторое его снижение.

В отличие от других растворителей с тем же значением диэлектрической проницаемости, диоксан вызывает заметный рост дипольного момента у ароматических и гетероциклических аминов и иминов сравнительно с его значением в бензольном растворе [23, 12, 9]. Кроме *o*-нитрометиланилина, все изученные нами нитрозамещенные анилина и метиланилина также обнаруживают заметное положительное $\Delta\mu = \mu_d - \mu_0$, причем особенно высокое — у параизомеров. Лишь для метиланилина полученное нами значение $\Delta\mu = \mu_d - \mu_0$ заметно понижено сравнительно с приведенными в литературе. Аномальное значение указанного $\Delta\mu$ у рассматриваемых соединений, как и в случае фенола, нафтола и их замещенных, объясняют образованием комплексов с молекулами диоксана за счет водородных связей, причем эффект этого комплексобразования предполагается заметным лишь при условии наличия в молекуле условий для сопряжения групп и в тем большей мере, чем более склонны функциональные группы к сопряжению [12, 8, 24]. Однако полученные нами значения $\Delta\mu = \mu_d - \mu_0$ в случае *m*-нитроанилина и *m*-нитрометиланилина, как и некоторые литературные данные [8], показывают, что у метаизомеров наблюдается хотя и более низкий, чем у пара-, но все же аномальный рост момента в диоксане сравнительно с бензолом. Очевидно размер прироста момента в диоксане при образовании комплексов определяется не только эффектом сопряжения групп, но и степенью их индуктивного взаимодействия.

В отличие от диметиланилина и имеющихся данных для *n*-диметиламинобензальдегида и 2, 4, 6-трибромдиметиланилина изученные *o*- и *n*-нитродиметиланилины также обнаруживают заметный диоксановый эффект (хотя и меньший, чем соответствующие амино- и иминосоединения). Следует отметить, что такого рода аномальный эффект диоксана был обнаружен у *n*-нитродиметиланилина и при изучении спектров поглощения в ближнем ультрафиолете [25]. По-видимому, аномальный эффект диоксана может быть вызван не только образованием комплексов за счет водородной связи. Возможно, что причиной такого рода влияния диоксана может быть и определенная ориентация молекул компонентов смеси способствующая возникновению заметных индуцированных диполей.

Выводы

1. Определены значения дипольных моментов анилина, метиланилина, диметиланилина и их орто-, мета- и пара-нитрозамещенных в бензоле и диоксане при 25°.

2. Установлены особенности влияния внутримолекулярной водородной связи на дипольные моменты *o*-нитроанилина и *o*-нитрометиланилина.

3. Аномальный диоксановый эффект может быть вызван как образованием комплексов за счет водородных связей, так и индукцированием диполя при взаимной ориентации молекул диоксана и растворенного вещества. Размер диоксанового эффекта определяется не только возможностью степени сопряжения групп, но и индуктивным их взаимодействием.

Политехнический институт
им. В. И. Ленина
Харьков

Поступила
26.II.1958

ЛИТЕРАТУРА

- N. Sidgwick, W. Dash, J. Chem. Soc., 2586, 1922; А. Е. Луцкий, Ж. общ. химии, 26, 2295, 1956.
R. Morton, A. McGookin, J. Chem. Soc., 901, 1934; А. Е. Луцкий, В. Т. Алексеева, Ж. общ. химии, 29, 3004, 1959.
O. Wulf, U. Liddel, J. Amer. Chem. Soc., 57, 1464, 1935; D. Hathway, M. Flett, Trans. Faraday Soc., 45, 818, 1945.
А. Е. Луцкий, Ж. физ. химии, 23, 361, 1949; А. Е. Луцкий, Л. А. Кочергина, Ж. физ. химии, 33, 174, 1959; А. Е. Луцкий, Б. П. Кондратенко, Ж. общ. химии, 29, 2073, 1959.
Б. П. Кондратенко, Дипольные моменты нитроанилинов, Диссертация, Б-ка Харьков. политех. ин-та, гл. 1, 1958.
O. Fuchs, Z. phys. Chem., B. 14, 339, 1931.
А. Е. Луцкий, В. В. Дорофеев, Ж. физ. химии, 33, 331, 1959.
J. Smith, S. Walshaw, J. Chem. Soc., 3217, 1957.
A. Few, J. Smith, J. Chem. Soc., 753, 2663, 2781, 1949; C. Le Fèvre, R. Le Fèvre, J. Chem. Soc., 1130, 1936; R. Le Fèvre, W. Roberts, B. Smyth, J. Chem. Soc. 902, 1949.
W. Kumler, J. Halverstadt, J. Amer. Chem. Soc., 63, 2182, 1941.
Trans. Faraday Soc., 30, XXII, 1934 (таблица дипольных моментов).
L. Tiganik, Z. phys. Chem., B. 14, 135, 1931; B. Curran, G. Estock, J. Amer. Chem. Soc., 72, 4575, 1950.
F. Moll, E. Lippert, Z. Elektrochem., 58, 858, 1954.
E. Hertel, L. Luhrman, Z. phys. Chem., B. 44, 261, 1939.
B. Curran, et al. J. Amer. Chem. Soc., 65, 607, 1943, 67, 1835, 1945; 69, 1134, 1947.
П. Дебай, Полярные молекулы, ГНТИ, Москва, 1931, стр. 85—86; R. Marsden, L. Sutton, J. Chem. Soc., 599, 1936; E. Hertel, F. Lebok, Z. phys. Chem., B. 47, 315, 1940; N. Leonard, L. Sutton, J. Amer. Chem. Soc., 70, 1564, 1948; K. Everard, L. Sutton, J. Chem. Soc., 2826, 1951.
A. Weissberger, Journ. Organ. Chem., 2, 246, 1937.
M. Rogers, J. Amer. Chem. Soc., 77, 3681, 1955. M. Rogers, G. Barrow, F. Bordwell, J. Amer. Chem. Soc., 78, 1790, 1956.
P. Corio, B. Dailly, J. Amer. Chem. Soc., 78, 3043, 1956.
S. Nagakura, J. Tanaka, J. Chem. Phys., 22, 239, 1954; J. Roberts, D. Semenov, J. Amer. Chem. Soc., 77, 3152, 1955.
L. Sutton, Proc. Roy. Soc., A133, 668, 1931.
J. Fischer, Chem. Abstrs., 45, 2278, 1951.
Nature, 165, 239, 1950; K. Everard, L. Kumer, L. Sutton, J. Chem. Soc., 2807, 1951.
В. Г. Васильев, Я. К. Сыркин, Acta phys. Chim. URSS, 14, 414, 1941.— Ж. физ. химии, 15, 254, 1941; L. Short, J. Chem. Soc., 4584, 1952.
J. Smith, J. Chem. Soc., 109, 1953.
W. Kumler, J. Amer. Chem. Soc., 68, 1184, 1946.

INTRAMOLECULAR HYDROGEN BONDS AND THE DIPOLE MOMENTS OF ORGANIC COMPOUNDS

V. NITROANILINES AND THEIR N-METHYL- AND N, N-DIMETHYL DERIVATIVES

A. E. Lutskiĭ and B. P. Kondratenko (Kharkov)

Summary

The results of determinations of the dipole moments of aniline, methylaniline, dimethylaniline and their ortho, meta and para derivatives in benzene and dioxane have been presented. The effect has been examined on the dipole moment of intramolecular hydrogen bonds, mutual disposition of the functional groups of the molecule, substitution of benzene for dioxane as solvent, etc. The anomalous dioxane effect may be the result not only of the formation of complexes due to hydrogen bonding, but of induction of dipoles on orientation of the molecules. The magnitude of the dioxane effect is determined not only by the possibility and degree of conjugation of the groups, but by their inductive interaction.

ТЕРМОДИНАМИЧЕСКИЕ СВОЙСТВА СПЛАВОВ ГЕРМАНИЯ С ЦИНКОМ

Г. Ф. Воронин и А. М. Евсеев

Германий благодаря своим электрофизическим свойствам находит широкое применение в технике. До настоящего времени в литературе не описывались термодинамические свойства сплавов этого элемента. Исследование последних было бы полезным как для развития общих представлений о природе металлических растворов, так и, например, для разработки методов очистки германия от сопутствующих ему примесей.

Нами проведено исследование термодинамических свойств жидких твердых сплавов германий — цинк в интервале 342—466° С методом измерения давления насыщенного пара цинка. В применении к определению активности летучего компонента сплава простой и надежный вариант этого метода, основанный на использовании весов непрерывного взвешивания, описан нами в [1].

Экспериментальная часть

Эффузионной камерой служила тонкостенная кварцевая ампула весом 0,22 г и диаметром внутреннего отверстия около 1,4 мм. Для увеличения площади испарения вещества дно ампулы делалось плоским. Форма и размеры ампул обеспечивали постоянство скорости испарения во времени, что было проверено на чистом цинке. При помощи молибденовой проволоки ампула подвешивалась к кварцевым пружинным весам чувствительностью 47,6 мм/г. Платинородиевая термопара 1 помещалась внутри кварцевой трубки, изолированной от вакуумной части прибора (рис. 1). Испарившееся вещество конденсировалось в средней части прибора охлаждаемой водой; пружина весов предохраняла сыот конденсации на непаров диафрагмой 2.

Установка откачивалась до давления $1 \cdot 10^{-5}$ мм рт. ст. Во время опыта температура поддерживалась постоянной при помощи трехпозиционного фотореле с точностью 1°. Скорость испарения металла измерялась по скорости сжатия пружины весов — положение конца пружины через некоторые промежутки времени отмечалось при помощи катетометра с точностью отсчета 0,005 мм. Для приготовления сплавов использовались: цинк 99,99% чистоты и германий 99,95%-ной чистоты. Сплавление производилось в вакууме в молибденовом тигле с крышкой. Состав сплава рассчитывался с учетом испарившегося цинка и контролировался после окончания каждого опыта по весу оставшегося германия.

В настоящей работе мы несколько изменили методику проведения эксперимента по сравнению с [1], что позволило повысить точность полученных результатов. Каждый опыт проводился при постоянной температуре до полного испарения цинка из сплава. На рис. 2 представлены экспериментальные кривые зависимости величины сжатия пружины весов ΔL от времени опыта Δt для двух температур. Зная исходную навеску Zn и Ge, а также чувствительность весов, можно определить состав сплава в любой момент времени. Действительно:

$$N_{\text{Ge}} = \frac{g_{\text{Ge}} / M_{\text{Ge}}}{(g_{\text{Ge}} / M_{\text{Ge}}) + (g_{\text{Ge}} - x) / M_{\text{Zn}}}, \quad (1)$$

е N_{Ge} — мольная доля Ge в сплаве, содержащем в начале опыта g_{Zn} аммов Zn и g_{Ge} граммов Ge, M_{Zn} и M_{Ge} — соответствующие молекулярные веса, x — количество испарившегося цинка. (По данным [2] давление насыщенного пара Ge при температурах, при которых мы работали, очень мало, поэтому количеством испарившегося германия можно пренебречь.) Очевидно, если чувствительность весов A мм/г, то

$$x = \frac{\Delta L}{A}. \quad (2)$$

Подставив (2) в (1), получим

$$g_{Ge} = \frac{g_{Ge} M_{Zn}}{g_{Ge} M_{Zn} + g_{Zn} M_{Ge} - M_{Ge} \frac{\Delta L}{A}}. \quad (3)$$

Уклон касательной, проведенной кривой ΔL — $\Delta \tau$ в точке со значением ΔL , отвечающим данному составу сплава, даст, очевидно, скорость испарения цинка из сплава данного состава, выраженную величиной сжатия пружины весов в единицу времени.

Согласно формуле Кнудсена, следует ожидать прямой пропорциональности между величиной $\left(\frac{\Delta L}{\Delta \tau} \sqrt{T}\right)$ и давлением насыщенного пара цинка. На рис. 3 представлены кривые $\lg \left(\frac{\Delta L}{\Delta \tau} \sqrt{T}\right) - \frac{1}{T}$ для сплава Zn, где $\frac{\Delta L}{\Delta \tau}$ — скорость испарения

вещества, выраженная скоростью сжатия пружины весов, — абсолютная температура.

Теплота испарения чистого жидкого цинка при 435° , найденная по уклону прямой рис. 3, равна $26,9$ ккал/моль, а твердого цинка при 380° равна $28,3$ ккал/моль, что дает расхождение с литературными данными [4], не превышающее $7,5\%$.

Температуры плавления сплавов различного состава, найденные по этим кривым (рис. 3), хорошо соответствуют диаграмме состояния системы цинк — германий — цинк, исследованной в [5]. (Следует указать, что в диаграмме, приведенной в статье [6], допущен ряд неточностей.)

Это указывает на то, что величины $\left(\frac{\Delta L}{\Delta \tau} \sqrt{T}\right)$ действительно пропорциональны давлению насыщенного пара цинка. Так как активность цинка в сплавах равна

$$a_{Zni} = \frac{\left(\frac{\Delta L}{\Delta \tau} \sqrt{T}\right)_{Zni}}{\left(\frac{\Delta L}{\Delta \tau} \sqrt{T}\right)_{Zn}^0}, \quad (4)$$

то $\left(\frac{\Delta L}{\Delta \tau} \sqrt{T}\right)_{Zni}$ — величина, пропорциональная давлению насыщенного пара цинка в сплавах i -го состава, $\left(\frac{\Delta L}{\Delta \tau} \sqrt{T}\right)_{Zn}^0$ — то же для чистого

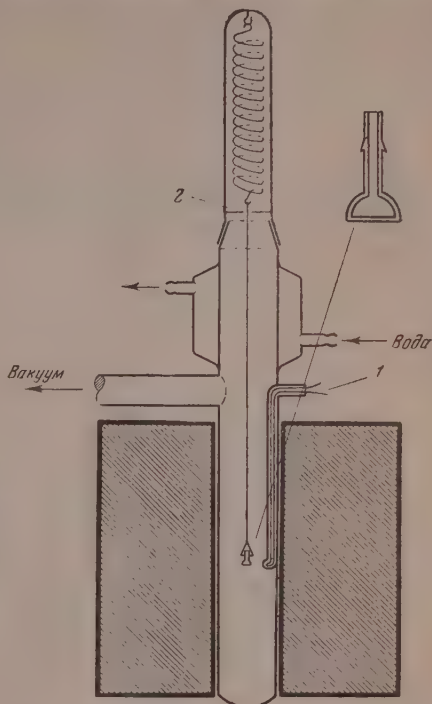


Рис. 1. Прибор для определения скорости испарения

жидкого цинка при той же температуре, то коэффициент активности цинка вычисляется по формуле:

$$\lg f_{Zn_i} = \lg \left(\frac{\Delta L}{\Delta \tau} \sqrt{T} \right)_{Zn_i} - \lg \left(\frac{\Delta L}{\Delta \tau} \sqrt{T} \right)_{Zn}^0 - \lg N_{Zn}. \quad (5)$$

Затем по формулам:

$$\overline{\Delta H}_{cm Zn_i} = 4,575 \frac{\Delta \lg f_{Zn_i}}{\Delta \frac{1}{T}} \quad (6)$$

$$\overline{\Delta Z}_{cm Zn_i} = 4,575 T \lg a_{Zn_i} \quad (7)$$

вычислялись парциальные молярные теплоты смешения и изобарный потенциал смешения для цинка при температуре 435° С. Соответствующие

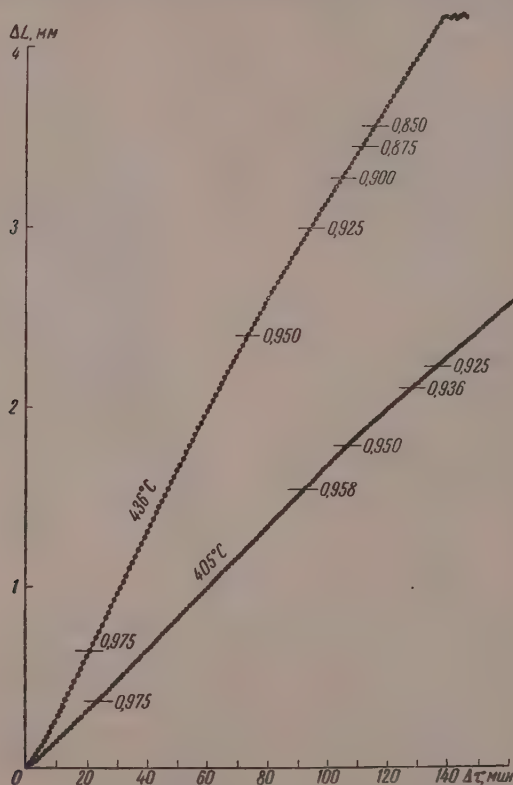


Рис. 2. Кривые испарения цинка из сплавов с меняющимся составом; указаны концентрации в молярных долях цинка

интегральные величины находились графическим интегрированием уравнений Дюгема—Маргулеса:

$$\Delta H_{cm_i} = N_{Ge} \int_0^{N_{Zn}} \overline{\Delta H}_{cm Zn_i} d \frac{N_{Zn}}{N_{Ge}}, \quad (8)$$

$$\Delta Z_{cm_i} = N_{Ge} \int_0^{N_{Zn}} \overline{\Delta Z}_{cm Zn_i} d \frac{N_{Zn}}{N_{Ge}}. \quad (9)$$

и этом необходимые для интегрирования парциальные величины от $n = 0,85$ до $N_{Zn} = 0,0$ вычислялись, исходя из того, что активность цинка в этой области составов постоянна. Это справедливо благодаря следующим обстоятельствам:

1) при 435° сплавы составов с $N_{Zn} = 0,90$ до $N_{Zn} = 0$ образуют двухфазную систему, состоящую из жидкого раствора Ge в Zn и твердого раствора в Ge; 2) промежуточных фаз в указанной области не наблюдается, что следует из [5] и подтвердилось нашими исследованиями; 3) согласно растворимость Zn в твердом Ge при 435° составляет $1 \cdot 10^{-8}$ мол. %, следовательно, изменением термодинамических функций в области твердых растворов Zn в Ge можно пренебречь.

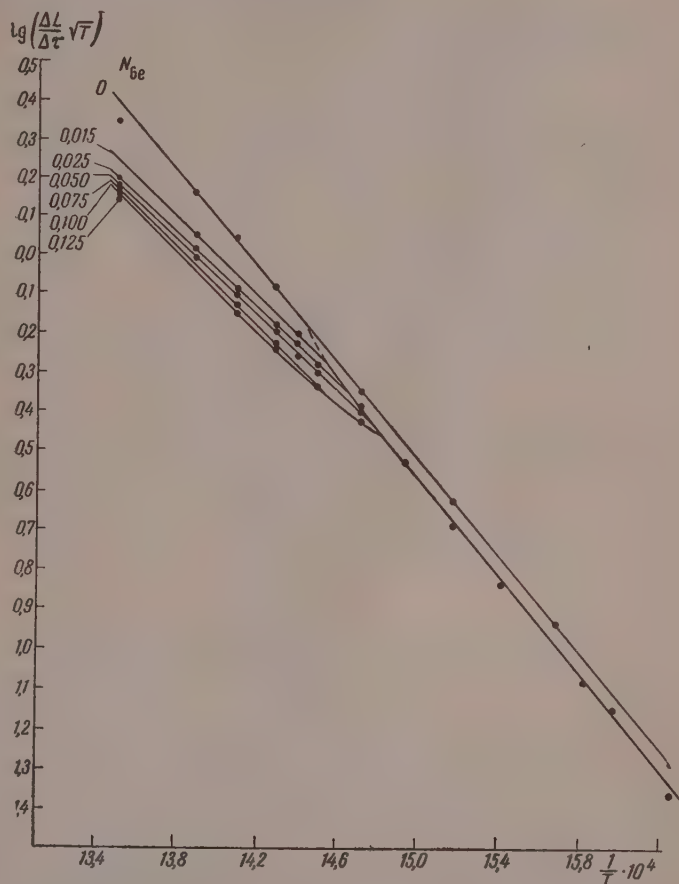


Рис. 3. Экспериментальные данные зависимости $\lg \left(\frac{\Delta L}{\Delta \tau} \sqrt{T} \right)$ от $\frac{1}{T}$

Условие постоянства активности цинка в гетерогенной области приводит к необходимости выбора для Ge в качестве стандартного состояния чистого твердого германия при температуре опыта. Выбор стандартным состоянием жидкого переохлажденного германия, как это обычно делается при исследовании систем с узкими областями гетерогенности (например [8]), в данном случае привел бы к значительной погрешности в результатах, так как соответствующая такому выбору стандартного состояния криволинейная экстраполяция a_{Zn} на гетерогенную область затруднительна.

Из величин $\Delta H_{\text{см}}$ и $\Delta Z_{\text{см}}$ рассчитывались интегральная молярная энтропия смешения $\Delta S_{\text{см}}$, активность и парциальная молярная теплота смешения германия, а также избыточные функции.

Активности цинка и германия при 435° представлены на рис. 4, интегральные функции системы — на рис. 5, остальные величины сведены в таблицу.

Сглаженные термодинамические величины для системы германий — цинк

N_{Zn}	f_{Zn}			f_{Ge}	$\Delta H_{\text{см Zn}}$ ккал/моль	$\Delta H_{\text{см Ge}}$ ккал/моль	$\Delta Z_{\text{изб. см}}$ ккал/моль	$\Delta S_{\text{изб. см}}$ э. ед.
	466°	435°	414°	435°	435°	435°	435°	435°
0,985	0,718	0,820	0,906	0,226	4,42	16,65	-0,320	6,95
0,975	0,668	0,783	0,875	1,965	5,12	-21,60	-0,312	6,74
0,950	0,650	0,751	0,836	6,980	4,76	-13,80	-0,246	5,77
0,925	0,650	0,738	0,811	8,890	4,18	-4,80	-0,164	5,19
0,900	0,650	0,731	0,834	10,00	3,73	0	-0,074	4,85
0,875	0,650	0,752	0,860	8,00	3,73	0	0,015	4,58
0,850	0,669	0,774	0,885	6,67	3,73	0	0,094	4,35

Полученные результаты находят простое качественное объяснение. Несмотря на близкие значения атомных радиусов германия и цинка, и

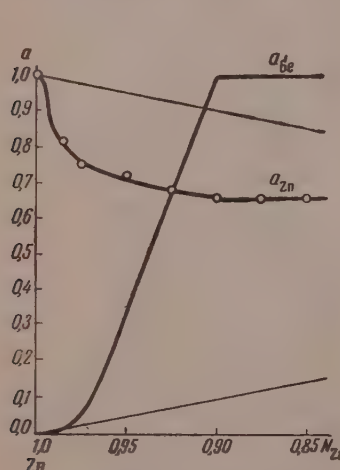


Рис. 4. Активности цинка и германия в сплавах при 435° С

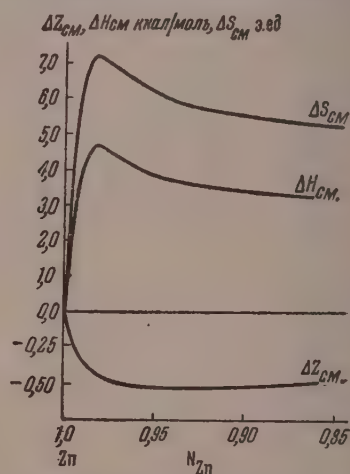


Рис. 5. Интегральные молярные термодинамические функции сплавов германия с цинком

взаимная растворимость в твердом состоянии очень мала. Это объясняется тем, что оба элемента сильно различаются по характеру межатомной связи. В то время как в кристаллах цинка преобладающим является металлический тип связи и соответствующая ему плотнейшая гексагональная упаковка, германий образует тетраэдрические кристаллы валентного характера. Внедрение атомов германия в решетку цинка сопровождается сильной деформацией последних и, следовательно, поглощением энергии. В то же время разрыхление структуры цинка приводит к возрастанию энтропийного члена свободной энергии, так что в целом система показывает отрицательные отклонения от идеальности. Подобное же отклонение термодинамических функций от их значений для идеального раствора наблю-

ется и в жидком состоянии, что указывает на сходство структуры и характера взаимодействия в жидких и твердых сплавах. Действительно, результаты рентгенографических исследований показывают, что ближний рядок в жидком цинке хорошо соответствует расположению атомов в кристаллах цинка [9]. Следовательно, разобранные выше эффекты, связанные с нарушением структуры цинка при вхождении атомов германия, должны иметь место и в жидких сплавах германия с цинком. Для более конкретных рассуждений необходимо исследовать структуру жидких сплавов и электронное состояние в них германия.

Выводы

1. Исследованы термодинамические свойства сплавов германия с цинком. Система показывает большие отрицательные отклонения от идеальных растворов.
2. Сделаны выводы о том, что германий, образуя растворы с цинком, сильно искажает структуру цинка как в твердом, так и в жидком состоянии.

Московский государственный
университет им. М. В. Ломоносова

Поступила
27.II.1958

ЛИТЕРАТУРА

- Г. Ф. Воронин и А. М. Евсеев, Ж. физ. химии, 33, № 11, 1959.
«Германий» (Сборник переводов), ИИЛ, 1955, стр. 162.
C. G. Maier, J. Amer. Chem. Soc., 48, 356, 1926.
А. Н. Несмеянов, Б. З. Иофа, А. А. Стрельников, В. Г. Фирсов, Ж. физ. химии, 30, 1250, 1956.
E. Gebhardt, Z. Metallkunde, 34, 255, 1942.
Е. А. Боом, Химия редких элементов, вып. I, 121, 1954.
C. D. Thurmond, F. A. Trumbore, M. Kowalchik, J. Chem. Phys., 25, 799, 1956.
O. J. Kleppa, J. Amer. Chem. Soc., 71, 3275, 1949.
C. Gemertsfelder, J. Chem. Phys., 9, 450, 1941.

THERMODYNAMIC PROPERTIES OF GERMANIUM-ZINC ALLOYS

G. F. Voronin and A. M. Evseev (Moscow)

Summary

The thermodynamic properties of germanium-zinc alloys have been studied over the temperature range 342—466° C with the aid of an effusion method, employing a continuously weighing balance. The method used permitted the activity of zinc to be determined for any point in the concentration range of the alloys. A negative deviation from ideal has been revealed of the system with a large positive heat of mixing.

A qualitative interpretation of the changes observed in the thermodynamic functions has been presented.

ИЗОТОПНЫЙ ОБМЕН СЕРЫ В ТИУРАХ И ЭФИРАХ
ДИТИОКАРБАМИНОВЫХ КИСЛОТ*Л. С. Кузина и Е. Н. Гурьянова*

Производные дитиокарбаминовых кислот R_2N-CH_2-SH находят широкое применение в качестве ускорителей вулканизации каучука, инсектофунгицидов, лекарственных препаратов и т. п. Изучение подвижности атомов серы в этих соединениях представляет значительный интерес как с точки зрения выяснения общих вопросов строения и реакционной способности, так и с точки зрения нахождения путей рационального подхода к их использованию в химической практике.

В литературе имеются данные по изотопному обмену серы в тетраметилтиурамдисульфиде [1—3], метиловом эфире дитиокарбаминовой кислоты и диэтилдитиокарбамате натрия [4], а также краткое сообщение авторов [5] об обмене серы в некоторых тиурах, эфирах и солях дитиокарбаминовых кислот.

В данной работе, представляющей собой продолжение и развитие предыдущих [3, 5—7], сделана попытка выяснить влияние некоторых структурных факторов на обменоспособность серы в тиурах и эфирах. Прежде всего, представлялось весьма существенным выяснение следующих вопросов: 1) какое влияние оказывает увеличение числа атомов серы в тиурах (моно-, ди-, три- и тетрасульфиды) на обменоспособность с элементарной серой, 2) как влияет замена одних радикалов другими в аминогруппе на подвижность атомов серы, непосредственно не связанных с этой группой R_2N-CH_2-S- , 3) сопоставить обменоспособность серы в производных дитиокарбаминовых кислот R_2N-CH_2-SH с обменоспособностью серы в аналогичных производных ксантогеновых кислот $R-O-CH_2-SH$. Работа по изотопному обмену серы между исследуемыми соединениями, с одной стороны, и элементарной радиоактивной серой, с другой, проводилась в двух направлениях: устанавливались оптимальные условия реакции обмена и определялось число обменоспособных атомов серы в исследуемых соединениях, кроме того, в некоторых системах измерялась кинетика обмена при различных температурах.

Экспериментальная часть

Синтезы, методы очистки и константы применяемых в данной работе препаратов были приведены в статье [6] по исследованию полярных свойств этих соединений.

Опыты по изотопному обмену проводились в растворах, а в некоторых случаях также без применения растворителей, в ампулах. Методика разделения компонентов после обмена была различной для разных систем; в некоторых (тетраметилтиурамдисульфид — сера, тетраметилтиурамтрисульфид — сера, тетрабутилтиурамдисульфид — сера, дипроксид — сера) для разделения использовалась различная растворимость исследуемых соединений и серы в ацетоне, метиловом спирте и других, в некоторых системах (тетрон — сера, тетрафенилтиурамдисульфид — сера) использовалось различие температурного коэффициента растворимости соединений и серы в толуол-бензоле, декалине, в ряде систем (этиловые эфиры дитиокарбаминовых кислот — сера, изотиоцианаты — сера) компоненты разделялись фракционированием в вакууме. Как правило, константы веществ, выделенных после обмена, совпадали с константами исходных соединений.

Число обменоспособных атомов серы в соединениях определялось по соотношению активности компонентов при равновесии. Равновесие в различных системах достигалось при условиях, указанных в табл. 3. Результаты измерений радиоактивности компонентов (осадки сульфата бензидина) при равновесии в системах тиурам — сера приведены в табл. 1, где наряду с экспериментальными даны вычисленные активности тиурама для обмена четырех и двух атомов серы.

Таблица 1

Равновесное распределение активности в системах: тиурам : сера =
= 1 моль : 4 атома

Тиурамдисульфид	Исходная сера	После обмена		Вычисл. для обмена	
		сера	тиурам	4S	2S
Тетраметил-	2624	1308	1312	1312	875
Тетра- <i>n</i> -бутил-	1168	572	595	584	389
Тетра- <i>изо</i> -бутил	1232	628	608	616	411
<i>Сим.м.</i> -дифенилдиметил-	640	326	320	320	213
Тетрафенил-	672	332	348	336	224
Диоксид	1184	603	587	592	395

Распределение радиоактивной серы при равновесии в системах эфиры тиокарбаминовых кислот — сера приведено в табл. 2, где также наряду экспериментальной дана вычисленная активность серы для обмена од- и двух атомов серы.

Таблица 2

Равновесное распределение активности в системах:
эфир : сера = 1 моль : 1 атом

$R_2N-CS-SC_2H_5$	Исходная	После обмена	Вычисл. для обмена	
			1S	2S
Диметил-	454	225	227	151
Диэтил-	822	412	411	274
Ди- <i>n</i> -бутил	1068	532	534	356

Результаты опытов по изотопному обмену серы в исследуемых соединениях дана в табл. 3. В первом столбце приведены формулы соединений с отметкой обменоспособных атомов серы, указан растворитель, концентрация исследуемого вещества c_B в г-моль/л и серы c_S в г-атом/л. В втором столбце указана температура, в третьем — время, в четвертом — время обмена, в пятом — константа скорости изотопного обмена (сек.⁻¹), в шестом — энергия активации E в ккал/г-моль.

Обмен серы в тетраметилтиураммоносульфиде (1, табл. 3) и в тетраэтилтиурамтрисульфиде (3, табл. 3) сопровождается побочными реакциями: присоединением серы с образованием дисульфида — в первом и делением тиурамов с другим содержанием серы — во втором. Эти явления затрудняли измерения кинетики обмена, поэтому результаты имеют качественный характер.

В молекуле тетрона (4, табл. 3) четыре атома серы связаны с атомами тетрода, два — с атомами серы, поэтому представляло интерес выяснить, каким образом происходит обмен серы в этом соединении, насколько отличается скорость обмена неэквивалентных атомов серы. Для определения активности различных атомов серы в тетроне был применен метод становления его амальгамой натрия в спирте. При этом два средних атома серы давали сульфид натрия, а крайние, связанные с углеродом атомы серы входили в состав диметилдитиокарбамата натрия, согласно реакции:

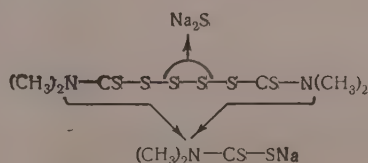


Таблица 3

Обмен с элементарной радиоактивной серой

Соединение	$t, ^\circ\text{C}$	Время, часы	Обмен, %	$k \cdot 10^4$	E
1. $(\text{CH}_3)_2\text{N}-\text{CS}^*-\text{S}^*-\text{CS}^*-\text{N}(\text{CH}_3)_2$ бензол, $c_B = c_S = 0,1$	80 130	3 5	0 85	— —	— —
2. $(\text{CH}_3)_2\text{N}-\text{CS}^*-\text{S}^*-\text{S}^*-\text{CS}^*-\text{N}(\text{CH}_3)_2^*$ нафталин, $c_B = 0,1, c_S = 0,2$	110 120 130 136,5 150	— — — — —	— — — — —	0,24 0,42 0,87 1,95 7,10	(21,
3. $(\text{CH}_3)_2\text{N}-\text{CS}^*-\text{S}^*-\text{S}^*-\text{S}^*-\text{CS}^*-\text{N}(\text{CH}_3)_2$ толуол $c_B = c_S = 0,1$	110	10	85	—	—
4. $(\text{CH}_3)_2\text{N}-\text{CS}^*-\text{S}^*-\text{S}^*-\text{S}^*-\text{S}^*-\text{CS}^*-\text{N}(\text{CH}_3)_2$ толуол, $c_B = c_S = 0,1$	80 90 100 110 110	3 6 6,5 6 12	0 50 75 90 100	— — — — —	— — — — —
5. $\text{H}-(\text{C}_6\text{H}_9)_2\text{N}-\text{CS}^*-\text{S}^*-\text{S}^*-\text{CS}^*-\text{N}(\text{C}_6\text{H}_9)-\text{H}$ бензол, $c_B = 0,1, c_S = 0,4$	130	—	—	1,3	—
6. <i>изо</i> -(C_6H_9) ₂ N-CS*-S*-S*-CS*-N(C ₆ H ₉)- <i>изо</i> бензол, $c_B = 0,1, c_S = 0,4$	110,5 120,5 133,5 136 144 148,5	— — — — — —	— — — — — —	0,5 1,0 2,5 2,8 6,0 7,8	23,8
7. $\begin{matrix} \text{C}_6\text{H}_5 \\ \text{CH}_3 \end{matrix} \text{N}-\text{CS}^*-\text{S}^*-\text{S}^*-\text{CS}^*-\text{N} \begin{matrix} \text{C}_6\text{H}_5 \\ \text{CH}_3 \end{matrix}$ бензол, $c_B = 0,1, c_S = 0,4$	131 138 141 150	— — — —	— — — —	0,6 1,0 1,5 2,6	26,
8. $(\text{C}_6\text{H}_5)_2\text{N}-\text{CS}^*-\text{S}^*-\text{S}^*-\text{CS}^*-\text{N}(\text{C}_6\text{H}_5)_2$ толуол, $c_B = 0,03, c_S = 0,015$	132,5 146 168,5	— — —	— — —	0,6 1,8 10,0	27,
9. $\text{C}_6\text{H}_7-\text{O}-\text{CS}^*-\text{S}^*-\text{S}^*-\text{CS}^*-\text{O}-\text{C}_6\text{H}_7$ бензол, $c_B = c_S = 0,1$	80 115	10 5	0 100	— —	— —
10. $(\text{CH}_3)_2\text{N}-\text{CS}^*-\text{SC}_2\text{H}_5$ декалин, $c_B = c_S = 0,31$	147 153 160 172,5	— — — —	— — — —	0,3 0,6 1,8 6,1	41,
11. $(\text{C}_2\text{H}_5)_2\text{N}-\text{CS}^*-\text{SC}_2\text{H}_5$ декалин, $c_B = c_S = 0,31$	140 146 160 170 174,5	— — — — —	— — — — —	0,2 0,4 1,2 2,8 4,5	30,
12. $(\text{C}_4\text{H}_9)\text{N}-\text{CS}^*-\text{SC}_2\text{H}_5$ декалин, $c_B = c_S = 0,31$	139 149 160 170	— — — —	— — — —	0,9 2,0 4,0 9,0	25,
13. $\text{C}_6\text{H}_5\text{NH}-\text{CS}^*-\text{SC}_2\text{H}_5^{**}$ декалин, $c_B = c_S = 0,31$	150	12	50	—	—
14. $\text{C}_2\text{H}_5\text{N}=\text{C}=\text{S}^*^{**}$ декалин, $c_B = c_S = 0,47$	150 165 180	6 3 6	0 15 100	— — —	— — —
15. $\text{C}_6\text{H}_5\text{N}=\text{C}=\text{S}^*^{**}$	150 165 180	6 3 6	0 15 100	— — —	— — —

* Результаты были опубликованы ранее [3].

** Обмен сопровождается разложением соединений.

сь натриевых солей осаждалась буферным раствором сернокислой и, высушивалась и затем диметилдитиокарбамат меди экстрагировал-толуолом, а сульфид меди оставался в осадке. После дополнительной истки компоненты окислялись по методу Кариуса, и сера осаждалась втвом солянокислого бензидина. Результаты измерения активности азцов, полученных из различных компонент, при соотношении 1 моль рона на 1 атом серы, приведены в табл. 4, где указаны температура и я опыта, активность образцов и вычисленная активность для равно-ного распределения изотопа между всеми атомами серы.

Таблица 4

Вещество	Активность образцов, имп/мин					Вычисл. равнов.
	80°, 3 час.	90°, 6 час.	100°, 6,5 час.	110°, 6 час.	110°, 12 час.	
родная сера	1280	1168	1248	1104	1050	1050
а после обмена	1280	253	272	176	153	150
рон после обмена	0	115	128	160	152	150
диметилдитиокарбамат меди	—	83	88	149	147	150
ульфид меди	—	182	208	—	150	150

Обсуждение результатов

Из сопоставления данных табл. 3 видно, что обменоспособность серы производных дитиокарбаминовых кислот в значительной мере зависит состава и строения соединений. В тиурамах $R_2N-CS-S-CS-NR_2$ обмен с элементарной серой идет с измеримой скоростью при 110—120°, в эфирах $R_2N-CS-SR$ при этих температурах обмена нет. Он начинается лишь при 140—150°, а в изотиоцианатах $RN=C=S$, имеющих сходные производными дитиокарбаминовых кислот группировки атомов, обмен идет лишь при 160—170°, когда наблюдается частичное разложение этих соединений. Рассмотрим более детально влияние различных факторов на обменоспособность серы раздельно по каждой группе веществ. Прежде всего остановимся на количестве обменоспособных атомов серы в исследуемых соединениях. Относительно тиурамов в литературе высказывались две точки зрения: об обмене двух [2] атомов и об обмене четырех [3] атомов серы. Эта дискуссия нашла отражение в монографии А. И. Бродского [8].

Данные табл. 1, в полном согласии с результатами предыдущей нашей работы [3], совершенно однозначно свидетельствуют об обмене четырех атомов серы во всех тиурамах, независимо от природы радикалов. Мы полагаем, что вопрос об эквивалентной обменоспособности всех четырех атомов серы в тиурамах достаточно ясен и не подлежит дальнейшей дискуссии. Обмен четырех атомов серы имеет место и в молекуле ди-изо-опилксантодисульфида (дипроксид, соединение 6 табл. 1). В тетроне (табл. 3) обмениваются шесть атомов серы, однако, в отличие от тиурамов, не все атомы серы эквивалентны относительно обмена. Как видно из табл. 4, два средних атома, образующие при восстановлении тетрона сульфид натрия, обмениваются значительно легче, чем остальные четыре атома, связанные с атомами углерода. Следует заметить, что в отличие от простых дисульфидов типа $R-S-S-R$, где имеется резкое различие в обменоспособности серы в связях $C-S$ и $S-S$, в тетроне это различие невелико, и практически не удастся провести раздельный обмен различным образом связанных атомов серы. При 100° наряду со сравнительно быстрым обменом средних атомов серы имеет место более медленный обмен крайних атомов серы. При достижении равновесия, активность их выравняется. В отличие от тиурамов в эфирах дитиокарбаминовых кислот, как это следует из данных табл. 2 и в согласии с результатами ра-

бот [4, 5], обменивается лишь один атом серы, по-видимому, сера в связи $C=S$, сера, связанная с алкильным радикалом, не обменивается.

С увеличением числа атомов серы в полисульфидной цепочке тиурмов изотопный обмен серы облегчается. По степени легкости обмена тиурамы с различным содержанием серы (соединение 1, 2, 3, 4, табл. 3) располагаются в следующий ряд:

моно- \leq ди- < три- < тетрасульфиды.

Из сопоставления данных по изотопному обмену серы в тиурамдисульфидах с различными радикалами R (соединение 2, 5, 6, 7 и 8, табл. 3) следует, что замена одних алифатических радикалов другими мало отражается на обменоспособности. Замена алифатических радикалов ароматическими, в частности, фенильными затрудняет обмен. В тиурамах с алифатическими радикалами обмен с измеримой скоростью идет при 110° , в то время как в диметилдифенилтиурамдисульфиде он приблизительно с такой же скоростью идет лишь при 130° , а в тетрафенилтиурамдисульфиде происходит еще более высокой температуре. Это находило отражение и в энергиях активации. Следовательно, введение фенильных радикалов в аминогруппу тиурама вызывает упрочнение связей $C-S$. С этой точки зрения, представляется весьма интересным исследование влияния различных заместителей на обменоспособность серы в тиурамах с ароматическими радикалами. В отличие от тиурамов, в эфирах дитиокарбаминовых кислот наблюдается несколько иная закономерность влияния радикалов на обменоспособность серы. Если в первых замена одних алифатических радикалов другими практически не сказывается на обменоспособности серы, то подобное изменение в структуре эфиров весьма существенно влияет на скорость обмена (соединение 10, 11, 12, 13 табл. 3). В группе этиловых эфиров дитиокарбаминовых кислот при переходе от соединения с диметильными радикалами к соединениям с диэтильными и дибутильными обмен серы облегчается, энергия активации обмена соответственно падает и равна 41,9, 30,4 и 25,6 ккал/моль. Различие в закономерностях влияния радикалов на подвижность серы в тиурамах и эфирах может служить указанием на то, что механизм обмена серы в этих соединениях различен. В тиурамах, как это рассмотрено нами ранее [3] в согласии с работой [2], обмен проходит по диссоциативному механизму с разрывом связей $C-S$, а в эфирах обмен серы в связях $C=S$ проходит, по-видимому, по ассоциативному механизму, подобно тому как это было рассмотрено Миклухиным с сотрудниками [4].

Условия обмена серы в ди-*изо*-пропилксантодисульфиде (соединение 9 табл. 3) приблизительно таковы же как и в соответствующих тиурамах, следовательно замена аминогруппы в этих соединениях алкоксигруппой не вызывает резких изменений в обменоспособности группировки $-CS=S$. Однако экспериментальных данных пока слишком мало, чтобы можно было делать более определенные выводы по этому вопросу.

Многие производные дитиокарбаминовых кислот являются ускорителями серной вулканизации и вулканизаторами каучука; в связи с этим интересно сопоставить обменоспособность этих соединений с их активностью в процессах вулканизации. Поскольку вулканизация каучука является сложным многокомпонентным процессом и зависит от ряда факторов, трудно ожидать прямой связи между активностью ускорителя вулканизации и их обменоспособностью с элементарной серой. Однако при сопоставлении данных, относящихся к определенной группе веществ, можно ожидать некоторого параллелизма в этих процессах, ибо в основном лежат одни и те же элементарные реакции. При рассмотрении, с этой точки зрения, данных табл. 3 можно сделать следующие выводы. Тиурамы, более богатые серой, должны быть более активными ускорителями и вулканизаторами, чем тиурамы с меньшим количеством атомов серы. Однако при этом следует учитывать фактор растворимости этих соединений в ка-

ке. Тиурамдисульфиды с ароматическими радикалами должны быть более активны, чем тиурамы с алифатическими радикалами. Эфиры дитиокарбаминных не должны обладать свойствами ускорителей вулканизации.

Выводы

1. Изучался изотопный обмен серы тиурамов, эфиров дитиокарбаминных кислот и изотиоцианатов всего 15 соединений, с элементарной радиоактивной серой. Установлены число обменоспособных атомов серы в следующих соединениях, оптимальные условия обмена и для 7 соединений определены энергии активации. По мере увеличения числа атомов серы в полисульфидном мостике тиурамов растет скорость обмена этих соединений с элементарной серой. В тетраметилтиурамтетрасульфиде более легко обмениваются два средних атома серы и несколько труднее — серы крайних, связанных с атомами углерода, однако, различие это не настолько велико, чтобы можно было провести отдельный обмен.

2. Замена алифатических радикалов в тиурамдисульфидах на фенильные вызывает значительное снижение скорости обмена. Установлено различие в закономерностях влияния радикалов аминогруппы на обмен тиурамов и эфиров дитиокарбаминных кислот.

Результаты по изотопному обмену серы в исследуемых соединениях рассмотрены с точки зрения возможной активности этих веществ в качестве ускорителей вулканизации каучука.

Физико-химический институт
им. Л. Я. Карпова
г. Москва

Поступила
28.II.1958

ЛИТЕРАТУРА

- Г. А. Блох, А. П. Сазонова, Легкая промышленность, № 10, 40, 1952.
С. Е. Бреслер, В. И. Прядилова, В. Я. Хайнман, Ж. техн. физ. 24, 577, 1954.
Е. Н. Гурьянова, Л. С. Кузина, Ж. физ. химии, 28, 2116, 1954.
И. И. Кухтенко, Л. Е. Бруксер, Г. П. Миклухин, Докл. АН СССР 106, 1023, 1956.
Е. Н. Гурьянова, В. Н. Васильева, Л. С. Кузина, Сессия АН СССР по мирному использованию атомной энергии 1955 г., стр. 270.
Е. Н. Гурьянова, Л. С. Кузина, Ж. физ. химии. 30, 616, 1956.
Е. Н. Гурьянова, Л. С. Кузина, Ж. физ. химии., 32, 2301, 1958.
А. И. Бродский, Химия изотопов, 2-е изд. 1957, стр. 319.

ISOTOPIC EXCHANGE OF SULFUR IN THIURAMS AND DITHIOCARBAMINIC ACID ESTERS

L. S. Kuzina and E. N. Guryanova (Moscow)

Summary

The isotopic exchange of the sulfur of thiurams, dithiocarbaminic acid esters and thiocyanates (in all 15 compounds) with radioactive elementary sulfur has been investigated. The number of exchangeable sulfur atoms in the compounds has been established, as well as the optimal conditions for exchange. The activation energies have been determined for 7 compounds. The exchange rate of thiurams with elementary sulfur increases with increasing number of sulfur atoms in the polysulfide bridge. In tetramethylthiuramtetrasulfide the two middle sulfur atoms exchange the most easily, whereas the four extreme ones, connected with carbon atoms, are somewhat more sluggish in the reaction, although the difference is not so great as to permit the carrying out of separate exchange.

Substitution of aliphatic for phenyl radicals in thiuramdisulfides causes a considerable fall in the rate of exchange. A difference has been established in the effects of the amino group radicals on the exchange in thiurams and dithiocarbaminic acid esters.

The results of the isotopic exchange of sulfur in the compounds studied have been considered from the point of view of their activity as accelerators of rubber vulcanization.

ЭКСПЕРИМЕНТАЛЬНОЕ ОПРЕДЕЛЕНИЕ КОЭФФИЦИЕНТОВ ОСЛАБЛЕНИЯ γ -ИЗЛУЧЕНИЯ В ЦИЛИНДРИЧЕСКИХ ИСТОЧНИКАХ

Н. Г. Смирнов и К. А. Успенский

В практике физико-химических лабораторий приходится иметь дело с цилиндрическими жидкостными γ -излучателями, расчет мощностей доз от которых встречает определенные трудности из-за отсутствия в литературе данных о величине саморассеяния γ -квантов в излучателях.

По данным работы [1] коэффициент, учитывающий саморассеяние предположительно принимается равным $1 \div 1,5$ в зависимости от телесного угла, под которым виден источник из точки наблюдения.

Попытка дать математическое выражение для коэффициента ослабления, включающего самопоглощение и саморассеяние в цилиндрических источниках, сделана в работе [2]. Автор учитывает величину саморассеяния аналитическим представлением факторов накопления, опубликованных в ряде иностранных источников.

Простое выражение для фактора накопления приведено в работе [3]. Авторы, используя для учета рассеянного излучения множитель $1 + \alpha$

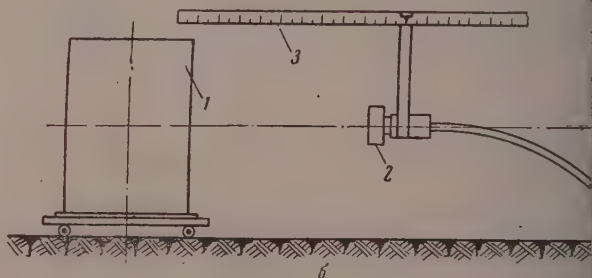
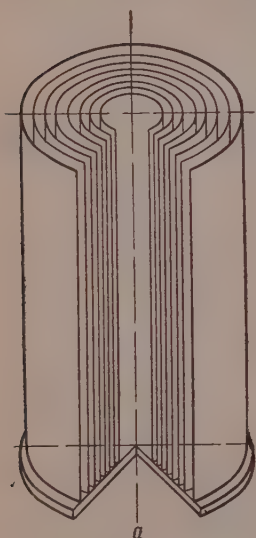


Рис. 1. а — цилиндры; б — схема опыта по определению коэффициентов ослабления
1 — цилиндрические излучатели; 2 — датчик прибора; 3 — мерная планка

(где α — постоянная, μ — коэффициент поглощения γ -квантов, l — толщина материала), получили упрощенные интегральные формулы для расчета мощностей доз γ -излучения от объемных источников [4].

В настоящей работе экспериментально определялись коэффициенты ослабления в цилиндрических излучателях.

Экспериментальная часть

В опыте измерялись мощности доз от цилиндрических источников имеющих различные радиусы и постоянную общую активность. В качестве источников использовались цилиндры, изготовленные из $0,5 - 1$ мм цез

гоида и заполненные раствором Co^{60} с удельным весом $1,3 \text{ г/см}^3$. Цилиндры имели одинаковую высоту (60 см) и радиусы, равные 6, 8, 10, 12, 16, 18 и 20 см. Все восемь цилиндров монтировались на общем дне (с. 1,а).

Измерение мощностей доз производилось γ -рентгенометром с компенсационной схемой, имеющим выносной датчик с тремя съемными ионизационными камерами, позволяющими делать измерения в диапазоне 0,001—рентген/час. Перед каждой серией измерений прибор калибровался стандартному кобальтовому источнику.

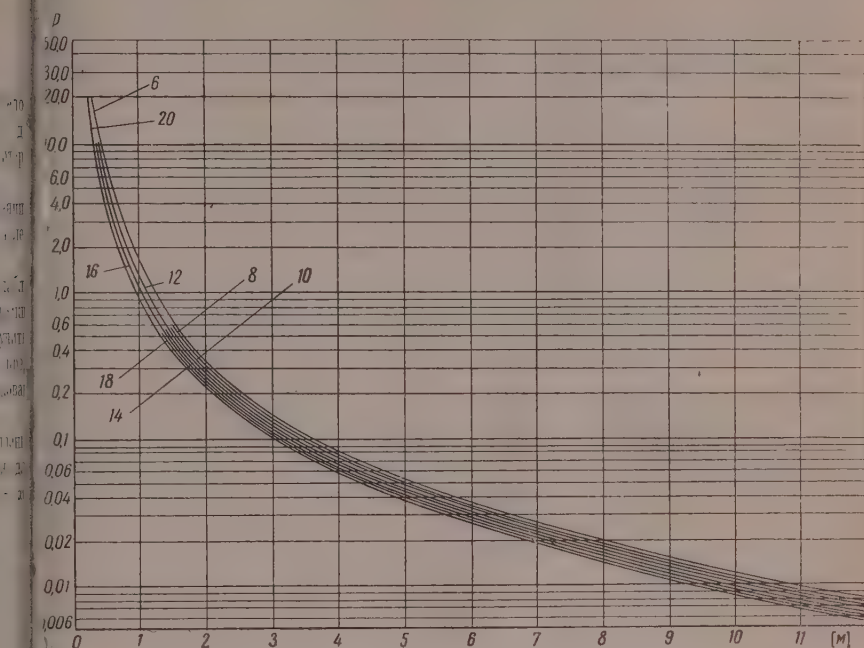


Рис. 2. Зависимость мощности дозы в рентген/час от расстояния для цилиндрических излучателей различных радиусов

Раствор соли кобальта общей активностью $1,5 \text{ г-экв}$. Ра заливался в центральную цилиндрическую емкость с радиусом, равным 6 см, до высоты 56 см. Затем производились измерения мощностей доз на уровне полувысоты цилиндрического излучателя в радиальном направлении. Точки измерения располагались через 1 м на расстояниях от 20 см до 12 м от оси цилиндров (с. 1,б).

После измерений мощностей доз от первого цилиндра стенки его разрезались, и активный раствор заполнял часть объема цилиндра, имеющего радиус 8 см. В этот цилиндр до уровня 56 см добавлялся неактивный раствор с удельным весом $1,3 \text{ г/см}^3$, и после энергичного перемешивания производились измерения мощностей доз в тех же точках, что и для первого цилиндра.

В такой же последовательности производилось заполнение цилиндров радиусами 10, 12, 14, 16, 18 и 20 см, и измерялись мощности доз от них.

Результаты измерений представлены на рис. 2, где по оси абсцисс отложено расстояние от оси цилиндрических излучателей, а по оси ординат — мощность дозы в рентген/час. Каждая кривая соответствует определенному радиусу цилиндра. Как видно из рисунка, при одной и той же активности цилиндрических излучателей в точках, расположенных на

одинаковых расстояниях от оси излучателей, мощность дозы уменьшается по мере увеличения их радиуса.

Коэффициенты ослабления k_0 определялись путем построения для каждого расстояния от оси излучателя графической зависимости $P = f(R_{\text{ц}})$ (мощность дозы в точке есть функция радиуса цилиндра).

Для примера на рис. 3 показано определение коэффициентов ослабления в цилиндрических излучателях в точке, расположенной на удалении

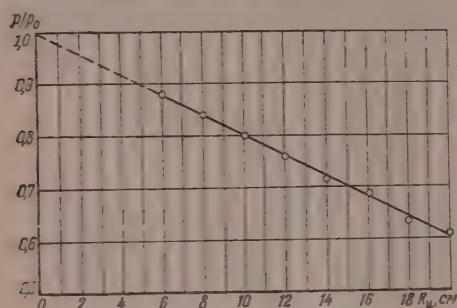


Рис. 3. Определение коэффициентов ослабления в точке, расположенной на удалении 100 см от оси цилиндрических излучателей

100 см от их оси. По оси абсцисс отложены величины радиусов цилиндров в сантиметрах, по оси ординат — отношение мощности дозы от цилиндра с определенным радиусом $R_{\text{ц}}$ к мощности дозы, получающейся в точке пересечения кривой с осью ординат (т. е. мощности дозы от цилиндра с $R_{\text{ц}} = 0$, в котором отсутствуют процессы самопоглощения и саморассеяния γ -излучения).

Найденные таким образом величины коэффициентов ослабления приведены в таблице.

Для сравнения в таблице даны также величины коэффициентов самопоглощения для цилиндрических источников по Диксону, опубликованные в работе [5]. Из таблицы видно, что пренебрежение саморассеянием в цилиндрических источниках приводит к значительному занижению мощностей доз.

Расстояние от оси цилиндра, см	Радиус цилиндра, см							
	6	8	10	12	14	16	18	20
20	0,88	0,85	0,81	0,77	0,73	0,70	0,66	0,62
100	0,88	0,84	0,80	0,76	0,72	0,69	0,65	0,61
300	0,89	0,86	0,82	0,79	0,75	0,72	0,68	0,65
500	0,85	0,81	0,77	0,74	0,71	0,68	0,66	0,64
800	0,87	0,82	0,79	0,75	0,72	0,69	0,66	0,63
1000	0,87	0,82	0,77	0,73	0,69	0,66	0,64	0,61
1200	0,88	0,85	0,82	0,78	0,74	0,71	0,67	0,64
Среднее	0,87	0,84	0,80	0,76	0,72	0,69	0,66	0,63
Коэффициент самопоглощения по Диксону	0,68	0,61	0,54	0,49	0,44	0,41	0,38	0,36

Из таблицы видно также, что коэффициенты ослабления для точек, расположенных на различном удалении от оси источников, мало отличаются по величине. Незначительное колебание их находится в пределах ошибки опыта, не превышающей 10%.

Выводы

1. Найден экспериментальные величины коэффициентов ослабления в цилиндрических источниках различных радиусов, заполненных раствором соли Cs^{60} .

2. Показано, что величина коэффициентов ослабления не зависит от расстояния до оси цилиндрического излучателя.
3. Саморассеяние составляет значительную величину и должно быть учтено при расчетах выхода γ -излучения из цилиндрических источников.

Поступила
28.II.1959

ЛИТЕРАТУРА

- В. Горшков, Гамма-излучение радиоактивных тел, Изд-во ЛГУ, 1956.
- Е. Ковалев, Ж. техн. физ., 27, 1021, 1957.
- А. Калинин, П. Я. Вертебный, Ж. физ. химии, 30, 457, 1956.
- А. Калинин, П. Я. Вертебный, Ж. физ. химии, 32, 2192, 1958.
- Г. Гусев, Справочник по радиоактивным излучениям и защите, Медгиз, Москва, 1956.

EXPERIMENTAL DETERMINATION OF THE WEAKENING COEFFICIENTS OF GAMMA RADIATION IN CYLINDRICAL EMMITTERS

N. G. Smirnov and K. A. Uspenskii[✓] (Zagorsk)

Summary

In the paper an experiment has been described and the experimental values have been obtained of weakening coefficients in cylindrical emitters filled with cobalt solution of specific gravity 1.3 g/cm³.

The weakening coefficients have been found to be independent of the distance from point to the emitter axis.

The values for the weakening coefficients are much greater than those for the self-adsorption coefficients obtained by Dixon for cylindrical emitters, which show that self-absorbing processes in emitters must be accounted for.

ОБ УСЛОВИЯХ, ОПРЕДЕЛЯЮЩИХ ВОЗМОЖНОСТЬ СОСУЩЕСТВОВАНИЯ ГАЗОВЫХ ФАЗ

М. И. Темкин

Теория бинарных смесей ван-дер-Ваальса, несмотря на ее приближенный характер, позволила предсказать качественно основные черты равновесий газ — газ [1] до экспериментального обнаружения таких равновесий в работах И. Р. Кричевского, П. Е. Большакова и Д. С. Циклиса [2—4].

Цель этой статьи — показать, что теория ван-дер-Ваальса позволяет понять ряд результатов указанных экспериментальных работ.

Ван-дер-Ваальс принимал, что уравнение состояния бинарной смеси имеет ту же форму, что и его известное уравнение для чистых веществ

$$P = \frac{RT}{v-b} - \frac{a}{v^2}, \quad (1)$$

но постоянные a и b являются в этом случае функциями состава смеси

$$a = a_1(1-x)^2 + 2a_{12}x(1-x) + a_2x^2, \quad (2)$$

$$b = b_1(1-x)^2 + 2b_{12}x(1-x) + b_2x^2. \quad (3)$$

Здесь x — мольная доля второго компонента, a_1 , b_1 , a_2 и b_2 — значения постоянных a и b для чистых компонентов, a_{12} и b_{12} — постоянные, характеризующие смесь.

Согласно Лоренцу [5]

$$b_{12}^{1/2} = \frac{1}{2} (b_1^{1/2} + b_2^{1/2}) \quad (4)$$

Это уравнение заменяют более простым

$$b_{12} = \frac{1}{2} (b_1 + b_2) \quad (5)$$

Так как для веществ, являющихся газами в обычных условиях величины b не сильно разнятся, уравнения (4) и (5) дают близкие результаты [например, при $b_2 = 2b_1$ уравнение (4) дает значение b_{12} , лишь на 4% меньшее, чем уравнение (5)]: Подстановка уравнения (5) в (3) дает

$$b = b_1(1-x) + b_2x. \quad (6)$$

Для вычисления a_{12} часто допускают справедливость уравнения Галлцина — Берглю [6, 7]

$$a_{12} = (a_1a_2)^{1/2}. \quad (7)$$

Как будет показано ниже, это уравнение не применимо, если одно из веществ неполярно, а другое — сильно полярно. Кроме того, в случае полярных веществ постоянные a зависят от температуры.

Отметим, что уравнения (7) и (2) дают

$$a^{1/2} = a_1^{1/2}(1-x) + a_2^{1/2}x. \quad (8)$$

Уравнению состояния (1) отвечает следующее уравнение ван-дер-Ваальса для свободной энергии ψ^* моля смеси, как функции мольной

* $\psi = U - TS$.

ема, температуры и состава:

$$\phi = -\frac{a}{v} - RT \ln(v-b) + RT [(1-x) \ln(1-x) + x \ln x]. \quad (9)$$

Возможность сосуществования фаз определяется формой поверхности ϕ как функции v и x . Ограниченная смешиваемость (т. е. сосуществование двух фаз близкой плотности) возникает при наличии на этой поверхности складки, направленной вдоль оси v , так называемой продольной складки. Появление такой складки возможно только в том случае, если производная $\partial^2\phi/\partial x^2$ отрицательна.

Из уравнения (9) следует, что

$$\frac{\partial^2\phi}{\partial x^2} = -\frac{1}{v} \frac{d^2a}{dx^2} + \frac{RT}{(v-b)^2} \left(\frac{db}{dx}\right)^2 + \frac{RT}{v-b} \frac{d^2b}{dx^2} + \frac{RT}{x(1-x)} \quad (10)$$

зотом, согласно уравнениям (2) и (3),

$$\frac{d^2a}{dx^2} = 2a_1 - 4a_{12} + 2a_2; \quad (11)$$

$$\frac{db}{dx} = 2(b_{12} - b_1)(1-x) + 2(b_2 - b_{12})x; \quad (12)$$

$$\frac{d^2b}{dx^2} = 2b_1 - 4b_{12} + 2b_2. \quad (13)$$

Прекрасное изложение основ теории ван-дер-Ваальса дано Лоренцем [8].

Опираясь на приведенные положения этой теории, мы получим необходимое условие существования равновесия газ — газ в бинарной смеси. Учитывая, что различия в величинах a газов значительно превышают различия в величинах b , вначале для упрощения примем, что $b_1 = b_2$. Тогда согласно уравнению (4) или (5), также и $b_{12} = b_2$, так что $b = b_2$, $db/dx = 0$, $d^2b/dx^2 = 0$. Величина $RT/x(1-x)$ принимает наименьшее значение равно $4RT$ при $x = 1/2$. Поэтому требование $\partial^2\phi/\partial x^2 < 0$ может быть выполнено только, если

$$\frac{d^2a}{dx^2} > 4RTv \quad (14)$$

как при любом давлении $v > b$, а в нашем случае $b = b_2$, мы приходим к неравенству

$$\frac{d^2a}{dx^2} > 4RTb_2, \quad (15)$$

и невыполнении которого образование продольной складки исключено.

Будем обозначать как второй компонент тот, критическая температура T_c которого выше. Нас интересует возможность распада системы в две фазы при температурах, примыкающих к критической температуре второго компонента $(T_c)_2$. Поэтому неравенство (15) можно заменить следующим:

$$\frac{d^2a}{dx^2} > 4R(T_c)_2b_2. \quad (16)$$

Согласно известному результату ван-дер-Ваальса

$$(T_c)_2 = \frac{8}{27} \frac{a_2}{Rb_2}, \quad (17)$$

так что неравенство (16) равносильно следующему

$$\frac{d^2a}{dx^2} > 4 \cdot \frac{8}{27} a_2 \quad (18)$$

или, учитывая уравнение (11),

$$\frac{1}{2}(a_1 + a_2) - a_{12} > \frac{8}{27}a_2. \quad (19)$$

Согласно этому неравенству, равновесие газ—газ возможно лишь при условии, что a_{12} значительно меньше среднего арифметического из a_1 и a_2 .

Покажем теперь, что неравенство (15), а следовательно и (19) сохраняет силу и при $b_1 \neq b_2$, если b_1 не слишком мала. Член $\frac{RT}{(v-b)^2} \left(\frac{db}{dx}\right)^2$ в уравнении (10), очевидно, положителен, а на основании уравнений (13) и (4) или (5) также и $\frac{RT}{v-b} \frac{d^2b}{dx^2} \geq 0$ [знак равенства получается при использовании уравнения (5)]. Поэтому неравенство (14) следует из $\partial^2\psi/\partial x^2 < 0$ и при $b_1 \neq b_2$. Если $v > b_2$, мы сразу получаем требуемый результат.

Сложнее исследование в случае $v < b_2$, который не исключен, если $b_1 < b_2$ (что наиболее вероятно, поскольку, как правило, чем больше T_c , тем больше постоянная b данного вещества). Для упрощения будем считать применимым уравнение (5). Тогда $db/dx = b_2 - b_1$. Согласно уравнению (10) требование $\partial^2\psi/\partial x^2 < 0$ приводит к неравенству

$$\frac{1}{RTv} \frac{d^2a}{dx^2} > \left(\frac{b_2 - b_1}{v - b}\right)^2 + \frac{1}{x(1-x)}. \quad (20)$$

Так как $v < b_2$, то, согласно уравнению (6), $v - b < (b_2 - b_1)(1 - x)$. Кроме того, $v > b_1(1 - x) + b_2x$. Поэтому из неравенства (20) получаем

$$\frac{1}{RT} \frac{d^2a}{dx^2} > \frac{b_1(1-x) + b_2x}{x(1-x)^2}. \quad (21)$$

Приравнявая нулю производную по x правой части неравенства, найдем значение x , при котором правая часть неравенства имеет наименьшее значение (при данных b_1 и b_2). Вычисление показывает, что если

$$b_1 \geq 0,42b_2, \quad (22)$$

то наименьшее возможное значение правой части неравенства (21) не меньше $4b_2$, и мы получаем вновь неравенство (15). Таким образом неравенство (19) доказано, если выполнено условие (22).

Для неполярных веществ можно принять уравнение (7). В этом случае

$$a_1 + a_2 - 2a_{12} = (a_2^{1/2} - a_1^{1/2})^2, \quad (23)$$

и неравенство (19) заменяется следующим

$$(a_2^{1/2} - a_1^{1/2})^2 > \frac{16}{27}a_2, \quad (24)$$

откуда

$$a_1 < \left(1 - \frac{4}{3\sqrt{3}}\right)^2 a_2 \quad (25)$$

или

$$a_1 < 0,053a_2. \quad (26)$$

Возьмем в качестве второго компонента двуокись углерода. Для нее $a_2 = 3,61 \cdot 10^6$ атм·см⁶ и $b_2 = 42,8$ см³ (из критических величин T_c и P_c). Значения b всех газов больше, чем $0,42 \cdot 42,8$ см³ = 17,9 см³ (за исключением неона, у которого b незначительно меньше, а именно $b = 17,4$ см³).

тому неравенство (22) выполняется, и можно использовать неравенство (26). Оно показывает, что равновесие газ—газ возможно, если $0,19 \cdot 10^6 \text{ атм} \cdot \text{см}^6$. Единственное вещество, удовлетворяющее этому условию,—гелий, для которого $a = 0,034 \cdot 10^6 \text{ атм} \cdot \text{см}^6$. (Для неона $0,21 \cdot 10^6 \text{ атм} \cdot \text{см}^6$, для водорода $a = 0,24 \cdot 10^6 \text{ атм} \cdot \text{см}^6$, для других в значительно выше.) Таким образом делается понятным тот факт, в системах с неполярными компонентами удастся наблюдать равновесие газ—газ лишь при условии, что одним из компонентов является He [4].

Если один из компонентов обладает значительным дипольным моментом, а другой неполярен, то величина a_{12} должна быть существенно выше вычисленной по уравнению (7). Это можно видеть из следующего эмпирического выражения [9]:

$$a_{ij} = \frac{4\pi N^2}{9b_{ij}} \left(\frac{1}{3} \frac{\mu_i^2 \mu_j^2}{kT} + \mu_i^2 \alpha_j + \mu_j^2 \alpha_i + \frac{3}{2} h \frac{v_i v_j}{v_i + v_j} \alpha_i \alpha_j \right), \quad (27)$$

где N —число Авогадро, h —постоянная Планка, μ_i и μ_j —дипольные моменты, α_i и α_j —поляризуемость, v_i и v_j —главные частоты в дисперсионной формуле для молекул компонентов i и j . Члены в скобках практически равенства определяют последовательно ориентационный, индукционный (два члена) и дисперсионный эффекты. Принимая в уравнении (18) $i=j=1$, $i=j=2$ и $i=1$, $j=2$, получаем, соответственно, выражения для a_1 , a_2 и a_{12} .

Так как для различных молекул величины v мало отличаются, и так уравнение (4) при не слишком различающихся b_1 и b_2 практически сводится к равенству $b_{12} = (b_1 b_2)^{1/2}$, то при $\mu_1 = \mu_2 = 0$, уравнение (27) сводится к уравнению (7). В случае, если μ_1 и μ_2 не равны нулю, уравнение (7) может применяться отдельно к ориентационному и дисперсионному слагаемому величин a , но не к их сумме (индукционный эффект — другой, и для качественного рассмотрения им можно пренебречь). Так, например, мы имеем для двух веществ $a_1 = 2$ и $a_2 = 2$ (в произвольных единицах), но a_1 целиком обусловлена дисперсионным эффектом ($\mu = 0$), а a_2 — на 50% дисперсионным и на 50% ориентационным. В таком случае дисперсионная часть величины a_{12} равна $\sqrt{2 \cdot 1} = 1,41$, а ориентационная — равна нулю, так что $a_{12} = 1,41$, между тем как по уравнению (7) мы ожидали бы, что $a_{12} = 2$. Разность $\frac{1}{2} (a_1 + a_2) - a_{12}$ в рассматриваемом примере равна 0,59, т. е. как раз совпадает с величиной $\frac{8}{27} a_2$. Таким образом, согласно неравенству (19), мы приближаемся к возможности равновесия газ—газ.

Экспериментальные исследования [2—4] действительно показали, что ничтожная смешиваемость газов при сверхвысоких давлениях наблюдается в таких системах, как N_2 — NH_3 или N_2 — SO_2 , т. е. в системах, состоящих из полярного и неполярного компонентов.

Из вышеизложенного следует, что теория ван-дер-Ваальса дает возможность качественно истолковать результаты, полученные в работах [2—4]. Она позволяет предсказывать расслоение газовых смесей. Напри-
мечая, что у воды доля ориентационного слагаемого в a особенно велика, можно ожидать, что в смесях водяного пара с неполярными газами равновесие газ—газ должно осуществляться сравнительно легко. Разумеется, уравнение ван-дер-Ваальса не пригодно для количественного описания соотношений P — v — T — x при сверхвысоких давлениях. Оно неспособно полностью учесть и качественную сторону. Так, оно не учитывает возможность более плотной упаковки в случае молекул существенно различных размеров, за счет расположения малых молекул в порах плотной упаковки больших молекул. С этой точки зрения, представляется интерес трактовка фаз, содержащих гелий, как растворов внедре-

ния [10]. Все же на основании изложенного выше представляется, что способность гелиевых растворов к расслоению определяется в первую очередь малостью дисперсионного взаимодействия атомов гелия с другими молекулами, а не малостью размеров атома гелия.

Выводы

Из теории бинарных смесей ван-дер-Ваальса следует, что равновесия газ—газ возможны, если постоянная a_{12} значительно меньше среднего арифметического из постоянных a_1 и a_2 . Это условие выполняется лишь в смесях полярного и неполярного газа или в смесях, одним из компонентов которых является гелий. Таким образом объясняются результаты экспериментальных исследований явления ограниченной смешиваемости газов.

Физико-химический институт
им. Л. Я. Карпова
Москва

Поступила
4.III.1958

ЛИТЕРАТУРА

1. И. Д. Ван-дер-Ваальс, Ф. Констамм, Курс термостатики, ч. II. Бинарные смеси, ОНТИ, М., 1936.
2. И. Р. Кричевский и П. Е. Большаков, Ж. физ. химии, **15**, 184, 1941.
3. И. Р. Кричевский и Д. С. Циклис, Ж. физ. химии, **17**, 126, 1943.
4. Д. С. Циклис, Диссертация, Москва, 1955.
5. H. A. Lorentz, Wied. Ann., **12**, 127, 1881.
6. W. Galitzine, Wied. Ann., **41**, 770, 1890.
7. D. Berthelot. C. R., **126**, 1703, 1896.
8. Г. А. Лоренц, Лекции по термодинамике, ОГИЗ, М.—Л., 1941.
9. Ф. Лондон, Успехи физ. наук, **17**, 421, 1937.
10. Д. С. Циклис и А. А. Жуховицкий, Тр. ГИАП, № 8, **17**, 1957.

ON CONDITIONS FOR THE COEXISTENCE OF GASEOUS PHASES

M. I. Temkin (Moscow)

Summary

It follows from Van der Waals' theory of binary mixtures that gas-gas equilibria are possible if the constant a_{12} is substantially less than the arithmetic mean of the constants a_1 and a_2 . This condition is fulfilled only in mixtures of a polar and non-polar gas or in mixtures of which one component is helium. The experimental results concerning the limited mixability of gases are thus explained.

ЭНЕРГИИ СВЯЗИ ПОВЕРХНОСТИ МЕТАЛЛИЧЕСКИХ
КАТАЛИЗАТОРОВ С УГЛЕРОДОМ

С. Л. Киперман и А. А. Баландин

В предыдущих работах [1, 2] авторами было указано на возможность применения варианта кинетического метода [3] для нахождения энергий связи поверхности никелевых катализаторов с элементами органических соединений, а также был подробно рассмотрен вопрос об энергии связи водорода с металлическими катализаторами. Эта энергия была вычислена на основе реакции пара-орто-превращения водорода, причем было найдено, что она мало меняется при изменении активности катализатора и переходе от никеля к железу, платине и палладию.

Для определения энергий связи окисных катализаторов с углеродом при помощи кинетического метода, на этих катализаторах осуществляют только реакции, обычно — дегидрогенизации углеводорода и спирта и гидратации спирта; из найденных значений энергий активации вычисляют одновременно энергии связи с углеродом, водородом и кислородом. Представляет интерес для получения энергий связи поверхности металлических катализаторов с углеродом применить предложенный нами вариант метода, использующий как основу, величины энергии связи с водородом (легким и тяжелым), найденные при помощи реакции пара-орто-версии, и энергии активации простейших реакций в присутствии этих катализаторов.

В качестве таких реакций мы используем, как будет видно из дальнейшего, реакции изотопного обмена, гидрогенизации и гидрогенолиза низших членов гомологических рядов соответствующих органических соединений. Рассматривая эти реакции как идущие через ряд последовательных стадий, мы будем считать медленной стадией образование промежуточного дублетного комплекса из исходных веществ и катализатора, т. е. адсорбцию исходных веществ с разрывом или деформацией соответствующих связей, и, возможно, миграцию по поверхности, необходимую для образования промежуточного комплекса. Такую стадию, которая может быть совокупностью нескольких стадий, мы будем именовать стадией адсорбции.

Стадию адсорбции, как указывает мультиплетная теория катализа, характеризует высота энергетического барьера — E , которая складывается из значений энергий разрыва связей в молекулах исходных соединений, и вычитом энергий связей реагирующих атомов с поверхностью катализатора. Таким образом высота энергетического барьера зависит от теплот адсорбции исходных компонентов на каталитически активных участках поверхности. Предполагается, что величина — E связана с энергией активации процесса пропорциональным или линейным соотношением [3, 4, 5]. Мы будем считать, что в это соотношение входит определяемая на опыте кажущаяся энергия активации, которая может быть искажена за счет теплот адсорбции компонентов реакции. Указанное допущение носит приближенный характер и не является универсальным: в ряде случаев причины теплот адсорбции могут входить в выражение энергии активации с дробными коэффициентами, или вместе с теплотами адсорбции продуктов реакции, а также частично взаимно компенсироваться. Однако для рассматриваемых простейших реакций эти случаи представляются менее

вероятными или вносящими лишь небольшие изменения в искомые величины.

Энергия связи катализатора с углеродом зависит от того, в каком соединении находится данный углеродный атом. Ранее одним из авторов было показано, на основе сравнения легкости протекания последовательных реакций сложных органических соединений, что энергия связи никеля с углеродом, примыкающим к двойной связи, значительно больше, чем с углеродом, примыкающим к ординарной связи; можно ожидать различий и в других случаях. Поэтому здесь будут рассмотрены отдельные энергии связи с углеродом, находящимся при ординарной, двойной, тройной связи в циклах. При расчетах мы используем полученные нами ранее [2] значения энергий связи металлических катализаторов с водородом и дейтерием Q_{H-K} и Q_{D-K} , а также табличные данные энергий разрыва связей в молекулах соответствующих соединений Q_{A-B} , собранные в своде Коттрелла [6] (если не будут оговорены другие источники). Возможность использования Q_{H-K} и Q_{D-K} основана на том, что эти энергии связи мало меняются при переходе от одного образца катализатора к другому.

Энергия связи с углеродом, находящимся в соединении с ординарной связью Q_{C-K} . Для вычисления энергий связи Q_{C-K} могут быть использованы реакции гидрогенолиза этана



и изотопного обмена



Как указывалось выше, предполагаем, что эти реакции лимитируются стадией адсорбции. Высота их энергетических барьеров $-E_1$ и, соответственно, $-E_2$ выразится следующим образом:

$$Q_{C-C} + Q_{H-H} - 2Q_{C-K} - 2Q_{H-K} = -E_1. \quad (3)$$

$$Q_{C-H} + Q_{D-D} - Q_{C-K} - Q_{H-K} - 2Q_{D-K} = -E_2, \quad (4)$$

где Q_{C-C} , Q_{H-H} , Q_{C-H} и Q_{D-D} — энергии разрыва соответствующих связей. Из соотношения между энергией активации ε и высотой энергетического барьера [3, 4, 2]:

$$\varepsilon = -\frac{3}{4}E, \quad (5)$$

имеем для реакции (1)

$$Q_{C-K} = \frac{1}{2}(Q_{C-C} + Q_{H-H}) - Q_{H-K} - \frac{2}{3}\varepsilon_1 \quad (6)$$

и для реакции (2).

$$Q_{C-K} = Q_{C-H} + Q_{D-D} - Q_{H-K} - 2Q_{D-K} - \frac{4}{3}\varepsilon_2. \quad (7)$$

Реакция (1) изучалась Морикава, Бенедиктом и Тейлором [7] на никелевом катализаторе, нанесенном на кизельгур, в интервале 100—130°C энергия активации ε_1 оказалась равной 43 ккал/моль. Подставляя эту величину, а также $Q_{H-Ni} = 50,1$ ккал, найденную нами [1, 2], $Q_{C-C} = 66,2$ ккал, $Q_{H-H} = 104,18$ ккал, в уравнение (6), получаем $Q_{C-Ni} = 6,5$ ккал*.

Для реакции (2) в той же работе, в интервале 110—184°C получено значение $\varepsilon_2 = 28$ ккал/моль. Подставляя его в уравнение (7), а также $Q_{H-Ni} = Q_{D-Ni} = 50,1$ ккал [1, 2], вместе с $Q_{D-D} = 105,96$ ккал [8], $Q_{C-H} = 90,5$ ккал, получаем $Q_{C-Ni} = 8,9$ ккал.

Таким образом из обеих реакций получаются близкие значения: среднее из них $Q_{C-Ni} = 7,7$ ккал. Оценка Q_{C-Ni} из сравнения легкости протекания последовательных реакций сложных органических соединений приводит к близкой величине $Q_{C-Ni} = 6,0$ ккал [5].

* Все величины энергии связи относятся к 1 молю.

На более активном катализаторе — никелевых пленках — Кембалл [9] получил для реакции (2) в интервале 206—255°C значение $\epsilon_2 = 23,8 \text{ ккал/моль}$, откуда $Q_{\text{C-Ni}} = 14,5 \text{ ккал}$. Реакция (2) протекает на пленках платины в интервале 159—275°C, с энергией активации $\epsilon_2 = 20 \text{ ккал/моль}$ [9]. Подставляя эту величину, а также $Q_{\text{H-Pt}} = 54,2 \text{ ккал}$, $Q_{\text{D-Pt}} = 55,2 \text{ ккал}$ [2] в уравнение (7), получаем $Q_{\text{C-Pt}} = 5,2 \text{ ккал}$.

Для той же реакции на палладиевых пленках, в интервале 243—308°C, $\epsilon_2 = 22,0 \text{ ккал/моль}$. Подставляя $Q_{\text{H-Pd}} = 53,3 \text{ ккал}$, $Q_{\text{D-Pd}} = 54,3 \text{ ккал}$ [2], получаем $Q_{\text{C-Pd}} = 5,5 \text{ ккал}$.

Подстановка значений $Q_{\text{H-Pt}} = 50,0 \text{ ккал}$, $Q_{\text{D-Pt}} = 50,8 \text{ ккал}$, $Q_{\text{H-Pd}} = 50,9 \text{ ккал}$ и $Q_{\text{D-Pd}} = 51,7 \text{ ккал}$, полученных из предположения о том, что реакцию пара-орто-конверсии водорода лимитирует адсорбционная (не десорбционная) стадия, приводит к величинам $Q_{\text{C-Pt}} = 18,2 \text{ ккал}$, $Q_{\text{C-Pd}} = 12,7 \text{ ккал}$.

Энергия связи с углеродом, находящимся в соединении с двойной связью $Q_{\text{C-K}}$. Энергия связи $Q_{\text{C-K}}$ может быть получена при помощи реакции:



ли



Высота энергетического барьера адсорбционных стадий этих реакций, соответственно $-E_3$ и $-E_4$, выразится следующим образом:

$$Q_{\text{C=C}} + Q_{\text{H-H}} - 2Q_{\text{C-K}} - 2Q_{\text{H-K}} = -E_3, \quad (10)$$

$$Q_{\text{C-H}} + Q_{\text{D-D}} - Q_{\text{C-K}} - Q_{\text{H-K}} - 2Q_{\text{D-K}} = -E_4, \quad (11)$$

где $Q_{\text{C=C}}$ энергия разрыва одной из связей $\text{C}=\text{C}$. Отсюда для каждой из реакций получается, соответственно:

$$Q_{\text{C-K}} = \frac{1}{2}(Q_{\text{C=C}} + Q_{\text{H-H}}) - Q_{\text{H-K}} - \frac{2}{3}\epsilon_3, \quad (12)$$

$$Q_{\text{C-K}} = Q_{\text{C-H}} + Q_{\text{D-D}} - 2Q_{\text{D-K}} - Q_{\text{H-K}} - \frac{4}{3}\epsilon_4. \quad (13)$$

о данным работы [10] для реакций (8) и (9) в интервале 70—100°C на никелевой проволоке, активированной попеременным окислением и восстановлением, $\epsilon_3 = 8,3 \text{ ккал/моль}$ и $\epsilon_4 = 17,2 \text{ ккал/моль}$. При помощи этих величин, а также $Q_{\text{C=C}} = 46,7 \text{ ккал}$ и других, упомянутых ранее, получаем из уравнения (12) $Q_{\text{C-Ni}} = 19,9 \text{ ккал}$ и из уравнения (13) $Q_{\text{C-Ni}} = 23,2 \text{ ккал}$. По другим данным для реакции (9) $\epsilon_4 = 18,6 \text{ ккал/моль}$ [10], откуда $Q_{\text{C-Ni}} = 21,3 \text{ ккал}$. Если использовать для реакции (8) значение $\epsilon_3 = 10,2 \text{ ккал/моль}$ [11], то $Q_{\text{C-Ni}} = 18,6 \text{ ккал}$. Как видно, переход от одного ряда катализатора к другому мало сказывается на величине $Q_{\text{C-Ni}}$. Согласно оценке [5], $Q_{\text{C-Ni}} = 19 \text{ ккал}$.

Для реакции (8) на железном катализаторе, по данным Клара [12], $\epsilon_3 = 10 \text{ ккал/моль}$. Эта величина вместе с $Q_{\text{H-Fe}} = 49,4 \text{ ккал}$ [2] приводит к $Q_{\text{C-Fe}} = 19,3 \text{ ккал}$. Если и $\epsilon_3 = 10,7 \text{ ккал}$ [13], то $Q_{\text{H-Fe}} = 18,8 \text{ ккал}$.

На платиновых катализаторах энергия активации реакции (8) равна 10,7 ккал/моль [13] (как и на ряде других металлов) или 10 ккал/моль [4, 15]. Из этих величин, а также $Q_{\text{H-Pt}} = 54,2 \text{ ккал}$, получаем $Q_{\text{C-Pt}} = 14,1—14,6 \text{ ккал}$.

На палладиевых катализаторах ϵ_3 также равна 10,7 ккал/моль [13]; эта величина, вместе с $Q_{\text{H-Pd}} = 53,3 \text{ ккал}$ приводит к $Q_{\text{C-Pd}} = 15,0 \text{ ккал}$. Для реакции (8), по данным [15] $\epsilon_3 = 10 \text{ ккал/моль}$, откуда $Q_{\text{C-Pd}} = 15,6 \text{ ккал}$.

Использование значений $Q_{H-Pt} = 50,0$ ккал и $Q_{H-Pd} = 50,9$ ккал приводит к $Q_{C-Pt} = 18,3$ и $18,9$ ккал и $Q_{C-Pd} = 17,4$ ккал, а для реакции (9) на платине, для которой $\varepsilon_4 = 22$ ккал/моль [14], имеем $Q_{C-Pt} = 15,6$ ккал (использование значения $Q_{H-Pt} = 54,2$ ккал для этой реакции не приводит к разумной величине Q_{C-Pt}).

Энергия связи с углеродом, находящимся в соединении с тройной связью $Q_{\equiv C-K}$. Для определения энергии связи $Q_{\equiv C-K}$ могут быть использованы реакции гидрогенизации ацетиленовых соединений. При этом будем считать, что адсорбция ацетиленовых соединений на поверхности металлических катализаторов происходит с раскрытием двух связей, причем, если гидрирование идет ацетиленовых соединений, олефиновая связь вновь образуется при десорбции. Такое предположение подтверждается исследованием инфракрасных спектров адсорбированных на никеле этилена и ацетилена [16], показавшим отсутствие у адсорбированных соединений двойной связи. Из кинетических и потенциометрических данных [17] вытекает, что тройная связь адсорбируется на катализаторе прочнее двойной; так как энергия разрыва одной из тройных связей меньше, чем одной из двойных связей, такая катодина не могла бы иметь места, если бы при адсорбции ацетиленового соединения оставалась двойная связь.

Рассмотрим реакции



и



Высота энергетического барьера этих реакций $-E_5$ в соответствии с изложенными соображениями, выразится следующим образом:

$$Q_{C \equiv C} + Q_{C=C} + Q_{H-H} - 2Q_{\equiv C-K} - 2Q_{H-K} = -E_5, \quad (1)$$

где $Q_{C \equiv C}$ — энергия разрыва одной из связей $C \equiv C$, откуда

$$Q_{C \equiv K} = \frac{1}{2}(Q_{C \equiv C} + Q_{C=C} + Q_{H-H}) - Q_{H-K} - \frac{2}{3}\varepsilon_5, \quad (1)$$

где ε_5 — энергия активации.

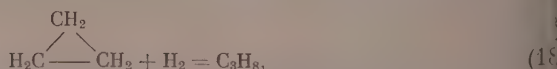
Реакции (14) и (15) изучались Бондом и Шериданом [18] в интервале $0-198^\circ C$ на никеле, платине и палладии, нанесенных на силикагель. Для никелевого катализатора $\varepsilon_5 = 14,2$ ккал/моль. Подставляя эту величину в уравнение (17), а также $Q_{C \equiv C} = 37,4$ ккал, $Q_{C=C} = 46,7$ ккал, $Q_{H-Ni} = 50,1$ ккал, получаем $Q_{\equiv C-Ni} = 34,5$ ккал. На железе $\varepsilon_5 = 13,5$ ккал/моль [20], откуда получаем $Q_{\nabla C-Fe} = 21,8$ ккал/моль.

Для платины $\varepsilon_5 = 17,3$ ккал/моль, откуда, с помощью $Q_{H-Pt} = 54,2$ ккал, получаем $Q_{\equiv C-Pt} = 28,4$ ккал.

На палладии $\varepsilon_5 = 16,5$ ккал/моль, подставляя это значение в уравнение (17), вместе с $Q_{H-Pd} = 53,3$ ккал, находим $Q_{\equiv C-Pd} = 29,8$ ккал.

При $Q_{H-Pt} = 50,0$ ккал и $Q_{H-Pd} = 50,9$ ккал, получаем $Q_{\equiv C-Pt} = 32,6$ ккал $Q_{\equiv C-Pd} = 32,2$ ккал.

Влияние образования трехчленного цикла на величины энергии связи с углеродом. Для выяснения данного вопроса вычислим энергию связи поверхности катализаторов с углеродом, находящимся в трехчленном цикле, $Q_{\nabla C-K}$ и сравним с энергиями связи Q_{C-K} . С этой целью используем реакцию гидрогенолиза цикла пропана



изучавшуюся Бондом и Шериданом [19] в интервале $50-203^\circ C$ на никеле, платине и палладии. Высота ее энергетического барьера $-E$

разится следующим образом:

$$Q_{\text{C-C}} + Q_{\text{H-H}} - 2Q_{\text{C-K}} - 2Q_{\text{H-K}} = -F_6, \quad (19)$$

где $Q_{\text{C-C}}$ — энергия размыкания цикла, откуда

$$Q_{\text{C-K}} = \frac{1}{2}(Q_{\text{C-C}} + Q_{\text{H-H}}) - Q_{\text{H-K}} - \frac{2}{3}\varepsilon_6, \quad (20)$$

где ε_6 — энергия активации реакции (18).

Величину $Q_{\text{C-C}}$ находим из значения энергии разрыва связи C—C, вычитом энергии напряжения в трехчленном цикле, т. е. $Q_{\text{C-C}} = 66,2 - 9,1 = 57,1$ ккал.

Для никелевого катализатора $\varepsilon_6 = 10,6$ ккал/моль. Подставляя ее в уравнение (20), вместе с $Q_{\text{H-Ni}} = 50,1$ ккал и другими, указанными величинами, получаем $Q_{\text{C-Ni}} = 23,5$ ккал.

На железе $\varepsilon_6 = 13,5$ ккал/моль [20], откуда получаем $Q_{\text{C-Fe}} = 21,8$ ккал.

На платине $\varepsilon_6 = 8,9$ ккал/моль, подставляя эту величину, вместе с $Q_{\text{H-Pt}} = 54,2$ ккал, получаем $Q_{\text{C-Pt}} = 20,5$ ккал.

Для палладия $\varepsilon_6 = 8,1$ ккал/моль, откуда, используя $Q_{\text{H-Pd}} = 53,3$ ккал, находим $Q_{\text{C-Pd}} = 22,0$ ккал.

При $Q_{\text{H-Pt}} = 50,0$ ккал и $Q_{\text{H-Pd}} = 50,9$ ккал, имеем $Q_{\text{C-Pt}} = 24,7$ ккал, $Q_{\text{C-Pd}} = 22,9$ ккал.

Как видно, замыкание в трехчленный цикл увеличивает прочность связи катализатора с углеродом, по сравнению с углеродом, находящимся в соединении при двойной связи.

Влияние образования ароматического цикла на величины энергии связи с углеродом. Для выяснения этого вопроса, вычислим энергию связи с углеродом, находящимся в бензольном кольце $Q_{\text{C(ar)-K}}$. Такое рассмотрение носит более приближенный характер, чем предыдущие, поскольку своеобразии структуры бензола, наличии энергии стабилизации, частоты колебаний π-связей, а также его плоскостное расположение на поверхности металлов вызывают трудности учета всех факторов, могущих влиять на величины энергий связи, в частности на энергию связи катализатора с водородом, которую мы предполагаем практически не меняющейся. Однако для оценки и сопоставления величин энергий связи, приводимые здесь расчеты представляются правдоподобными.

Рассмотрим реакцию изотопного обмена дейтерия с бензолом на никеле и платине. Предполагаем секстетную модель адсорбции бензола, т. е. его плоскостное расположение на поверхности катализатора, как указывает а это мультиплетная теория. Поскольку в данной реакции сохраняется бензольная структура



энергия стабилизации может влиять только на связь C—H, так как энергию разрыва связи C—C здесь учитывать не нужно (хотя на нее существенно влияет энергия стабилизации). Расчет с использованием табличных данных [6] показывает, что энергия стабилизации увеличивает энергию разрыва связи C—H в бензоле лишь на 0,9 ккал [21]. Во всяком случае незначительное влияние энергии стабилизации на $Q_{\text{C-H}}$ позволяет думать, что ее влияние на $Q_{\text{H-K}}$ будет еще меньше.

Высота энергетического барьера реакции (21) — E_7 будет выражаться, по аналогии с уравнением (11),

$$Q_{\text{C-H}} + Q_{\text{D-D}} - Q_{\text{C(ar)-K}} - Q_{\text{H-K}} - 2Q_{\text{D-K}} = -E_7, \quad (22)$$

откуда

$$Q_{C(ar)-K} = Q_{C-H} + Q_{D-D} - 2Q_{D-K} - Q_{H-K} - \frac{4}{3}\epsilon_7 \quad (23)$$

Энергия активации реакции (21) на никеле, по данным Гринхэфа [22] $\epsilon_7 = 15$ ккал/моль. Подставляем эту величину в уравнение (22), а также $Q_{C-H} = 90,5 = 0,9 = 91,4$ ккал, вместе с $Q_{H-Ni} = Q_{D-Ni} = 50,1$ ккал, откуда получаем $Q_{C(ar)-Ni} = 27,1$ ккал.

На платине, по тем же данным $\epsilon_7 = 7,3$ ккал/моль, при помощи которой находим $Q_{C(ar)-Pt} = 23,0$ ккал.

Обсуждение результатов

Результаты расчетов показывают возможность применения данного варианта кинетического метода для нахождения энергий связи поверхности металлических катализаторов с углеродом на основе значений энергий связи с легким и тяжелым водородом. Эта возможность вытекает из наблюдаемого незначительного влияния изменения активности и даже химической природы металлических катализаторов на величины их энергий связи с водородом, хотя, строго говоря, метод должен применяться к катализаторам одинакового способа приготовления. Полученные величины энергий связи являются усредненными характеристиками реакционной способности поверхности катализаторов.

Значения энергий связи поверхности металлических катализаторов в литературе почти полностью отсутствуют. Значения Q_{C-Ni} и $Q_{C-Ni'}$, полученный ранее из оценки легкости протекания последовательных реакций сложных органических соединений [5], как отмечалось выше, хорошо согласуются с вычисленными данными методом. Эли [23], при помощи уравнения Полинга, рассчитал, что $Q_{C-Ni} = 50,2$ ккал. Ранее [2] нами указывалось, что расчеты Эли, относящиеся к наиболее активным участкам адсорбирующей поверхности металла, не могут быть сравнимы с полученными нами величинами.

В таблице представлены средние или наиболее вероятные значения энергий связи поверхности металлических катализаторов с углеродом, полученные нами.

Энергия связи поверхности металлических катализаторов с углеродом, в ккал

Катализатор	Тип связи				
	—C	=C	≡C	∇C	◊C
Ni	7,7	19,9	34,5	23,5	27,1
Fe	—	19,3	—	21,8	—
Pt	5,2	14,1	28,4	20,5	23,0
Pd	5,5	15,0	29,8	22,0	—

Как видно из табл., имеет место закономерное нарастание прочности связи катализатора с углеродом по мере увеличения кратности связи, к которой он примыкает. Наиболее слабо связан с поверхностью углерод примыкающий к ординарной связи; с другой стороны, реакции такого соединения протекают с высокой энергией активации, например, для реакции гидрогенолиза этана $\epsilon = 43$ ккал/моль, а для изотопного обмена метана с дейтерием $\epsilon = 20-28$ ккал/моль. По-видимому, чем прочнее (до определенного предела) связан углерод с поверхностью, тем более реакционноспособна адсорбированная молекула.

Образование трехчленного цикла, как видно из той же таблицы, усиливает прочность связи углерода с поверхностью катализатора, по сравнению с углеродом, находящимся в соединениях с ординарной и двойной

зью. Образование ароматического кольца еще более усиливает прочность связи катализатора с углеродом.

Колебания активности катализаторов, приводящие к относительно большим изменениям энергии активации, как показывают приведенные данные, вызывают сравнительно небольшие изменения энергии связи. Даже в случае резких колебаний активности, например, при переходе от неактивных пленок к активным, изменения энергии связи могут быть значительными, особенно если численное значение энергии связи мало, например, Q_{C-Ni} . Такие изменения естественны, поскольку изменение активности катализатора должно быть в первую очередь обусловлено изменением его адсорбционной способности.

Из той же таблицы видно, что при переходе от одного рассмотренного металла VIII группы периодической системы к другому, изменения соответствующих энергий связи их поверхности с углеродом сравнительно невелики: для Q_{C-K} изменяется максимум на 2,5 ккал, остальные энергии связи — на 3—6 ккал. Эти изменения не превышают изменений при переходе, например, от малоактивных к высокоактивным образцам того же катализатора.

При рассмотрении энергий связи металлических катализаторов с водородом [2] было высказано предположение, что соответствующие реакции осуществляются в интервале мест неоднородной поверхности катализатора оптимальными величинами энергий связи с водородом. Так как изменения энергий связи с углеродом при переходе от одного катализатора к другому в большинстве случаев невелики, то указанное предположение можно распространить и на рассматриваемые здесь энергии связи.

В недавно опубликованной работе В. Н. Кондратьева [24] приведены не табличные данные энергий разрыва связей, которые в случае связей с атомами углерода существенно отличаются от [6] за счет выбора других значений теплоты атомизации углерода. Энергия связи Q_{H-K} и Q_{D-K} при использовании данных [24] не меняется. Пересчет величин, приведенных в таблице, с помощью данных [24] приводит к возрастанию значений энергий связи на 8,2—9,4 ккал, без изменения их последовательности.

Выводы

1. На основе кинетического метода предложен новый вариант метода деления и расчета энергий связи поверхности металлических катализаторов с углеродом с помощью величин энергий связи катализаторов с водородом. Метод использует простейшие реакции изотопного обмена, гидризации и гидрогенолиза низших гомологов органических соединений.
2. Вычислены величины энергий связи поверхности никеля, железа, палладия и платины с углеродом, примыкающим к одинарной, двойной, тройной связи, в трехчленном и ароматическом циклах.
3. Увеличение кратности связи, находящейся по соседству с углеродом, повышает прочность его связи с поверхностью катализатора. При образовании трехчленного или ароматического циклов прочность связи катализатора с углеродом увеличивается по сравнению с прочностью связи с углеродом по соседству с одинарной или двойной связью.
4. При не очень больших колебаниях активности образцов катализатора соответствующие энергии связи меняются сравнительно мало, как и при переходе от одного металла к другому. Это позволяет предположить, реакции органических соединений на поверхности рассмотренных катализаторов осуществляются, в основном, в интервале мест с оптимальными величинами энергий связи с углеродом.

ЛИТЕРАТУРА

1. С. Л. Киперман и А. А. Баландин, Докл. АН СССР, 113, 335, 1956.
2. С. Л. Киперман и А. А. Баландин, Ж. физ. химии, 32, 828, 1958.
3. А. А. Баландин, Ж. общ. химии, 16, 793, 1946.
4. А. А. Баландин и А. А. Толстопятова, Ж. физ. химии, 30, 1636, 1956.
5. А. А. Баландин, Докл. АН СССР, 107, 85, 1956.
6. Т. Коттрелл, Прочность химических связей, ИИЛ, М., 1956.
7. K. Morikawa, W. S. Benedict, H. S. Taylor, J. Amer. Chem. Soc., 58, 1445, 1795, 1936.
8. Bureau of Stand., Circ. N 500, Washington, 1952.
9. C. K.emball, Proc. Roy. Soc., A, 217, 356, 1953.
10. G. H. Twigg, Trans. Faraday Soc., 35, 935, 1939.
11. G. Jenkins, E. K. Rideal, J. Chem. Soc., 2490, 1955.
12. A. Klar, Z. phys. Chem. A174, I, 1935.
13. O. Veessck, Rev. Mod. Phys., 17, 61, 1945.
14. A. a. L. Farkas, J. Amer. Chem. Soc., 60, 22, 1938.
15. G. M. Schwab, R. Zorn, Z. phys. chem. B22, 169, 1936.
16. W. A. Pliskin, R. R. Eishens, J. Chem. Phys. 24, 482, 1956.
17. Д. В. Соколовский и О. С. Попов, Сб. «Каталитическое гидрирование и окисление», Изд-во АН КазССР, Алма-Ата, 1955.
18. G. G. Bond, J. Sheridan, Trans. Faraday Soc., 48, 651, 1952.
19. G. G. Bond, J. Sheridan, Trans. Faraday Soc., 48, 712, 1952.
20. K. E. Hayes, H. S. Taylor, Z. phys. Chem. N. F., 45, 127, 1958.
21. Г. М. Левин и А. А. Баландин, Изв. АН СССР, ОХН, 1958.
22. R. Greenholgh, M. Polanyi, Trans. Faraday Soc., 35, 520, 1939.
23. D. D. Eley, Disc. Faraday Soc., 8, 34, 1950.
24. В. Н. Кондратьев, Успехи химии, 26, 861, 1957.

THE BOND ENERGIES OF METALLIC CATALYST SURFACES WITH CARBON

S. L. Kiperman and A. A. Balandin (Moscow)

Summary

A procedure has been proposed for determining the bond energies of metallic catalyst surfaces with carbon from kinetic data with the aid of bond energy values for the catalyst with hydrogen. In the procedure use is made of the simplest reactions of isotopic exchange, hydrogenation and hydrogenolysis of the lower homologs of organic compounds.

The bond energy values have been calculated for nickel, iron, platinum and palladium surfaces with carbon adjacent to single, double and triple bonds in three-membered and aromatic rings.

Increasing adjacent to carbon bond order increases the strength of the carbon bond to the catalyst surface. On formation of a three-membered or aromatic ring the strength of the carbon-catalyst surface bond is greater than the strength of the bond with carbon adjacent to a single or double bond.

For small changes in activity of the catalyst specimens the corresponding bond energies change comparatively little. This also holds on passing from one metal to another.

КINETИКА ВОЗБУЖДЕНИЯ МОЛЕКУЛ ЭЛЕКТРОМАГНИТНЫМИ
И МЕХАНИЧЕСКИМИ ВОЛНАМИО РОЛИ СТРУКТУРНЫХ АНСАМБЛЕЙ В ПЕРВИЧНОМ АКТИВАЦИОННОМ
АКТЕ ПРОЦЕССА ФОТОСИНТЕЗА

С. С. Васильев

Описанию новейших исследований физико-химических процессов, имею-
щих место при фотосинтезе углеводов в клетках зеленых растений, посвя-
щен ряд книг [1—4], обзорных [5—11] и оригинальных статей. Но до сих
еще не ставилась задача — выяснить связь между течением реакции
фотосинтеза и особенностями строения тех структурных элементов, в кото-
рых протекает эта реакция в клетках растений. Этот вопрос рассматрива-
ется в настоящей работе на основе анализа условий поглощения энергии
молекулами в структурных ансамблях [12, 13].

В зеленых клетках хлорофилл локализован в хлоропластах и концентрируется
в более мелких структурных единицах — гранулах. Структура хлоропластов и
гранул рассмотрена в книгах Фрей-Вислинга [1] и Рабиновича ([2], т. 1, стр. 359—
360). Здесь отметим лишь, что гранулы плоские и цилиндричные, имеют в диаметре от
до 2 μ и толщину около 0,2 μ . Каждая гранула разделяется на тонкие диски, ко-
торые образованы из протеинов и сцеплены друг с другом жироподобными липид-
ными пластинами. Молекулы хлорофилла заключены между липидными пластинами,
чем плоское гидрофильное кольцо молекулы (хлорофиллин) располагается между
двумя, а длинная гидрофобная цепь молекул (фитол) погружена в липидный слой.
Гранулы обладают двойным лучепреломлением, обусловленным их пластинчатой
структурой. При этом оптическая ось проходит через центр пластин перпендикулярно
плоскостям; электрический вектор необыкновенного луча колеблется перпенди-
кулярно пластинам, а электрический вектор обыкновенного луча — параллельно
пластинам. При наполнении больших хлоропластов жидкостью, диэлектрическая
поверхность которой $\epsilon' = 1,58$, отрицательное двойное преломление исчезает, сменяясь
слабым положительным, обусловленным собственным преломлением липидных пла-
стин [14].

Исследования при помощи люминесцентного микроскопа [15] показали, что гра-
нулы ярко флуоресцируют на слабо флуоресцирующем фоне стромы хлоропластов.
Электронный микроскоп открыл гранулы в тех хлоропластах, которые ранее казались
однородными. В бактериях нет гранул, но размеры бактерий близки к размерам гра-
нул. Поэтому можно сказать: в зеленых клетках хлорофилл концентрируется в гра-
нулах; гранулы могут появляться либо индивидуально, либо комбинируясь в хлоро-
пласты [16]. Во всяком случае, во всех исследованных до сих пор случаях нахождение
хлорофилла в клетках всегда связано с ламинарной структурой [16, 17]. На ранних
стадиях развития электронный микроскоп обнаруживает решетчатую структуру гра-
нул [18].

Основываясь на данных, касающихся строения гранул, представим
себе две смежные липидные пластины гранул в виде пластин плоского
конденсатора, между которыми находятся способные поглощать свет моле-
кулы хлорофилла. Представим себе, что когда в силу двойного лучепре-
ломления между этими слоями распространяется свет, электрический век-
тор необыкновенного луча заряжает легко поляризуемые пластины до
потенциала, равного потенциалу. При этом учтем, что в отличие от металлических
пластин обычного плоского конденсатора образованные из липидных
молекул пластины могут заряжаться не вполне равномерно, на что отчас-
ти указывает решетчатая структура гранул, хорошо заметная на ранних
стадиях их развития. Это будет означать, что заряды на пластинах будут
образовывать некоторую сетчатую мозаику, т. е. что активная в смысле

приобретения заряда поверхность пластин составит некоторую долю $\kappa \ll 1$ от их видимой поверхности.

Обозначим видимый радиус пластин через ρ , расстояние между пластинами через Λ , действительную часть диэлектрической проницаемости среды между пластинами через ε' . Тогда найдем, что электрическая емкость конденсатора, образованного указанными двумя липоидными слоями в единицах CGSE будет равна

$$C_A^{(e)} = \kappa \frac{\varepsilon' \rho^2}{4\Lambda}.$$

Обратим также внимание на то, что любой реальный конденсатор не является идеализированной «чистой» емкостью, а представляет собой некоторый колебательный контур, индуктивность которого обусловливается магнитным полем электрического тока, который проходит через конденсатор в процессе его зарядки или разрядки.

Расчет индуктивности, соответствующей магнитному полю плоского конденсатора был выполнен Руденбергом, разрабатывавшим теорию грозового разряда [19]. Рассматривал облако и его электрическое изображение в земле как обкладки плоского конденсатора, через который может проходить ток смещения и ток разряда конденсатора. Для случая, когда через такой конденсатор проходит ток смещения, расчет выполняется следующим образом. Напряженность магнитного поля H внутри цилиндрического проводника на расстоянии r от его оси будет равна [20]:

$$H = 2\pi r \frac{i}{\pi r^2} = \frac{2ri}{r^2}.$$

где i — сила тока, текущего через проводник. Объем цилиндра радиуса r и высотой равен $\Omega = \pi r^2 \Lambda$, и тогда $d\Omega = 2\pi r \Lambda dr$. Так как $\mu = 1$, то энергия магнитного поля между пластинами равна

$$\int_0^{\rho} \frac{\mu H^2}{8\pi} d\Omega = \frac{\Lambda i^2}{\rho^4} \int_0^{\rho} r^3 dr = \frac{\Lambda i^2}{4} = \frac{Li^2}{2},$$

где L — индуктивность рассматриваемого пространства.

Принимая, что индуктивность структурного ансамбля, образованного реальным плоским конденсатором, определяется формулой (2) п, обозначая эту индуктивность в единицах CGSM через $L_A^{(m)}$ и в единицах CGSE через $L_A^{(e)}$, найдем

$$L_A^{(m)} = \frac{\Lambda}{2}; \quad L_A^{(e)} = \frac{\Lambda}{2c^2},$$

где $c = 3 \cdot 10^{10}$.

Тогда собственная круговая частота контура, состоящего из емкости C_A и индуктивности L_A , будет равна

$$\omega_A = \frac{2\pi c}{\lambda_A} = \frac{c}{\sqrt{C_A^{(e)} L_A^{(m)}}}.$$

где λ_A длина волны, соответствующая частоте ω_A .

На основании (1), (3) найдем соотношение между радиусом пластин и длиной волны λ_A

$$\rho = \sqrt{\frac{2}{\varepsilon'} \frac{\lambda_A}{\pi \kappa}}.$$

Допустим также, что гранулы с содержащимися между их пластинами молекулами хлорофилла являются «элементарными структурными ансамблями с согласованными частотами» [13], так что можно положить

$$\omega_A \sim \omega_{nm}; \quad \lambda_A \sim \lambda_{nm},$$

где ω_{nm} и λ_{nm} круговая частота и длина волны, соответствующие максимуму полосы поглощения молекул хлорофилла в фотохимической активной области.

Для живых клеток максимумы полос поглощения располагаются $\lambda_{nm} = 430$ до $\lambda_{nm} = 690$ мμ ([2], т. II, стр. 106). Полагая $\epsilon' = 1,58$ и ≈ 1 , из (5), (6) пайдем, что диаметр пластин $d = 2\rho$ будет равен $3-0,5$ мμ. Эти вычисленные значения близки к действительным размерам диаметра гранул, которые колеблются от 0,3 до 2 мμ. При этом известно, что более крупные граулы встречаются у темнотлюбивых растений ([2], т. 1, стр. 363). Для этих растений, по-видимому, пластины гранул более рыхлы, так что для них $\kappa < 1$.

Таким образом мы приходим к фундаментальному выводу, согласно которому оказывается возможным рассматривать гранулы как элементарные структурные ансамбли, в которых при длине волны фотохимически активного света возникает резонанс между колебаниями электрического поля в падающей волне и электромагнитными колебаниями в ансамбле. Как было показано ранее [13], при этом должна иметь место повышенная вероятность возбуждения молекул, входящих в ансамбль — в рассматриваемом случае — молекул хлорофилла.

Заметим, что соединение n дискообразных слоев гранул в столбики может изменить собственной частоты ω_A образованного таким образом ансамбля, так как при этом в n раз уменьшится емкость C_A , но одновременно в n раз увеличивается и индуктивность L_A .

Вычислим коэффициент структурного усиления поглощения энергии электромагнитных волн молекулами хлорофилла, которые входят в состав рассматриваемого элементарного структурного ансамбля. Этот коэффициент определяется формулой [13]

$$\sigma_{nm} = \frac{W_{nm}^*}{W_{nm}} = \frac{L_{nm}}{L_{nm}^*} \quad (7)$$

где W_{nm} — мощность, поглощаемая в единице объема молекулами, находящимися в состоянии простого статистического смешения, W_{nm}^* — мощность, поглощаемая в единице объема теми же молекулами, в том случае, когда они включены в состав структурного ансамбля; L_{nm} — индуктивность молекулярного колебательного контура, который эквивалентен квантовому осциллятору поглощающей свет молекулы, L_{nm}^* — эффективная индуктивность возбужденных молекул в ансамбле. При этом

$$L_{nm}^{(e)} = \frac{l^2}{c^2} \frac{m}{f_{nm}}; \quad (8)$$

$$L_{nm}^{*(e)} = L_A^{(e)} N_m \frac{l^2}{l_A^2} \frac{R_A}{R_E} \frac{1}{\cos^2 \psi}. \quad (9)$$

где e — заряд электрона, m — масса электрона, f_{nm} — сила осциллятора, N_m — число поглощающих свет молекул, входящих в состав ансамбля, l — средняя длина отдельной поглощающей свет молекулы, l_A — расстояние между двумя крайними точками в ансамбле, на которые действует электрическое поле при оптимальной ориентации ансамбля, $\cos^2 \psi$ — коэффициент ориентации, R_E — эквивалентное активное сопротивление, соответствующее поглощению энергии в ансамбле возбужденными молекулами, испытывающими при этом переходы $m \rightarrow n$. Наконец $R_A = R_E + R_M$, где R_M — «сопротивление рассеяния», дополнительно вносимого самим ансамблем.

Если Ω_A — объем ансамбля и n_m концентрация молекул, находящихся на уровне m , то

$$N_m = \Omega_A \cdot n_m. \quad (10)$$

рассматриваемом случае

$$\Omega_A = \kappa \rho^2 \Lambda. \quad (11)$$

Обозначая через c_m концентрацию, выраженную в моль/л , и замечая, что $n_m = c_m \cdot 6 \cdot 10^{20}$, получим из (10) и (11)

$$N_m = \kappa \rho^2 \Delta c_m \cdot 6 \cdot 10^{20}. \quad (12)$$

На основании (3), (7), (8), (9), (12) получим

$$\sigma_{nm} = \frac{m}{e^2} \frac{l_A^2}{\kappa \Delta^2 \rho^2 c_m f_{nm}} \frac{R_E}{R_A} \cos^2 \phi. \quad (13)$$

Отношение $m/e^2 = 3,9 \cdot 10^{-9}$. Для молекул хлорофилла $f_{nm} = 0,24$ ([2], т. II стр. 40), кроме того, для гранул $c_m \sim 0,1$ ([2], т. I, стр. 414). Подставляя $\kappa = 1$; $\rho = 2,5 \cdot 10^{-5}$, $l_A \sim \Delta$, получим

$$\sigma_{nm} \approx 250 \frac{R_E}{R_A} \cos^2 \phi \leq 250. \quad (14)$$

Простое сопоставление поглощения света листьями или зелеными водорослями и растворами пигментов, извлеченных из этих объектов, показывает, что подобные измерения не обнаруживают ни полного совпадения ни значительного различия ([2], т. II, стр. 95—104). Но условия поглощения света молекулами хлорофилла в клетках и в растворах весьма различны ([2], т. II, стр. 83, 85, 124, 275—276; 451—452). Поэтому, даже при большой близости в непосредственно наблюдаемом поглощении света хлорофиллом в клетках и в растворах, никак нельзя утверждать, что каждая молекула хлорофилла в клетке поглощает света ровно столько же, сколько та же молекула может поглотить в растворе. К этому надо присоединить то, что, например, данные Ноддака и Эйхоффа [21] по исследованию поглощения света водорослью *Chlorella* противоречат измерениям Зейбольда и Вейсвейлера [22] и что Метцнер [15] и Варбург с сотрудниками [23] высказывают предположение, что не весь хлорофилл в клетках в равной степени участвует в поглощении света.

Далее отметим, что недавно Габриельсен [24] произвел детальное сопоставление фотосинтетической способности листьев разнообразных растений с содержанием в этих листьях хлорофилла, а также со способностью листьев поглощать свет. Было найдено, что линейная зависимость между поглощением света и содержанием хлорофилла имеет место только до тех пор, пока это содержание не превышает приблизительно 2 мг/дм^2 поверхности листьев, дальнейшее же увеличение количества хлорофилла не приводит к росту поглотительной способности. Анализ этих данных показывает, что квантовый выход фотосинтеза даже при указанной линейной зависимости был невелик — на одну молекулу фиксированной углекислоты поглощалось около 14 квантов, что соответствует использованию 20% поглощенной энергии на фотосинтез.

Таким образом видно, что изучение поглощения света листьями производилось при условиях, не соответствующих максимальному использованию поглощаемой энергии, которое согласно данным Варбурга [23] может приближаться к 100%, т. е. соответствовать потреблению всего 2,8 квантов на молекулу фиксированной углекислоты. Правда, Франком [8, 25] оспаривалась возможность столь высокого использования энергии на фотосинтез. Но и этот автор не отрицает возможности того, что фотосинтез может осуществляться с использованием около 50% поглощаемой энергии. Особый интерес представляют также опыты А. Л. Курсанова и Б. Б. Вартапетяна [26], в которых было установлено, что содержание хлорофилла в зеленых плодах томатов составляет всего 0,25% от содержания его в листьях, в то время как интенсивность фотосинтеза составляет 4—5% от среднего фотосинтеза листьев. Это указывает на то, что безусловно возможны случаи, когда фотосинтетический аппарат функционирует с исключительно высоким коэффициентом использования хлорофилла.

Далее, представляется очевидным, что поглощение света молекулами хлорофилла в растворе протекает в среднем равномерно во время всей

тельности освещения. Исследованиями же Эмерсона и Арнольда [27], а также подтвержденными Коком и Бусингером [28], установлено, что фотосинтез может протекать как периодический процесс, в котором первичная фотоактивация, длящаяся $\sim 10^{-5}$ сек., сменяется темновым периодом, имеющим длительность 0,03—0,4 сек. При этом квантовый выход фотосинтеза при ярком освещении вспышкой оказывается равным квантовому выходу при непрерывном освещении, если только общее количество поглощаемой энергии $E = \int I dt$, где I интенсивность света, оказывается одинаковым. Это указывает на тождественность механизма фотосинтеза при импульсном и при непрерывном освещении, т. е. на то, что фотосинтез всегда протекает как периодическая смена элементарных актов возбуждения молекул хлорофилла и последовательности ряда темновых реакций, время которых энергия возбужденных молекул хлорофилла преобразуется в свободную энергию синтезируемых углеводов. Исследование механизма темновых реакций показало, что энергия возбуждения молекул хлорофилла преобразуется в энергию фосфатных макроэргических связей, с образованием аденозиндифосфорной (ADP) или аденозинтрифосфорной (ATP) кислот в энергию восстановленной формы дифосфопиридиннуклеотида (DPNH) или трифосфопиридиннуклеотида (TPNH) [6, 7, 29]. При этом на каждую фиксированную молекулу углекислоты расходуется 3 молекулы ATP и 2 молекулы TPNH.

Если в экстракте из зеленых клеток присутствует избыток ATP и TPNH, процесс образования триозы из углекислоты может осуществляться без участия структурных фрагментов хлоропластов [7]. Но для образования указанных молекул ATP и DPNH необходимы хлоропласты или их фрагменты [29—31]. Таким образом видно, что если поглощение света хлорофиллом и последующее превращение кванта в энергию молекул ATP, DPNH, TPNH можно представить себе как последовательность элементарных реакций, то весь процесс синтеза молекулы триозы является весьма сложной реакцией, требующей для своего осуществления наличия в некоторой ограниченной области гранул наряду с молекулами CO_2 и другими веществами и ферментами обязательно 9 молекул ADP и ATP и 6 молекул DPNH (или TPNH). Образование этих молекул требует не менее 9—18 квантов. Отсюда следует, что в гранулах должно иметься такое какое-то особое условие, обеспечивающее высокую вероятность поглощения большого числа квантов в ограниченной области пространства.

Заметим, что Эмерсон и Арнольд [27] нашли также, что в поглощении квантов света, необходимых для фиксации одной молекулы углекислоты, участвуют около 2500 молекул хлорофилла. Такой комплекс был назван «фотосинтетической единицей». При этом предполагалось, что после поглощения кванта света какой-либо из молекул поглощенная энергия совершает миграцию в пределах «фотосинтетической единицы», в виде «экситона» («центра восстановления», в котором, собственно, и происходит первичный акт фотосинтеза. Теория подобной миграции энергии разрабатывалась рядом исследователей [32—37] и в настоящее время концепция фотосинтетических единиц и миграции энергии полностью сохраняется в литературе по фотосинтезу [28, 38, 39]. Поэтому совокупность центров восстановления, объединенных в некоторой области, в которой происходит синтез триозы и по направлению которого мигрируют поглощаемые кванты, может обозначаться как «центр фотосинтеза». Из теории же миграции энергии в кристаллах известно, что эта миграция обычно заканчивается в дефектах, в которых имеются какие-либо посторонние включения. Например, возбуждающая в кристаллах антрацена энергия высвечивается в местах поглощения нафтацена. Так как для первичного акта фотосинтеза необходим неорганический фосфор, то можно думать, что в гранулах центрами, в которых заканчивается миграция энергии, будут области, достаточно насыщенные молекулами, содержащими неорганический фосфор. Но первич-

ный акт фотосинтеза осуществляется в краткое время (10^{-5} — 10^{-4} сек) во время которого в центрах фотосинтеза должно собраться не менее 9–18 квантов. Поэтому представляется невероятным, чтобы подобное сосредоточивание энергии могло осуществляться в порядке простой диффузионной флуктуации, тем более, что при этом должно быть обеспечено высокое использование поглощенной энергии. Кроме того, после завершения первичного акта поглощения света внутри тех же гранул осуществляется перемещение промежуточных и конечных продуктов фотосинтеза так как известно, что во всяком случае фотосинтез и накопление крахмала протекают в различных участках пространства ([17], 4, стр. 371)

Все это вынуждает предположить, что внутри гранул должны существовать особые пути миграции энергии, которые, быть может, так или иначе связаны с путями движения промежуточных и конечных продуктов фотосинтеза.

На особый характер расположения и взаимодействия молекул хлорофилла внутри гранул указывают следующие факты. Исследования Латингстона [40] показывают, что метастабильные молекулы хлорофилла при молярной концентрации хлорофилла в растворе $\sim 10^{-6}$ имеют продолжительность жизни $6 \cdot 10^{-4}$ сек. и что эти молекулы в растворе теряют энергию возбуждения в результате бимолекулярных столкновений. Отсюда непосредственно следует, что если молекулы хлорофилла не имели бы какого-то особого расположения и взаимодействия внутри гранул, при молярной концентрации $c_m \sim 0,1$, которая здесь имеет место, продолжительность жизни метастабильной формы этих молекул был бы порядка $6 \cdot 10^{-9}$ сек. т. е. такие молекулы в опытах с мигающим освещением никак не могли бы удерживать своего состояния возбуждения за пределами времени вспышки, длительность 10^{-5} сек. А между тем исследования Витта [41] показывают, что спектр поглощения хлорофилла в одноклеточных водорослях предварительно освещенных яркой вспышкой, имеет характерные для метастабильных состояний полосы поглощения, причем можно сделать заключение, что продолжительность жизни этих состояний лежит в пределах от 0,01 до 1 сек., т. е. как раз соответствует длительности темновой периода фотосинтеза. Характер упаковки молекул хлорофилла в клетках подтверждается также опытами Латимера и Рабиновича [42], которые нашли, что — в противоположность обесцвеченным клеткам — зеленые одноклеточные водоросли обнаруживают резко селективное рассеяние света. Далее, исследование дихроизма и двойного лучепреломления хлоропластах, выполненное Гоздером [43], показывает, что число молекул хлорофилла, у которых хлорофиллиновые плоские части располагаются параллельно плоскости пластин гранул, превышает примерно на 15% число молекул, у которых плоские части располагаются перпендикулярно этим плоскостям. При этом установлено, что молекулы хлорофилла возбуждаются светом, в котором электрический вектор колеблется параллельно хлорофиллиновым плоским частям. Наконец, в работе Арнольда и Микса [39] было найдено, что находящиеся в гранулах молекулы хлорофилла будучи возбуждены поляризованным светом, излучают свет флуоресценции сильно деполаризованным, что, согласно расчетам авторов, должно объясняться миграцией энергии между различно ориентированными молекулами.

Сопоставляя приведенные данные, можно представить, что миграция энергии внутри гранул осуществляется между молекулами хлорофилла плоские хлорофиллиновые кольца которых расположены параллельно пластине. Эти молекулы возбуждаются обыкновенным лучом. С другой стороны, необыкновенный луч, распространяющийся между липоидными пластинами гранул, может заряжать их до высшего потенциала, что, в свою очередь, может обеспечивать значительную вероятность возбуждения молекул, у которых хлорофиллиновые кольца ориентированы перпендикулярно плоскости пластин. Так как молекулы хлорофилла имеют длин-

ые фитоловые «хвосты», погруженные в липоидные слои, возможно, что в результате колебания плоского хлорофиллинового кольца одна и та же молекула может участвовать как в процессах возбуждения и миграции энергии, происходящих параллельно плоскости пластин, так и в процессах возбуждения, происходящих перпендикулярно плоскости этих пластин.

Как говорилось, центрами фотосинтеза могут быть области, богатые неорганическим фосфором. К этим областям должна мигрировать энергия, эти области могут являться точками, в которых преимущественно осуществляется возбуждение молекул перпендикулярно плоскости пластин. 1 так как, согласно предположениям А. А. Красновского [44], Арнона [6] и других, реакция фотосинтеза связана с окислительно-восстановительными процессами, усиленное возбуждение молекул в центрах фотосинтеза будет аналогично «кистевому» разряду фототока между пластинами плоского конденсатора. С этой точки зрения интересно обратить внимание на то, что максимум спектра флуоресценции хлорофилла заметно смещен в сторону длинных волн по сравнению с максимумом спектра поглощения хлорофилла в клетках. Это смещение достигает 60—140 м μ ([2], II, стр. 216—223). Объяснение такому смещению Рабинович ищет на основе принципа Франка—Кондона. Но в последнее время Липпертом [5, 46] было показано, что смещение на величину порядка 100 м μ спектра флуоресценции по сравнению со спектром поглощения может иметь причиной значительно большую полярность молекул в возбужденном состоянии по сравнению с полярностью тех же молекул в исходном состоянии, благодаря чему возбужденные молекулы взаимодействуют с молекулами окружающего растворителя, и энергетический уровень возбужденного состояния несколько снижается. Таким образом в центрах фотосинтеза, которых благодаря структурному усилению одновременно должно появляться до 9—18 возбужденных или метастабильных молекул хлорофилла, обладающих значительной полярностью, может возникать возмущение активатора, в свою очередь создающее гидродинамические течения и другие механо-химические эффекты, свойственные системам, содержащим олиэлектролиты [47]. Благодаря этому, по-видимому, наряду с направленной миграцией энергии осуществляется и перемещение исходных компонентов и промежуточных и конечных продуктов фотосинтеза, которое обеспечивает правильное циклическое осуществление процесса фотосинтеза с высоким коэффициентом использования поглощаемой энергии.

Изложенные представления могут быть пояснены формулой (14). Рассматривая это выражение, мы видим, что оно содержит отношение E/R_A , где $R_A = R_E + R_M$ и R_M — сопротивление рассеяния энергий ансамбле. Предполагая, что гранулы в хлоропластах образуют мозаичную структуру, найдем, что каждая из таких гранул должна характеризоваться своим отношением $R_E^{(k)}/(R_E^{(k)} + R_M^{(k)})$, где k — индекс гранулы. Так как взаимодействие молекул хлорофилла в гранулах отлично от их взаимодействия в растворах, можно принять, что особенность этого взаимодействия выражается величиной $R_M^{(k)}$, причем, согласно сделанным выше предположениям:

$$R_M^{(k)} = \frac{\dot{G}^{(k)}}{[P_i^{(k)}]}. \quad (15)$$

где $[P_i^{(k)}]$ — концентрация неорганического фосфора в данной грануле k^* ,

* Предположение о решающем значении неорганического фосфора для задержки дальнейшей миграции энергии является, конечно, чисто условным, рассматриваемым здесь в качестве иллюстративного примера. Вообще же под символом $[P_i^{(k)}]$ может пониматься концентрация любых химических агентов, наличие которых в грануле k , одной стороны, обеспечивает возможность вовлечения углекислоты в цикл фотосинтетических реакций, и, с другой стороны, препятствует рассеянию (миграции) энергии, т. е. делает возможным проявление способности гранул концентрировать энергию, необходимую для фотосинтеза.

а $G^{(k)}$ — коэффициент пропорциональности. Из (14) и (15) получим

$$\sigma_{nm}^{(k)} \approx 250 \frac{R_E [P_i^{(k)}]}{R_E [P_i^{(k)}] + G^{(k)}} \cos^2 \phi. \quad (16)$$

Очевидно, что для гранул, для которых $P_i^{(k)} \rightarrow 0$, коэффициент $\sigma_{nm}^{(k)} \rightarrow 0$. Для гранул же, в которых концентрация неорганического фосфора достаточно велика, $\sigma_{nm}^{(k)} \rightarrow 250 \cos^2 \phi$, т. е. в данном случае коэффициент усиления $\sigma_{nm}^{(k)}$ при благоприятной ориентации гранулы, относительно падающего света, стремится к своему предельному значению $\sigma_{nm}^{(k)} \rightarrow 250$.

Коэффициент структурного усиления для совокупности гранул будет равен

$$\sigma_{nm} = \sum_k x^{(k)} \sigma_{nm}^{(k)}, \quad (17)$$

где $x^{(k)}$ — доля молекул хлорофилла в грануле k , для которой значение коэффициента усиления равно $\sigma_{nm}^{(k)}$. Если условно принять, что суммарное поглощение света молекулами хлорофилла в зеленых клетках в среднем близко к их поглощению в разведенном растворе органических растворителей, т. е. положить $\sigma_{nm} \approx 1$ и разбить совокупность находящихся в зеленых клетках молекул на две основные группы, из которых одна будет характеризоваться значениями $x^{(k)} = x^{(1)}$ и $\sigma_{nm}^{(k)} = \sigma_{nm}^{(1)} \rightarrow \sigma_{nm}^{(\max)}$, а другая — значениями $x^{(k)} = x^{(2)}$ и $\sigma_{nm}^{(k)} = \sigma_{nm}^{(2)} \rightarrow 0$, то из (17) получим: $x^{(1)} = 1/\sigma_{nm}^{(\max)}$. Принимая согласно (15) значение $\sigma_{nm}^{(\max)} = 250 \cos^2 \phi \rightarrow 250$, найдем, что $x^{(1)} = 0,004$. Это будет равносильно утверждению, что из 250 молекул хлорофилла только одна принимает участие в поглощении квантов света с их прямым использованием на фотосинтез, но что вероятность такого поглощения приблизительно в 250 раз превышает среднюю поглощающую способность хлорофилла в клетках. К аналогичному результату приходим, если разделим число молекул в одной фотосинтетической единице, равное 2500 [27] или 1900 [28], на квантовый выход фотосинтеза, равный от 4 до 10 единицам, т. е. определим число молекул хлорофилла, участвующих в фиксации одного кванта в процессе фотосинтеза. Это число будет лежать в пределах от 190 до 500, т. е. будет близко к указанной величине 250.

В заключение обратим внимание на то, что Варбургом с сотрудниками [23] было обнаружено особое каталитическое действие зелено-голубого света на фотосинтез, в силу которого в условиях, когда к красному свету добавлялась ничтожная доля сине-зеленого света, квантовые выходы сильно повышались. С другой стороны, обращает на себя внимание тот факт, что ориентация хлоропластов не может осуществляться в одном красном свете ([2], т. II, стр. 91). Поэтому представляется вероятным, что наличие сине-зеленого света способствует оптимальной ориентации гранул или водорослей, при которой в формулах (14), (16) значение $\cos^2 \phi \rightarrow 1$. Если бы такая ориентация не имела особого значения для механизма фотосинтеза, изменение положения гранул или клеток относительно падающего света могло бы иметь значение только для интенсивности фотосинтеза, но не могло бы влиять на квантовый выход этого процесса.

Выводы

1. Гранулы хлоропластов могут рассматриваться как элементарные структурные ансамбли с согласованными частотами. Конденсатор такого ансамбля образован плоскими дисками гранул, состоящими из липондных молекул, индуктивность же ансамбля образуется магнитным полем тока

мещения, заряжающего указанный конденсатор. Между пластинами конденсатора находятся молекулы хлорофилла. Предполагается, что собственная частота ансамбля близка собственной частоте максимума поглощения света молекулами хлорофилла. Это допущение позволяет вычислить величину диаметра пластин гранул, которая оказывается лежащей в пределах от 0,3 до 0,5 μ , т. е. близка действительно наблюдаемым значениям.

2. Благодаря особенностям строения гранул в центрах фотосинтеза обеспечивается высокий коэффициент использования поглощенной энергии, и вокруг таких центров могут создаваться условия, облегчающие перемещение исходных веществ, промежуточных и конечных продуктов фотосинтеза между пластинами гранул, что может иметь важное значение для циклического хода процесса фотосинтеза.

3. До сих пор многие исследователи удовлетворялись качественным выводом из экспериментальных исследований, согласно которому суммарное поглощение света молекулами хлорофилла в клетках и в разведенных растворах «приблизительно одинаково». Но не было обращено должного внимания на то, что состояние молекул хлорофилла в клетках и в разведенных растворах, заведомо, различно, и что поэтому указанная «приблизительная одинаковость» в поглощении, скорее, должна вызывать удивление. Поэтому необходимо обратить особое внимание именно на те случаи, в которых удастся установить количественное различие в поглощательной способности хлорофилла в клетках и в растворах. Хотелось бы думать, что представления, изложенные в настоящей статье, могут стимулировать исследования в этом направлении.

Технологический институт
легкой промышленности
Москва

Поступила
6.III.1958

ЛИТЕРАТУРА

1. А. Фрей-Висслинг, Субмикроскопическое строение протоплазмы и ее производных. ИИЛ, Москва, 1950, стр. 212—227; 345—347.
2. Е. Рабинович, Фотосинтез, I и II, ИИЛ, Москва, 1951, 1953.
3. А. А. Ничипорович, Световое и углеродное питание растений. Изд-во АН СССР, 1955.
4. Д. Н. Сабинин, Минеральное питание растений, Изд-во АН СССР, 1956.
5. E. Rabinowitch, *Scient. Amer.*, 189, 80, 1953.
6. D. J. Arnon, *Science*, 122, 9, 1955.
7. E. Backer, *Nature*, 175, 294, 1955.
8. J. Franck, *Daedalus*, 86, 17, 1955.
9. H. V. Hosteller, *Chimia*, 10, 132, 1956.
10. H. Gisebach, *Chemiker-ztg*, 80, 33, 1956.
11. D. J. Arnon, F. R. Whatley and M. B. Allen, *Nature*, 180, 182, 1957.
12. С. С. Васильев, *Ж. физ. химии*, 29, 2018, 1955.
13. С. С. Васильев, *Ж. физ. химии*, 30, 2456, 1956.
14. A. Frey-Wyssling and E. Steinmann, *Biochim. et biophys. acta*, No 2, 254, 1948.
15. P. Metzner, *Elora*, 142, 81, 1954.
16. J. B. Thomas, L. C. Popt and N. Vertret, *Biochim. et biophys. acta*, 13, 20, 1954.
17. H. Levon, *Expt. Cell Res.* 4, 371, 1953, 5, 520, 6, 497, 7, 265, 288, 1954; *Svensk kem. tidskr.* 68, 70, 1956.
18. Hertz, *Exptl. Cell Res.* 7, No 2, 1954.
19. R. Rudenberg, *Elektrische Schaltvorgänge*, Berlin, 1933, 561—564.
20. А. А. Эйхенфельд, Теорет. физика, т. VI, Гостехиздат, 1931, стр. 121.
21. W. Noddak und H. J. Eichhoff, *Z. phys. Chem.*, A, 185, 241, 1939.
22. A. Seybold und Weissweiler, *Bot. Arch.*, 44, 102, 456, 1943.
23. O. Warburg, G. Krippahl und W. Schröder, *Z. Naturforsch.*, 9, 667, 1954.
24. E. K. Gabrielsen, *Physiol. plantarum*, I, 5, 1948.
25. James Franck, *Arch. Biochem. and Biophys.*, 45, 191, 1953.
26. А. Л. Курсанов и Б. Б. Вартапетян, *Физиология растений*, 3, 214, 1956.
27. R. Emerson and W. Arnold, *J. Gen. Physiol.* 15, 391, 46, 191, 1932.

28. B. Kok and J. A. Businger, *Nature*, **177**, 135, 1956.
29. D. J. Arnon and E. R. Whatley, *J. Amer. Chem. Soc.*, **76**, 6324, 1954.
30. D. J. Arnon, F. R. Whatley and M. B. Allen, *Nature*, **180**, 182, 1957.
31. N. E. Tolbert and L. P. Zill, *J. Gen. Physiol.* **37**, 575, 1954.
32. Я. Н. Френкель, *Phys. Rev.* **37**, 17, 1276, 1931; *Phys. Z. Sowjetunion*, **9**, 158, 1936.
33. K. Wöhl, *New Phytologist*, **39**, 33, 1940.
34. С. Н. Вавилов, Докл. АН СССР, **34**, 220, 1942, **42**, 331, 457, 1944; *Ж. эксп. прил. теор. физ.*, **7**, 141, 1943.
35. T. Förster, *Naturwissenschaften*, **33**, 166, 1946; *Z. Naturforsch.*, **b**, **26**, 174, 1947.
36. А. Н. Теренин, *Успехи физ. наук*, **43**, 347, 1951.
37. А. Н. Теренин и В. Л. Ермолаева, Докл. АН СССР, **85**, 547, 1952.
38. H. J. Dutton, W. M. Maning, B. M. Dugger, *J. Phys. Chem.* **47**, 308, 1943.
39. W. Arnold and E. Meek, *Arch. Biochem. and Biophys.*, **60**, 82, 1956.
40. R. Livingston, *J. Amer. Chem. Soc.*, **77**, 8, 217, 1955.
41. H. T. Witt, *Naturwissenschaften*, **3**, 72, 1955; *Z. phys. Chem. (Neue Folge)*, **4**, 120, 1955.
42. P. Latimer and E. Rabinowitch, *J. Chem. Phys.* **24**, 480, 1956.
43. J. C. Goedheer, *Biochim. et biophys. acta*, **16**, 471, 1955.
44. А. А. Красновский, *Ж. физ. химии*, **30**, 96, 1956.
45. E. Lippert and F. Moll, *Z. Elektrochem.*, **58**, 718, 1954.
46. E. Lippert, *Z. Naturforsch.*, **10**, 541, 1955; *Z. phys. Chem. (Neue Folge)*, **6**, 125, 1956.
47. Katchalsky, *Polymer Sci.*, **7**, 393, 1954.

KINETICS OF MOLECULAR EXCITATION BY ELECTROMAGNETIC AND MECHANICAL WAVES

III. ON THE PART PLAYED BY STRUCTURAL ENSEMBLES IN THE PRIMARY ACTIVATING ACT OF PHOTOSYNTHESIS

S. S. Vasil'ev (Moscow)

Summary

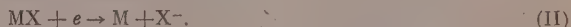
Despite the fact that the over-all light absorption by green leaves and their structural elements (chloroplasts) is often found to approach the absorption of light by solutions containing an equal amount of chlorophyll, the process of light absorption in the above «structural ensembles» differs from absorption of chlorophyll in solution. It has been shown that chloroplast granules may be considered as elementary oscillatory circuits. Owing to this the granules may concentrate within themselves the free energy of an electromagnetic field, necessary for carrying out the primary stages of photosynthesis which require no less than 3—4—10 «red» quanta. The geometric sizes of the granules and the relative composition of the «photosynthetic units» calculated on the basis of these assumptions have been found to be in satisfactory agreement with experimental data.

ОПРЕДЕЛЕНИЕ ЭНЕРГИИ СРОДСТВА К ЭЛЕКТРОНУ АТОМОВ ГАЛОГЕНОВ, СЕРЫ И РАДИКАЛА CN МЕТОДОМ ПОВЕРХНОСТНОЙ ИОНИЗАЦИИ

И. Н. Бакулина и Н. И. Ионов

Энергия сродства элемента к электрону равна разности внутренних энергий отрицательного иона и нейтрального атома в их основных состояниях. Несмотря на всюность знания этой величины для изучения физических и химических свойств элементов и их соединений, значение ее определено лишь для немногих элементов [1]. Это объясняется тем, что до сих пор нет достаточно надежных методов определения величины сродства к электрону. Точный теоретический расчет выполнен лишь для атома водорода. Для всех же остальных элементов часто пользуются различными методами экстраполяции, которые, конечно, не могут претендовать на сколько-нибудь надежную величину s . Косвенные экспериментальные методы, позволяющие определять энергию сродства к электрону при помощи кругового термодинамического цикла, тоже могут дать достаточно точных значений s , так как требуют знания большого числа термодинамических величин, обычно известных с недостаточной точностью. Наиболее перспективными методами определения величины сродства к электрону следует, по-видимому, считать прямые экспериментальные методы: метод электронного удара, метод фотоотщепления электрона от отрицательного иона и метод поверхностной ионизации.

В методе электронного удара [2, 3] значение энергии электронного сродства может быть определено из энергетического баланса реакций типа:



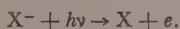
Потенциал появления иона X^- , т. е. минимальная энергия электронов, необходимая для образования иона X^- , для этих двух реакций равна

$$A(X^-) = D(MX) + I(M) - s(X) + E(M^+) + E(X^-); \quad (I')$$

$$A(X^-) = D(MX) - s(X) + E(M) + E(X^-). \quad (II')$$

В опытах должны быть измерены потенциал появления $A(X^-)$ и кинетическая энергия продуктов реакции E . Определение этих величин связано с большими экспериментальными трудностями из-за разброса электронов по скоростям, контактной разности потенциалов и т. п. В случае положительных ионов потенциал появления определяется с помощью градуировочных газов с хорошо известными значениями энергий ионизации. Для отрицательных ионов выбрать такой эталонный газ трудно, так как ни один из них не изучен достаточно подробно. Кроме того, чрезвычайно трудно и интерпретировать полученные результаты. Для вычисления $s(X)$ на основании выражений (I') и (II') кроме $A(X^-)$ и энергий E нужно знать также энергию диссоциации $D(MX)$. Ионизационный потенциал $I(M)$, поэтому может быть правильнее было бы отнести к методу электронного удара не к прямым, а к косвенным методам определения сродства к электрону. Однако этот метод в настоящее время является единственным экспериментальным методом для оценки электронного сродства радикалов.

Метод фоторазрушения отрицательного иона [4] является наиболее прямым методом измерения абсолютного значения сродства к электрону. Величина $s(X)$ определяется как порог реакции:



Вероятность этого процесса мала, следовательно и точность определения $s(X)$ невелика, особенно, если принять во внимание, что измеряется очень малый эффект при наличии большого фона, вызываемого различными побочными процессами.

Метод поверхностной ионизации — один из первых прямых методов определения энергии электронного сродства. Явление поверхностной ионизации заключается в том, что при испарении атомов или молекул с накаленной металлической поверхности они испаряются в виде положительных или отрицательных ионов. Величина тока положительных ионов определяется при помощи уравнения Саха — Лэнгмюра, ста-

тистический и термодинамический вывод которого приведен в монографии [5], и ра

$$I^+ = \frac{n\varepsilon}{1 + A_+ e^{(v_i - \varphi)\varepsilon/kT}}$$

а тока отрицательных ионов — аналогичной формулой:

$$I^- = \frac{n\varepsilon}{1 + A_- e^{(\varphi - s)\varepsilon/kT}}$$

в которых n — число атомов, поступающих на поверхность в единицу времени; ε — заряд электрона; $A = g_a/g_p$ — отношение статистических весов атома и соответствующего иона; φ — работа выхода поверхности; v_i — ионизационный потенциал; s — энергия сродства к электрону; T — температура поверхности и k — постоянная Больцмана. Если φ известно, то для вычисления s по формуле (2) необходимо на опыте измерить величины I , n и T . В ранних работах [6, 7] число атомов n определялось по давлению паров исследуемого вещества, что приводило к значительным ошибкам. Надежный способ определения числа n для случая ионизации молекул щелочно-галогенных солей был описан в работе [8]. При диссоциации молекул щелочно-галогенной соли на поверхности образуется равное количество атомов галогена и щелочного металла, и, следовательно, по величине тока положительных ионов можно судить о количестве атомов галогена, поступающих на нить. В этом случае для отношения I_+ / I_- можно записать

$$\frac{I_+}{I_-} = \frac{1 + A_- e^{\varepsilon(\varphi - s)/kT}}{1 + A_+ e^{\varepsilon(v_i - \varphi)/kT}}$$

Если v_i и φ известны, то для вычисления s по формуле (3) достаточно измерить отношение токов I_+ / I_- и температуру T . Метод поверхностной ионизации, сравнительно простой в выполнении, принципиально может быть использован для определения сродства к электрону большинства атомов, обладающих положительным значением $s(X)$. Однако и этот метод не свободен от ряда недостатков, наиболее существенными из которых являются следующие. Поверхности, на которых обычно изучается ионизация, представляют собой мозаику из различных граней монокристаллов с разным значением работ выхода. Неоднородность работы выхода по поверхности может вызываться также адсорбцией на ней посторонних атомов, что может иметь место в условиях непрерывного напыления на поверхность исследуемого газа. При этом, как следует из формул (1) и (2), положительные ионы будут образовываться с большей вероятностью на участках поверхности с максимальным значением φ , а отрицательные ионы — на участках с минимальным значением φ , т. е. величина эффективной работы выхода для них неодинакова. Поэтому, для вычисления энергии сродства к электрону по формулам (2) и (3) необходимо знать эффективную работу выхода для каждого случая взаимодействия частицы с поверхностью. Под эффективной работой выхода здесь понимается работа выхода такой однородной поверхности, ионный ток с которой при заданной температуре равен току с данной неоднородной поверхностью равной площади. Определить же на опыте значение эффективной работы выхода удается, поэтому в каждом отдельном случае приходится делать различные предположения о ее величине, что, конечно, снижает точность определения s . В связи многими экспериментальными трудностями, присущими каждому методу определения энергии электронного сродства, значения $s(X)$, приведенные в табл. 1, даже для так называемых электроотрицательных элементов, как галогены, имеют большой разброс

Значения $s(X)$ в электрон-вольтах, определенные прямыми экспериментальными методами

Атом	Электронный удар	Фоторазрушение	Поверхностная ионизация
O	2,2 [3]; 1,45 [9]	1,48 ± 0,1 [4]	2,3 [12]; 3,1 [11]
S	> 2,2 [2]	2,07 ± 0,07 [10]	—
F	—	—	3,6 [12]; 4,1 [8; 15]
Cl	—	—	3,7 [8; 15]; 4,0 [13]
Br	3,8 [14]; 3,5 [2]	—	3,3 [15]; 3,6 [8]
I	3,2 [16]	—	3,1 [6; 15]; 3,3 [7; 8]

При этом, в частности, до последнего времени оставался невыясненным вопрос о величине сродства к электрону атома фтора, для которой приводились два сильно отличающихся значения: большее и меньшее, чем s атома хлора.

Метод сравнения токов отрицательных ионов ух элементов. Описанный ниже метод использует явление ерхностной ионизации, но учитывает указанные выше недостатки. г метод позволяет надежно определять величину разности энергий ктронного сродства двух элементов путем измерения отношения токов отрицательных ионов, одновременно образующихся на одной и той же ерхности.

Величина тока отрицательных ионов, образующихся при ионизации на похности, определяется формулой (2). В случае $\varphi > s$ на всей поверхности (а условие выполняется даже для наиболее электроотрицательных атомов—мов галогенов, при ионизации их на поверхности металлического вольма) единицей в знаменателе формулы (2) можно пренебречь по сравнею со вторым экспоненциальным членом. Пусть на одну и ту же поверхть в единицу времени поступают n_1 атомов одного элемента и n_2 атомов того элемента, тогда отношение токов отрицательных ионов этих элеотв запишется следующим образом:

$$\frac{I_1}{I_2} = \frac{n_1 A_2}{n_2 A_1} e^{\varepsilon(s_1 - s_2)/kT}. \quad (4)$$

как отрицательные ионы обоих элементов образуются на одних и тех участках поверхности с одним и тем же значением локальных работ ода, то в формулу (4) работа выхода φ не входит. Таким образом измеое одновременно отношение токов I_1/I_2 определяется только темпераой нити и разностью энергий электронного сродства, но не зависит от гоiania поверхности. Разность энергий электронного сродства сравасмых элементов может быть вычислена по формуле

$$s_1 - s_2 = \frac{kT}{\varepsilon \lg e} \left(\lg \frac{I_1}{I_2} + \lg \frac{n_2 A_1}{n_1 A_2} \right), \quad (5)$$

ко получающейся из выражения (4). Расчетная формула (5) содержитько величины, непосредственно измеряемые на опыте: T , n_2/n_1 и I_1/I_2 е содержит каких-либо членов, требующих для своего определения олнительных предположений. В этом состоит преимущество описываеого метода по сравнению с другими работами по поверхностной ионизаи, в которых приходилось делать различные предположения о величине ф. оме того, при сравнении токов только отрицательных ионов исклюются ошибки, которые могли возникнуть при сравнении токов полоельных и отрицательных ионов за счет разных условий образования х ионов на поверхности. Большим преимуществом предложенного меа является его малая чувствительность к ошибкам в измерении I_1/I_2 , как в расчетную формулу (5) входит логарифм этого отношения.

Экспериментальная часть

Определение энергии электронного сродства атомов оген в. Прежде всего предложенный метод был применен для уточнения веин сродства к электрону атомов галогенов [17]. Для этого удобно воспользоваться изацией на металлическом вольфраме щелочно-галогидных солей (например, каых). В этом случае отношение n_2/n_1 можно определить, измерив на опыте отноие токов положительных ионов калия, образующихся при ионизации на поверхги соответствующих солей. Измерив затем отношение токов отрицательных ионов едуемых галогенов и температуру поверхности, можно рассчитать разность $s_1 - s_2$ данных галогенов по формуле (5); отношения статистических весов A_1 и A_2 для оенов известны.

Для измерения ионных токов была использована масс-спектрометрическая методи-которая необходима для раздельного измерения ионных токов двух сравниваемых оенов и для отделения этих токов от фонового тока других отрицательных ионов, да образующихся на поверхности. Магнитный масс-спектрометр секторного типа атически изображен на рис. 1. Источник ионов состоял из накаливаемой вольфраой нити ($d = 150 \mu$), на которую из двух печек поступали молекулярные пучки

исследуемых солей. Молекулярные пучки могли перекрываться специальными заслонками, управляемыми вне прибора при помощи магнита, что позволяло исследовать ионизацию как обеих солей вместе, так и каждой в отдельности. Ионы, образующиеся на нити, ускорялись в направлении масс-анализатора и собирались на приемнике. Ионные токи измерялись электрометром типа ЭМУ-3 с предельной чувствительностью 10^{-15} А на деление. В случае необходимости, для усиления малых токов на выходе масс-анализатора присоединялся вторично-электронный умножитель, коллектор которого подключался к входу электрометра. Умножитель коробчатого типа с открытым входом изготовлялся из сплава $\text{Cu}-\text{Fe}$ и не подвергался очувствлению. Поэтому коэффициент умножения на 12 каскадах составлял всего ~ 2000 , но зато был устойчив во времени и не менялся при воздействии атмосферного воздуха. Минимальный ионный ток, который мог надежно регистрироваться при помощи такого измерительного устройства, составлял 10^{-17} А. Остаточное давление в приборе не превышало

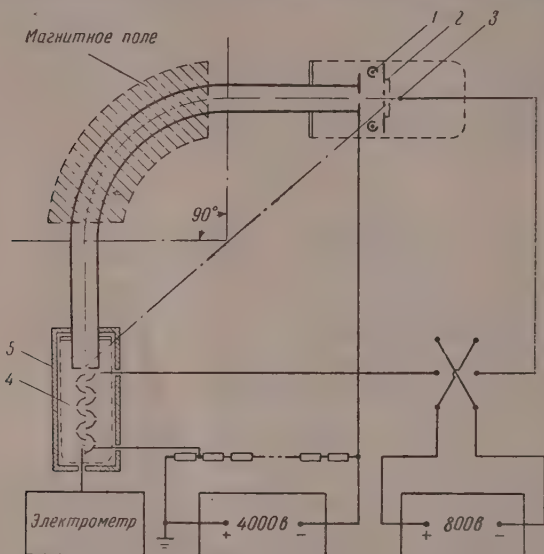


Рис. 1. Схема масс-спектрометра секторного типа для измерения интенсивности ионных типов: 1 — пещки, 2 — заслонки, 3 — нить, 4 — вторично-электронный умножитель, 5 — экран

$1-2 \cdot 10^{-6}$ мм рт. ст. Температура вольфрамовой нити измерялась оптическим пирометром. Измерения проводились в интервале от 1700 до 2300° К. Была исследована поверхностная ионизация калиевых солей всех галогенов попарно во всех сочетаниях. Измерения проводились следующим образом. Вначале подбором соответствующих температур печек уравнивались токи положительных ионов калия, образующиеся на нити при поочередном попадании на нее молекулярных пучков из обеих печек ($n_1 = n_2$ в формуле (5)). Затем электрическое и магнитное поля менялись на обратные по знаку, и поочередно измерялись токи отрицательных ионов галогенов. В каждом случае величина тока отрицательных ионов определялась как разность между двумя значениями тока на приемник масс-спектрометра при открытой и закрытой заслонке данной пещки, в то время как заслонка второй пещки все время оставалась открытой. Постоянство плотности молекулярных пучков периодически контролировалось.

При вычислении значений $s_1 - s_2$ по формуле (5) статистические веса атомов галогенов определялись с учетом возбужденных состояний атомов, так как атомы галогенов наряду с основным состоянием $^2P_{1/2}$ имеют еще и близкое возбужденное состояние $^2P_{1/2}^*$. В этом случае вместо g_a должна быть взята статистическая сумма Q_a , значение которой вычисляется по следующей формуле:

$$Q_a = g_a + \sum_i g_i e^{-\Delta E_i/kT} \quad (6)$$

* В работе; [17] возбужденные состояния атомов не были учтены.

е g_a — статистический вес основного состояния атома, g_i — статистический вес i -го возбужденного состояния, ΔE_i — энергия возбуждения i -го состояния по отношению к основному. В исследуемом интервале температур $Q_a(\text{Cl}) \approx 5,1$, $Q_a(\text{F}) \approx 5,5$, статистические же веса атомов Br и J можно принять равными $g_a = 4$, так как энергия ΔE_i для них мала. Возбужденные состояния отрицательных ионов не известны, да и маловероятны. Значения $s_1 - s_2$, средние из многих измерений, приведены в табл. 2. Как видно из табл. 2, разности $s_1 - s_2$ хорошо согласуются между собой. Так, например, сумма значений $s_1 - s_2$ в 14 строках табл. 2 составляет 0,52 eV, а соответствующее значение

Таблица 2

Таблица 3

$(s_1 - s_2)$	eV
$s(\text{Cl}) - s(\text{Br})$	$0,25 \pm 0,06$
$s(\text{Cl}) - s(\text{J})$	$0,53 \pm 0,03$
$s(\text{Cl}) - s(\text{F})$	$0,20 \pm 0,03$
$s(\text{Br}) - s(\text{J})$	$0,27 \pm 0,02$
$s(\text{F}) - s(\text{Br})$	$0,02 \pm 0,02$
$s(\text{F}) - s(\text{J})$	$0,29 \pm 0,04$

Т нити, °K	$s(\text{Cl}) - s(\text{J})$, eV
1750	0,53
1835	0,51
1930	0,52
1975	0,53
2030	0,50
2100	0,53
2150	0,53
2190	0,51
2230	0,55

$\text{Cl}) - s(\text{J})$ равно 0,53 eV и т. д. Значения $s_1 - s_2$ для каждой пары галогенов в измеренном интервале температур оказались не зависящими от температуры нити (см., например, табл. 3), что подтверждает независимость отношения I_1/I_2 от состояния поверхности. Как видно из табл. 2, можно считать доказанным, что энергия сродства к электрону атома фтора меньше этой величины для хлора, т. е. не имеется монотонного роста s галогенов с уменьшением атомного номера, как это предполагалось ранее.

Абсолютные значения энергии электронного сродства галогенов можно получить, если знать достаточно точно значение s хотя бы одного из них. Если, например, взять за основу наиболее распространенное значение $s(\text{Br}) = 3,56$ eV [1], то для остальных галогенов получим следующие значения: $s(\text{F}) = 3,58$ eV; $s(\text{Cl}) = 3,81$ eV; $s(\text{J}) = 3,29$ eV. Точность этих абсолютных величин определяется точностью принятого значения $s(\text{Br})$ — по-видимому, значительно ниже точности определения разности $s_1 - s_2$. Определение сродства к электрону атома серы, как видно из результатов, полученных для галогенов, методом сравнения ионов отрицательных ионов является достаточно надежным способом определения разностей энергий электронного сродства двух элементов. Поэтому была сделана попытка применить его для определения сродства к электрону атома серы [18]. Ранее, методом электронного удара, было найдено, что s серы $\geq 2,2$ eV [2]. При изучении нами поверхностной ионизации молекул роданистого калия на поверхности металлического вольфрама был замечен слабый ток ионов S^- . Грубая оценка сродства к электрону привела к значению, близкому к 2 eV [19]. Для более точного определения энергии электронного сродства атома серы был применен описанный выше метод. Для сравнения были выбраны натриевые соли NaBr и Na_2S . Так как ток ионов S^- при всех температурах нити от 1800 до 2300°K не превышал 10^{-15} A, то для его усиления был применен вторично-электронный умножитель, помещенный на выходе масс-анализатора. Методика измерений была той же, что и в опытах со щелочно-галогенидами. Вычисления проводились по формуле (5), с учетом того, что атом серы имеет, кроме основного состояния 3P_2 , два близких возбужденных

уровня 3P_1 и 3P_0 . В исследованном интервале температур $Q_a(S) \approx 8$. Возбужденных состояний пона серы не известно, поэтому $g_p = 4$. При всех измерениях предполагалось, что Na_2S диссоциирует на поверхности только на атомы, без образования каких-либо промежуточных соединений, т. е. что по количеству положительных ионов натрия можно судить о количестве атомов серы, поступающих на нить. Вычисленные по формуле (5) значения $s_1 - s_2$ в исследованном интервале температур оказались в зависимости от температуры нити (табл. 4), что подтверждает сделанное

Таблица 4

Т нити, °К	$s_1 - s_2$, eV	Т нити, °К	$s_1 - s_2$, eV
1820	1,22	2180	1,23
1940	1,20	2200	1,26
2040	1,23	2220	1,23
2100	1,22	2270	1,20
2125	1,21		

выше предположение, так как любые процессы диссоциации должны были бы зависеть от температуры. Среднее значение из многих независимых измерений составляет

$$s_1 - s_2 = 1,23 \pm 0,05 \text{ eV}.$$

Как видно из приведенного результата, случайная ошибка измерений не велика. Однако измерения отношений I_1/I_2 при помощи вторично-электронного умножителя могли содержать систематическую ошибку из-за возможного различия коэффициентов вторичной ионно-электронной эмиссии для ионов Br^- и S^- на первом диноде умножителя. Специально поставленный опыт показал, что эти коэффициенты отличаются не более, чем на 20%, что может привести к ошибке в значении $s_1 - s_2$, меньшей, чем 0,03 eV. Следовательно, общая погрешность измерения составит величину, меньшую 0,1 eV. Если принять, как и ранее, $s(\text{Br}) = 3,56$ eV, то на основании наших данных сродство к электрону атома серы будет равно 2,33 eV.

Полученное значение сродства к электрону атома серы согласуется с оценкой, найденной в опытах по ионизации молекул электронным ударом ($s \geq 2,2$ eV) [2], но отличается от величины s серы $= 2,07 \pm 0,07$ eV, полученной недавно методом фотоотщепления электрона от отрицательного иона [10]. Расхождение этой величины с полученной нами возможно указывает на то, что $s(\text{Br}) < 3,56$ eV, если, конечно, оба метода не содержат каких-либо неучтенных ошибок. Следует отметить, что s серы больше, чем s кислорода, для которого, по-видимому, более правильным является значение, равное 1,48 eV, т. е. и в этом случае, как и для галогенов, нарушается монотонный рост s с уменьшением атомного номера. Та же закономерность наблюдается и в V группе периодической системы, так как устойчивых отрицательных ионов азота не наблюдается, а ионы P^- были обнаружены [20], так что можно предположить, что такая закономерность является общей для всех групп системы Д. И. Менделеева.

Определение сродства к электрону радикала CN . Была сделана попытка применить метод сравнения токов отрицательных ионов и для определения сродства к электрону радикала CN , так как предварительные оценки показывали, что циан обладает большим значением электронного сродства [19]. Опыты по сравнению токов отрицательных ионов Br^- и CN^- , образующихся при одновременной ионизации на поверхности солей KBr и KCN в одном случае, и KBr и KCNS в другом случае, не дали положительных результатов, так как значения разности $s_1 - s_2$ оказались зависящими от температуры поверхности. В случае рода-

истого калия это можно было объяснить возможным существованием стойчивого радикала CNS. Действительно, при увеличении чувствительности схемы при помощи вторичноэлектронного умножителя, при поверхностной ионизации молекул KCNS был обнаружен ион CNS^- , величина электронного сродства которого, как следует из рис. 2, меньше, чем у атома серы. В случае цианистого калия, с некоторой долей вероятности, можно было бы предположить, что при диссоциации KCN наряду с цианом образуется и дициан, но это предположение требует специальной проверки.

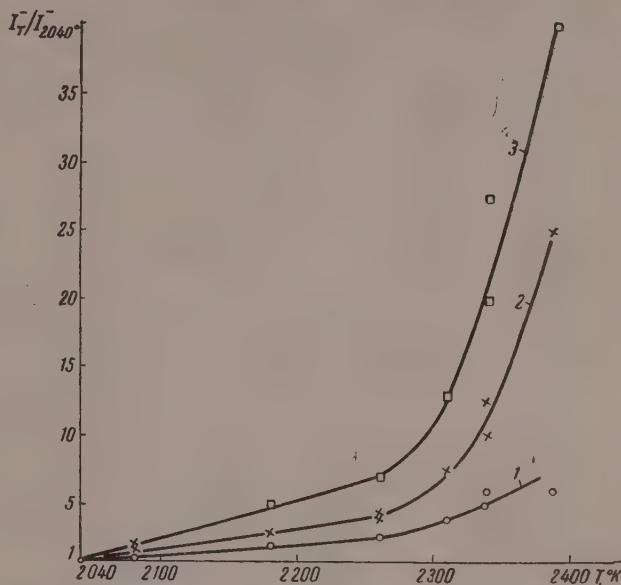


Рис. 2. Зависимость от температуры отношения интенсивностей токов ионов: 1— CN^- ; 2— S^- ; 3— CNS^-

Значение $s(\text{CN})$ можно попытаться оценить, сравнив токи ионов CN^- и S^- , образующихся при поверхностной ионизации молекул KCNS. Количество частиц CN и атомов S при этом должны быть равны, если не происходит каких-либо побочных процессов, связанных, например, с гидролизом соли за счет остаточной влаги в приборе. Измеренные отношения токов CN^- и S^- обнаружили значительно больший разброс значений, чем в случае галогенов и серы, что, вероятно, можно объяснить тем, что не предпринималось никаких специальных мер для тщательного удаления влаги из прибора. Поэтому полученный результат следует считать лишь оценочным. Кроме того, неизвестно отношение статистических весов радикала и иона CN, поэтому при всех расчетах было принято $A(\text{CN}) = 1$. Величина $s_1 - s_2$, средняя из многих измерений, оказалась равной:

$$s_1 - s_2 = 1,3(6) \pm 0,1(4) \text{ eV.}$$

Если принять для s_2 полученное нами значение сродства к электрону атома серы 2,33 eV, то $s(\text{CN}) = 3,7 \pm 0,2 \text{ eV}$. Для получения более точного значения $s(\text{CN})$ необходимо проделать ряд дополнительных опытов для выяснения того, не происходит ли образования каких-либо побочных соединений, не разрушается ли сам радикал CN при высоких температурах нити и т. п. Таким образом метод сравнения токов отрицательных ионов, позволяющий с большой точностью определять разности $s_1 - s_2$ для атомов, может быть

применен пока лишь для приближенного определения сродства к электрону устойчивых радикалов.

Возможность распространения метода на другие элементы. Было бы весьма желательным распространить предложенный метод определения разностей энергий электронного сродства на элементы с малым значением s . Для этого необходимо увеличивать чувствительность детектирования ионов и использовать поверхности с меньшей, чем у вольфрама, работой выхода. Можно оценить величину s элементов, ионные токи которых еще могут быть измерены при чувствительности измерительной схемы до 10^{-18} А. В опытах с Na_2S ток ионов S^- с вольфрамовой нити при $T \approx 2000^\circ \text{K}$ составлял $\sim 10^{-16}$ А. Пользуясь формулой (5) можно подсчитать, что при этих же условиях ионный ток в $\sim 10^{-18}$ А будет соответствовать ионному току элементов с $s \sim 1,5$ eV. При замене вольфрамовой поверхности ($\phi = 4,52$ eV) на танталовую ($\phi = 4,1$ eV) при той же чувствительности детектора можно измерить ионный ток элементов $s \sim 1,1$ eV [по формуле (2)]. К таким элементам, на основании оценок сродства к электрону, встречающихся в литературе [1, 21, 22] можно отнести С, О, Р, Si, Cu, Hg, Ag, Au, Tl, Sb, Te и, вероятно, As и Se. Образуют ли эти элементы отрицательные ионы при поверхностной ионизации, до сих пор не было известно.

Нами проведены в этом направлении пока только предварительные качественные опыты с Se, Te, Sb и As. Для Sb и Te имеются самые приблизительные оценки сродства к электрону, из которых следует, что $s(\text{Sb}) \approx 2$ eV, а $s(\text{Te}) \approx 2,3$ eV [21], о величине же $s(\text{As})$ и $s(\text{Se})$ ничего не известно. Качественные опыты по обнаружению отрицательных ионов, образующихся при поверхностной ионизации, были проведены на стеклянной масс-спектрометрической установке, позволявшей регистрировать ионные токи до 10^{-15} А. Источник ионов состоял из печи для получения молекулярных пучков, накаливаемой нити, на поверхности которой происходила ионизация, и ускоряющего электрода. В качестве исследуемых веществ были взяты металлические Se, Te, As и Sb.

Была обнаружена поверхностная ионизация с образованием отрицательных ионов Se^- и Te^- на накаленной вольфрамовой нити. Токи ионов Se^- и Te^- при максимально возможных на опыте плотностях молекулярных пучков и температуре нити составляли по абсолютной величине 10^{-16} — 10^{-14} А. Это указывает на то, что энергия электронного сродства Te и Se действительно близка к предполагаемому значению ~ 2 eV.

Для обнаружения поверхностной ионизации Sb и As мы попробовали применить поверхность с меньшей, чем у вольфрама, работой выхода. В качестве ионизирующей поверхности был использован оксидно-торпьевый катод на молибденовом керне, работа выхода которого составляет $\sim 2,7$ eV. Прежде всего был исследован спектр отрицательных ионов, эмиттируемых самим катодом, так как он не известен. При этом были обнаружены в большом количестве обычно встречающиеся в спектрах других оксидных катодов ионы C^- , O^- , CN^- (CaH_2^-), Cl^- , CNO^- , токи которых составляли по абсолютной величине 10^{-14} — 10^{-12} А. В спектре отрицательных ионов при ионизации металлической сурьмы были найдены, кроме ионов Sb^- , также и ионы SbO^- , SbO_2^- , Sb_2^- и Sb_2O_2^- , токи которых достигали 10^{-14} — 10^{-13} А. При поверхностной ионизации металлического мышьяка были обнаружены ионы As^- , AsO^- , As_2^- и As_2O^- , токи которых достигали 10^{-14} — 10^{-12} А. Появление кислородных соединений Sb и As может быть объяснено взаимодействием этих элементов с кислородом покрытия. Появление же молекулярных ионов возможно за счет диссоциации и ионизации сложных молекулярных соединений, имеющихся в составе паров сурьмы и мышьяка [20, 21]. Как следует из проведенных опытов, величина сродства к электрону Sb и As, вероятно, несколько меньше 2 eV. Ток ионов Sb^- и As^- с оксидно-торпьевого катода легко достигал достаточной для измерения величины, но использование сложных поверхностей усложняет задачу

внения токов отрицательных ионов для определения разностей $s_1 - s_2$ за многообразия образующихся молекулярных ионов исследуемых элементов. Поэтому в общем случае при распространении метода на элементы самым значением сродства к электрону предпочтительнее пользоваться чистыми металлическими поверхностями, увеличивая чувствительность измерительной схемы. Следует, однако, заметить, что даже сам факт обнаружения отрицательных ионов при поверхностной ионизации позволяет оценить величину сродства к электрону исследуемых элементов почти той же степенью точности, как и в методе электронного удара. Результаты опытов с оксидно-ториевым катодом могут иметь значение в разработке источников отрицательных ионов, образующихся при поверхностной ионизации. Такие источники можно использовать для точного анализа элементов с положительным значением сродства к электрону, а таких элементов в настоящее время известно уже около тридцати.

Выводы

1. Описан масс-спектрометрический метод сравнения токов отрицательных ионов двух элементов, позволяющий определять разности их энергий сродства к электрону $s_1 - s_2$.
2. Измерены разности энергий сродства к электрону всех галогенов. Показано, что энергия сродства к электрону атома фтора меньше этой величины для атома хлора.
3. Определена разность энергий сродства к электрону атомов брома и селена, равная $1,23 \pm 0,05$ eV.
4. Произведена оценка сродства к электрону радикала CN . Обсуждены возможности метода для определения сродства к электрону радикалов.
5. Проведены качественные опыты по изучению поверхностной ионизации Se и Te на вольфраме и Sb и As на оксидно-ториевом катоде. Исследована собственная эмиссия отрицательных ионов оксидно-ториевого катода.
6. Поверхностная ионизация на оксидно-ториевом катоде может быть использована для создания эффективных источников отрицательных ионов электроотрицательных элементов.

Академия наук СССР
Физико-технический институт
Ленинград

Поступила
10.III.1958

ЛИТЕРАТУРА

- H. O. Pritchard, Chem. Rev., 52, 529, 1953. □
H. Neuert, Ergebn. Exakt Naturwiss., 29, 1, 1956.
H. D. Hagstrum, Rev. Mod. Phys., 23, 185, 1951.
S. J. Smith, L. M. Branscomb, J. Res. Nat. Bur. Standards, 55, 165, 1955.
Л. Н. Добрецов, Электронная и ионная эмиссия, ГИЗ, 1952.
P. R. Sutton, J. Mayer, J. Chem. Phys., 3, 20, 1935.
G. Glockler, M. Calvin, J. Chem. Phys., 3, 771, 1935.
В. М. Дукельский, Н. И. Ионов, Ж. эксперим. и теор. физ., 10, 1248, 1940.
H. D. Hagstrum, J. Chem. Phys., 23, 1178, 1955.
L. M. Branscomb, S. J. Smith, J. Chem. Phys., 25, 598, 1956.
D. T. Vier, J. E. Mayer, J. Chem. Phys., 12, 28, 1944.
M. Metlay, G. Kimball, J. Chem. Phys., 16, 774, 1948.
J. J. Mitchell, J. E. Mayer, J. Chem. Phys., 8, 282, 1940.
J. P. Blewett, Phys. Rev., 49, 900, 1936.
Н. И. Ионов, Ж. эксперим. и теор. физ., 18, 174, 1948.
R. Buchdahl, Phys. Rev., 57, 1071, 1940.
И. Н. Бакулина, Н. И. Ионов, Докл. АН СССР, 105, 680, 1955.
И. Н. Бакулина, Н. И. Ионов, Докл. АН СССР, 116, 41, 1957.

19. И. Н. Бакулина, Н. И. Ионов, Докл. АН СССР, 99, 1023, 1954.
 20. В. М. Дукельский, Э. Я. Зандберг, Докл. АН СССР, 86, 263, 1953.
 21. В. М. Дукельский, Н. И. Ионов, Докл. АН СССР, 81, 767, 1952.
 22. A. P. Altshuler, J. Chem. Phys., 22, 765, 1954.
-

DETERMINATION OF THE ELECTRON AFFINITY OF HALOGEN AND SULFUR ATOMS AND OF THE CN RADICAL BY THE SURFACE IONIZATION METHOD

I. N. Bakulina and N. I. Ionov (Leningrad)

Summary

The difference in the electron affinities of two elements ($s_1 - s_2$) has been determined by measuring the ratio of the negative ion currents of these elements ionizing simultaneously at surface. A mass spectroscopic technique of such determinations has been described. The method permits determination of the difference $s_1 - s_2$ with an accuracy of some hundredths of an electronvolt. The results are independent of the surface on which ionization is taking place, provided the values of s_1 and s_2 are less than the minimal values of the local work function. Preliminary experiments have been presented on the surface ionization of Se, Te, Sb and As and the possibility of employing the method for determining the electron affinity of other elements and radicals has been discussed.

РАСПРЕДЕЛЕНИЕ ТЕМПЕРАТУР В КОЛОНКЕ ПРИ ПРОТЕКАНИИ РЕАКЦИЙ ПЕРВОГО ПОРЯДКА

М. М. Шелечник

Рассматривается температурный режим слоя дисперсного твердого вещества, через которое движется смесь газов, причем один из них реагирует с насадкой в строгом соответствии с уравнением первого порядка. Помимо реакций собственно первого порядка, сюда относятся также реакции с более сложной кинетикой, протекающие при верхнем температурном режиме [1], когда кинетическое сопротивление мало и скорость процесса определяется переносом реагирующего вещества.

В отличие от предыдущей работы [2], в которой исследовался процесс при мгновенном насыщении наполнителя в каждом сечении колонки, здесь имеется в виду другой предельный случай протекания диффузионного процесса, когда реакция продолжается бесконечно с постоянной скоростью.

Идеализация процесса сводится к следующему: плоскости, перпендикулярные оси колонки, предполагаются поверхностями равных концентраций и температур; игнорируются продольная диффузия и теплопроводность, лучеиспускание и потери тепла системой; не учитываются количества тепла и реагирующего газа, накапливающегося между гранулами насадки; тепловые и диффузионные константы предполагаются независимыми от температуры.

Приводим уравнения материального и теплового балансов элементарного слоя колонки, а также уравнения переноса массы и тепла применительно к описываемому случаю:

$$\gamma \frac{\partial H_s}{\partial \tau} + G \frac{\partial H_g}{\partial x} = 0; \quad (1)$$

$$\gamma C_s \frac{\partial t_s}{\partial \tau} + G C_g \frac{\partial t_g}{\partial x} = r \gamma \frac{\partial H_s}{\partial \tau}; \quad (2)$$

$$\frac{\partial H_s}{\partial \tau} = \frac{k_0}{\gamma_s} H_g; \quad (3)$$

$$-G C_g \frac{\partial t_g}{\partial x} = \alpha_0 (t_g - t_s). \quad (4)$$

Начальные и граничные условия: при $\tau = 0$, $H_s = 0$, $t_s = t_g = 0$ при $x = 0$, $H_g = H_0$, $t_g = 0$, где H_g — количество реагирующего газа, приходящееся на единицу газа носителя ($\text{кг}/\text{кг}$); H_0 — количество реагирующего газа, приходящееся на единицу газа носителя, до поступления в колонку ($\text{кг}/\text{кг}$); H_s — количество прореагировавшего газа, отнесенное к кг наполнителя колонки ($\text{кг}/\text{кг}$); x — расстояние от места входа газа в колонку (метры); τ — время с момента начала процесса (часы); G — количество газа носителя, поступающее в единицу времени через единицу площади полного сечения колонки ($\text{кг}/\text{м}^2 \cdot \text{час}$); γ — насыщенный вес наполнителя колонки ($\text{кг}/\text{м}^3$); k_0 — константа скорости диффузии реагирующего газа к поверхности 1 м^3 наполнителя колонки ($\text{кг}/\text{м}^3 \cdot \text{час}$); t_s и t_g — температура насадки и газа ($^\circ$); C_s и C_g — теплоемкости насадки и газа ($\text{ккал}/\text{кг} \cdot \text{град}$); r — тепло, выделяющееся в результате вступления единицы массы газа

в реакцию с насадкой (ккал. кг); α_0 — коэффициент теплоотдачи от газа к поверхности 1 м³ насадки (ккал. м³. час. град).

В случае независимости величины от температуры из (1) и (3) получим известное распределение концентраций в колонке:

$$H_g = H_0 e^{-k_0 x/G}, \quad (5)$$

$$H_s = \frac{k_0}{\gamma} H_0 e^{-k_0 x/G \tau}. \quad (6)$$

Из (2) и (4) начальных, граничных условий и выражения (6) получим распределение температур

$$t_g = \Delta \left[e^{-Bx} (e^{C\theta} - 1) - e^{-x} \int_0^\theta (e^{-s} - A e^{C\theta - As}) I_0(2\sqrt{x s}) ds \right]; \quad (7)$$

$$t_s = \Delta \left[\frac{e^{-Bx}}{A} (e^{C\theta} - 1) + e^{-x} \int_0^\theta (e^{-s} - A e^{C\theta - As}) \sqrt{\frac{s}{x}} I_1(2\sqrt{x s}) ds \right], \quad (8)$$

где θ и x — безразмерные величины времени и расстояния, $\theta = \alpha_0 \tau / \gamma C_s$, $x = \alpha_0 x / G C_g$, $\Delta = r H_0 / C_g$ — прирост температуры газа при условии, что

а) реакция доходит до конца, б) все выделившееся тепло расходуется на нагрев газа; A , B и C — симплексы: $B = C_g k_0 / \alpha_0$; $A = 1/(1 - B)$; $C = B/(1 - B)$.

Интегрируя (7) и (8) в пределах от нуля до бесконечности, получим стационарное распределение температур в колонке (рисунок)

$$t_g = \Delta (1 - e^{-Bx}); \quad (9)$$

$$t_s = \Delta [1 - (1 - B) e^{-Bx}]. \quad (10)$$

Стационарное распределение температур в колонке

На выходе из колонки достаточно большой длины ($x \rightarrow \infty$)

$$t_g^* = t_s^* = \Delta.$$

Соотношения для начала колонки получаются при подстановке $x = 0$ в (7) и (8) $t_g = 0$

$$t_s = \frac{r H_0 k_0}{\alpha_0} (1 - e^{-\alpha_0 \tau / \gamma C_s}). \quad (11)$$

Множитель перед скобками — температура насадки при стационарном режиме.

Формулы (9) и (10) могут быть выведены иным, более простым способом. Из (6) следует, что количество газа, вступающее в реакцию в единицу времени в определенном месте колонки, есть величина постоянная. Поэтому количество тепла, выделяющееся в данном сечении, не зависит от времени и также является неизменной величиной. Через некоторое время после начала процесса в любой точке колонки должны установиться такие температуры газа и насадки, при которых тепло реакции полностью будет отводиться газом при помощи теплоотдачи. Если двумя перпендикулярными оси колонки сечениями выделить элементарный объем и для него составить уравнения теплового баланса и теплоотдачи:

$$r H_0 k_0 e^{-k_0 x/G} = G C_g \frac{dt_g}{dx} = \alpha_0 (t_s - t_g),$$

то решением этой системы будут формулы (9) и (10).

Выражение (11), позволяющее оценить во времени момент приближения стационарного режима, может быть получено из следующего уравнения:

$$rH_0k_0 = C_g \gamma \frac{dt_s}{d\tau} = \alpha_0 t_s,$$

гласно которому теплота реакции расходуется на нагрев насадки и на теплоотдачу. Принимая в этом уравнении производную, равной нулю, лучшим стационарную температуру насадки у места входа газа в колонку.

В отличие от рассмотренного в предыдущей работе [2] процесса, при котором температурный максимум перемещается вдоль колонки с постоянной скоростью, в данном случае температура в каждом сечении монотонно возрастает, стремясь к конечному пределу.

Выводы

Если через реакционную колонку течет смесь газов, один из компонентов которой реагирует с неподвижным гранулированным материалом и кинетика процесса строго соответствует уравнению первого порядка, через не слишком малый промежуток времени в колонке устанавливается стационарное распределение температур, характеризуемое следующими выражениями:

$$t_g = \frac{rH_0}{C_g} (1 - e^{-k_0 x/G}), \quad t_s = \frac{rH_0}{C_g} \left[1 - \left(1 - \frac{C_g k_0}{\alpha_0} \right) e^{-k_0 x/G} \right].$$

Поступила
10.III.1958

ЛИТЕРАТУРА

- Д. А. Франк-Каменецкий. Диффузия и теплопередача в химической кинетике, стр. 282, изд. АН СССР, 1947.
М. М. Шелеchnik. Журн. физ. химии, 32, 152, 1958.

TEMPERATURE DISTRIBUTION IN A COLUMN IN THE PRESENCE OF A FIRST ORDER REACTION

M. M. Shelechnik (Moscow)

Summary

If in a gaseous mixture passing through a column one of the components enters into a strictly first order reaction with the immobile granular filler, then after a not too short time interval a steady state temperature distribution in the column will take place, characterized by the following equations:

$$t_g = \frac{rH_0}{C_g} \left(1 - e^{-k_0 x/G} \right), \quad t_s = \frac{rH_0}{C_g} \left[1 - \left(1 - \frac{C_g k_0}{\alpha_0} \right) e^{-k_0 x/G} \right].$$

РЕНТГЕНОСТРУКТУРНОЕ ИССЛЕДОВАНИЕ ЛИНЕЙНЫХ ПОЛИЭФИРОВ *

Ю. В. Мнюх

Изучение полиэфиров методом рентгеноструктурного анализа производилось в свое время Фуллером и сотрудниками [1—4]. Для нескольких рядов полиэфиров были получены текстуррентгенограммы, при помощи которых определялся период повторяемости вдоль молекулярной цепи. В некоторых случаях была предложена элементарная ячейка и вероятное расположение молекул.

В результате своих исследований Фуллер пришел к некоторым выводам о характере упаковки молекул полиэфиров, однако ввиду выборочного характера исследования эти выводы неизбежно были не полными из-за переоценки возможностей метода — не всегда обоснованными.

Мы располагали следующими рядами полиэфиров: ряд этиленгликоля, триметиленгликоля, тетраметиленгликоля, пентаметиленгликоля, гексаметиленгликоля, декаметиленгликоля и эйкозаметиленгликоля. Ряд имелся по всем дикарбоновым кислотам, включая декаметилендикарбовую, за исключением понаметилендикарбоновой кислоты.

Указанные вещества были синтезированы в лаборатории высокомолекулярных соединений ИИОС АН СССР. Их молекулярный вес был низким; объекты не могли давать нитей или ориентированных пленок и исследовались порошковым методом.

Для всех объектов были получены дебаграммы, для чего применялись камеры диаметром 114,6 и более мм, и монохроматизированное отражением от пентаэритрита K_{α} -излучение меди. Кроме того, эти объекты исследовались на камере малоуглового рассеяния.

Три типа структур. Вполне понятно, что упаковка молекул полиэфиров, содержащих небольшое число атомов кислорода, не должна отличаться от упаковки молекул полиэтилена. И действительно, рентгенограммы серии эйкозаметиленгликоля с длинными кислотами почти не отличаются от рентгенограмм полиэтилена.

Другими словами, там где структура в основном определяется упаковкой метиленовых групп, полиэфиры должны давать ромбическую подъячейку. Поэтому первая наша задача заключалась в поиске тех структур, которые дают такую ячейку.

На этот вопрос отвечает табл. 1, которая приближенно разбита на три области. В области III индифференцирование в ромбической подъячейке не удается произвести и можно констатировать ее отсутствие. В связи со сказанным выше можно полагать, что молекулы полиэфиров области III не имеют плоской зигзагообразной формы и характер упаковки молекул существенно отличается от полиэтиленового мотива.

Наша попытка индифференцирования рентгенограмм, снятых с объектов, принадлежащих к области III, не увенчалась успехом. Следует отметить, что предлагаемые Фуллером ячейки для ряда триметиленгликоля, рассчитанные исходя из текстуррентгенограмм, совершенно неправдоподобны.

Линии рентгенограмм полиэфиров, принадлежащих к областям I и II, легко разбиваются на две группы. Основная часть линий принадлежит

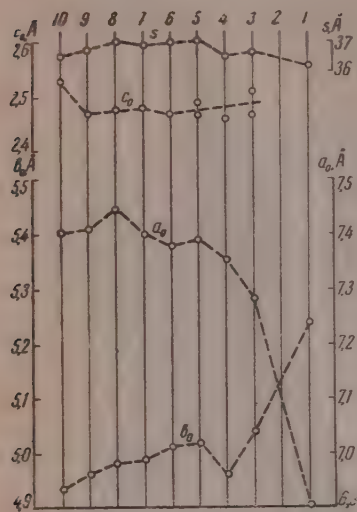
* См. краткое сообщение в Изв. АН СССР (ОХН), № 9, 1128, 1958.

тэачейке, т. е. индицируется при помощи квадратичной формулы:

$$\frac{1}{d^2} = \frac{h^2}{a_0^2} + \frac{k^2}{b_0^2} + \frac{l^2}{c_0^2}, \quad (1)$$

1) Начиная с себадиновой кислоты вплоть до янтарной, имеет место, общем, некоторый систематический ход параметров a_0 и b_0 подъячейки, причем период a_0 уменьшается, а период b_0 возрастает.

2) При переходе от длинных кислот к коротким период c_0 постепенно теряет определенность своей численной величины и, наконец, возможность его вычисления исчезает ввиду исчезновения из рентгенограмм (hkl)-линий. Систематического изменения этого параметра не наблюдается.



Изменение параметров a_0 , b_0 , c_0 подъячейки и ее площади xy -сечения s для ряда декаметилентгликоля. Данные по полиэтилену, взятые из работы [5], приведены для сравнения: 1 — щавелевая; 2 — малоновая; 3 — янтарная; 4 — глутаровая; 5 — адипиновая; 6 — пимелиновая; 7 — пробковая; 8 — азелаиновая; 9 — себадиновая; 10 — полиэтилен

3) Самые короткие кислоты — малоновая и щавелевая — обнаруживают скачок свойств: в первом случае образцы оказываются аморфными или полуморфными (в этом случае у них нет ромбической подъячейки полиэтиленового типа), а во втором имеет место резкое изменение параметров подъячейки. Отметим, что указанный скачок наблюдается и у других полиэфиров этих кислот.

Взаимное расположение атомов кислорода. О расположении эфирных групп мы можем судить лишь в том случае, если нам известны размеры истинной ячейки полиэфира.

К сожалению, не только дебаеграмма, но и текстуррентгенограмма не позволяют решить эту задачу однозначно. Определение ячейки в конечном счете происходит подбором и сравнением вычисленных и измеренных межплоскостных расстояний. Однако число линий, принадлежащих только истинной ячейке (но не подъячейке), на рентгенограмме весьма невелико, хотя оно и растет по мере увеличения доли атомов кислорода в цепи.

На первый взгляд может показаться справедливым следующее рассуждение. Если рентгенограммы отчетливо показывают ромбическую подъячейку, то структура определяется упаковкой метиленовых групп, эфирные же группы «подлаживаются» к этой упаковке. Если так, то трансляционно идентичные атомы кислорода должны быть расположены по отношению друг к другу со сдвигами вдоль цепи молекулы, равными целому числу $c_0/2$. Так как каждая цепь имеет в полиэтиленовой подъячейке двух структурно не эквивалентных соседей, то, казалось бы, двумя векторами сдвига mc_0 и nc_0 могут быть исчерпаны все возможные структуры.

Фуллер сделал попытку подбора пар целых чисел m , n , характеризующих истинную ячейку полиэфира. Вслед за Фуллером и мы провели подобное исследование, но старались действовать при этом более методично и строго, чем этот автор. Сущность подбора ячейки сводится к нахождению таких значений m , n , которые приводят к совпадению принадлежащих истинной ячейке измеренных межплоскостных расстояний с вычисленными по формуле (2). Эта формула выведена из предположения о справедливости «сдвиговой» модели, о которой говорилось выше.

$$\frac{1}{d^2} = \frac{h^2}{a_0^2} + \frac{k^2}{b_0^2} + \frac{l^2}{c^2} \left[1 + \frac{m^2 c_0^2}{a_0^2} + \frac{n^2 c_0^2}{b_0^2} \right] \pm \frac{2hl c_0}{a_0^2 c} m \pm \frac{2kl c_0}{b_0^2 c} n, \quad (2)$$

е a_0 , b_0 , c_0 — параметры подъячейки; hkl — индексы истинной ячейки; — период химической структурной единицы в направлении молекуляр-
— цепи; m , n — искомые сдвиговые числа.

Результаты этого исследования были отрицательными. Скудность и
точность эксперимента позволяют иногда подобрать числа m , n , дающие
более или менее удовлетворительное согласие с опытом, но большей частью
задача не удается. Однако и там, где этот подбор приводит к резуль-
татам более или менее близким с опы-
том, мы не чувствуем никакой «упа-
ковочной» логики в найденном ре-
шении.

Вопрос о гомологичности в пре-
дела ряда был рассмотрен нами еще
одним углом зрения. Суть этого
рассмотрения состоит в следующем.
Возьмем ряд с достаточно длинной
пикетовой частью. Рассмотрим, с ка-
кими атомами соседних цепей сопри-
касаются своими межмолекуляр-
ными радиусами атомы данной цепи.
табл. 2 приведены все возможные
типы касаний атомов соседних цепей
ромбической структуре полиэфира
дихлоробоновых кислот, содер-
жащих четное число CN_2 -групп).
например, атом водорода может ка-
таться двух атомов водорода или
атома водорода и атома кислорода.

Соответствующие символы этих
остант даны в первой колонке таб-
лицы 2.

При выбранном относительном
сдвиге молекулярных цепей получаем
некоторую совокупность соприкосно-
ваний атомов. Прделаав то же самое
для всех возможных относительных
сдвигов, получим набор из таких
совокупностей касаний, что дает стол-
бец 2 или столбец 3 в целом. В каж-
дом из столбцов 2_1 — 2_5 и 3_1 — 3_4 приведены совокупности типов касаний,
существующие для отдельных взаимных сдвигов между молекулами.
как видно из табл. 2, каждая совокупность состоит из 4—6 типов касаний,
набор содержит 4—5 таких совокупностей.

Такое рассмотрение показало, что в ряду полиэфиров с четными ки-
слотами все они, за исключением щавелевого, имеют один и тот же набор
касаний (табл. 2). Аналогичная картина имеет место и в ряду с нечетными
кислотами: все полиэфиры, кроме малонового, имеют одинаковый набор
касаний. Это объясняет выпадение из общих закономерностей щавелевого
и малонового ряда, о котором упоминалось выше, но в то же время требует
изоморфизма у высших членов, которого мы, однако, не наблюдаем.

Таким образом, «сдвиговая» гипотеза противоречит фактам, и мы ли-
паемся единственного базиса, на основе которого можно было бы вести
подбор истинных ячеек.

Несмотря на сохранение ромбической подъячейки, атомы кислорода
модифицируют упаковку довольно существенным образом. Возможны
закручивание цепи, сдвиги на дробные части c_0 , создание ячеек с удвоенным
ислом молекул. Решение этих вопросов при помощи дебаегграмм и даже
рентгеноструктурного анализа не представляется на этой стадии возможным.

Таблица 2

1	2					3			
	2_1	2_2	2_3	2_4	2_5	3_1	3_2	3_3	3_4
Тип касания	Щавелевая					Янтарная Алипиновая Пробковая и др. четные кислоты			
$\text{H} \angle \text{H}$	+	+	+	+	+	+	+	+	+
$\text{H} \angle \text{O}$	+		+		+	+	+	+	+
$\text{H} \angle \text{O}_k$		+		+	+	+	+	+	+
$\text{H} \angle \text{O}_k$			+	+	+				
$\text{O}_k \angle \text{H}$				+	+			+	+
$\text{O}_k \angle \text{O}$		+				+			
$\text{O}_k \angle \text{O}_k$			+				+		
$\text{O}_k \angle \text{O}_k$	+								
$\text{O} \angle \text{H}$			+		+		+		+
$\text{O} \angle \text{O}$				+				+	
$\text{O} \angle \text{O}_k$	+								
$\text{O} \angle \text{O}_k$		+							

Примечание. Атом кисло-
рода, связанный с углеродным ато-
мом цепи двойной связью обозначен
 O_k ; атом кислорода, входящий в цепь,
обозначен O ; осуществляющиеся
межмолекулярные касания указаны
знаком +.

Исключение представляют полиэфиры с небольшим числом атомов кислорода, так как в этом случае искажения в области эфирной группы играют существенной роли. Об этих полиэфирах сообщается в другой статье [6].

Работа была выполнена под руководством проф. А. И. Китайгородского, которому автор выражает глубокую благодарность.

Выводы

Исследовано рентгеновским порошковым методом большое число линейных полиэфиров. Там, где структура в основном определяется упаковкой метиленовых групп, она имеет ромбическую подъячейку типа парафина и полиэтилена, которая тем точнее осуществляется, чем больше атомов углерода в цепи. Размеры подъячейки показывают систематическое изменение параметров в пределах гомологического ряда. Установлена несостоятельность «сдвиговой» гипотезы.

Институт элементоорганических
соединений
Академия наук СССР

Поступила
12.III.1958

ЛИТЕРАТУРА

1. C. S. Fuller, C. L. Erickson, J. Amer. Chem. Soc., 59, 344, 1937.
2. C. S. Fuller, C. J. Frosch, J. Phys. Chem. 43, 323, 1939.
3. C. S. Fuller, C. J. Frosch, J. Amer. Chem. Soc., 61, 2575, 1939.
4. C. S. Fuller, C. J. Frosch, N. R. Pape, J. Amer. Chem. Soc., 64, 154, 1942.
5. C. W. Bunn, Trans. Faraday Soc., 35, 482, 1939.
6. Ю. В. Мнюх. Изв. АН СССР (ОХН), № 10, 1276, 1958.

X-RAY STRUCTURAL STUDY OF LINEAR POLYESTERS

Yu. V. Mnyukh (Moscow)

Summary

From the structural point of view the table of linear polyester formulas may be divided into 3 sections. Most linear polyesters have a rhombic sublatice which, in general, is the more precise the larger the unit of chemical structure of the molecular chain. An explanation has been advanced for the deviation of specimens with oxalic and malonic acids from the general plan. The invalidity of the «shear» model for the case under consideration has been established.

КОРРЕЛЯЦИЯ МЕЖДУ ПАРАМЕТРАМИ МЕХАНИЧЕСКИХ СВОЙСТВ И СТРУКТУРЫ РАСТЯНУТОЙ РЕЗИНЫ *

Г. А. Патрикеев

Основной задачей молекулярной теории является установление соотношения между механическими свойствами полимерных молекул [1] и механическими свойствами тела, как совокупности этих молекул [2]. Обычно эта задача решается методами статистической термодинамики. Существенные результаты получены путем изучения кинетики неравновесной деформации полимерных систем [3]. До настоящего времени последовательного применения методы механики при изучении механических свойств и структуры резины еще не нашли. Фундаментальным положением механики является требование равновесия сил между напряженными элементами структуры в деформированном теле, поэтому механическая теория растяжения резины должна быть основана на изучении условий «внутрикомпенсированного» равновесия в растянутой резине. Если выдвигнуть предположение об определяющем значении упругих растяжений очень небольшого числа полимерных молекул и основываться на гипотезе бразования при растяжении резины молекулярного каркаса—упругой сетки, то можно, рассматривая условия равновесия упругих элементов каркаса, разработать механику растянутых полимерных систем [2]. Согласно предвидениям такой «механической» молекулярно-структурной теории следует ожидать корреляции между параметрами механических свойств растянутой резины и внешним напряжением f , так как согласно [2]

$$f = 10^{-6} \cdot a_c \varepsilon_c \text{ кГ/см}^2. \quad (1)$$

Кроме того, между механическими и структурными параметрами должны соблюдаться следующие соотношения:

$$\frac{2A_c}{F} = \varphi \pi \varepsilon_c = \beta_1; \quad (2)$$

$$\frac{-f}{E_\beta x} = \varphi \pi \varepsilon_c = \beta_2 \quad (3)$$

в уравнениях (1)—(3) и далее в статье обозначения имеют следующий смысл.

f — нагрузка (напряжение), отнесенная к площади нерастянутого образца, кГ/см^2 ; $f = f_c + f_s$, где f_c — сила, уравнивающая напряжение каркаса, а f_s — сила, непосредственно уравнивающая напряжение конфигурационно-энтропийно деформированных полимерных молекул (2).

x — относительная длина растянутого образца; $x = L/100 + 1$; L — относительное удлинение образца, проценты;

$F = f x$ — напряжение (истинное), отнесенное к сечению растянутого образца, вычисляемое из предположения о постоянстве объема резины при растяжении, кГ/см^2 ;

A — работа растяжения $\text{кГ}\cdot\text{см/см}^2$; определяется графическим интегрированием кривой растяжения (S -кривой); $A = A_c + A_s$, где A_c — работа, затрачиваемая на образование каркаса; A_s — работа, затрачиваемая на энтропийную деформацию основной части полимерных молекул, непосредственно уравнивающих напряжение f_s (следует иметь в виду, что согласно развиваемой механической теории работа на энтропийную деформацию основной части эластичной сетки по кривой

* По материалам доклада на IX конференции по общим вопросам химии и физики высокомолекулярных соединений.

растяжения определена быть не может, так как передается — течет от источника внешнего воздействия через посредство образовавшегося каркаса уравнивающего его не только внешнее, но и внутреннее напряжение деформированной эластичной сетки). Δx — изменение относительной длины растянутого образца при частичном растяжении или при сокращении последнего; E_x — неравновесный модуль упругости при растяжении образца в $\kappa\Gamma/\text{см}^2$ (как правило, максимальное значение, достигаемое при растяжении образца); E_x — определяется по кривой растяжения по условной разности нагрузок Δf соответствующему значению $\Delta x = 1$, что соответствует $\Delta L = 100\%$ [$E_x = \Delta f / \Delta x$ при $\Delta x = 1$ (рис. 1, а)]; E_β — неравновесный модуль упругости в начальной стадии сокращения силы

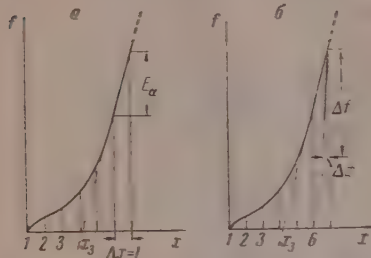


Рис. 1. а — Кривая нагрузка — удлинение (S-кривая); б — начальная стадия сокращения сильно растянутой резины

a_c — модуль упругости упруго растянутой полимерной молекулы каучука в динах на молекулу или в $10^{-6} \kappa\Gamma$ на молекулу [1]. ϵ_c — относительное удлинение упруго растянутой полимерной молекулы. За единицу принята длина полностью распрямленной полимерной молекулы [1].

ϵ_c — напряжение упруго растянутой полимерной молекулы, в динах на молекулу или в $10^{-6} \kappa\Gamma$ на молекулу; зависимость между ϵ_c , a_c и ϵ_c , согласно [1] аппроксимируется законом Гука: $\epsilon_c = 10^{-6} a_c \epsilon_c \kappa\Gamma$ на молекулу. При $a_c = 7 \cdot 10 \cdot 10^{-3}$ дин./молекулу и площади поперечного эффективного сечения молекулы каучука $S_0 = 25 \cdot 10^{-16} \text{ см}^2$ порядок значения модуля Юнга в расчете на 1 см площади полимерной молекулы (S_0) оценивается величиной $E_c = 3 \cdot 10^6 \kappa\Gamma/\text{см}^2$.

n — среднее число продольных «секций» каркаса, эквивалентных числу максимумов упруго растянутых полимерных молекул (в сечении растянутого образца) образующих каркас, выражается в штуках на 1 см² начального сечения образца φ , π — масштабные поправки, учитывающие соотношение между относительным удлинением каркаса и образца [2]; π — учитывает особенность строения каркаса, а φ — повышенное удлинение вулканизированного каучукового вещества, расположенного между частями наполнителя.

β_1 — безразмерный структурный коэффициент, равный по величине $\beta_1 = \pi \varphi \epsilon_c$.

ϵ_c — среднее значение относительного удлинения продольной секции каркаса.

η_2 — коэффициент, учитывающий отношение $\bar{\epsilon}_c$ к ϵ_c , т. е. отношение среднего значения относительного удлинения секции к максимальному относительному удлинению упруго растянутой полимерной молекулы в каркасе; $\eta_2 = \epsilon_c / \bar{\epsilon}_c \leq 1$. Согласно (2) и (3) $\eta_2 = f^2 / 2AE_\beta$.

β_2 — безразмерный условный структурный коэффициент, равный по величине $\beta_2 = \pi \varphi \bar{\epsilon}_c = \eta_2 \beta_1$.

В целях проверки соотношений (1)–(3), определяющих условия равновесия между механическими и структурными параметрами, в данной статье обобщаются экспериментальные результаты, полученные путем испытания на растяжение большого набора резин.

Для определения параметров механических свойств растянутой резины нормальные резинные кольцевые образцы сечением $0,40 \pm 0,05 \text{ см}^2$ испытывались при $21 \pm 4^\circ \text{C}$ на разрывном аппарате Шоппера (модель двадцатых годов с тщательно откалиброванным самопишущим прибором с льянными передающими нитями). Скорость движения нижнего зажима была 300 мм/мин; некоторые испытания проводились при скорости 500 мм/мин.

Согласно развиваемым теоретическим представлениям кривая нагрузка — удлинение отражает вероятность образования гипотетического каркаса *, как уравновешенной системы из упруго растянутых полимерных молекул. Поэтому чем больше нагрузка f , тем из большего числа секций i должен образовываться каркас. В исходных положениях теории как системы взглядов, основанной на применении методов механики для рассмотрения условий равновесия в каркасе, постулировано, что после возникновения каждая секция каркаса растягивается при сохранении постоянства напряжения σ_c и относительного удлинения ε_c . Поэтому увеличение нагрузки f_c при растяжении образца с постоянной скоростью следует рассматривать как результат простого увеличения числа секций каркаса n . При значительных нагрузках $f \geq 70-90 \text{ кг/см}^2$ наблюдается установление стационарного процесса увеличения числа секций n при растяжении образца; стационарное напряжение характеризуется постоянством величин неравновесного модуля пружости E_α . Чем меньше содержание наполнителей в резинах из натурального саучука НК, тем больше значение «относительной длины — запаздывания» x_α в установлении стационарного состояния $E_\alpha = \text{const}$. Для примера на рис. 2 приведены кривые растяжения, полученные при испытании резин на основе натурального саучука с различным содержанием газовой — канальной сажи (0, 10, 20, 30 и 40 см^3 на 100 г каучука). Пунктирные линии пересекают ось растяжений в местах, соответствующих величинам относительных длин запаздывания x_α . Величины максимальных значений E_α обозначены рис. 2.

Приведенные результаты будут использованы для установления изучаемых закономерностей (см. рис. 5, 7, 8—12). Значение E_α при изменении степени вулканизации резин из НК меняется незначительно, но очень сильно растет (в 2,5—3 раза) при увеличении продолжительности вулканизации у резин на основе натрийбутадиенового каучука (СКВ), а также резин на основе дивинилстирольного каучука (СКС), дивинилнитрильного каучука и полихлоропренового каучука, т. е. у резин, изготовленных на основе синтетических каучуков структурирующегося типа.

При изучении общности свойств большого набора резин интересно оценить пределы изменения значения E_α при изменении содержания и типа наполнителей, так как согласно механической теории ни содержание, ни тип наполнителя непосредственно не должны оказывать большого влияния на величину параметра E_α . Наоборот, существенное влияние на значение E_α должна оказывать молекулярная структура вулканизата.

На структуру вулканизата оказывает влияние ряд факторов (качество НК, рецепт, степень вулканизации, процесс старения и другие). Поэтому для установления закономерности в пределах колебания E_α при изменении содержания наполнителей целесообразно производить оценку средне-

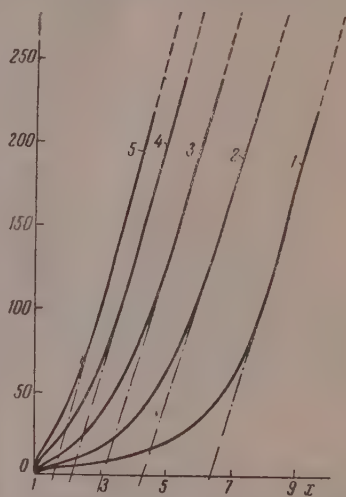


Рис. 2. Кривые нагрузка — удлинение, полученные при испытании резин на основе НК, нагруженного канальной (газовой) сажой: 1 — «незагруженная» резина, $E_\alpha = 69$; 2 — содержание канальной сажи на 100 г каучука 10 см^3 , $E_\alpha = 65$; 3 — 20 см^3 , $E_\alpha = 66$; 4 — 30 см^3 , $E_\alpha = 70$; 5 — 40 см^3 , $E_\alpha = 72$

* Для краткости слово гипотетический в дальнейшем будет опущено. Это не будет означать, что образование каркаса доказано экспериментально.

статистического значения E_x . Для примера на рис. 3 обобщены данные по оценке значения E_x для 500 испытанных образцов резины различного состава и степени вулканизации, изготовленных на основе НК. Был испытан 181 образец различных «незагруженных» резин и 319 образцов резины, загруженных различными наполнителями (канальная, ламповая и термическая сажа, мел, литопон, барит, каолин, углекислая магнезия и тальк). Образцы резины изготовлялись и испытывались в различное время в период 1934—1940 гг. [4]. Значения E_x даны без поправки на содержание каучукового вещества в резине*.

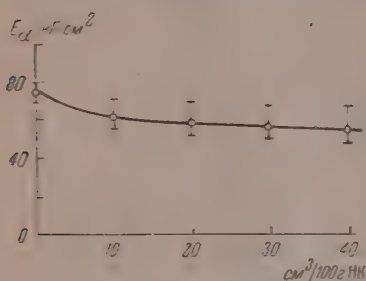


Рис. 3. Зависимость среднестатистических значений максимального неравновесного модуля упругости E_x от содержания в резинах из НК наполнителей по результатам испытания 500 образцов резины различного состава)

тяжении резины, если сопоставлять величины E_x в зависимости от величины f , что было предсказано механической теорией (см. выше).

Для резины на основе дивинилстирольных и других каучуков структурирующегося типа наблюдается более сложная зависимость E_x от f , так как имеет место существенная зависимость E_x от степени вулканизации.

Изучение начальной стадии сокращения сильно растянутых образцов резины представляет значительный интерес, так как при переходе от растяжения к сокращению коренным образом меняется механизм молекулярного движения. Согласно развиваемым представлениям в начальной стадии сокращения спад напряжения должен быть обусловлен самопроизвольным сжатием упруго растянутого каркаса, который при растяжении образовывается постепенно, но начинает сокращаться весь целиком, за счет уменьшения упругого удлинения молекул ϵ_c при сохранении общего числа образовавшихся секций ($n = \text{const}$). Модуль E_x существенно превосходит по величине модуль E_a ; поэтому можно назвать состояние резины в начальной стадии сокращения «упругим» в отличие от «напряженного» состояния при обычном непрерывном растяжении образца резины. Изменение направления растяжения сопровождается значительным изменением величины формального неравновесного модуля ($E_a \rightarrow E_b \rightarrow E_x$). Такие изменения модуля теоретически можно объяснить изменением молекулярного механизма деформации: увеличение числа секций n при постоянстве упругого растяжения полимерных молекул ($\epsilon_c = \text{const}$) в стадии растяжения образца E_x ; спад напряжения в начальной стадии сокращения сильно растянутого образца E_b вследствие

* Для введения поправки необходимо учесть не только объемное содержание наполнителя, но и эффективное сечение вулканизата в растянутой резине, содержащей наполнители; эта задача еще не решена.

** В данном случае под вулканизатом понимается вулканизованное каучуковое вещество резины, а не резина как целое.

упругого сокращения полимерных молекул ϵ_0 при сохранении постоянного числа секций $n = \text{const}$. На основании развиваемых представлений величина E_β должна быть тесно связана с числом образовавшихся секций каркаса n , поэтому проявление линейной корреляции E_β и f теоретически оправдано. На рис. 5 и 6 приводятся соответствующие экспериментальные результаты по установлению зависимости E_β и E_β/f от f для большого набора резин из НК, подтверждающие предвидение теории.

Согласно приведенным данным для большого набора различных резин из НК наблюдается линейная корреляция между максимальной величиной неравновесного модуля E_β и величиной соответствующей нагруз-

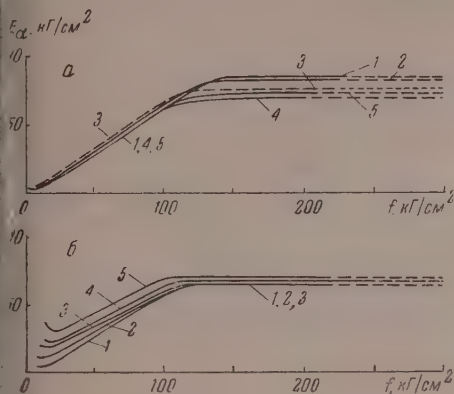


Рис. 4

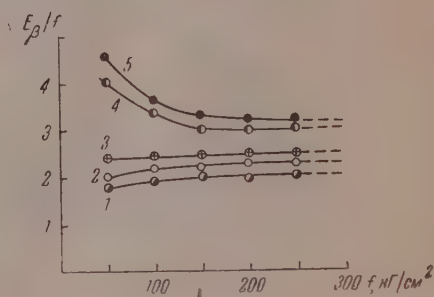


Рис. 5

Рис. 4. Зависимость неравновесного модуля упругости E_α от нагрузки f при растяжении резины на основе НК; а — «незагруженные» резины: 1 — смокед-шитс, $f = 125 \text{ кг/см}^2$; 2 — средний креп, $f = 65 \text{ кг/см}^2$; 3 — смокед-шитс, $f = 90 \text{ кг/см}^2$; 4 — светлый креп, $f = 70 \text{ кг/см}^2$; 5 — смокед-шитс, $f = 85 \text{ кг/см}^2$ (значения условного модуля (f) даны при удлинении 700%); б — загруженные резины на основе смокед-шитса с содержанием канальной сажи на 100 г НК; 1 — незагруженная, $E = 13 \text{ кг/см}^2$, $2 - 10 \text{ см}^3$, $E = 33 \text{ кг/см}^2$; 3 — 20 см^3 , $E = 73 \text{ кг/см}^2$; 4 — 30 см^3 , $E = 131 \text{ кг/см}^2$; 5 — 40 см^3 , $E = 177 \text{ кг/см}^2$ (значения модуля даны при удлинении 300%)

Рис. 5. Зависимость отношения неравновесного модуля упругости к нагрузке E_β/f от нагрузки f для резин на основе НК с различным содержанием канальной сажи на 100 г НК в 1 см³ по результатам 60 опытов: 1 — «незагруженная» резина; 2 — 10 см^3 , 3 — 20 см^3 , 4 — 30 см^3 , 5 — 40 см^3

ки. На основании приведенных данных представляется возможность экспериментальным путем оценить значение структурного коэффициента β . Следует отметить, что для резин из СКБ, СКС и других наблюдается более сложная зависимость, обусловленная существенным влиянием степени вулканизации и повышенной релаксацией напряжения в начальной стадии сокращения сильно растянутых образцов.

На рис. 7 приведены данные по установлению зависимости общей работы A^* при растяжении резин от величины нагрузки f , определенной графическим интегрированием результатов, приведенных на рис. 2. Значение для нагрузок больших 200—250 кг/см^2 получены путем экстраполяции S-кривых до значения 400 кг/см^2 .

На рис. 8 по результатам испытания тех же резин приведены значения $2A/f$ в зависимости от величины f , на рис. 9 приводится зависимость структурного коэффициента β от величины нагрузки f . Значение структурного

* Строго говоря, необходимо изучать зависимость $A_c(f)$, однако, задача экспериментального определения этих величин еще не разрешена.

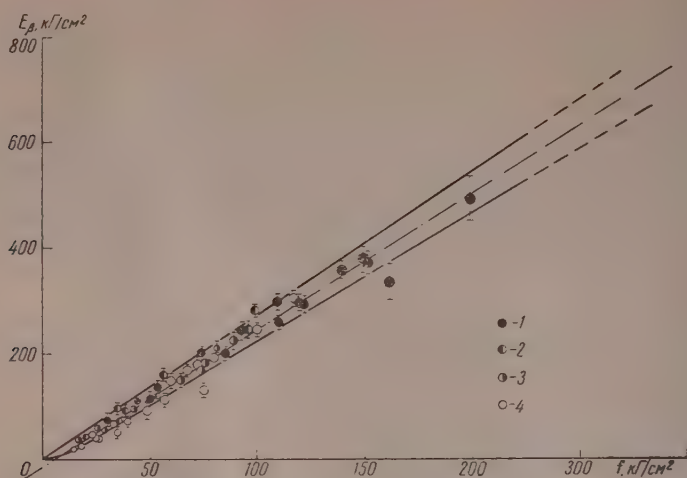


Рис. 6. Зависимость неравновесного модуля упругости E_β от нагрузки f для резин, содержащих 20 $\frac{\text{г}}{\text{см}^3}$ различных наполнителей на 100 г НК (по результатам 50 опытов): 1 — канальная сажа; 2 — окись цинка; 3 — мел; 4 — литопон

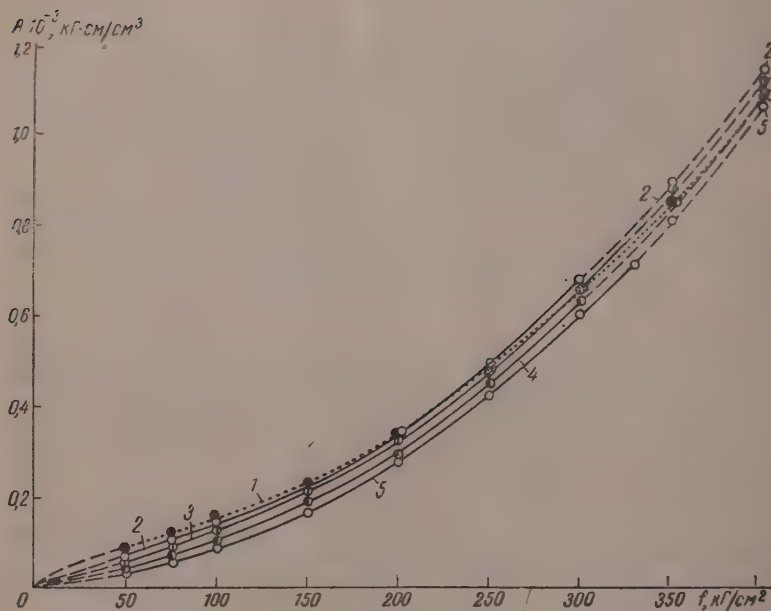


Рис. 7. Зависимость между работой растяжения A и соответствующей нагрузкой f для резин на основе НК; обозначения на рис. 7—12 те же, что и на рис. 2

коэффициента β вычисляется по формуле (2). Согласно приведенным на ис. 8 и 7 данным при больших нагрузках (при f , ориентировочно большем 50 кг/см^2) различие между работой растяжения всех испытанных резин значительной мере нивелируется для всех резин независимо от содержания наполнителя.

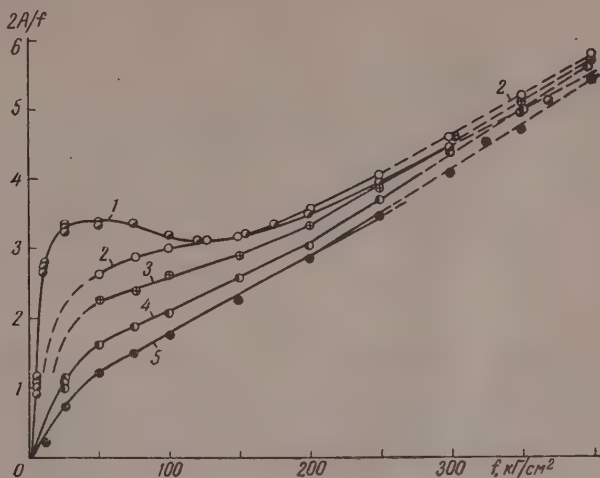


Рис. 8. Зависимость между $2A/f$ и f

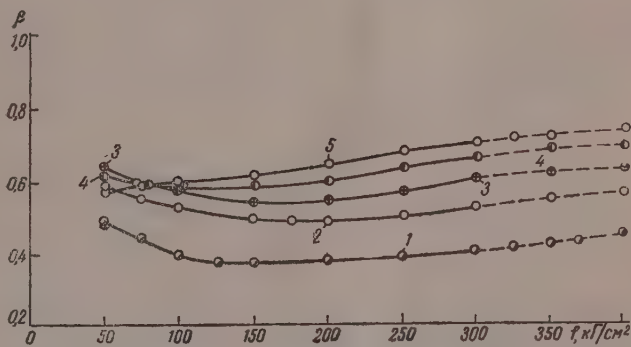


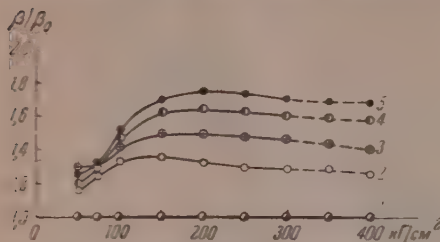
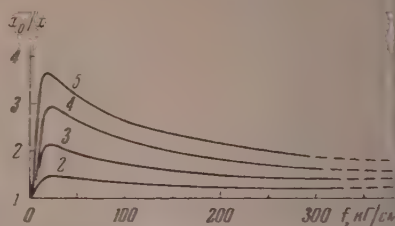
Рис. 9. Зависимость структурного коэффициента $\beta = 2A/F$ от величины нагрузки f

Таким образом, согласно развиваемым воззрениям, при значительных растяжениях резин представляется возможность наиболее отчетливо наблюдать проявление упругих растяжений полимерных молекул. Для этой цели необходимо изучать корреляцию различных параметров механических свойств растянутой резины и величины нагрузки f .

Во всех случаях, когда отсутствует необходимость оценивать величину изменения относительной длины x растянутого образца, удастся установить проявление общих свойств, характерных для всех резин независимо от содержания наполнителей (см. рис. 4, 5, 7, 8, 10, 12).

При истолковании полученных результатов главной оказывается задача сопоставления по величине внутренних деформаций микрообъемов вулканизата и изменения внешней конфигурации образца при его деформации. Решение этой задачи может быть достигнуто, если сопоставить

относительное изменение структурных коэффициентов β для различных резин при одинаковой величине нагрузки ($j = \text{const}$). Как указывалось выше $\beta = \varphi \pi \varepsilon_c$; при сопоставлении структурных коэффициентов для нагруженной резины β и незагруженной резины β_0 видно, что $\kappa = \beta/\beta_0 = \varphi \pi / \varphi_0 \pi_0$, так как можно принять $\varepsilon_c = \varepsilon = \text{const}$.

Рис. 10. Зависимость $\kappa = \beta/\beta_0$ от f Рис. 11. Зависимость x_0/x от f

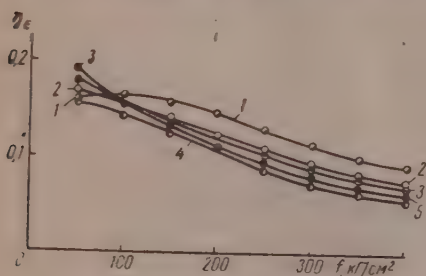
Согласно уравнению (2) $\beta/\beta_0 = A/A_0 \cdot x_0/x$. Введя обозначение $\xi = x_0/x$ получаем $\xi = (A_0/A) \kappa$.

На основании вышеизложенного масштабы по оси деформации для резин с различным содержанием наполнителей должны быть различными.

Согласно (3) можно определить величину структурного коэффициента β_1 независимо от β_2 . При сопоставлении значения β_1 и β_2 представится

возможность оценить величину η_ε характеризующую соотношение средней деформации секции каркаса ε_c и степень упругого растяжения ε_c максимально напряженных полимерных молекул.

В целях оценки значения основных β , φ , π и вспомогательных (η_ε , κ) структурных параметров на рис. 10, 11 и 12 представлены соответствующие данные, вычисленные по результатам, приведенным на рис. 2, 5, 6—9. Во всех случаях сопоставление значения структурных

Рис. 12. Зависимость η_ε от f

параметров производится в зависимости от величины соответствующих нагрузок j_0 , f . Параметры κ и ξ позволяют приблизительно оценить соотношение степеней внутренних и внешних деформаций. При анализе результатов, приведенных на рис. 11, можно установить, что степень внутреннего перенапряжения вулканизата при растяжении меняется по мере увеличения числа образующихся секций каркаса n пропорционального возникающей нагрузке f . Поэтому при испытании резин с различным содержанием наполнителей масштабы по оси удлинений должны быть для разных резин не только различными, но и не пропорциональными. Лишь при значительных нагрузках ($f > 150$ кг/см²) закономерности приобретают более простой характер. При сопоставлении данных, приведенных на рис. 9, 10 с соответствующими данными, приведенными на рис. 11, представляется возможность приблизительно оценить вероятную степень внутренних перенапряжений структуры при растяжении резин с различным содержанием наполнителей.

При оценке зависимости $\eta_\varepsilon(f)$ для изучавшихся резин получаются достаточно хорошо совпадающие значения коэффициента η_ε , приведенные на рис. 12; для интервала напряжений от 50 до 200 кг/см² отклонения не превышают $\pm 20\%$.

На основании результатов, приведенных в данной статье, еще не представляется возможности оценить модуль упругости a_c и степень пружного растяжения полимерных молекул ε_c , так как не удалось независимым путем оценить величину структурных параметров ϕ и π . Оставляя величину параметров механических свойств при испытании большого набора резин, можно подобрать значения величины структурных параметров и оценить величину a_c и ε_c таким образом, чтобы отношения между ними удовлетворяли формулам (1), (2) и (3).

Однако при этом возникает необходимость увеличения степени точности определения параметров механических свойств растянутой резины, что может быть осуществлено только при существенном усовершенствовании аппаратуры, применяемой для механических испытаний резины методом растяжения. Разработка механической теории напряженного состояния при растяжении резины должна быть продолжена.

Автор выражает благодарность Е. А. Абрамовой и Т. С. Дворкиной за помощь при выполнении экспериментальной части работы и за участие в обработке полученных результатов.

Выводы

1. Установлена корреляционная зависимость между параметрами механических свойств растянутой резины и структурными параметрами, характеризующими упругие растяжения полимерных молекул. Поэтому метод испытания резины на растяжение может применяться не только для изучения структуры резины, но и для изучения упругих растяжений полимерных молекул.

2. Рекомендуется развивать новое научное направление — механику растянутых полимерных систем [2], основанную на представлениях механики полимерных молекул [1].

3. Для повышения степени точности оценки механических и структурных параметров существенное значение имеет совершенствование аппаратуры, применяемой для испытания резины на растяжение.

Поступила
18.III.1958

ЛИТЕРАТУРА

- Г. А. Патрикеев, Докл. АН СССР, 120, № 2, 1958.
- Г. А. Патрикеев, Докл. АН СССР, 120, № 3, 1958.
- П. П. Кобеко. Аморфные вещества, Изд-во АН СССР, 1952. Л. Трелоар. Физика упругости: каучука, ИИЛ, 1953. М. В. Волькенштейн. Строение и физические свойства молекул. Изд-во АН СССР, 1955.
- Г. А. Патрикеев, Краткий курс технологии резины; Изд-во ВАХЗ, 1941.
- Г. А. Патрикеев. Тезисы докладов IX конференции по общим вопросам химии и физики высокомолекулярных соединений. Изд-во АН СССР, Москва, 1956; стр. 145; Каучук и резина, № 4, 37, 1957.

CORRELATION BETWEEN THE MECHANICAL CHARACTERISTICS AND THE STRUCTURE OF STRETCHED VULCANIZED RUBBER

G. A. Patrikeev (Moscow)

Summary

In testing a large variety of rubbers a correlation has been established between certain parameters of the mechanical properties and the special structural parameters characterizing the resilient stretching of polymer molecules. The manifestation of such relationship gives grounds for applying the mechanics of polymer molecules in studying the structure of stretched polymer systems. The new conceptions are based on the assumption that a very small number of polymer molecules stretch resiliently and form during the stretch an hypothetic framework c. e. a resilient network that takes on the major part of the external load, as well as of the action of the strained elastic network. The importance of further developing the theoretical conceptions now being formed, as well as the apparatus used for testing the stretching properties of rubber has been stressed.

К ВОПРОСУ О ВЫСШЕЙ ПЕРЕКИСИ ВОДОРОДА И ЗАМОРОЖЕННЫХ РАДИКАЛАХ

II. НЕСКОЛЬКО ЗАМЕЧАНИЙ К ТЕРМОХИМИИ ВЫСШЕЙ ПЕРЕКИСИ H_2O_4 И РАДИКАЛА HO_2

*И. И. Скороходов, Л. И. Некрасов, Л. А. Резницкий,
Б. Г. Хомяков и Н. И. Кобозев*

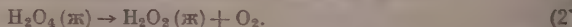
Нами были опубликованы [1] результаты калориметрического исследования процесса разложения твердого конденсата, полученного вымораживанием диссоциированных в электрическом разряде паров воды при температуре жидкого азота (так называемого стекловидного вещества). При указанных условиях образования твердый конденсат представлял собой полупрозрачную массу с частично неупорядоченной структурой. Предположение об аморфности конденсата было высказано вначале Охара [2] и затем подтверждено в последних термографических работах [3, 4]. По химическому составу твердый конденсат представляет смесь воды, перекиси водорода, соединения H_2O_4 и замороженных радикалов HO_2 .

Проведенное исследование подтвердило ранее обнаруженную двухстадийность процесса разложения стекловидного вещества [2, 5—7]. Первая стадия разложения, начинающаяся при -115° и заканчивающаяся до плавления конденсата, сопровождается выделением около $1/3$ общего количества кислорода. Выделение остальных $2/3$ кислорода, соответствующее второй стадии разложения, происходит при -60° — -30° , т. е. после плавления стекловидного вещества.

В работе [1] было показано, что каждой стадии разложения сопутствует определенный экзотермический эффект. Первый эффект, ΔH которого в расчете на моль выделяющегося кислорода оказалось равным -79 ккал, был отнесен к реакции рекомбинации замороженных радикалов HO_2 :



и кристаллизации аморфной части твердого конденсата, идущей одновременно с первой стадией разложения. Второй экзотермический эффект, ΔH которого было определено в -68 ккал/моль O_2 , относился исключительно к разложению высшей перекиси H_2O_4 в жидкой фазе:



При расчете значения последнего эффекта предполагалось, что вторая стадия разложения конденсата приходится на область плавления эвтектики системы H_2O — H_2O_2 , т. е. на область полного исчезновения твердой фазы. Поэтому величина теплового эффекта, непосредственно полученная из площади, ограниченной кривой теплосодержания, складывалась с теплотой плавления эвтектики, количество которой можно было рассчитать.

Однако более детальное исследование процесса разложения конденсата, полученного как из диссоциированных паров воды, так и при взаимодействии атомарного водорода с жидким озоном, показало, что сделанное допущение требует существенного исправления.

Из визуальных наблюдений, а также из данных по изучению разложения конденсата термографическим методом* следует, что в обоих

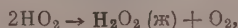
* Результаты этого исследования явятся предметом отдельной статьи.

званных выше случаях полное исчезновение твердой фазы происходит в интервале температур от -70 до -60° , причем частичное оплавление конденатов начинается даже при более низких температурах. Процесс плавления при -70° — -60° сопровождается четко выраженным эндотермическим эффектом. На основании этих наблюдений можно заключить, что в конденсатах не содержится эвтектическая смесь, и они плавятся как целое при температурах, значительно более низких, чем температуры плавления соответствующих растворов перекиси водорода, в которых эвтектическая смесь, естественно, присутствует. Таким образом, при расчете второго экзотермического эффекта вводить поправку на плавление эвтектики не нужно, а выделенное тепло следует определять только из площади, ограниченной кривой теплосодержания. Экспериментальные данные работы [1], пересчитанные соответствующим образом, дали для величины второго экзотермического эффекта значение 39 ± 4 ккал/моль O_2 , которое в дальнейшем и предлагается в качестве теплового эффекта реакции [2].

Ливингстон, Гормли и Зелдс [8], а затем А. И. Горбанев, С. Д. Кайтзов, А. М. Прохоров и А. Б. Ценципер [9], исследуя твердый конденат из диссоциированных паров воды методом электронного парамагнитного резонанса, нашли, что концентрация замороженных в конденсате свободных радикалов HO_2 невелика и равна приблизительно 0,3 вес. %. Сюда следует, что количество кислорода, выделяющегося при рекомбинации HO_2 -радикалов, по уравнению (1) может составлять лишь около 4 % общего количества выделяющегося при разложении газа. Это обстоятельство показывает недостаточность выдвинутого ранее объяснения приписываемого первого экзотермического эффекта, при котором выделяется около 50 % всего количества кислорода, и заставляет предположить, что в основе этого эффекта происходит также частичное разложение соединения HO_4 , т. е. первый экзотермический эффект представляет собой сумму двух эффектов: тепловых эффектов реакций (1) и (2) и теплоты кристаллизации аморфной части конденсата.

Перейдем теперь к более подробному анализу полученных ранее данных. Прежде всего попытаемся оценить те части первого экзотермического эффекта, которые приходятся на реакции (1) и (2) и на процесс кристаллизации аморфной части твердого конденсата.

Тепловой эффект реакции (1) может быть рассчитан из имеющихся в литературе термодинамических данных. Действительно известно, что ΔH разложения радикала HO_2 в газовой фазе равно приблизительно 5 ккал/моль [10], а ΔH образования H_2O_2 в жидкой фазе равно 15,3 ккал/моль [11]. Из этих данных для теплового эффекта реакции:



получаем значение $\Delta H = -54,3$ ккал/моль O_2 . Отсюда, принимая во внимание, что ΔH затвердевания H_2O_2 равно $-2,5$ ккал/моль [11], для реакции (1) получаем величину $\Delta H = -56,8$ ккал/моль O_2^* .

Для реакции (2) принимается экспериментально найденный тепловой эффект в $\Delta H = -39$ ккал/моль O_2 .

Используя выше приведенный подсчет, а также наши экспериментальные данные, мы можем оценить ту часть первого экзотермического эффекта, которая приходится на процесс кристаллизации.

В таблице приведены взятые из калориметрических опытов экспериментальные данные по определению первого теплового эффекта (столбец 1) и результаты соответствующих расчетов.

В столбцах 2 и 3 указаны расчетные значения количеств кислорода, выделяющихся в результате реакций (1) и (2); в столбцах 4 и 5 указаны те же суммарного теплового эффекта, которые приходятся на эти реакции, а в столбце 6 — часть теплового эффекта, приходящаяся на процесс

* При этом мы полагаем, что при разложении конденсата в твердом состоянии радикалы HO_2 рекомбинируют так же, как они рекомбинировали бы в газовой фазе.

Первый экзотермический эффект
(начало разложения при $\sim -115^\circ$)

ΔH , кал экзотерм. данные	H_2O_2 выделен по реакции (1)	H_2O_2 выделен по реакции (2)	ΔH , кал приходящий на реакцию (1)	ΔH , кал приходящий на реакцию (2)	ΔH , кал приходящий на процесс кристаллизации	Вес конденсата, г	Вес H_2O_2 в конденсате до плавл.	Кристаллизация конденсата (рассчитано)	
								кал/моль конденсата	кал/г H_2O_2
-68,6	0,19	0,75	10,0	29,0	29,6	0,952	0,400	31,1	2,440
-54,6	0,13	0,50	7,0	20,0	27,6	0,650	0,275	42,4	3,400
-20,0	0,05	0,20	3,0	10,0	7,0	0,270	0,114	25,9	2,080
Среднее:								33,1	2,640

кристаллизации. В двух следующих столбцах (7 и 8) даны вес конденсата до разложения и количество H_2O_2 , присутствующей к моменту кристаллизации. В последних двух столбцах приводятся тепловые эффекты кристаллизации, отнесенные соответственно к грамму конденсата и молю H_2O_2 .

Таким образом, проделанные расчеты привели к величинам теплового эффекта процесса кристаллизации, равным $\sim 33,1$ кал/г конденсата $\sim 2,6$ ккал/моль H_2O_2 . Особенно интересна последняя величина.

Гогг и Спайс [4] установили, что кристаллизация аморфных растворов 45—70%-ной перекиси водорода начинается при -112 — -108° и сопровождается тепловым эффектом, величина которого \sim на 20% меньше теплоты плавления H_2O_2 . Хорошее совпадение этих данных с данными, рассчитанными выше, является первым серьезным аргументом, говорящим за то, что кристаллизация перекисно-радикального конденсата непосредственно связана с расстекловыванием аморфной перекиси водорода, присутствующей в конденсате.

Отметим также следующее. В работе [4] была вычислена величина экзотермического эффекта разложения стекловидного вещества при -110° из кривых нагревания, оказавшаяся равной в расчете на всю перекись водорода 1—2 ккал/моль, причем авторы указывали, что их результат может быть сильно занижен (до двух раз) вследствие дефектов методики.

Если найденную нами экспериментальную величину экзотермического эффекта первой стадии разложения отнести ко всему количеству перекиси водорода, как это сделали указанные исследователи, то тепловой эффект первой стадии разложения будет составлять около 5 ккал/моль, что близко к величине, найденной Гоггом и Спайсом, принимая во внимание двукратную ошибку, возможную в их работе.

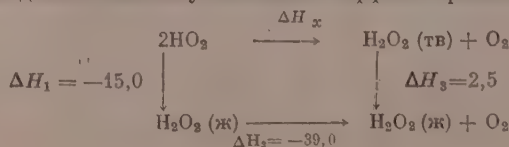
Попытаемся теперь показать, что значение теплового эффекта реакции (2) не противоречит имеющимся в литературе термохимическим данным и может быть использовано для подсчета тепловых эффектов ряда реакций, в том числе и реакции (1).

В самом деле, зная тепловой эффект реакции (2), можно определить теплоту образования соединения H_2O_4 из элементов и тепловой эффект рекомбинации радикалов HO_2 до H_2O_4 при условии, что это соединение в конце реакции будет находиться в жидкой фазе:



ΔH для реакции (3) оказалось равным $-6,0$ ккал/моль H_2O_4 , а ΔH для реакции (4) составило $-15,0$ ккал/моль H_2O_4 .

Рассчитаем далее величину теплового эффекта реакции (1). Из цикла



закону Гесса следует, что

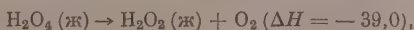
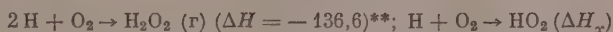
$$\Delta H_x = \Delta H_1 + \Delta H_2 - \Delta H_3 = -56,5 \text{ ккал/моль } O_2,$$

что находится в хорошем согласии с величиной, рассчитанной по другим данным и приведенной выше ($-56,8 \text{ ккал/моль}$) *.

Используя найденные нами величины тепловых эффектов, можно считать также тепловой эффект реакции:



Из уравнений:

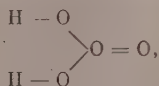


получаем для реакции (5) $\Delta H = -46,4 \text{ ккал/моль}$, что хорошо согласуется с данными Фонера и Гудзона [12] и расчетом Гейба [10].

Таким образом, выдвинутое нами предположение о том, что разложение H_2O_4 по реакции (2) сопровождается выделением $39 \text{ ккал/моль } O_2$, не противоречит известным термохимическим данным и, очевидно, справедливо.

В работе Гормли [5] указывалось, что экзотермический эффект, сопровождающий разложение конденсата выше -60° , равен 44 ккал/моль выделяющегося при этом кислорода. Различие между нашими данными и данными Гормли не велико. Более точного совпадения трудно требовать, так как Гормли определял тепловой эффект из кривой нагревания, что само по себе связано со значительной ошибкой.

В заключение остановимся на вопросе о возможной структуре соединения H_2O_4 . Естественно, что изложенные результаты термохимических опытов не дают еще возможности сделать однозначного вывода о структуре соединения H_2O_4 , однако они позволяют сразу же исключить из рассмотрения, например, структуру $H_2O_2 \cdot O_2$, предложенную Смитом [13] представляющую собой комплекс перекиси водорода с кислородом. При разложении соединения $H_2O_2 \cdot O_2$ на H_2O_2 и O_2 не должно было бы наблюдаться значительного экзотермического эффекта, который имеет место на опыте. Плохо согласуется с термохимическими данными также структура:



предложенная Д. И. Менделеевым [14] и представляющая собой гипотетическую «озонную кислоту» — аналог сернистой и селенистой кислот. Эта структура предполагает существование четырехвалентного кислорода и, чтобы ее принять, следует допустить весьма сложный механизм комбинации HO_2 -радикалов до соединения H_2O_4 , требующий значительной энергии активации.

В наибольшем согласии с полученными термохимическими данными находится структура



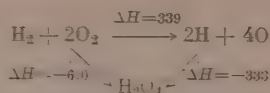
первые предложенная А. Н. Бахом [15].

Попытаемся определить энергии связей в последней структуре. Зная плотность образования соединения H_2O_4 ($\Delta H = -6 \text{ ккал/моль}$), можно найти общую сумму энергий связей в структуре (6), которая оказывается

* При расчете ΔH_1 теплота образования радикала из элементов была принята равной $4,5 \text{ ккал/моль}$.

** См. [11]

равной 333 ккал/моль, согласно схеме:



Для энергии диссоциации молекул H_2 и O_2 приняты соответственные значения 103 ккал/моль и 118 ккал/моль. Если дальше принять, что энергии связей HO и следующих за ними связей OO в структуре (6) по величине близки к соответствующим связям в молекуле перекиси водорода, то можно установить величину энергии центральной связи OO .

Вопрос об энергиях связей в молекуле H_2O_2 пока окончательно не решен. В качестве крайних значений можно рассматривать значения, рассчитанные, с одной стороны, Паулингом [16], с другой стороны, Уоллом [17]. Первый автор для связей HO и OO приводит значения 110 ккал и 35 ккал соответственно, второй — 96 ккал и 65 ккал. Используя эти данные, для энергии центральной связи OO в молекуле H_2O_2 получаем крайние значения: 42 ккал и 11 ккал, что находится в качественном соответствии с тепловым эффектом реакции (4).

Выводы

1. В статье более подробно проанализирован изложенный в предыдущей работе [1] экспериментальный материал по определению теплот разложения твердого конденсата, полученного конденсацией при -196° диссоциированных паров воды.

2. Показано, что тепловой эффект разложения соединения H_2O_4 в жидкой фазе до O_2 и H_2O_2 составляет $\Delta H = -39$ ккал/моль.

3. Из опытного значения величины экзотермического эффекта, приходящегося на первую стадию разложения конденсата (до -70°), была рассчитана теплота кристаллизации аморфной части конденсата, оказавшаяся равной $\Delta H = -2,6$ ккал/моль H_2O_2 , которая близка к теплоте плавления H_2O_2 . На этом основании высказано предположение, что расстекловывание конденсата непосредственно связано с присутствующей в нем перекисью водорода.

4. Из теплоты разложения соединения H_2O_4 до O_2 и H_2O_2 были рассчитаны: теплота образования соединения H_2O_4 из простых веществ ($\Delta H = -6$ ккал/моль) и теплота рекомбинации радикалов HO_2 до соединения H_2O_4 ($\Delta H = -15$ ккал/моль H_2O_4). Полученные значения хорошо согласуются с другими термохимическими данными.

5. В наибольшем согласии с полученными термохимическими данными находится структура $\text{H}-\text{O}-\text{O}-\text{O}-\text{O}-\text{H}$. Расчет энергий связей в этом соединении показывает, что энергия центральной связи OO заключается в пределах 11—43 ккал, если остальные связи аналогичны соответствующим связям в молекуле перекиси водорода.

Государственный университет
им. М. В. Ломоносова
Москва

Поступила
28.III.1958

ЛИТЕРАТУРА

1. Л. А. Резницкий, К. Г. Хомяков, Л. И. Некрасов, И. И. Скороходов, Ж. физ. химии, 32, 87, 1958.
2. E. Ohara, J. Chem. Soc., Japan, 61, 569, 1940.
3. R. A. Jones, C. A. Winkler, Canad. J. Chem., 29, 1010, 1951.
4. M. A. P. Hogg, J. E. Spice, J. Chem. Soc., 3971, 1957.
5. J. A. Gormley, J. Amer. Chem. Soc., 79, 1862, 1957.
6. Л. И. Некрасов, Диссертация, МГУ, 1951.
7. Н. И. Кобозев, И. И. Скороходов, Л. И. Некрасов, Е. И. Макарова, Ж. физ. химии, 31, 1843, 1957.

3. R. L. Livingston, J. A. Ghormley, H. Zeldes, J. Chem. Phys., 24, 483, 1956.
4. А. И. Горбанев, С. Д. Кайтмазов, А. М. Прохоров, А. Б. Ценципер, Ж. физ. химии, 31, 515, 1957.
5. K. H. Geib, Ergeln. exakt. Naturwiss., 15, 44, 1936.
6. Перекись водорода и перекисные соединения, Госхимиздат, 1951.
7. S. N. Foner, R. L. Hudson, J. Chem. Phys., 23, 1364, 1955.
8. P. Smith, Chem. and Ind., 42, 1299, 1954.
9. Д. И. Менделеев, Основы химии, 6-ое изд., 1895, стр. 151.
10. А. Н. Бах, ЖРФХО, 29, 373, 1897.
11. Л. Паулинг, Природа химической связи, Госхимиздат, М.—Л., 1947.
12. A. D. Walsch, J. Chem. Soc., 331, 398, 1948.

ON THE HIGHER HYDROGEN PEROXIDE AND FROZEN RADICALS

II. SOME NOTES ON THE THERMOCHEMISTRY OF THE HIGHER PEROXIDE H_2O_4 AND THE RADICAL HO_2

I. I. Skorokhodov, L. I. Nekrasov, L. A. Reznitskiĭ, K. G. Khomyakov and N. I. Kobozev (Moscow)

Summary

In the present communication a more detailed discussion has been presented of the experimental material given in the previous paper concerning the determination of the heats of decomposition of the solid obtained on condensation of dissociated water vapors -196° . The heat effect of the liquid phase decomposition of the compound $2O_4$ to O_2 and H_2O_2 has been shown to be equal to $\Delta H = -39$ kcal/mole. From the experimental values for the exothermal effect due to the first stage of decomposition of the condensate (up to $-70^\circ C$), the heat of crystallization of the amorphous part of the condensate has been calculated. The value obtained was $\Delta H = -2.6$ kcal/mole which approaches the heat of melting of H_2O_2 . For this reason it has been suggested that devitrification of the condensate is directly connected with the hydrogen peroxide present in it. From the heat of decomposition of the compound H_2O_4 to O_2 and H_2O_2 the heat of formation of H_2O_4 from the elementary substances ($\Delta H = -6$ kcal/mole) and the heat of combination of the radicals HO_2 to H_2O_4 ($\Delta H = -15$ kcal/mole H_2O_4) have been computed. The values obtained are in good agreement with other thermochemical data.

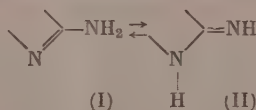
The thermochemical data obtained agree best with the structure $H-O-O-O-O-H$. Calculation of the bond energies in this compound shows that the energy of the central bond $O-O$ lies within the limits 11–43 kcal, provided the other bonds are analogous to the corresponding bonds in the hydrogen peroxide molecule.

О ТАУТОМЕРИИ НЕКОТОРЫХ ПРОИЗВОДНЫХ ГЕТЕРОЦИКЛИЧЕСКИХ СОЕДИНЕНИЙ

Х. ТАУТОМЕРИЯ АЦИЛИРОВАННЫХ ГЕТЕРОЦИКЛИЧЕСКИХ АМИНОВ

*Ю. Н. Шейнкер, Е. М. Переслени, Н. П. Зосимова
и Ю. И. Померанцев*

Из приложения закономерностей кислотно-основного равновесия амино-иминной таутомерии гетероциклических аминов вытекает возможность воздействия на положение этого таутомерного равновесия путем изменения соотношения основностей двух ответственных за таутомерию атомов азота — кольцевого и внекольцевого. Действительно, поскольку существование гетероциклических аминов в амино- (I), а не иминоформе (II) обусловлено, с этой точки зрения, значительно более высокими основными свойствами внекольцевого иминного атома азота [1, 2], понижение основности этого атома должно приводить к смещению таутомерного равновесия в сторону возрастания содержания иминных таутомерных форм (II).



Наиболее простым методом, позволяющим осуществить такое изменение, является замещение одного из атомов водорода аминогруппы электроотрицательными группами типа кислотных остатков, «подкисляющее» (ацидифицирующее) действие которых должно сказаться в первую очередь на непосредственно с ними связанном внекольцевом атоме азота.

В предыдущих работах [2, 3] было показано, что, используя для указанной цели такие сильные ацидифицирующие радикалы, как остатки бензолсульфо- и сульфаниловой кислот, удастся настолько понизить основные свойства внекольцевого атома азота, что равновесие сдвигается в сторону практически полного преобладания аминотомной формы в самих аминах (2-аминопроизводные тиазола, пиридина и др.) до аналогичного преобладания иминоформы в соответствующих бензолсульфон- и сульфаниламидах.

В связи с этими данными большой интерес представляло изучение таких соединений, в которых для указанной выше цели был бы использован более широкий круг ацидифицирующих заместителей, обладающих различной и постепенно изменяющейся степенью электроотрицательности. Для этих соединений (при условии правильности всех выше развитых представлений) можно было ожидать наличия в растворах одновременно двух таутомерных форм, причем при нарастании ацидифицирующей способности заместителей положение таутомерного равновесия должно было бы также закономерно изменяться от преобладания аминной к преобладанию иминной таутомерной формы.

В настоящей работе с этой точки зрения изучены ацилированные амины различных гетероциклов — пиридина, тиазола,* тиадiazола, хинлина, пиримидина, бензотиазола, акридина.

* Предварительные данные по ациламинам тиазола и пиридина были приведены нами также в статье [4]. Эти данные уточнены в настоящем сообщении.

В качестве ацидифицирующих заместителей были использованы кислотные остатки уксусной, бензойной, монохлоруксусной, дихлоруксусной, трихлоруксусной, трифторуксусной, метансульфоновой и сульфаниловой кислот, бензолсульфокислоты, азотной кислоты. Эти остатки при введении в аминогруппу гетероциклического амина образовывали соответствующие амиды. Ориентировочные данные о ацидифицирующей способности каждого заместителя могли быть получены при сопоставлении констант диссоциации соответствующих кислот.

Строение исследуемых соединений, а также данные о соотношении таутомерных форм в их растворах, получены в работе с помощью инфракрасных и ультрафиолетовых спектров поглощения. Для этой цели спектры мидов сопоставлялись со спектрами их метильных производных, имеющих закрепленное amino- или иминостроение, а также рассматривались характеристические полосы в инфракрасных спектрах соединений.

Экспериментальная часть

Инфракрасные спектры поглощения были получены на инфракрасном спектрометре ИКС-11, ультрафиолетовые спектры — с помощью спектрометра СФ-4. В качестве растворителей при съемке ультрафиолетовых спектров использовались: вода, этиловый спирт (абсолютный), диоксан, гептан. Инфракрасные спектры в большинстве случаев были получены для веществ в кристаллическом состоянии (суспензии в вазелиновом масле или полифторуглероде).

Большая часть ацилированных гетероциклических аминов для исследования была синтезирована путем взаимодействия хлорангидридов кислот с соответствующими гетероциклическими аминами в среде пиридина или бензола. Таким образом были получены: 2-хлорацетиламинопиридин, т. пл. 110° (разл.), найдено %: Cl 20,8, вычислено %: Cl 20,8; 2-дихлорацетиламинопиридин, т. пл. $69-70,5^\circ$, найдено %: Cl 34,5, вычислено %: Cl 34,6; 2-трихлорацетиламинопиридин, т. пл. $84-85^\circ$, найдено %: Cl 44,4, вычислено %: Cl 44,6; 2-метансульфонаминопиридин, т. пл. $204-206^\circ$, найдено %: C 42,4, H 4,7, вычислено %: C 42,0, H 5,1; 2-бензолсульфонаминопиридин, т. пл. 171° ; 4 — трихлорацетиламинопиридин, т. пл. $161-162^\circ$, найдено %: Cl 45,0, вычислено %: Cl 44,6; 4-бензолсульфонаминопиридин, т. пл. $285-286^\circ$; 2-дихлорацетиламинотиазол, т. пл. $180-180,5^\circ$, найдено %: Cl 33,9, вычислено %: Cl 33,6; 2-трихлорацетиламинотиазол, т. пл. $194-195^\circ$, найдено %: Cl 43,5, вычислено %: Cl 43,4; 2-бензолсульфонаминотиазол, т. пл. 170° ; 2-дихлорацетиламиноадиазол, т. пл. $169-170^\circ$; 2-трихлорацетиламиноадиазол, т. пл. $202-203^\circ$, найдено %: Cl 42,4, вычислено %: Cl 43,0; 2-бензолсульфонаминоадиазол, т. пл. $188-190^\circ$; 2-дихлорацетиламинопиримидин, т. пл. $190-192^\circ$, найдено %: Cl 34,5, вычислено %: Cl 34,4; трихлорацетиламинопиримидин, т. пл. 93° ; 2-бензолсульфонаминопиримидин, т. пл. $226-227^\circ$; 2-дихлорацетиламинохинолин, т. пл. $148-150^\circ$; 2-трихлорацетиламинохинолин, т. пл. $109-110^\circ$; 2-бензолсульфонаминохинолин, т. пл. $171-172^\circ$, найдено %: C 63,4, H 4,27, вычислено %: C 63,4, H 4,23; 2-дихлорацетиламинобензтиазол, т. пл. $188-190^\circ$, найдено %: Cl 27,4, вычислено %: Cl 27,2; 2-трихлорацетиламинобензтиазол, т. пл. $194-195^\circ$, найдено %: Cl 36,8, вычислено %: Cl 36,4; 2-бензолсульфонаминобензтиазол, т. пл. $278-280^\circ$, найдено %: C 53,7, H 3,68, вычислено %: C 53,8, 3,45.

При взаимодействии соответствующего амина с ангидридом кислоты были получены: 2-ацетиламинопиридин, т. пл. 71° ; 4-ацетиламинопиридин, т. пл. 150° ; 2-ацетиламинотиазол, т. пл. $202-203^\circ$; 2-ацетиламинопиримидин, т. пл. $146-146,5^\circ$; 2-ацетиламиноадиазол, т. пл. $271-272^\circ$; 2-ацетиламинохинолин, т. пл. $125-126^\circ$; 2-ацетиламинобензтиазол, т. пл. $187-188^\circ$; 2-трифторацетиламинопиридин, т. пл. $98-101^\circ$, найдено %: C 44,0, H 2,49, вычислено %: C 44,2, H 2,63; 2-трифторацетиламиноадиазол, т. пл. $156-157^\circ$, найдено %: C 30,3, H 1,59, вычислено %: C 30,6, H 1,53.

При нитровании соответствующих аминов концентрированной азотной кислотой [5] были синтезированы 2-нитраминопиридин, т. пл. 184° и 2-нитроаминазол, т. пл. 180° (разл.).

Модельные соединения с закрепленным строением — N-метил-2(4)-ацилимины или получены путем метилирования соответствующих ациламинов диметилсульфатом щелочной среде; 2-метилациламины — конденсацией соответствующих 2-метиламинов хлорангидридами кислот.

Так были синтезированы: N-метил-2-дихлорацетилпиридонимин, т. пл. $91-92^\circ$; N-метил-2-трихлорацетилпиридонимин, т. пл. $119-120^\circ$; N-метил-2-бензолсульфонилпиридонимин, т. пл. $153-154^\circ$; N-метил-2-сульфанилпиридонимин, т. пл. 225° ; N-метил-2-пропиридонимин, т. пл. $157,5-158,5^\circ$; N-метилметансульфонпиридонимин, т. пл.

146—147°; N-метил-4-трихлорацетилилпиридонимин, т. пл. 191—192°; N-метил-4-бензолсульфонпиридонимин, т. пл. 186—188°; N-метил-2-дихлорацетилиминотиазолин, т. пл. 123,5—125°; N-метил-2-трихлорацетилиминотиазолин, т. пл. 113—114°; N-метил-2-бензолсульфониминотиазолин, т. пл. 180—181°; N-метил-2-метансульфониминотиазолин, т. пл. 148—150°; N-метил-2-трихлорацетилиминотиадиазолин, т. пл. 83—86°; N-метил-2-бензолсульфониминотиадиазолин, т. пл. 151—153°; N-метил-2-трихлорацетилиминопиримидин, т. пл. 176—177°; N-метил-2-бензолсульфониминопиримидин, т. пл. 226—227°; N-метил-2-трихлорацетилхинолонимин, т. пл. 202—203°; N-метил-2-бензолсульфонхинолонимин, т. пл. 183—186°; N-метил-2-ацетилиминобензтиазолин, т. пл. 123—125°; N-метил-2-дихлорацетилиминобензтиазолин, т. пл. 144—146°; N-метил-2-трихлорацетилиминобензтиазолин, т. пл. 195—197°; N-метил-2-бензолсульфониминобензтиазолин, т. пл. 158—159°; 2-метилбензолсульфониминопиридин, т. пл. 66—67°; 2-метилсульфаниламинопиридин, т. пл. 86,5—87,5°; 2-метилбензолсульфонаминотиазол, т. пл. 80—81°; 2-метилбензолсульфонаминопиримидин, т. пл. 96—98° и др.

Обсуждение результатов

Из данных инфракрасных и ультрафиолетовых спектров исследуемых соединений следует, что действительно в зависимости от ацидифицирующей способности кислотных остатков гетероциклические амиды существуют не только в амино-, но и в иминоформе или в виде смеси двух таутомерных форм.

В кристаллическом состоянии ацетилированные и бензоилированные амины всех исследованных гетероциклов в инфракрасных спектрах обладают характерной полосой амидной карбонильной группы (1660 – 1680 см^{-1}) и являются, следовательно, амидами. Такая же картина наблюдается и в спектрах монохлор- и дихлорацетилиламинов, причем здесь частоты $\text{C}=\text{O}$ возрастает до 1690 – 1720 см^{-1} в связи с индукционным влиянием электроотрицательных атомов хлора (рис. 1, 2).

Очевидно, перечисленные заместители обладают недостаточной электроотрицательностью, чтобы изменить соотношение основных свойств атомов азота до такой степени, которая необходима для устойчивости имино-а не аминок-форм (по крайней мере — для веществ, находящихся в кристаллическом состоянии).

Положение меняется при использовании заместителей с более высокими ацидифицирующими свойствами. Так, 2-трихлорацетилиамины тиазола, бензтиазола и 9-трихлорацетилиаминоакридин в отличие соответствующих дихлорацетилиаминов, оказываются в кристаллическом состоянии уже не амидами, а имидами, показывая в инфракрасных спектрах карбонильную полосу при 1616 – 1640 см^{-1} , свидетельствующую о наличии сопряжения карбонильной группы с двойной связью $\text{C}=\text{N}$ имидной структуре. Действительно, именно эта полоса характеризует область карбонильного поглощения в модельных соединениях с закрепленным иминостроением (N-метил-2-ацетилимины), где такое сопряжение имеет место (рис. 1, 2).

Однако в трихлорацетилиaminaх пиридина, пиримидина, хинолина по-прежнему сохраняется амидное строение — в инфракрасных спектрах этих соединений полосы $\text{C}=\text{O}$ наблюдаются при 1710 – 1735 см^{-1} . Будучи еще сильнее смещены в сторону больших частот (по сравнению отмеченными выше амидными полосами) благодаря усилению индукционного действия при увеличении числа атомов хлора в молекуле.

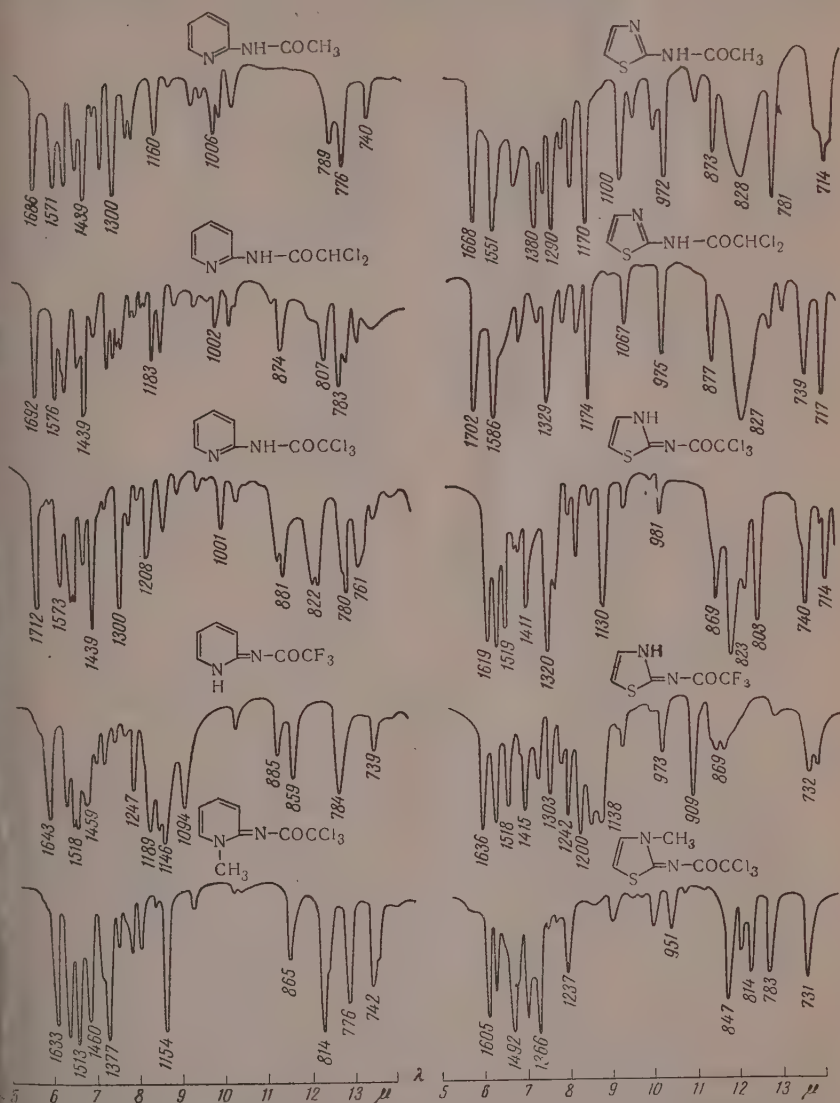
Только введение следующего по силе ацидифицирующего заместителя остатка трифторуксусной кислоты вызывает и в ряду этих гетероциклов переход соединений в иминоформу. Так, 2-трифторацетилиаминопиридин имеет карбонильную полосу уже при 1643 см^{-1} .

Более сильные по своей ацидифицирующей способности остатки сульфокислот или азотной кислоты вызывают для всех без исключения гетероциклов переход ациламинов в иминную форму.

Бензолсульфонамиды и сульфаниламиды, рассматривавшиеся нами для некоторых рядов ранее [2, 3], а также метансульфонамиды в криста-

лах обладают в инфракрасных спектрах полосой, характерной для иминной группировки $N=C=N-SO_2-$ ($940-990\text{ см}^{-1}$) и не показывают полосы, характеризующих аминоконфигурацию $N=C-N-SO_2-$ ($850-890\text{ см}^{-1}$) (рис. 3).

Аналогично этому в спектрах нитраминов присутствуют полосы, характерные для закрепленных N-метил-нитроиминов ($1625, 1542\text{ см}^{-1}$ в



ис. 1. Инфракрасные спектры некоторых 2-ацетиламинов пиридина и тиазола (все в кристаллическом состоянии)

нитраимине пиридина; $1613, 1537\text{ см}^{-1}$ в N-метил-2-нитропиридонимине) отсутствуют полосы, характерные для амидных структур (1581 см^{-1} в метилнитраимине пиридина).

Таким образом, увеличение ацидифицирующей способности заместителя при аминокгруппе до какого-то уровня (отличного для разных гетеро-

циклов) приводит к обязательному переходу от amino- к иминостроению гетероциклических ациламинов в кристаллическом состоянии.

Значительно более детальное различие в действии заместителей проявляется при изучении спектров соединений в растворах. В связи с экспериментальными трудностями исследования растворов с помощью инфракрасных спектров основные данные были получены при использовании ультрафиолетовых спектров. При этом для таких соединений как ацетил-,

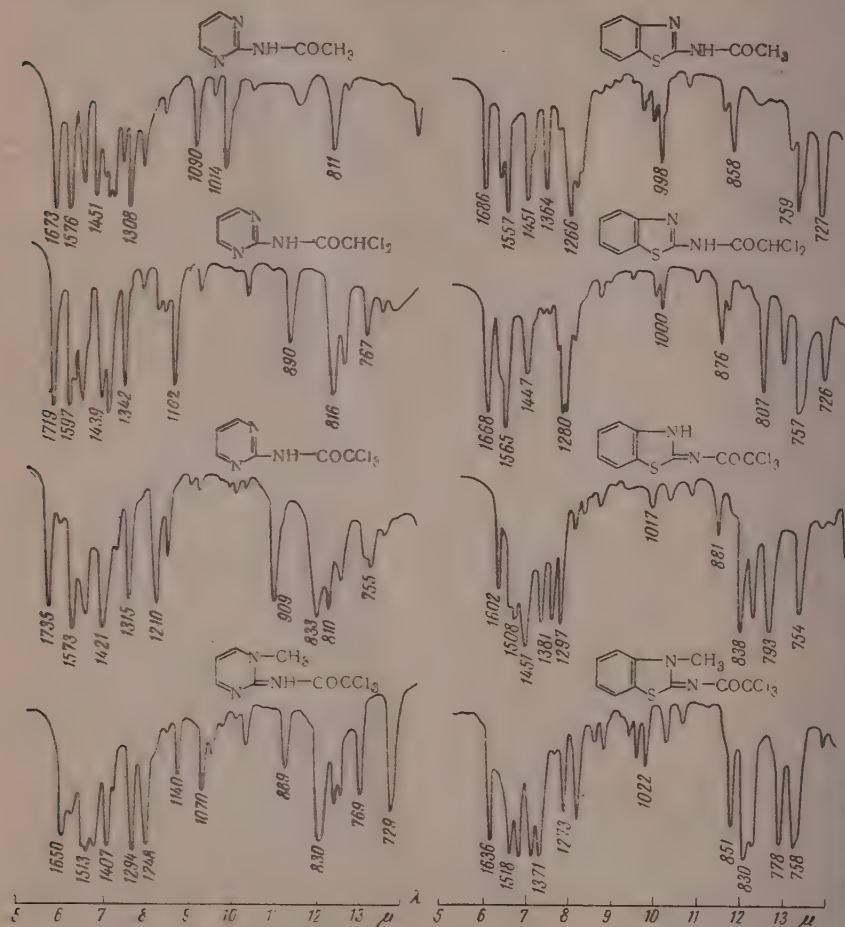
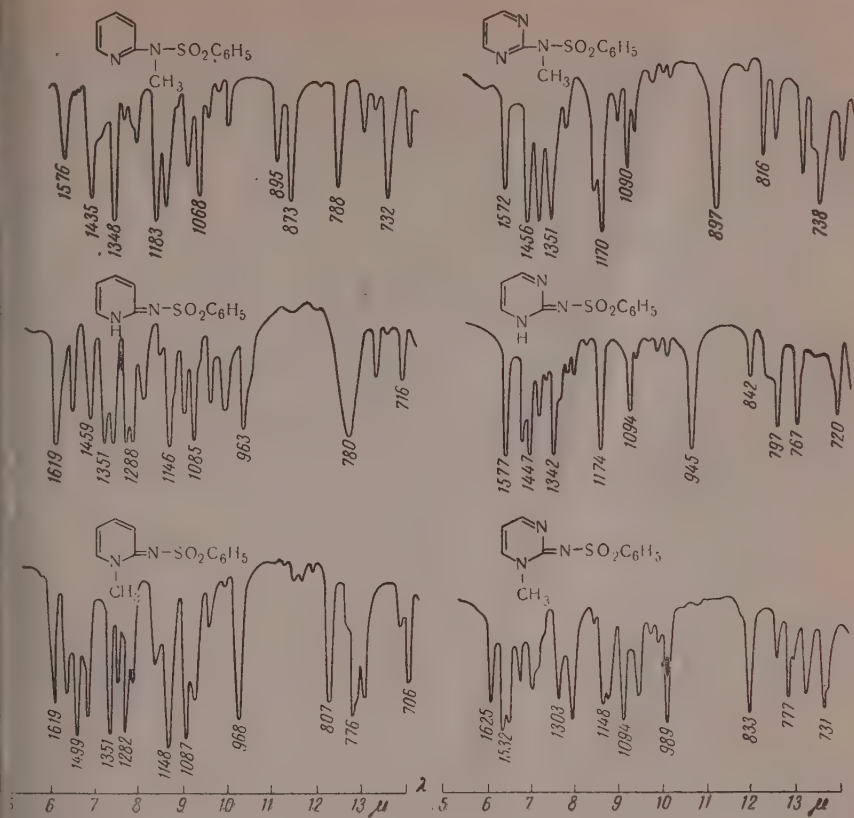


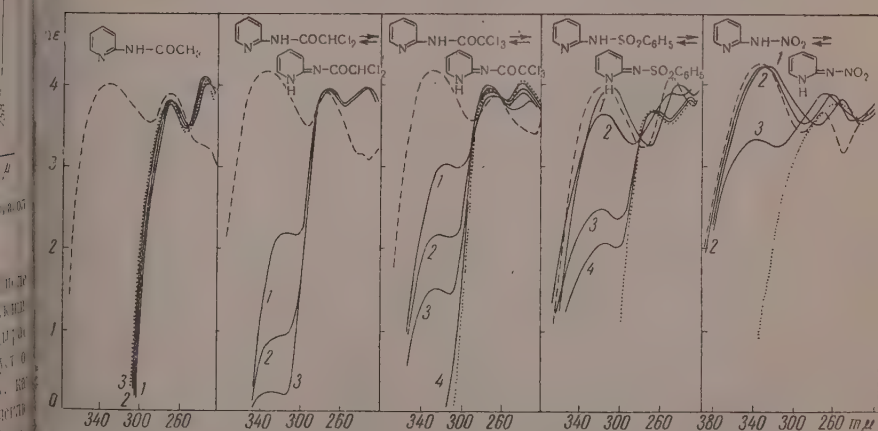
Рис. 2. Инфракрасные спектры некоторых 2-ациламинов пиридина и бензотриазол (все в кристаллическом состоянии)

бензол- и монохлорацетиламины в разных растворителях ультрафиолетовые спектры практически совпадают со спектрами соответствующие закрепленных метилациламинов (рис. 4—6) и не зависят от природы растворителя (в пределах использованных нами). Это свидетельствует о аминостроении данных соединений в растворах (аналогично тому, как это наблюдалось для них в кристаллическом состоянии), хотя не исключена возможность содержания в растворе имидных таутомernih форм такой концентрации (меньше 10^{-4} — 10^{-5} моля на моль), которая лежит за пределами чувствительности использованного спектрального метода.

Дихлорацетиламины в растворах ведут себя иначе. Хотя их ультрафиолетовые спектры в общем аналогичны спектрам модельных веществ



ис. 3. Инфракрасные спектры 2-бензолсульфонамидов пиридина и пиримидина и их метильных производных (все в кристаллическом состоянии)



ис. 4. Ультрафиолетовые спектры поглощения 2-аминами пиридина (1 — в воде; — в спирте; 3 — в дioxане; 4 — в *n*-гептане) и их метильных производных с фиксированным строением (— N-метил-2-ацилпиридонимин, 2-метилацилпиридонимин)

имеющих закрепленное аминостроение, однако в длинноволновой области (300—325 мк) в спектрах появляется дополнительное поглощение в виде выступа на кривой или отдельной полосы с максимумом, причем это поглощение обнаруживается в той области длин волн, где находится главная полоса поглощения модельных N-метилацилиминов. Это поглощение по интенсивности значительно слабее, чем поглощение соответствующих N-метилацилиминов, и сильно зависит от растворителя — интенсивнее всего в водных, слабее в спиртовых, еще слабее в диоксановых, совсем не проявляется в гептановых растворах.

Эти данные несомненно указывают на наличие в растворах исследуемых соединений небольших количеств иминных таутомерных форм, причем из спектров следует, что количество иминоформы растет с полярностью растворителя и зависит от природы гетероцикла (максимально в 2-дихлорацетиламиноптиадиазоле и падает в ряду гетероциклов: тиадиазол, бензтиазол, тиазол, хинолин, пиридин; в 2-дихлорацетиламинопиримидине иминоформа вообще не обнаруживается).

Таким образом, гетероциклические дихлорацетиламины представляют собой соединения, существующие в растворах в виде смеси двух таутомерных форм, причем равновесие этих форм сдвинуто в сторону преобладания аминоформы.

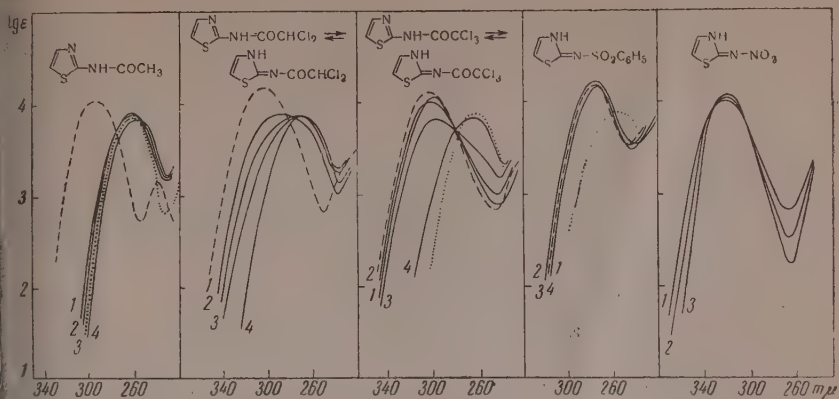
Равновесие значительно смещается в сторону увеличения содержания иминоформы при переходе к трихлорацетильным производным.

2-трихлорацетиламинопиридин в диоксане и особенно в спирте и воде (рис. 4) показывает заметное содержание иминной таутомерной формы (появляется полоса поглощения при 315—325 мк, аналогичная полосе N-метил-2-трихлорацетилпиридонимина). Следы иминоформы (порядка 10^{-5} моля на моль) удается обнаружить и в гептановом растворе. 2-трихлорацетиламинотиазол в спиртовых и водных растворах существует почти полностью в иминной таутомерной форме (полоса в спектре при 305 мк в диоксановом растворе содержит примерно равные количества аминной и иминной форм, наконец, в растворе в гептане обнаруживается несколько процентов иминной таутомерной формы (рис. 5). В диоксановых растворах, где обе формы присутствуют примерно в равных количествах, создаются благоприятные условия для наблюдения двух таутомерных форм с помощью инфракрасных спектров. Действительно, в инфракрасном спектре этих растворов обнаруживаются сразу две карбонильные полосы — при 1630 и 1712 см⁻¹, отвечающие иминной и аминной таутомерным формам.

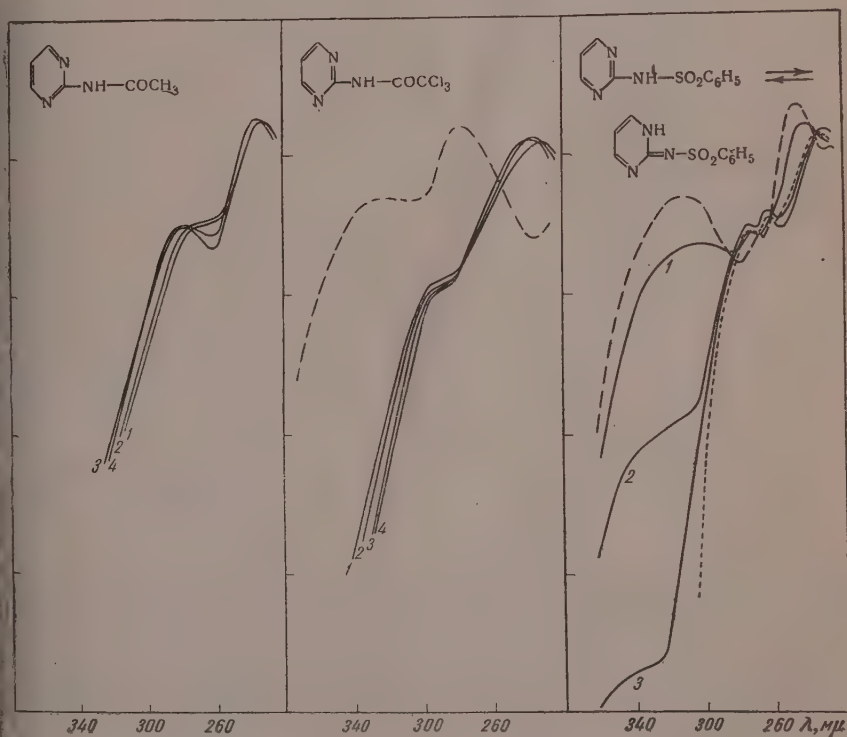
В трихлорацетиламинах других гетероциклов наблюдается аналогичная картина, причем, как и в случае дихлорацетильных производных, содержание иминоформы нарастает в ряду: производные пиридина, хинолина, акридина, тиазола, бензтиазола, тиадиазола. В растворах 2-трихлорацетиламинопиримидина иминоформа по спектрам не обнаруживается (рис. 6).

Соединения, в которых тенденция к переходу в иминоформу должна быть выражена еще сильнее — сульфонамиды, поглощают в ультрафиолетовой области в водных растворах совершенно аналогично закрепленным имидным формам (N-метилсульфонимиды) и таким образом существуют в этих условиях почти полностью в форме имидов. Это не относится в полной мере лишь к 2-бензолсульфонамиду и 2-сульфаниламиду пиримидина (рис. 6), для которых кривая поглощения содержит полосы, отвечающие как амидной, так и имидной таутомерным формам и для которых, следовательно, содержание амидной формы в растворе еще велико, хотя в кристаллах вещества существуют уже в форме имидов.

В других растворителях сульфонамиды в зависимости от природы гетероцикла показывают более различающиеся результаты. Так спектры сульфонамидов пиримидина в диоксане и спирте указывают на весьма малое содержание имидной таутомерной формы: производные 2-



ис. 5. Ультрафиолетовые спектры поглощения 2-ацилтиазолов (1 — в воде; — в спирте; 3 — в диоксане; 4 — в *n*-гептане) и их метильных производных с фиксированным строением (— N-метил-2-ацилтиазолов, ... 2-метилацилтиазолов)



с. 6. Ультрафиолетовые спектры поглощения некоторых 2-ацилпиримидина — в воде; 2 — в спирте; 3 — в диоксане; 4 — в *n*-гептане) и их метильных производных с фиксированным строением (— N-метил-2-ацилпиримидинов, ... 2-метилацилпиримидинов)

4-аминопиридина показывают в спирте относительно небольшое, а в диоксане и гептане — преобладающее содержание амидной таутомерной формы; в 2-бензолсульфонамидохинолине в диоксановых и гептановых растворах аминоформы уже сравнительно мало; наконец, сульфонамиды тиазола, бензтиазола, акридина, тиадиазола не только в воде, но и в других растворителях не показывают (в пределах чувствительности спектрального метода) каких-либо количеств амидной таутомерной формы и являются имидами.

Остатки сульфокислот по своей способности вызывать переход в иминоформу располагаются в следующий ряд: остаток метансульфокислоты, сульфаниловой кислоты, бензолсульфокислоты. Как известно, в этом порядке растут и константы диссоциации этих кислот.

Наибольшим ацидифицирующим действием из всех использованных в работе радикалов должен обладать остаток азотной кислоты — группы NO_2 . В полном согласии с этим 2-нитраминопиридин в водных и спиртовых растворах имеет иминостроение (полосы при 340—345 мμ в ультрафиолетовых спектрах), в диоксановом растворе обнаруживает некоторое содержание аминоформы, в гептане вещество оказалось совершенно нерастворимым. 2-нитраминотиазол во всех растворителях сохраняет иминостроение и, следовательно, во всех условиях является 2-нитроиминотиазолином (рис. 4, 5).

Проведенное качественное рассмотрение спектров показывает, таким образом, что, имея различные по ацидифицирующей способности остатки, можно как бы воздействовать на положение таутомерного равновесия, получая производные, имеющие одно или другое таутомерное строение или существующие в растворах в виде равновесной смеси двух таутомерных форм.

На основании ультрафиолетовых спектров нами было определено равновесное содержание аминных и иминных таутомерных форм ряда указанных выше соединений в растворах и по этим данным рассчитаны константы таутомерного равновесия.

При этих расчетах было сделано допущение, что характерные для аминных и иминных таутомерных форм полосы поглощения по интенсивности равны соответствующим полосам использованных нами модельных соединений, в которых то или иное строение фиксировалось путем замещения атома водорода на метильную группу. Правомочность этого допущения следовало из того, что в тех случаях, когда вещество практически нацело существовало лишь в одной таутомерной форме (отсутствие влияния растворителя на интенсивность полос поглощения), кривая поглощения совпадала с кривой соответствующего модельного соединения.

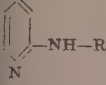

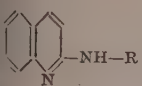
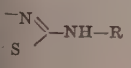
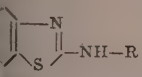
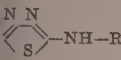
Так кривые бензолсульфонамидов тиазола, тиадиазола, бензтиазола совпадали со спектрами соответствующих N-метилацетилиминов, а кривые для 2-ацетиламинопиридина или 2-ацетиламинотиазола — с кривыми соответствующих 2-метилацетиламинопроизводных.

Полученные расчетные данные приведены в табл. 1. Из данных таблицы следует, что для смещения таутомерного равновесия в сторону устойчивости иминоформы от вводимой ацильной группы требуется высокая ацидифицирующая способность, причем минимальное значение этой ацидифицирующей способности различно для разных гетероциклических аминов. Переход в иминоформу протекает труднее всего в производных 2-аминопиридина, легче всего — в производных 2-аминотиадиазола, остальные соединения занимают промежуточное положение и располагаются при этом в следующем порядке: производные 4-аминопиридина, 2-аминопиридина, 2-аминохинолина, 9-аминоакридина, 2-аминотиазол, 2-аминобензтиазола.

Растворители по способности оказывать влияние на положение амин-иминного таутомерного равновесия располагаются в ряд: гептан, диоксан, спирт, вода, в котором каждый последующий член обладает более сильной

Таблица 1

Равновесное содержание аминотомы и константы таутомерного равновесия гетероциклических ациламинов в растворах

Вещество	R	Растворитель							
		вода		спирт		диоксан		гептан	
		амин, %	K*	амин, %	K*	амин, %	K*	амин, %	K*
	COCHCl ₂	98,69	0,0132	99,97	0,00033	99,98	0,00016	~100	—
	COCCl ₃	89,89	0,112	99,39	0,00614	99,78	0,00216	99,997	0,00003
	SO ₂ C ₆ H ₅ NH ₂	10,65	8,37	81,01	0,234	98,76	0,0125	—	—
	SO ₂ CH ₃	13,2	6,57	78,9	0,267	98,0	0,0202	99,25	0,0075
	SO ₂ C ₆ H ₅	1,5	65,6	52,7	0,896	95,8	0,044	99,0	0,01
	NO ₂	—	—	38,4	1,603	85,4	0,171	—	—
	COCCl ₃	96,61	0,0351	99,91	0,00094	—	—	—	—
	SO ₂ C ₆ H ₅	2,1	46,6	43,1	1,32	96,43	0,371	—	—
	COCCl ₃	76,0	0,315	92,8	0,077	96,3	0,0381	99,24	0,0077
	SO ₂ C ₆ H ₅	~0	—	6,2	15,13	32,4	2,086	—	—
	COCHCl ₂	67,4	0,485	84,0	0,19	93,0	0,075	~100	—
	COCCl ₃	—	—	17,2	4,82	37,6	1,65	96,9	0,032
	COCHCl ₂	—	—	79,4	0,265	91,4	0,094	—	—
	COCCl ₃	—	—	10,7	8,34	34,1	1,93	93,4	0,071
	COCHCl ₂	39,3	1,543	69,6	0,437	83,7	0,194	—	—
	COCCl ₃	~0	—	0	—	14,0	6,14	83,6	0,196

$$* K = \frac{\% \text{ иминоформы}}{\% \text{ аминотомы}}$$

способностью смещать равновесие в сторону иминной таутомерной формы. тот ряд совпадает с рядом растворителей, расположенных в порядке уменьшения энолизирующей способности. Таким образом, по характеру взаимодействия с растворителем иминоформа аналогична кетонной, а иминоформа — энольной форме в кетоэнольном равновесии.

В кристаллическом состоянии вещества, по-видимому, обычно существуют лишь в виде одной таутомерной формы — аминной для соединений с ацильными остатками со сравнительно невысокой и средней ацидифицирующей способностью и иминной — для соединений с остатками высокой ацидифицирующей способности.

Таким образом, в общем случае при кристаллизации вещество принимает лишь одну более выгодную в данных условиях таутомерную форму, причем условия, определяющие выгодность этой формы, соответствуют

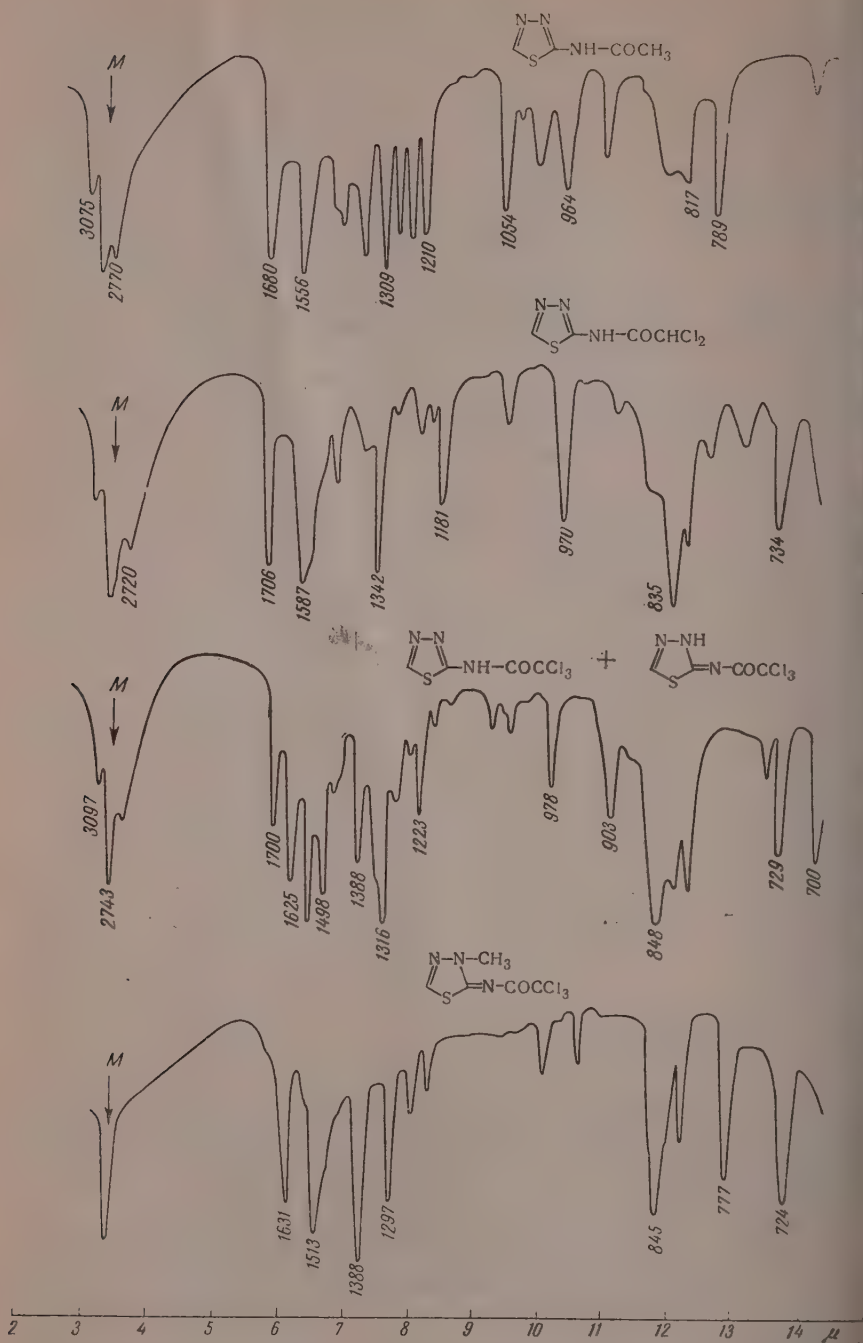


Рис. 7. Инфракрасные спектры некоторых 2-ациламинов тиадизаола (все в кристаллическом состоянии)

ловиям, существующим в сильно полярном растворителе, например, воде. Действительно, обычно наблюдается следующая закономерность — таумерная форма, которая содержится в водном растворе в большем количестве, становится единственной формой в кристаллах (независимо от того, из какого растворителя производится кристаллизация).

Однако для одного из исследованных веществ — 2-трихлорацетиламиноадиазола — данные инфракрасных спектров указывают на наличие в веществе в кристаллическом состоянии сразу двух таутомерных форм. Спектре содержатся две полосы в области карбонильного поглощения —

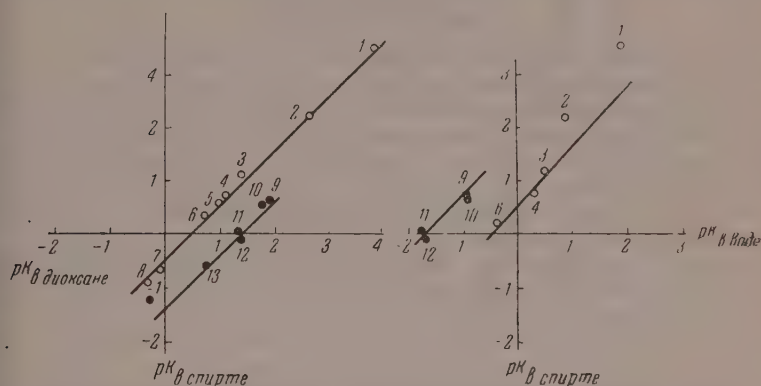


Рис. 8. Зависимость pK_s в двух растворителях в системах: спирт — диоксан и спирт — вода; 1—2-дихлорацетиламинопиридин; 2—2-трихлорацетиламинопиридин; 3—2-трихлорацетиламинохинолин; 4—2-дихлорацетиламинотиазол; 5—2-дихлорацетиламинобензотиазол; 6—2-дихлорацетиламиноадиазол; 7—2-трихлорацетиламиноадиазол; 8—2-трихлорацетиламинобензотиазол; 9—2-сульфаниламидопиридин; 10—2-метансульфонамидопиридин; 11—2-бензолсульфонамидопиридин; 12—4-бензолсульфонамидопиридин; 13—2-нитраминопиридин; 14—2-бензолсульфонамидохинолин

идная при 1699 см^{-1} и имидная (большей интенсивности) при 1625 см^{-1} ; кислые полосы, как $1388, 1297, 848, 729\text{ см}^{-1}$ аналогичны соответствующим полосам в N-метил-2-трихлорацетиламиноадиазоле (т. е. в молекуле типной структуры). С другой стороны, в спектре есть полосы, наблюдающиеся и для типичного амида — 2-дихлорацетиламиноадиазола ($1552, 16, 978, 903, 700\text{ см}^{-1}$) (рис. 7). Следует отметить, что 2-трихлорацетиламиноадиазол (как и ряд других трихлорацетиламинов) относится к таким соединениям, которые являются как бы пограничными — предшествующие им соединения (с менее сильными ацидифицирующими заместителями) существуют в кристаллах аминостроение, идущие после них (с более ацидифицирующими заместителями) — иминостроение. В связи с этим можно предположить, что в трихлорацетиламиноадиазоле (а возможно, и других гетероциклах) в условиях кристаллического состояния обе таутомерные формы оказываются энергетически весьма близкими.

Поэтому возможно, что в этом случае упаковка в кристаллической решетке не одинаковых, а разных, но близких по энергии молекул, становится более выгодной, причем эта структура может быть стабилизирована всеми возможными образованиями при этом межмолекулярных водородных связей, которые, судя по спектрам, осуществляются между молекулами ациламинов.

Полученные данные свидетельствуют о правильности рассмотренных в начале статьи положений о кислотно-основном характере аминно-имидных таутомерных равновесий.

Этот вывод подтверждается и количественными сопоставлениями. Если значения обратных логарифмов найденных нами констант таутомерного равновесия в разных растворителях (pK_s) нанести на график, на ось координат которого отложены значения pK_s в двух растворителях, то точки для разных веществ разбиваются на две группы: хлорацетиламино и сульфонамидов и нитрамина пиридина.

Точки, относящиеся к каждой из групп, хорошо укладываются на одну характерную для этой группы прямую, расположенную под углом 45° к оси абсцисс и, следовательно, отвечающую уравнению (рис. 8)

$$pK_{s_1} = pK_{s_2} + \text{const.} \quad (1)$$

Наличие такой линейной зависимости между константами таутомерного равновесия в двух растворителях, как это было показано М. И. Кабачником [6] в приложении к кетозольным равновесиям, указывает на подчинение исследуемых таутомерных систем правилу Бренстеда—Измайлова, а следовательно, общим соотношениям, определяющим кислотные основные равновесия.

Согласно [7], соотношение Бренстеда [8] выполняется лишь для кислот одного химического типа.

Очевидно, две группы, на которые разбиваются исследованные нами соединения, соответствуют по своим кислотным характеристикам двум химическим типам.

Одна группа соединений отличается от другой величиной константы уравнения (1).

Физический смысл этой константы раскрывается при следующем рассмотрении.

Как известно [6, 9], для протолитических таутомерных равновесий

$$K_{Ts} = K_t \frac{f_1}{f_2},$$

где K_{Ts} — константа таутомерного равновесия в данном растворителе, K_t — термодинамическая константа таутомерного равновесия (для вещества в стандартном состоянии); f_1 и f_2 — коэффициенты активности таутомерных форм в данном растворителе.

Выразив отсюда K_t и подставив его значение в выражение изменения свободной энергии при таутомерном превращении, получим:

$$\Delta F = -RT \ln K_{Ts} - RT \ln \frac{f_2}{f_1}.$$

Первый член этого соотношения отвечает всему изменению свободной энергии при таутомерном превращении в данном растворителе, второй — той доле изменения, которая обусловлена лишь влиянием растворителя (изменение при переходе от стандартного термодинамического состояния к данному растворителю). Обозначим второй член через ΔF_s и, перейдя к десятичным логарифмам, получим для двух растворителей S_1 и S_2

$$\Delta F = 2,3RT pK_{Ts_1} + \Delta F_{s_1}, \quad \Delta F = 2,3RT pK_{Ts_2} + \Delta F_{s_2},$$

откуда

$$pK_{Ts_1} = pK_{Ts_2} + \frac{\Delta F_{s_2} - \Delta F_{s_1}}{2,3RT}. \quad (2)$$

При условии $\frac{\Delta F_{s_2} - \Delta F_{s_1}}{2,3RT} = \text{const}$ уравнение (2) тождественно с уравнением (1).

Таким образом, свободный член в уравнении (1) характеризует изменение свободной энергии таутомерного превращения при переходе от одного растворителя к другому и химическая однородность соединений определяется постоянством $\Delta F_{s_2} - \Delta F_{s_1}$.

Очевидно, что исследованные две группы ациламинов отличаются дру

друга величиной $\Delta F_{s_2} - \Delta F_{s_1}$, что является следствием различий в характере взаимодействия соединений этих групп с растворителями. Возможно, что это связано с разницей групп по кислотности — хлор-тиламины — слабые кислоты, сульфонамиды и нитрамин — довольно кислые кислоты.

В пределах одной группы $\Delta F_{s_2} - \Delta F_{s_1}$ постоянно (для данной пары растворителей) и легко может быть вычислено из графиков.

Полученные значения $\Delta F_{s_2} - \Delta F_{s_1}$ для хлорацетильных производных: 0,8 ккал/моль — при переходе от диоксановых к спиртовым растворам и 0,73 ккал/моль — при переходе от спиртовых к водным растворам; для сульфонамидов и нитрамина пиридина — 1,8 ккал/моль для перехода диоксан — спирт и 2,3 ккал/моль для перехода спирт — вода.

Выводы

1. С помощью инфракрасных и ультрафиолетовых спектров изучено строение и таутомерия ацилированных гетероциклических аминов.
2. При рассмотрении полученных данных подтверждена правильность сделанного предположения о возможности смещения amino-иминного таутомерного равновесия путем введения в аминогруппу гетероциклических аминов электроотрицательных заместителей.
3. Изучено влияние ацидифицирующего действия заместителей, приходы гетероцикла, а также растворителей на положение таутомерного равновесия в этом ряду соединений и показано, что в зависимости от указанных факторов ациламины могут иметь как amino-, так и иминостроение и существовать в виде смеси таутомерных форм.
4. Показано, что amino-иминная таутомерия гетероциклических ацилинов как качественно, так и количественно подчиняется основным закономерностям кислотно-основных равновесий.

Всесоюзный научно-исследовательский
химико-фармацевтический институт
им. С. Орджоникидзе

Поступила
21.XI.1958

ЛИТЕРАТУРА

- Ю. Н. Шейнкер, В. В. Кушкин, И. Я. Постовский. Ж. физ. химии, 31, 214, 1957.
Ю. Н. Шейнкер, И. Я. Постовский, Н. М. Ворошина, В. В. Кушкин, Ж. физ. химии, 31, 1745, 1957.
Ю. Н. Шейнкер, И. К. Кузнецова. Ж. физ. химии, 31, 2656, 1957.
Ю. Н. Шейнкер, Докл. АН СССР, 113, № 15, 1080, 1957.
А. Е. Чичибабин, Б. А. Разорёнов. ЖРФХО, 47, 1286, 1915.
М. И. Кабачник, Докл. АН СССР, 83, 407, 1952.
Н. А. Измайлов, Ж. физ. химии, 24, 321, 1950.
J. N. Brønsted. Z. Phys. Chem., A 169, 32, 1934.
М. И. Кабачник. Успехи химии, 25, 137, 1956.

THE TAUTOMERISM OF SOME HETEROCYCLIC DERIVATIVES

X. TAUTOMERISM OF ACYLATED HETEROCYCLIC AMINES

Yu. N. Sheinker, E. M. Peresleny, N. P. Zosimova and Yu. I. Pomerantsev
(Moscow)

Summary

The structure and tautomerism of acylated heterocyclic amines have been studied with the aid of the infrared and ultraviolet spectra.

Examination of the data obtained has confirmed the assumption as to the possibility of shifting the amino-imino tautomeric equilibrium by incorporating into the amino group of the heterocyclic amines electronegative substituents.

The influence of the acidifying action of the substituents, of the nature of the heterocycle and also of the solvents on the tautomeric equilibrium in this series of compounds has been investigated and it has been shown that depending upon the above factors acylamines may have either amino or imino structures or may exist as a mixture of both tautomeric forms.

The amino-imino equilibrium of heterocyclic acylamines has been shown to obey both qualitatively and quantitatively the basic relationships of acid-base equilibrium.

МЕТОДЫ И ТЕХНИКА ФИЗИКО-ХИМИЧЕСКОГО ИССЛЕДОВАНИЯ

КОЛЕБАНИЯ ТЕМПЕРАТУРЫ В АТМОСФЕРЕ ВОДОРОДА И ГЕЛИЯ, КАК СЛЕДСТВИЕ ВЫДЕЛЕНИЯ ЛЕТУЧИХ ВЕЩЕСТВ ИЗ МАТЕРИАЛОВ АППАРАТУРЫ ПРИ НАГРЕВАНИИ

Я. А. Калашников

В настоящее время для исследований при высоких температурах весьма часто применяются установки с внутренним нагревом (нагревательный элемент помещен внутри корпуса аппаратуры). В подавляющем большинстве нагревательным элементом является электрическая печь сопротивления, которая представляет собой металлическую спираль (проволочную или ленточную), закрепленную на каком-либо каркасе из жаростойкого материала.

Наша установка (рис. 1) состояла из стального полого цилиндра длиной 450 мм и с внутренним диаметром 20 мм. Электрическая печь представляла собой тонкостенную трубку из стали диаметром 8 мм с намотанной на нее проволокой из никрома. Между трубкой и проволокой была проложена слюда. Печь обматывалась белой глиной для предотвращения замыкания витков проволоки и вставлялась внутрь толстостенной кварцевой трубки. Зазор между печью и трубкой из кварца был около 1 мм. Длина печи составляла примерно 240 мм. Кварцевая трубка в свою очередь вставлялась внутрь стального сосуда с зазором между стенками около 0,2 мм. Мощность тока нагрева регулировалась автотрансформатором.

Измерение температуры осуществлялось термопарой хромель-алюмель, спай которой находился в середине печи. Установка заполнялась различными газами при разных давлениях, и затем производился нагрев.

Опыты с азотом и аргоном в широком диапазоне давлений: от 1 до 1500 кг/см² дали обычный результат. При включении тока температура монотонно поднималась, пока не устанавливалась на определенном значении, соответствующем данной величине мощности тока нагрева.

Совершенно иная картина наблюдалась в среде водорода при давлении около 1 кг/см². При увеличении мощности тока нагрева температура резко повышалась, а затем, достигнув определенной максимальной величины, падала до постоянного устойчивого значения.

Характерно, что для каждой температуры, а значит, для каждого определенного изменения мощности тока нагрева (при неизменной конструкции печи) температурный скачок также имеет определенное значение. В качестве примера ниже представлены данные опыта при давлении водорода внутри установки, равном 1,14 кг/см² (рис. 2).

При увеличении давления эффект скачка температуры уменьшается. Так, для одинакового увеличения мощности тока нагрева (от 106 до 456 Вт) его значения равны при 1,14 кг/см²—136°С, при 2,5 кг/см²—72°С, при 4,1 кг/см²—33°С; при 10 кг/см² и выше — никакого максимума температуры не наблюдается, температура возрастает монотонно.

Во время опытов было замечено, что эффект скачка температуры не наблюдается, если опыт производится через небольшой промежуток времени (порядка 2—4 час.) после другого опыта, вне зависимости от того, в каком газе производился предыдущий опыт — в водороде, азоте или аргоне.

Для того чтобы воспроизвести картину температурных скачков, интервалы между опытами должны быть не менее 16—20 час. На основании этих опытов было предположено, что причиной колебаний температуры является кратковременное изменение теплопроводности пространства, в котором заключен нагревательный элемент. Это изменение теплопроводности связано с тем, что при повышении температуры из материалов, соприкасающихся с нагревательной спиралью, выделяются пары некоторых веществ (воды, окклюзированных газов и т. п.). Эти вещества, выделяясь в окружающее спираль пространство (в данной установке в кольцевой зазор между печью и теплоизолирующей кварцевой трубкой), изменяют его теплопроводность, что немедленно сказывается на температуре внутри печи.

С течением времени выделившиеся пары, количество которых, разумеется, очень велико, распределяются по всему объему аппаратуры, и теплопроводность пространства вокруг нагревательного элемента принимает практически то же значение, что и лучае чистого газа. Поэтому температура внутри печи изменяется до устойчивой, постоянной величины.

Все газы, за исключением водорода и гелия, обладают примерно одинаковой теплопроводностью (абсолютные значения ее для разных веществ отличаются друг от друга не более, чем в 2—3 раза) [1]. Поэтому прибавление небольшого количества одного газа к другому практически не изменит теплопроводности последнего. Действительно, опыты с азотом и аргоном показали отсутствие каких-либо скачков температуры внутри печи при нагревании.

Водород и гелий имеют теплопроводность, примерно в 10—20 раз большую, чем всех других газов. Поэтому прибавление иного газа к ним должно резко уменьшить суммарную теплопроводность и вызвать, согласно изложенному, максимумы темпе-

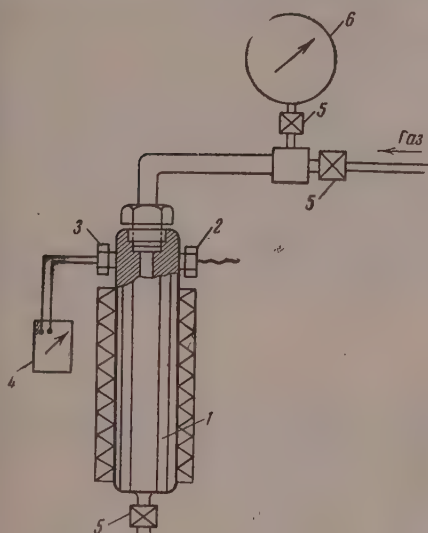


Рис. 1

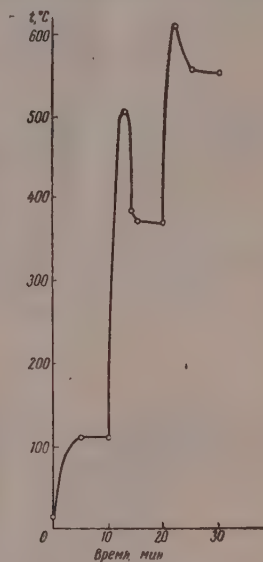


Рис. 2

Рис. 1. Схема установки. 1 — бомба с внутренним нагревателем и водяной рубашкой; 2 — токоподводящий электроввод; 3 — электроввод для терпары; 4 — пирометр; 5 — вентили; 6 — манометр

Рис. 2. Характер изменения температуры во времени при разных мощностях тока нагрева. Изменения мощностей тока нагрева от 0 до 106; от 106 до 456; от 456 до 720 W

туры внутри печи. Для проверки этого предположения были сделаны опыты в среде гелия. Они дали такие же скачки температуры, как и в водороде, но немного меньшие абсолютной величины, так как теплопроводность гелия несколько меньше, чем водорода. Постепенное исчезновение температурных скачков при повышении давления рабочего газа можно, по-видимому, объяснить тем, что количества выделившихся паров становятся уже недостаточными, чтобы сильно изменить суммарную теплопроводность среды, так как концентрация рабочего газа увеличивается. К тому же усиливающаяся при высоких давлениях конвекция [2] будет способствовать ускорению равномерного распределения газообразных компонентов по всему пространству внутри аппаратуры.

Наличие большого промежутка времени между двумя повторяющимися опытами можно объяснить двояко: или выделившиеся вещества адсорбируются снова, когда печь не нагрета, на что нужно длительное время; или выделение летучих веществ происходит только из мест непосредственного соприкосновения металла нагревательной спирали с теплоизолирующими материалами; в дальнейшем, когда печь не нагрета, и летучие вещества диффундируют из массы материала в те места, где они отсутствуют, чтобы установилось равновесное состояние, на что нужно длительное время.

Для окончательной проверки предположения, что колебания температуры связаны с изменением теплопроводности заполненных газов полостей, окружающих нагревательный элемент, была создана печь, в которой все зазоры были уничтожены наполнением их теплоизолирующим веществом. В качестве вещества был выбран

огнеупорный бетон — жаростойкий материал, обладающий высокой прочностью, которая достигается без обжига [3].

Нагревательная трубка с намотанной на нее проволокой была обмазана толстым слоем огнеупорной бетонной смеси. После затвердевания бетона получившаяся печь была отшлифована на шлифовальном станке по внутреннему диаметру стального сосуда ($d = 20$ мм) до 19,8 мм, т. е. печь входила в стальной сосуд с зазором в 0,1 мм.

Опыты, проведенные на такой печи, показали, что никаких колебаний температур в среде любых газов при низких и высоких давлениях не наблюдается.

В дальнейшем печь с кварцевой трубкой обмуровывалась различными огнеупорными веществами: огнеупорным бетоном, смесью шамота и глиной и, наконец, чистым измельченным шамотом. При каждом материале наблюдались различные по величине скачки температуры, максимумы которых располагались при разных абсолютных температурах. Возможно, что метод скачков температуры в среде водорода или гелия окажется применимым для анализа минералов и других веществ на содержание в них конституционной воды и прочих летучих компонентов.

Можно также ожидать обратного эффекта — временного понижения температуры — при употреблении в качестве рабочих веществ газов с весьма малой теплопроводностью, т. е. газов с большими молекулами.

Московский государственный
университет им. М. В. Ломоносова
Академия наук СССР
Институт физики высоких давлений

Поступила
31.1.1959

ЛИТЕРАТУРА

1. Краткий справочник химика, Госхимиздат, 1951.
2. Л. Ф. Верещагин, Я. А. Калашников, Докл. АН СССР, 99, 745, 1954.
3. К. Д. Некрасов, Огнеупорные бетоны, их свойства и применение, 1949.

TEMPERATURE FLUCTUATIONS IN AN ATMOSPHERE OF HYDROGEN AND OF HELIUM CAUSED BY EVOLUTION OF VOLATILES FROM THE APPARATUS ON HEATING

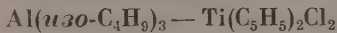
Ya. A. Kalashnikov (Moscow)

Summary

In studies where the heating block (electrical oven) is placed in the apparatus itself small amounts of various vapors (constitutional water, occluded gases) are evolved from the electrical and thermal insulations on heating. When working in an atmosphere of hydrogen or helium, the thermal conductivity of which is considerably higher than of all other gaseous compounds, the vapors evolved may decrease the thermal conductivity of the media near the oven for a short period. This is immediately manifested in sharp, short-time temperature maxima within the apparatus.

ПИСЬМА В РЕДАКЦИЮ

ЭЛЕКТРОННЫЙ ПАРАМАГНИТНЫЙ РЕЗОНАНС В СИСТЕМЕ



А. Е. Шилов, А. К. Зефирова и Н. Н. Тихомирова

Недавно А. Е. Шилов и Н. Н. Бубнов [1] наблюдали электронное парамагнитное поглощение с g -фактором около 2 в буром осадке, образующемся при реакции алюминийтриалкилов с хлоридами титана. Однако гетерогенность системы позволила получить сверхтонкую структуру спектров поглощения и изучить при этом образующегося радикального комплекса.

Мы исследовали гомогенную систему $\text{Al}(\text{изо-С}_4\text{Н}_9)_3 - \text{Ti}(\text{С}_5\text{Н}_5)_2\text{Cl}_2$ в растворе уола при комнатной температуре. Во всех случаях при концентрации $(\text{изо-С}_4\text{Н}_9)_3$ $2 \cdot 10^{-4}$ моль/л и отношениях $\text{Al}(\text{изо-С}_4\text{Н}_9)_3 : \text{Ti}(\text{С}_5\text{Н}_5)_2\text{Cl}_2 = 2 : 1; 10 : 1; 1 : 1; 100 : 1$ имело место резонансное поглощение. При соотношении реагентов $2 : 1$ изучаемой системе был получен сигнал 1 (рис. 1, а) с g -фактором $1,976 \pm 0,001$.

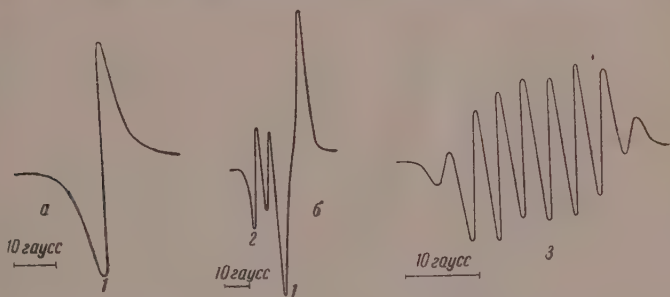


Рис. 1

Рис. 2

Рис. 1. Спектры ЭПР поглощения системы $\text{Al}(\text{изо-С}_4\text{Н}_9)_3 - \text{Ti}(\text{С}_5\text{Н}_5)_2\text{Cl}_2$: а — при отношении $\text{Al}(\text{изо-С}_4\text{Н}_9)_3 : \text{Ti}(\text{С}_5\text{Н}_5)_2\text{Cl}_2 = 2 : 1$; б — при отношении $\text{Al}(\text{изо-С}_4\text{Н}_9)_3 : \text{Ti}(\text{С}_5\text{Н}_5)_2\text{Cl}_2 = 10 : 1$

Рис. 2. Спектр электронного парамагнитного резонанса поглощения той же системы $\text{Al}(\text{изо-С}_4\text{Н}_9)_3 - \text{Ti}(\text{С}_5\text{Н}_5)_2\text{Cl}_2$ при отношении $\text{Al}(\text{изо-С}_4\text{Н}_9)_3 : \text{Ti}(\text{С}_5\text{Н}_5)_2\text{Cl}_2 = 100 : 1$

при соотношении реагентов $10 : 1$ в линии поглощения намечается слабо разрешенный дублет и появляется второй дублет 2 (рис. 1, б) с g -фактором $1,985 \pm 0,001$. При соотношении реагентов $100 : 1$ нами наблюдался сигнал 3 с хорошо разрешенной сверхтонкой структурой и с g -фактором $1,988 \pm 0,001$ (рис. 2). Сигнал 3 долго остается неизменным, тогда как сигналы 1 и 2 в течение нескольких дней переходят в сигнал 3.

Установить строение радикальных комплексов, обуславливающих сигналы 1 и 2, в настоящее время трудно. Можно лишь утверждать, что эти комплексы не являются обычными углеводородными радикалами, так как g -факторы всех сигналов заметно отличны от двух. Это указывает на довольно сильную связь спинового и орбитального моментов свободного электрона и на достаточно малое энергетическое различие между основным и возбужденным орбитальными состояниями.

Эти условия выполняются при локализации свободного электрона на атомах металлов. Поэтому можно предположить, что в исследуемой нами системе локализация свободного электрона осуществляется на атомах Al или Ti.

Как видно на рис. 2 сверхтонкая структура спектра, соответствующая сигналу 3, состоит из шести основных линий примерно одинаковой интенсивности и двух допл-

ательных линий с интенсивностью, в 3—4 раза меньшей. Расстояния между всеми линиями спектра одинаковы и равны ~ 4 гауссам. Число основных линий сверхтонкой структуры спектра свидетельствует о том, что неспаренный электрон взаимодействует с ядром, спин которого равен $5/2$.

Этому условию в изучаемой системе удовлетворяет только атом алюминия, в котором, таким образом, в парамагнитном комплексе локализована часть плотности неспаренного электрона. Дополнительные линии спектра обусловлены, возможно, сверхтонким расщеплением за счет взаимодействия неспаренного электрона с 2-х эквивалентными водородными атомами (например, α -водородными атомами алкильной группы). Взаимодействие неспаренного электрона с 2-мя протонами приводит к расщеплению каждой из 6-ти линий спектра на триплет с соотношением интенсивностей $1 : 2 : 1$. Предполагая далее, что сверхтонкое расщепление на атомах Al и H одинаково, можно получить спектр с соотношением интенсивностей $1 : 3 : 4 : 4 : 4 : 4 : 3 : 1$, что близко к структуре наблюдаемого нами спектра 3.

Авторы выражают благодарность Л. И. Захаркину и В. В. Гавриленко за любезное предоставление триизобутилалюминия.

Поступила
6.II.1959

ЛИТЕРАТУРА

1. А. Е. Шиллов и Н. Н. Бубнов, Изв. АН СССР, Отд. хим. н. № 3, 1958.



СЕРГЕЙ ВАСИЛЬЕВИЧ ГОРБАЧЕВ

(К 60-летию со дня рождения)

17 августа 1959 г. исполнилось 60 лет видному советскому физико-химику — профессору С. В. Горбачеву.

Питомец Московского государственного университета, он еще в стенах университета устанавливает научное содружество с талантливой молодежью, группировавшейся вокруг проф. Б. В. Ильина. Членами этого студенческого содружества были и другие крупные ученые, как П. А. Ребиндер, В. К. Семенченко, В. В. Тарасов, А. Путилов, Ю. В. Ходаков, Н. А. Шишаков и др.

С 1921 и до 1938 г. С. В. Горбачев работал в Центральном научно-исследовательском химико-фармацевтическом институте в Москве. В этом институте им организовано физико-химическое отделение, которое приняло активное участие в создании и развитии отечественной химико-фармацевтической промышленности. Можно определенно сказать, что нет такого раздела физической химии, в котором С. В. Горбачев не работал бы лично. Следует особенно отметить его работы над проблемой производства йода брома. На основании работ С. В. Горбачева, О. Ю. Магидсона и других было поставлено производство йода с использованием нового вида сырья — буровых вод нефтепроислов. С. В. Горбачевым совместно с Н. Б. и В. Б. Миллер были выполнены фундаментальные измерения парциальных давлений над солевыми системами при окислении омидов хлором. Результаты этих работ были использованы при создании производств йода и брома и вошли в ряд монографий.

В 1932—1936 гг. С. В. Горбачев приглашается в Государственный геофизический институт для организации в нем физико-химической лаборатории. В этой лаборатории проф. С. В. Горбачев с сотрудниками выполняет ряд работ по изучению элементарных процессов в аэрозолях. Из этих работ наибольшую известность получили исследования по теории действия звукового поля на аэрозоли.

С 1930 г. до настоящего времени научная и педагогическая работа проф. В. Горбачева протекает в Московском химико-технологическом институте им. И. Менделеева, где он последовательно занимает должности доцента, профессора, ведущего кафедрой физической химии и в 40-х годах пять лет был заместителем ректора по научной работе. Здесь же им выполнена и защищена в 1941 г. докторская диссертация, посвященная теории возникновения новой фазы. Работа С. В. Горбачева впервые дала физически обоснованное и математически сформулированное описание максимума вероятности возникновения новой фазы, обнаруженного еще в работах Таммана. Несомненный научный интерес имеет предложенный С. В. Горбачевым метод эффективного искривления фазового пространства, при помощи которого он решил задачу о флуктуациях в неопределенных системах и в дальнейшем использовал этот метод для объяснения фазовой поляризации, возникающей при катодном выделении металлов.

Еще в середине 20-х годов С. В. Горбачевым были начаты работы по электрохимическим процессам: он разработал для промышленности электрохимические методы получения бензальдегида из толуола, регенерации хромпика, получения амальгамы меди, получения трехвалентного марганца, окисления йодидов и др. В последнее десяти-

тилетие научная деятельность проф. С. В. Горбачева сосредоточилась главным образом на наиболее общих проблемах кинетики электрохимических реакций.

На протяжении ряда лет он развивал мысль, что электрохимию следует сблизить с химической кинетикой, обращая внимание на то, что скорость химической реакции в большой степени определяется величиной энергии активации соответствующего процесса. Проводя эту идею, проф. С. В. Горбачев совместно с Н. П. Жуком, А. В. Измайловым, Я. И. Вабедем и другими впервые систематически исследует влияние температуры на скорость электрохимических процессов. Выполненные С. В. Горбачевым исследования в области электрохимической кинетики привели С. В. Горбачева к объяснению ряда закономерностей электрохимической поляризации. Эти результаты широко проникли в современную литературу и объединяются под названием «температурно-кинетический метод».

Расширяя рамки температурных исследований процессов электролиза, проф. С. В. Горбачев совместно с В. А. Мильчевым впервые исследовал процессы электролиза водных растворов до температуры 200°C , а в настоящее время проводит их и температур, превышающих 300°C .

Совместно с О. Б. Хачатурян и В. А. Мильчевым С. В. Горбачев нашел способ расчета поляризации при электролизе окислительно-восстановительных систем.

Много душевных сил и внимания уделяет проф. С. В. Горбачев своим аспирантам, при выполнении широко задуманных исследований. В последнее время, в связи с постановкой величественных задач семилетнего плана, проф. С. В. Горбачев особое внимание уделяет вопросам ускорения процессов электролиза, что является одной из самых актуальных проблем промышленной электрохимии.

Советское правительство высоко оценило научную и учебную работу проф. С. В. Горбачева, наградив его орденом Ленина, орденом Знак Почета и тремя медалями.

С. В. Горбачев находится в полном расцвете своих творческих сил. Пожелаем ему дальнейших успехов в его многогранной и плодотворной деятельности на благо советской науки.

Б. Б. Кудрявцев, Н. Т. Кудрявцев

СОДЕРЖАНИЕ

А. Степанов, Р. Г. Жбанков и А. Я. Розенберг. Инфракрасные спектры целлюлозы в процессе вязкого производства	1907
И. Каштанов и Л. Н. Соколова. К вопросу о предельных концентрациях ингибитора при окислении сульфита натрия кислородом воздуха	1914
В. Кирилук и С. П. Мискиджьян. Физико-химический анализ проводящих ток неводных систем и исследование механизма электролитической диссоциации образующихся в них соединений. II.	1918
Л. Никольский, М. М. Шульц и Н. В. Пешехонова. Теория стеклянного электрода. IX.	1922
П. Черкасова. Влияние структуры на теплопроводность полимеров	1928
А. Семиохин, Г. М. Панченков, В. К. Коровкин и А. В. Борисов. Разделение изотопов кислорода в процессе электро-синтеза озона.	1933
С. Палатник, Г. Р. Виногоров, М. Б. Каган и В. Б. Куропятник. Исследование многокомпонентных гетерогенных систем методом измерения масс фаз. I.	1939
Л. Хейфец и А. Б. Шейнин. Осциллографическое исследование кинетики электродных процессов. I.	1945
Г. Маслов. Термодинамические свойства галогенидов кристаллогидратов и аммиаков кадмия. IV.	1951
П. Крушинская и М. А. Проскурин. Окисление хлорбензола в водных растворах под действием γ -излучения	1954
А. Реутов, И. П. Белецкая и Р. Е. Мардакешвили. Кинетика реакции симметризации ртутноорганических солей. II.	1962
К. Боресков. Влияние взаимодействия реакционной системы и катализатора на кинетику каталитических реакций.	1969
Н. Васильева и Е. Н. Гурьянова. Дипольные моменты и строение дисульфидов.	1976
А. Сулягина и К. М. Горбунова. Электрокристаллизация никеля при наложении переменного тока. I.	1982
И. Желанкин, В. С. Кутев и Б. Ф. Ормонт. Исследование равновесия в реакции восстановления двуокиси гафния углеродом при высоких температурах	1988
И. Винник, Р. С. Рыбова и Н. М. Чирков. Кинетика и механизм реакций в средах концентрированных сильных кислот. I.	1992
П. Мискиджьян, Ф. Н. Козленко и И. А. Волгина. Электролитическая диссоциация в неводных системах. X.	2002
В. Усиков. Измерение электропроводности растворов на высоких частотах безэлектродным способом.	2007
С. Циклис, А. Н. Кофман и Л. И. Шендереи. Фазовое и объемное поведение растворов ацетилена в ацетоне	2012
Е. Лудкий и В. П. Кондратенко. Внутримолекулярная водородная связь и дипольные моменты органических соединений. V.	2017
Ф. Воронин и А. М. Евсеев. Термодинамические свойства сплавов германия с цинком.	2024
С. Кузина и Е. Н. Гурьянова. Изотопный обмен серы в тиурамах и эфирах дитиокарбаминовых кислот	2030
Г. Смирнов и К. А. Успенский. Экспериментальное определение коэффициентов ослабления γ -излучения в цилиндрических источниках	2036
И. Темкин. Об условиях, определяющих возможность сосуществования газовых фаз.	2040
Л. Киперман и А. А. Баладин. Энергии связи поверхности металлических катализаторов с углеродом	2045
С. Васильев. Кинетика возбуждения молекул электромагнитными и механическими волнами. III.	2053
Н. Бакулина и Н. И. Ионов. Определение энергии сродства к электрону атомов галогенов, серы, и радикала CN методом поверхностной ионизации	2063
М. Шелечник. Распределение температур в колонке при протекании реакций первого порядка.	2073
В. Миюх. Рентгеноструктурное исследование линейных полиэфиров	2076
А. Патрикеев. Корреляция между параметрами механических свойств и структуры растительной резины.	2081
И. Скороходов, Л. И. Некрасов, Л. А. Резницкий, К. Г. Хомяков и Н. И. Кобозев. К вопросу о высшей перекиси водорода и замороженных радикалах. II.	2090
Д. И. Шейнкер, Е. М. Переслени, Н. П. Зосимова и Ю. И. Померанцев. О таутомерии некоторых производных гетероциклических соединений. X.	2093

Методы и техника физико-химического исследования

- Я. А. Калашников. Колебания температуры в атмосфере водорода и гелия, как следствие выделения летучих веществ из материалов аппаратуры при нагревании. 211

Письма в редакцию

- А. Е. Шилов, А. К. Зефирова и Н. Н. Тихомирова. Электронный парамагнитный резонанс в системе $Al(изо-C_4H_9)_3 - Ti(C_5H_5)_2Cl_2$. . . 211

Хроника

- Б. Б. Кудрявцев и Н. Т. Кудрявцев. К 60-летию со дня рождения С. В. Горбачева. 211

CONTENTS

- B. I. Stepanov, R. G. Zhabankov and A. Ya. Rosenberg. Infra-red Spectra of Cellulose in the Process of Viscose Production 1907
- L. I. Kashtanov and L. N. Sokolov. Limiting Inhibitor Concentration in the Oxidation of Sodium Sulfite by Atmospheric Oxygen 1914
- S. S. Kirlyuk and S. P. Miskidzhyan. Physico-Chemical Analysis of Current Conducting Non-Aqueous Systems and Investigation into the Electrolytic Dissociation Mechanism of the Compounds Formed Therein. II. The System Allylic Mustard Oil-Quinoline 1918
- B. P. Nikol'skii, M. M. Shul'tz, N. V. Peshekhonova. Theory of the Glass Electrode. IX. 1922
- L. N. Cherkasova. Effect of Structure on the Thermal Conductivity of Polymers. 1928
- I. A. Semiokhin, G. M. Panchenkov, V. K. Korovkin, A. V. Borisov. Separation of Oxygen Isotopes in the Process of Electrosynthesis of Ozone. 1933
- L. S. Palatnik, G. B. Vinogorov, M. B. Kagan and V. B. Kurovpatnik. Investigation into Multicomponent Heterogeneous Systems with the Aid of the Phase Mass Method. I. 1939
- V. L. Kheifets and A. B. Sheinin. Oscillographic Study of the Kinetics of Electrode Processes. I. 1945
- P. G. Maslov. Thermodynamic Properties of Halogen Substituted Cadmium Hydrates and Ammines. IV. 1951
- N. P. Krushinskaya, M. A. Proskurnin. Oxidation of Chlorobenzene in Aqueous Solutions by the Action of Irradiation 1954
- O. A. Reutov, I. P. Beletskaya and R. E. Mardeishvili. Kinetics of Symmetrization of Organomercury Salts. II. 1962
- G. K. Boreskov. Effect of the Interaction between Reacting System and Catalyst on the Kinetics of the Catalytic Reaction 1969
- V. N. Vasil'eva and E. N. Guryanova. The Dipole Moments and Structure of Disulfides. 1976
- A. A. Sutyagina and K. M. Gorbunova. Electrocrystallization of Nickel under Alternating Current Conditions 1982
- V. I. Zhelankin, V. S. Kutsev and B. F. Ormont. Equilibrium Study of the High Temperature Reduction of Hafnium Dioxide (HfO_2) by Carbon. 1988
- M. I. Vinnik, R. S. Ryabova and N. M. Chirkov. Kinetics and Mechanism of Reactions in Concentrated Strong Acid Media 1992
- S. P. Miskidzhyan, F. N. Kozlenko and I. A. Volina. Electrolytic Dissociation in Non-Aqueous Systems 2002
- S. V. Usikov. Electrodeless High Frequency Measurement of Electroconductivities of Solutions. 2007
- D. S. Tsiklis, A. N. Kofman and L. I. Shenderoi. Phase and Volumetric Behavior of Solutions of Acetylene in Acetone 2012
- A. E. Lutskii and B. P. Kondratenko. Intramolecular Hydrogen Bonds and the Dipole Moments of Organic Compounds. IV. 2017
- G. F. Voronin and A. M. Evseev. Thermodynamic Properties of Germanium-Zinc Alloys. 2024
- L. S. Kuzina, E. N. Guryanova. Isotopic Exchange of Sulfur in Thiurams and Dithiocarbaminic Acid Esters 2030

N. Smirnov and K. A. Uspenskiĭ. Experimental Determination of the Weakening γ -Coefficient of Gamma Radiation in Cylindrical Emitters	2036
M. Temkin. On Conditions Determining the Coexistence of Gaseous Phases	2040
S. Kiperman and A. A. Balandin. The Bond Energies of Metallic Catalyst Surfaces with Carbon	2045
S. Vasil'ev. Kinetics of Molecular Excitation by Electromagnetic and Mechanical Waves. III.	2053
L. Bakulina, and N. I. Ionov. Determination of the Electron Affinity of Halogen and Sulfur Atoms and of the CN Radical by the Surface Ionization Method.	2063
M. Shelechnik. Temperature Distribution in a Column in the Presence of a First Order Reaction.	2073
V. Mnyukh. X-Ray Structural Study of Linear Polyesters	2076
G. Patrikeev. Correlation between the Mechanical Characteristics and the Structure of Stretched Rubber	2081
I. Skorokhodov, L. I. Nekrasov, L. A. Reznitskiĭ, K. G. Khomyakov and N. I. Kobozev. On the Higher Hydrogen Peroxide and Frozen Radicals. II	2090
Y. N. Sheinker, E. M. Peresleni, N. P. Zosimova and Yu. I. Ponerantsev. The Tautomerism of Some Heterocyclic Derivatives. X	2096

Experimental Methods and Techniques

Y. A. Kalashnikov. Temperature Fluctuations in an Atmosphere of Hydrogen and of Helium Caused by Evolution of Volatiles from the Apparatus on Heating.	2110
--	------

Communications to the Editor

I. Shilov, A. K. Zefirova and N. N. Tikhomirova. Electron Resonance in the System $\text{Al}(\text{iso}-\text{C}_4\text{H}_9)_3 - \text{Ti}(\text{C}_5\text{H}_5)_2\text{Cl}_2$	2113
---	------

Miscellany

I. Kudryavtsev, N. T. Kudryavtseva. Sergei Vasil'evich Gorbachev (On His 60 th Birthday Anniversary)	2115
--	------

К СВЕДЕНИЮ АВТОРОВ

С № 1 1959 г. Редакция журнала Физической химии изменяет порядок публикации статей в отделе писем в Редакцию и дискуссионные соответственно решению ОХН Академии наук СССР, выписку из которого приводим ниже:

I. В целях срочной публикации наиболее крупных, принципиальных достижений науки, задержка опубликования которых может привести к ущербу в приоритете отечественной науки, ввести во всех журналах Отделения химических наук АН СССР раздел «Письма в редакцию».

Редакция журнала обязана публиковать статьи, направленные в раздел «Письма в редакцию», не позже 2-х месяцев со дня их поступления в редакцию.

Общий объем статьи для раздела «Письма в редакцию» не должен превышать 1800 знаков, включая формулы, таблицы и проч.

Редакция журнала не должна допускать опубликования в раздел «Письма в редакцию» работ, не имеющих крупного, принципиального значения. Ответ о принятии статьи к срочному опубликованию либо отказ должен быть направлен автору в 3 недельный срок.

Обязать членов Отделения в недельный срок давать отзыв на запрос редакции о целесообразности опубликования статьи в разделе «Письма в редакцию».

II. В целях своевременного опубликования критических замечаний имеющих принципиальный характер, рекомендовать публикацию в химических журналах Академии наук (кроме журнала «Успехи химии») статей дискуссионного характера.

В журнале следует публиковать только одну критическую статью по поводу помещенной в данном журнале статьи, а также одно возражение автора критикуемой статьи. Дальнейшая же дискуссия может быть продолжена на соответствующем ученом совете. В случае необходимости по рекомендации ученого совета журнал публикует краткую информацию о результатах дискуссии.

Технический редактор *Н. А. Колгурина*

Т. 08688	Подписано к печати 16/IX-1959 г.	Печ. л. 18,49+1	вкл. Уч.-изд. л. 19,6
Формат бумаги $70 \times 108^{1/8}$	Бум. л. $6^{3/4}$	Зак. 2085.	Тираж 3550 экз.

2-я типография Издательства Академии наук СССР. Москва, Шубинский пер., 10

ОТКРЫТА ПОДПИСКА НА 1960 ГОД НА ЖУРНАЛЫ АКАДЕМИИ НАУК СССР

Названия журналов	Номеров в год	Подписная цена	
		годовая	полугодовая
ОБЩЕАКАДЕМИЧЕСКИЕ ЖУРНАЛЫ			
Вестник Академии наук СССР	12	96	48
Доклады Академии наук СССР (без папок)	36	518—40	259—20
Доклады Академии наук СССР (с 6-ю коленкоровыми папками с тиснением)	36	542—40	272—20
Известия Карельского и Кольского филиалов АН СССР	4	28	14
Известия Сибирского отделения АН СССР	12	84	42
Природа	12	84	42
ФИЗИКО-МАТЕМАТИЧЕСКИЕ НАУКИ			
Акустический журнал	4	48	24
Астрономический журнал	6	99	49—50
Журнал технической физики	12	126	63
Журнал экспериментальной и теоретической физики	12	288	144
Известия Академии наук СССР, серия геофизическая	12	180	90
Известия Академии наук СССР, серия математическая	6	90	45
Известия Академии наук СССР, серия физическая	12	144	72
Кристаллография	6	90	45
Математический сборник	12	144	72
Оптика и спектроскопия	12	162	81
Приборы и техника эксперимента	6	90	45
Теория вероятностей и ее применения	4	45	22—50
Физика твердого тела	12	150	75
ХИМИЧЕСКИЕ НАУКИ			
Высокомолекулярные соединения	12	150	75
Геохимия	8	72	36
Журнал аналитической химии	6	72	36
Журнал научной и прикладной фотографии и кинематографии	6	45	22—50
Журнал неорганической химии	12	270	135
Журнал общей химии	12	330	165
Журнал прикладной химии	12	225	112—50
Журнал физической химии	12	270	135
Известия Академии наук СССР, Отделение химических наук	12	180	90
Коллоидный журнал	6	72	36
Радиохимия	6	72	36
Успехи химии	12	96	48
ТЕХНИЧЕСКИЕ НАУКИ			
Автоматика и телемеханика	12	135	67—50
Известия Академии наук СССР, Отделение технических наук. Металлургия и топливо	6	75	37—50
Известия Академии наук СССР, Отделение технических наук. Механика и машиностроение	6	75	37—50
Известия Академии наук СССР, Отделение технических наук. Энергетика и автоматика	6	75	37—50
Прикладная математика и механика	6	117	58—50
Радиотехника и электроника	12	165	82—50

ПОДПИСКА ПРИНИМАЕТСЯ в пунктах подписки Союзпечати, почтамтах, конторах и отделениях связи, общественными уполномоченными на предприятиях и в учреждениях, в научно-исследовательских институтах и учебных заведениях.

Подписка принимается также магазинами «Академкнига» и конторой «Академкнига» по адресу:

Москва, К-12, Б. Черкасский пер., 2/10.

«АКАДЕМКНИГА»